V-2-2-38-1 防潮堤(鉄筋コンクリート防潮壁)の地震応答計算書

目 次

1.	概	要1
2.	基	本方針2
2	. 1	位置2
2	. 2	構造概要3
2	. 3	解析方針7
2	. 4	適用基準8
3.	解	析方法9
3	. 1	評価対象断面・・・・・・・・・・・・・・・・9
3	. 2	解析方法12
3	. 3	荷重及び荷重の組合せ・・・・・・・・・・・・・・・・・・・・・・・・・・・・・・・・・・・・
3	. 4	入力地震動
3	. 5	解析モデル及び諸元・・・・・・・・・・・・・・・・・・・・・・・・45
4.	解	析結果・・・・・・・・・・・・・・・・・・・・・・・・・・・・・・・ 51
4	. 1	①一①断面・・・・・・・・・・・・・・・・・・・・・・・・・・・・・・・・・・・
4	. 2	②-②断面·····60
4	. 3	③-③断面·····69
4	. 4	④-④断面・・・・・・・・・・・・・・・・・・・・・・・・・・・・・・・・・・・

1. 概要

本資料は、添付書類「V-2-1-6 地震応答解析の基本方針」に基づき実施する鉄筋コンクリート防潮壁の地震応答解析について説明するものである。

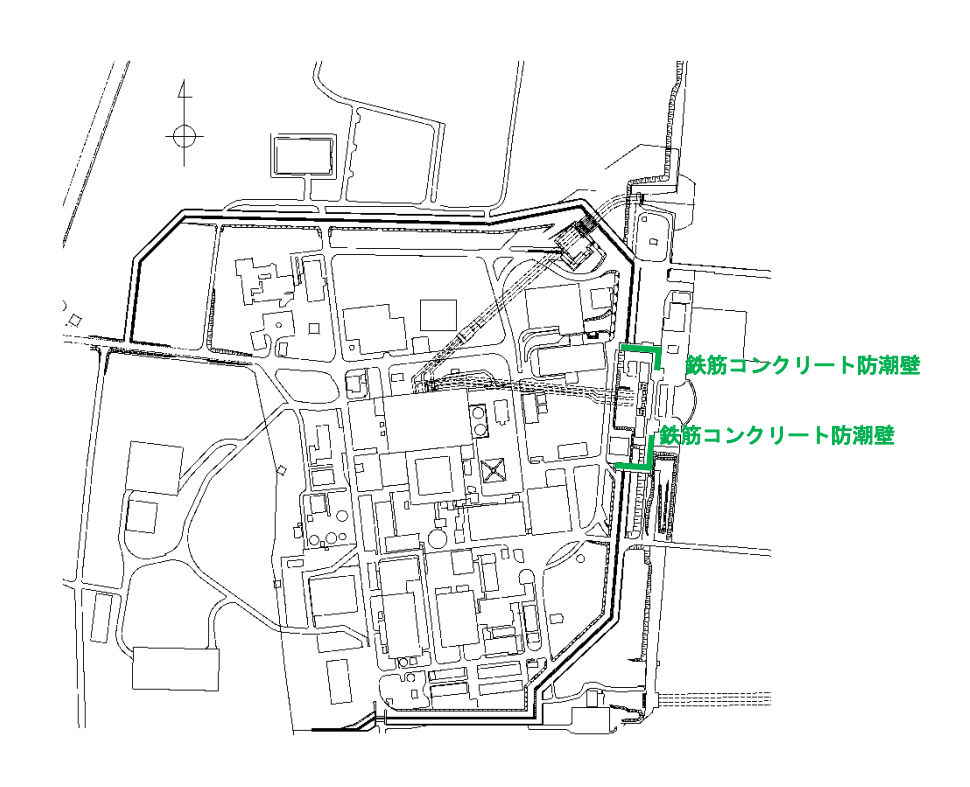
本地震応答解析は、機器・配管系が耐震性に関する技術基準へ適合することを確認するために 用いる応答値を抽出するものである。

また、鉄筋コンクリート防潮壁が耐震性に関する技術基準へ適合することを確認するために用いる応答値を抽出するものである。その際、耐震設計に用いる応答値はこの地震応答解析による断面力及び基礎地盤に生じる接地圧とする。

2. 基本方針

2.1 位置

鉄筋コンクリート防潮壁の位置図を第2-1図に示す。



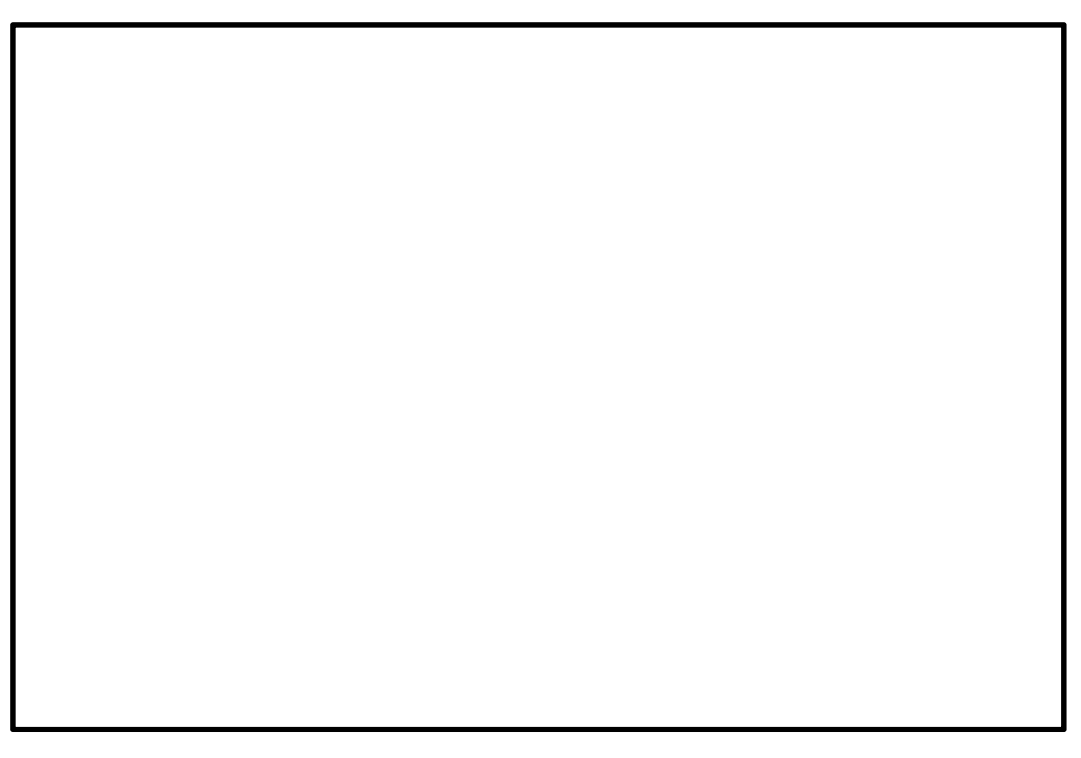
第2-1図 鉄筋コンクリート防潮壁位置図

2.2 構造概要

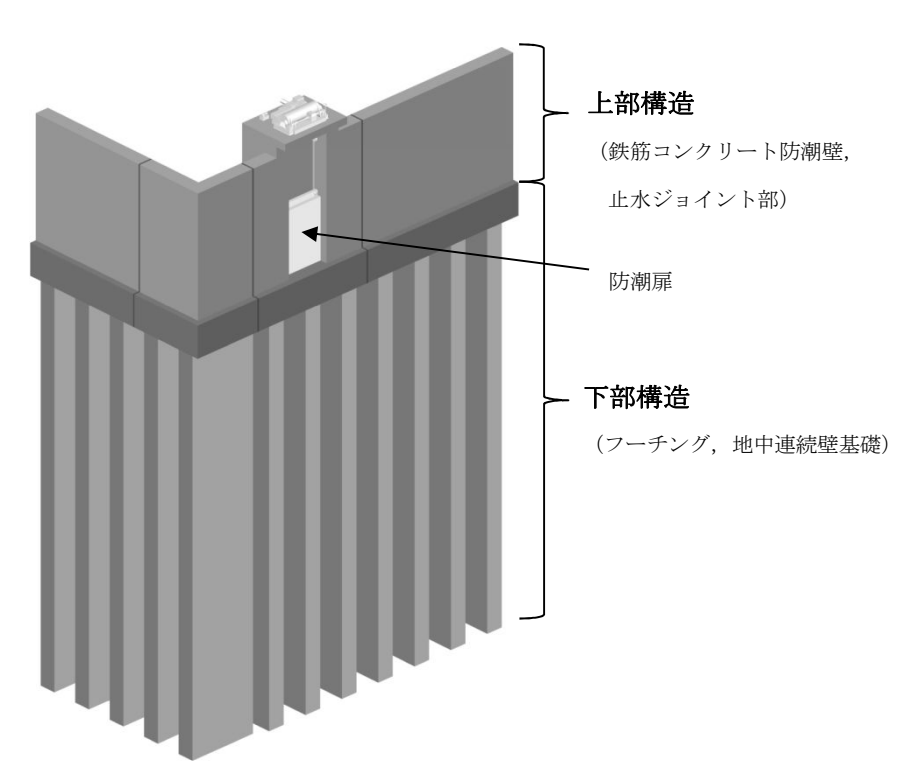
鉄筋コンクリート防潮壁は、1ブロック幅約11 m~20 m, 天端高 T.P.+20 m, 奥行約10 m の鉄筋コンクリート造の構造物であり、ブロック間は止水ジョイントを施した構造である。鉄筋コンクリート防潮壁は、地中連続壁基礎を介して十分な支持性能を有する岩盤に設置する。また、鉄筋コンクリート防潮壁に防潮扉及びフラップゲートを設置する。

鉄筋コンクリート防潮壁のたて壁と地中連続壁基礎とは、鉄筋コンクリートフーチングを介 した剛結合で一体構造とする。

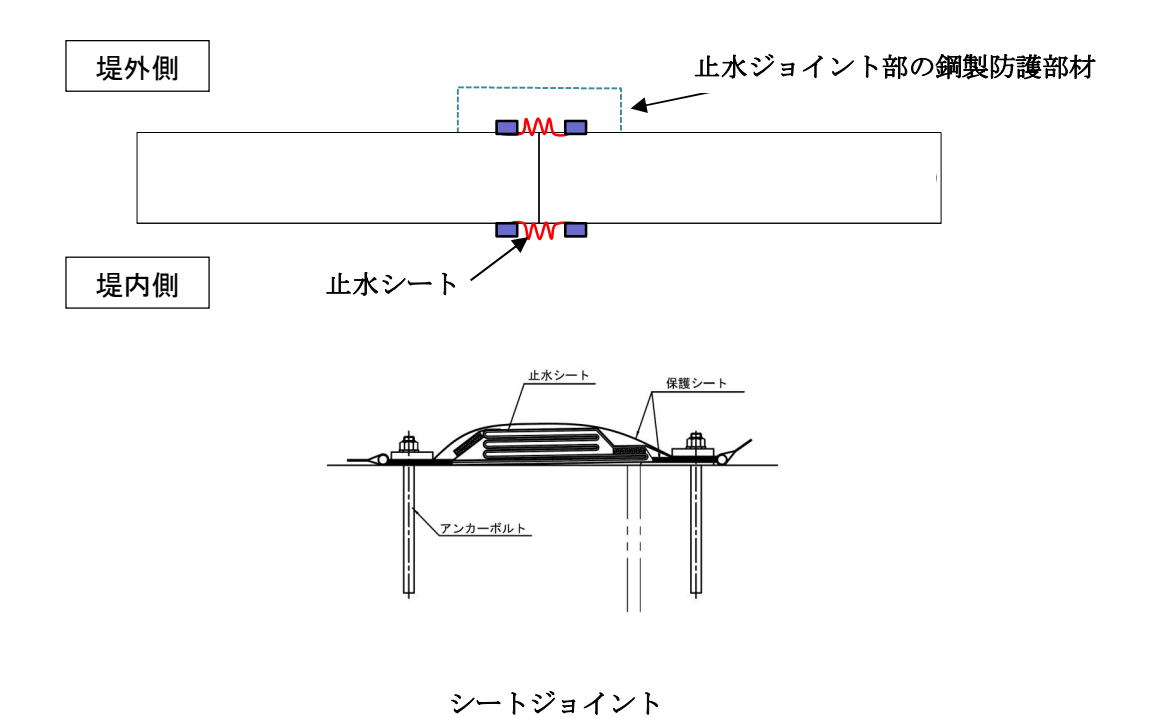
鉄筋コンクリート防潮壁の検討対象位置平面図を第 2-2 図に、概要図を第 2-3 図に、構造図を第 2-4 図に示す。



第2-2図 鉄筋コンクリート防潮壁 検討対象位置平面図

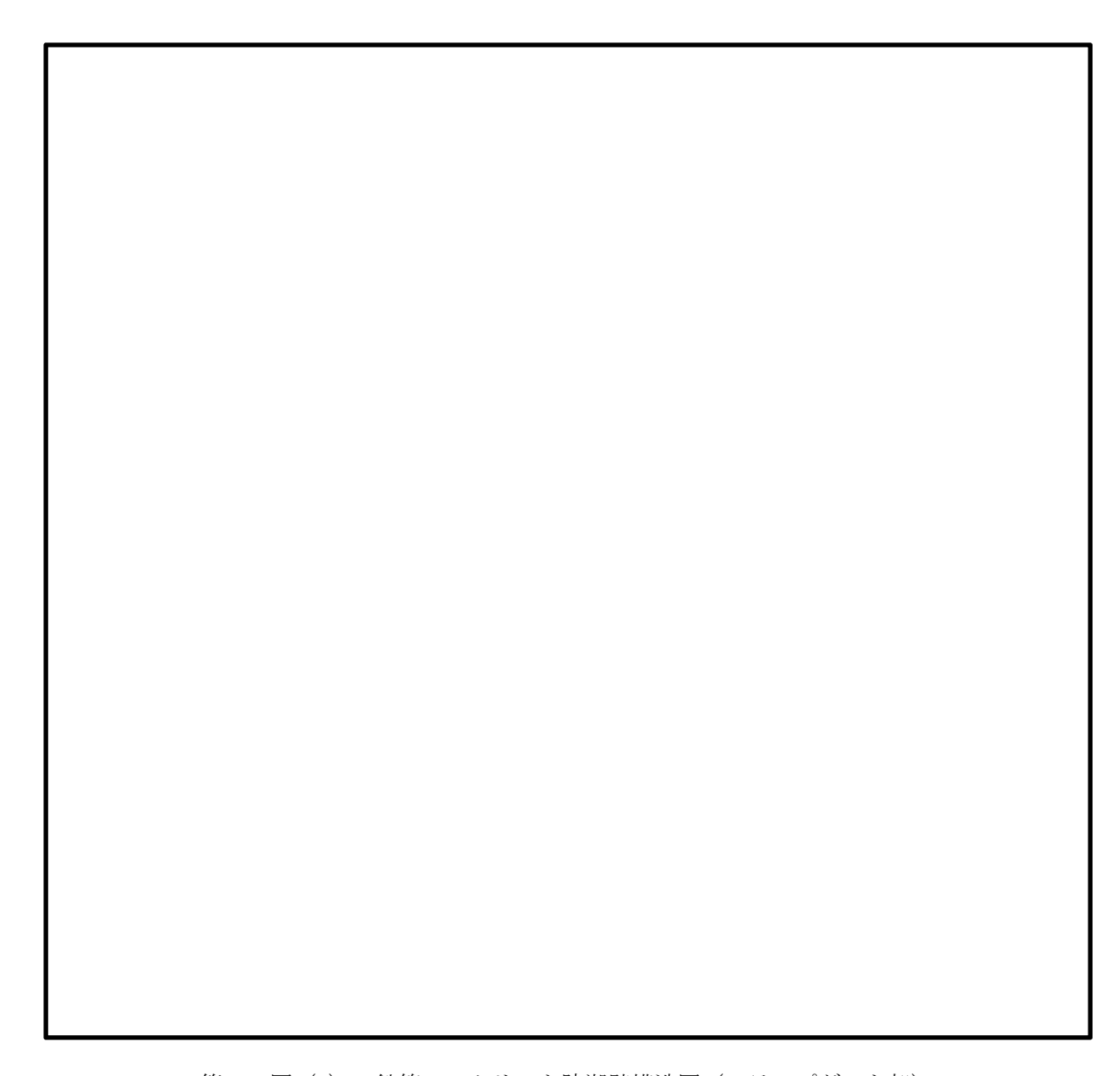


鉄筋コンクリート防潮壁の取水構造物の北側概要図

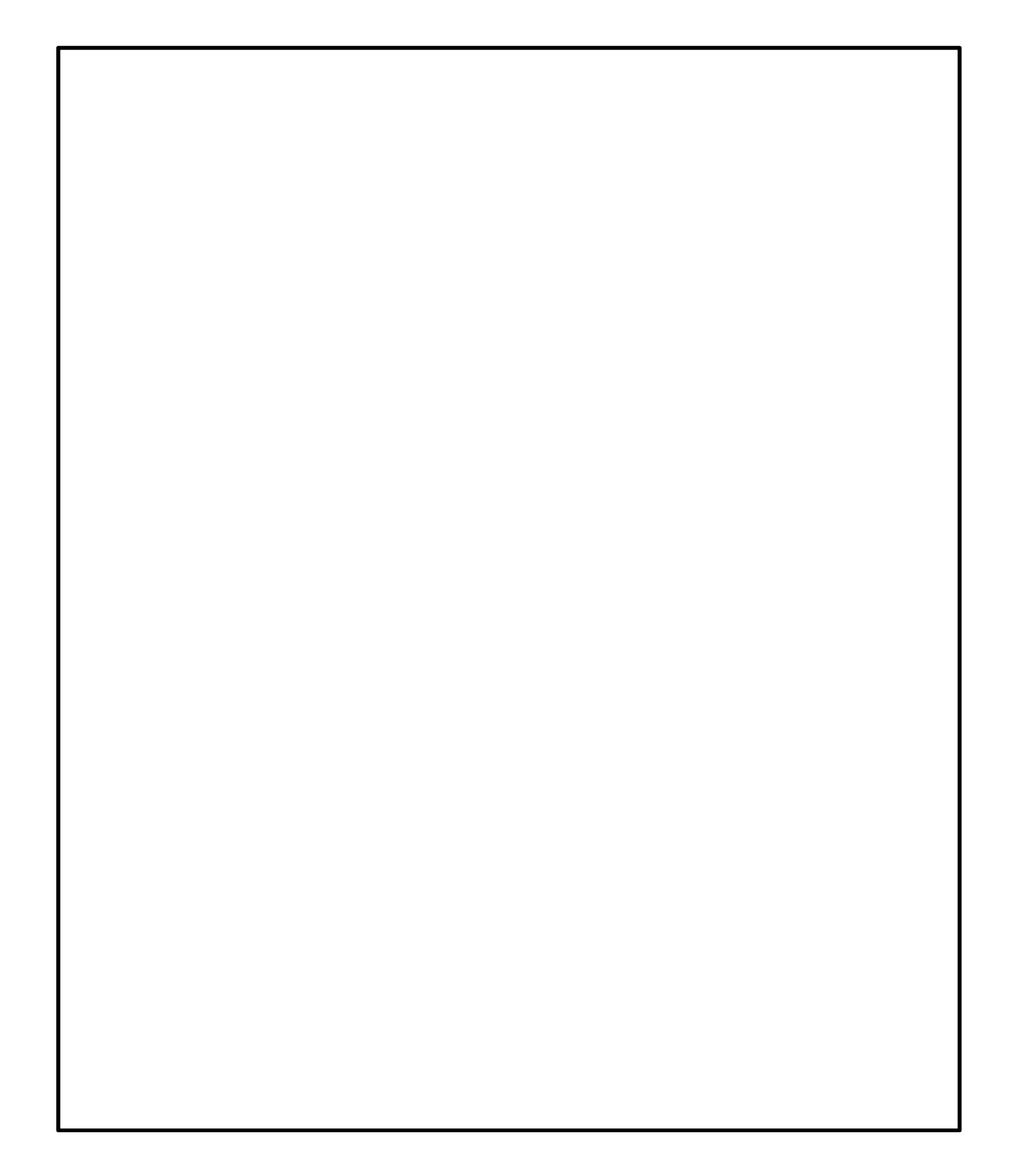


止水ジョイント部材の概要図

第2-3図 鉄筋コンクリート防潮壁構造概要図



第2-4図(1) 鉄筋コンクリート防潮壁構造図(フラップゲート部)



第2-4図(2) 鉄筋コンクリート防潮壁構造図(防潮扉部)

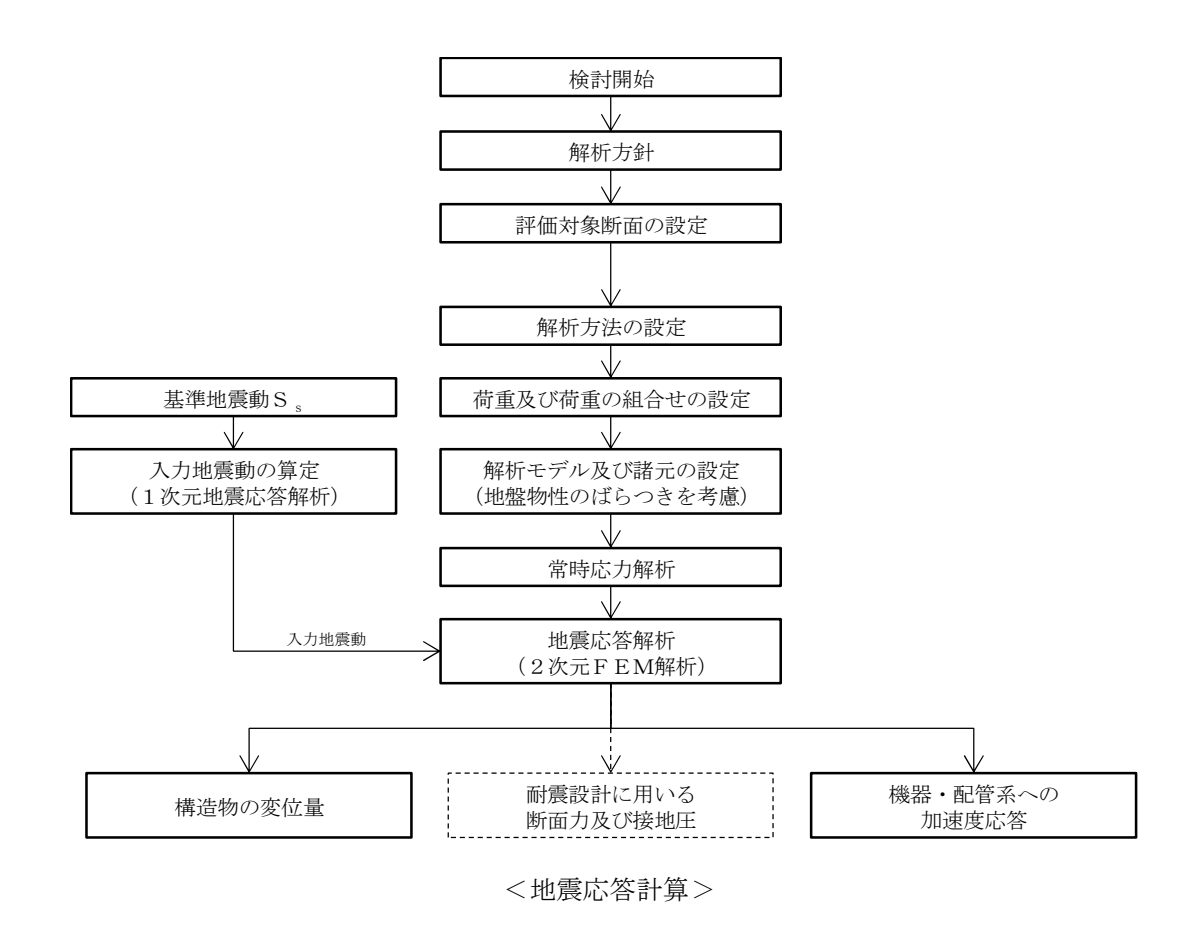
2.3 解析方針

鉄筋コンクリート防潮壁の地震応答解析は、添付書類「V-2-1-6 地震応答解析の基本方針」に基づき、基準地震動 S_s に対して解析を実施する。第 2-5 図に鉄筋コンクリート防潮壁の地震応答解析フローを示す。

地震応答解析は、「2. 基本方針」に基づき、「3.1 評価対象断面」にて設定する断面に おいて、「3.2 解析方法」に示す水平地震動と鉛直地震動の同時加振による時刻歴非線形解 析にて行う。

時刻歴非線形解析は、「3.3 荷重及び荷重の組合せ」及び「3.5 解析モデル及び諸元」に示す条件を基に、「3.4 入力地震動」により設定する入力地震動を用いて実施する。

地震応答解析による加速度応答は、機器・配管系の設計用床応答曲線の作成に用い、断面力 及び接地圧は、トンネルの耐震評価に用いる。



第2-5図 鉄筋コンクリート防潮壁の地震応答解析フロー

2.4 適用基準

適用する規格, 基準類を以下に示す。

- ・コンクリート標準示方書 [構造性能照査編] ((社)土木学会,2002年制定)
- ・道路橋示方書(I共通編・IV下部構造編)・同解説((社)日本道路協会,平成24年3月)
- ・原子力発電所屋外重要土木構造物の耐震性能照査指針・マニュアル ((社)土木学会, 2005年)
- ·原子力発電所耐震設計技術指針 JEAG4601-1987((社)日本電気協会)

3. 解析方法

3.1 評価対象断面

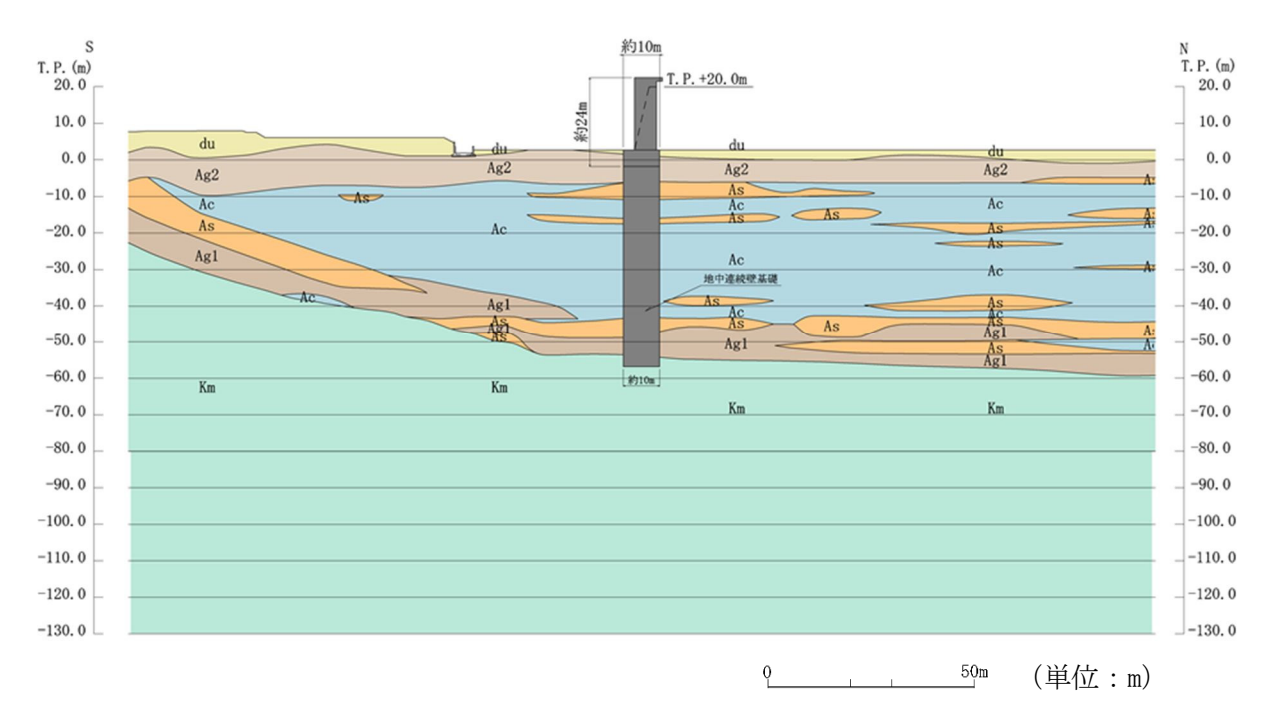
評価対象断面は、鉄筋コンクリート防潮壁の構造上の特徴や周辺地盤状況を踏まえて選定する。第 3-1 図に評価対象断面位置図を、第 3-2 図に評価対象断面図を示す。

耐震評価は、①-①断面、②-②断面を用いて実施する。

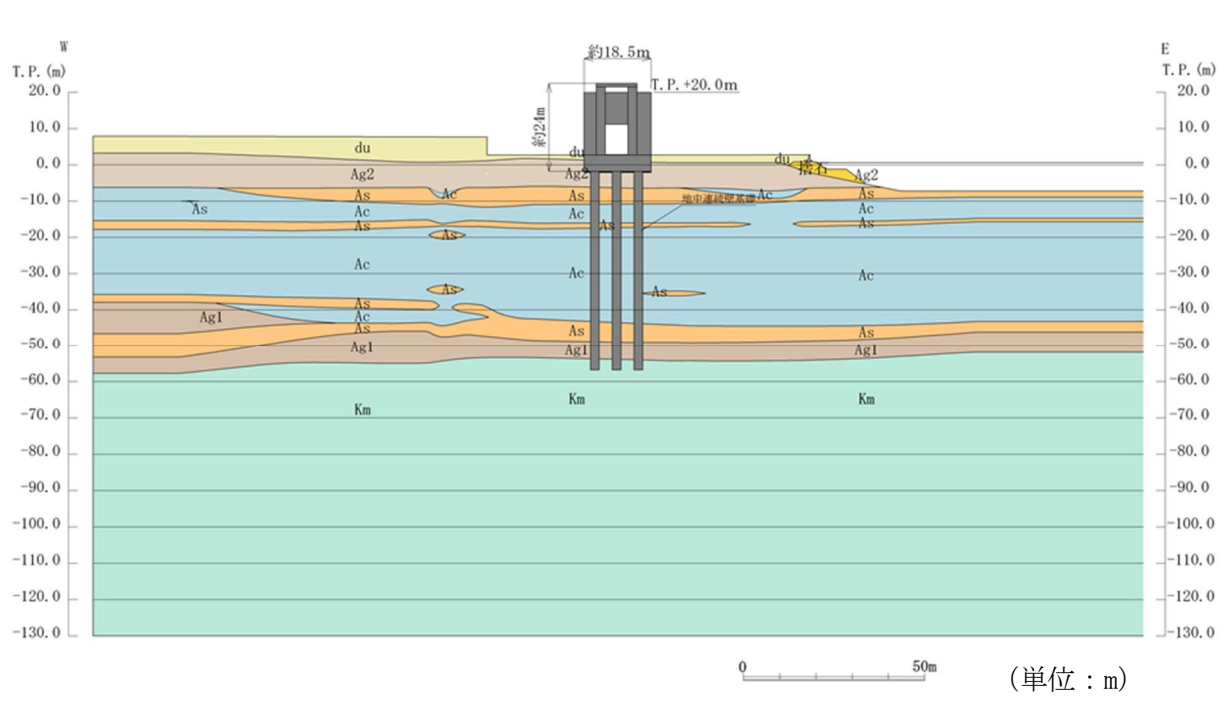
防潮扉の耐震評価のための加速度応答については、①-①断面、②-②断面を用い、フラップゲートの耐震評価のための加速度応答については、③-③断面、④-④断面を用いて算定する。



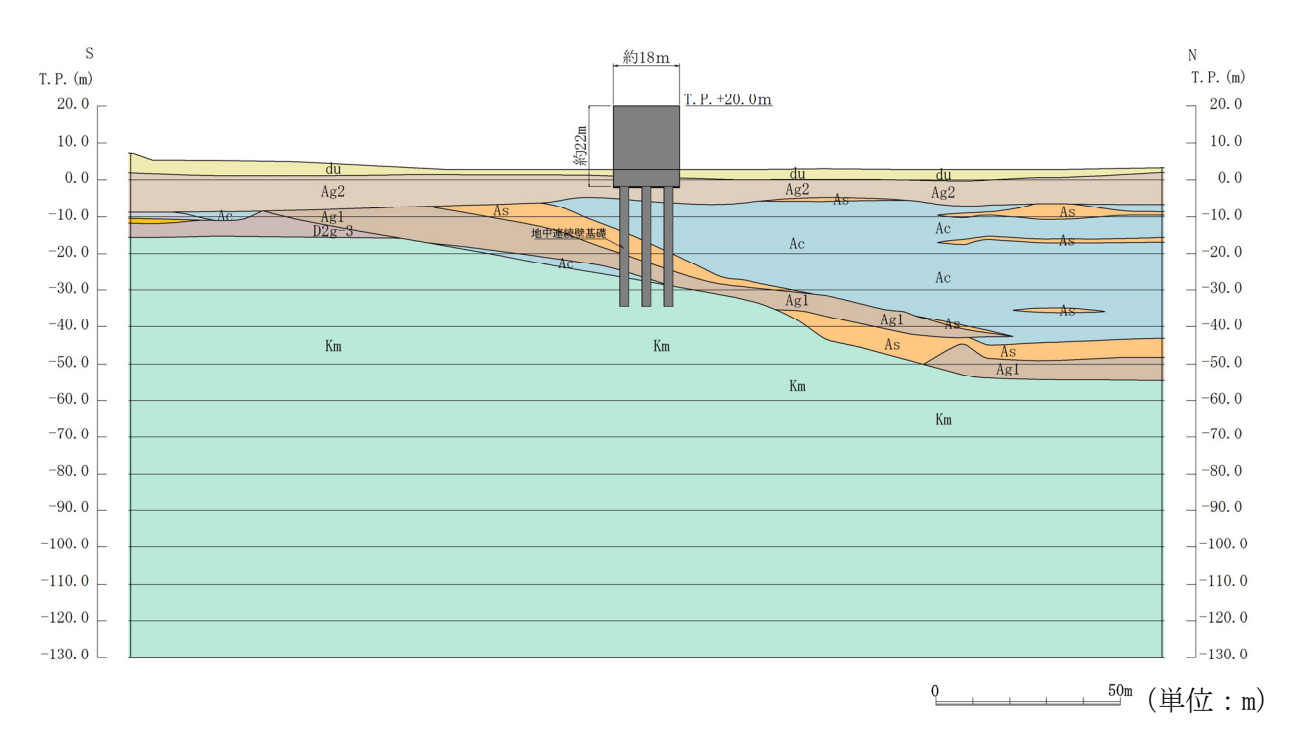
第3-1図 鉄筋コンクリート防潮壁評価対象断面位置図



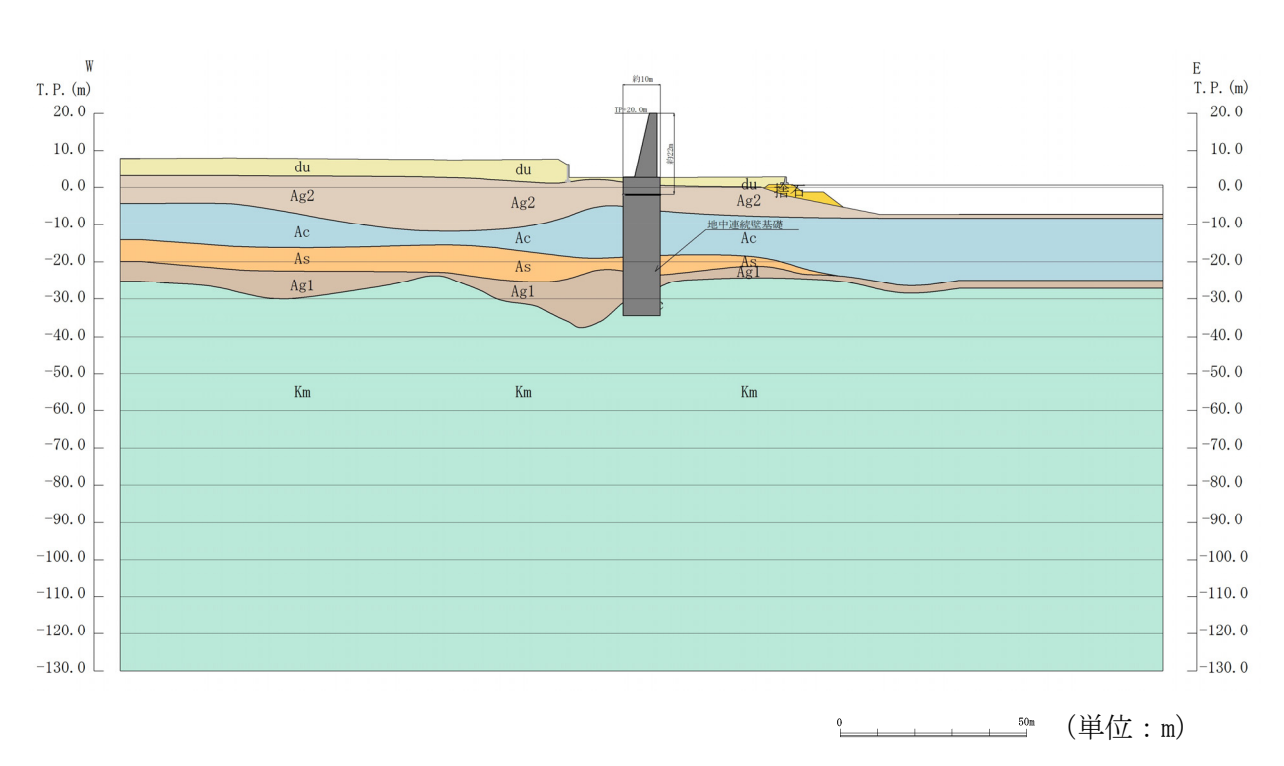
第3-2図(1) 鉄筋コンクリート防潮壁 評価対象断面図(①-①断面)



第3-2図(2) 鉄筋コンクリート防潮壁 評価対象断面図(②-②断面)



第3-2図(3) 鉄筋コンクリート防潮壁 評価対象断面図(③-③断面)



第3-2図(4) 鉄筋コンクリート防潮壁 評価対象断面図(④-④断面)

3.2 解析方法

地震応答解析は、添付書類「V-2-1-6 地震応答解析の基本方針」のうち、「2.3 屋外重要土木構造物」に示す解析方法及び解析モデルを踏まえて実施する。

地震応答計算では、地震時における地盤の有効応力の変化に伴う影響を考慮できる有効応力 解析を実施する。有効応力解析に用いる液状化強度特性は、敷地の原地盤における代表性及び 網羅性を踏まえた上で保守性を考慮して設定することを基本とする。

地中土木構造物への地盤変位に対する保守的な配慮として,地盤を強制的に液状化させることを仮定した影響を考慮する場合は,原地盤よりも十分に小さい液状化強度特性(敷地に存在しない豊浦標準砂の液状化強度特性)を設定する。

上部土木構造物及び機器・配管系への加速度応答に対する保守的な配慮として、地盤の非液 状化の影響を考慮する場合は、原地盤において非液状化の条件を仮定した解析を実施する。

地震応答解析には,解折コード「FLIP Ver. $7.3.0_2$ 」を使用する。なお,解析コードの検証及び妥当性確認の概要については,添付書類「V-5-10 計算機プログラム(解析コード)の概要・FLIP」に示す。

3.2.1 構造部材

構造部材は、線形はり要素及び平面ひずみ要素によりモデル化する。

3.2.2 地盤

地盤の繰返しせん断応力~せん断ひずみ関係の骨格曲線の構成則を有効応力解析へ適用 する際は、地盤の繰返しせん断応力~せん断ひずみ関係の骨格曲線に関するせん断ひずみ 及び有効応力の変化に応じた特徴を適切に表現できるモデルを用いる必要がある。

一般に、地盤は荷重を与えることによりせん断ひずみを増加させていくと、地盤のせん 断応力は上限値に達し、それ以上はせん断応力が増加しなくなる特徴がある。また、地盤 のせん断応力の上限値は有効応力に応じて変化する特徴がある。

よって、耐震評価における有効応力解析では、地盤の繰返しせん断応力~せん断ひずみ関係の骨格曲線の構成則として、地盤の繰返しせん断応力~せん断ひずみ関係の骨格曲線に関するせん断ひずみ及び有効応力の変化に応じたこれら2つの特徴を表現できる双曲線モデル(H-Dモデル)を選定する。

3.2.3 減衰定数

固有値解析により求められる固有振動数及び初期減衰定数に基づく要素剛性比例型減衰 を考慮する。また、非線形特性をモデル化する地盤の履歴減衰を考慮する。

3.2.4 地震応答解析の検討ケース

(1) 耐震設計における検討ケース

耐震設計における検討ケースを第3-1表に示す。

耐震評価においては、全ての基準地震動S。に対して実施する①の検討ケースにおいて、せん断力照査及び曲げ軸力照査をはじめとした全ての照査項目について、各照査値が最も厳しい(許容限界に対する余裕が最も小さい)地震動を用い、②~⑥の中から追加検討ケースを実施する。

第3-1表 耐震設計における検討ケース

検討ケース	① 原地盤に基づ く液状化強度 特性を用いた 解析ケース (基本ケース)	② 地盤物性のば らつきを考慮 (+1 σ)し た解析ケース	③ 地盤物性のば らつきを考慮 (-1 g) し た解析ケース	④ 地盤を強制的 に液状化させ ることを仮定 した解析ケー ス	⑤ 原地盤におい て非液状化の 条件を仮定し た解析ケース	⑥ 地盤物性のば らつきを考慮 (+1 σ)し て非液状化の 条件を仮定し た解析ケース
液状化強度 特性の設定	原地盤に基 づく液状化 強度特性 (標準偏差 を考慮)	原地盤に基 づく液状化 強度特性 (標準偏差 を考慮)	原地盤に基 づく液状化 強度特性 (標準偏差 を考慮)	敷地に存在 しない豊浦 標準砂の液 状化強度特 性	液状化パラ メータを非 適用	液状化パラ メータを非 適用

構造物間の相対変位の算定を行う場合は、上記の実施ケースにおいて変位量が厳しいケースで行う。

(2) 機器・配管系に対する加速度応答抽出のための検討ケース

機器・配管系に対する加速度応答の抽出における検討ケースを第3-2表に示す。

全ての基準地震動 S。に対して実施する⑤の検討ケース(原地盤において非液状化の条件を仮定した検討ケース)において、上載される機器・配管系の固有周期帯で加速度応答が最も大きくなる地震動を用い、④及び⑥より追加検討ケースを実施する。

第3-2表 機器・配管系に対する加速度応答の抽出のための検討ケース

検討ケース	④ 地盤を強制的に液状化させることを仮定した解析ケース	⑤ 原地盤において非液状化 の条件を仮定した解析ケ ース	⑥ 地盤物性のばらつきを考慮(+1σ)して非液状化の条件を仮定した解析ケース
液状化強度特性 の設定	敷地に存在しない豊浦標 準砂の液状化強度特性	液状化パラメータを非適 用	液状化パラメータを非適 用

3.3 荷重及び荷重の組合せ

荷重及び荷重の組合せは、添付書類「V-2-1-9 機能維持の基本方針」に基づき設定する。

3.3.1 耐震安全性評価上考慮する状態

鉄筋コンクリート防潮壁の地震応答解折において, 地震以外に考慮する状態を以下に示す。

(1) 運転時の状態

発電用原子炉が運転状態にあり、通常の条件下におかれている状態。ただし、運転時の 異常な過渡変化時の影響を受けないことから考慮しない。

(2) 設計基準事故時の状態 設計基準事故時の影響を受けないことから考慮しない。

(3) 設計用自然条件 積雪及び風荷重を考慮する。

(4) 重大事故等時の状態 重大事故等時の状態の影響を受けないことから考慮しない。

3.3.2 荷重

鉄筋コンクリート防潮壁の地震応答解折において、考慮する荷重を以下に示す。

(1) 固定荷重(G) 固定荷重として, 躯体自重を考慮する。

(2) 積載荷重(P) 積載荷重として機器及び配管荷重を考慮する。

(3) 地震荷重(K_s)基準地震動S_sによる荷重を考慮する。

(4) 積雪荷重(P_s)積雪荷重として30 cmの積雪を考慮する。

(5) 風荷重(P_k)

風荷重として,風速30 m/sの風圧力を考慮する。

3.3.3 荷重の組合せ

荷重の組合せを第3-3表に示す。

第3-3表 荷重の組合せ

外力の状態	荷重の組合せ
地震時(S _s)	$G + P + K_s + P_s + P_k$

G: 固定荷重P: 積載荷重K s: 地震荷重

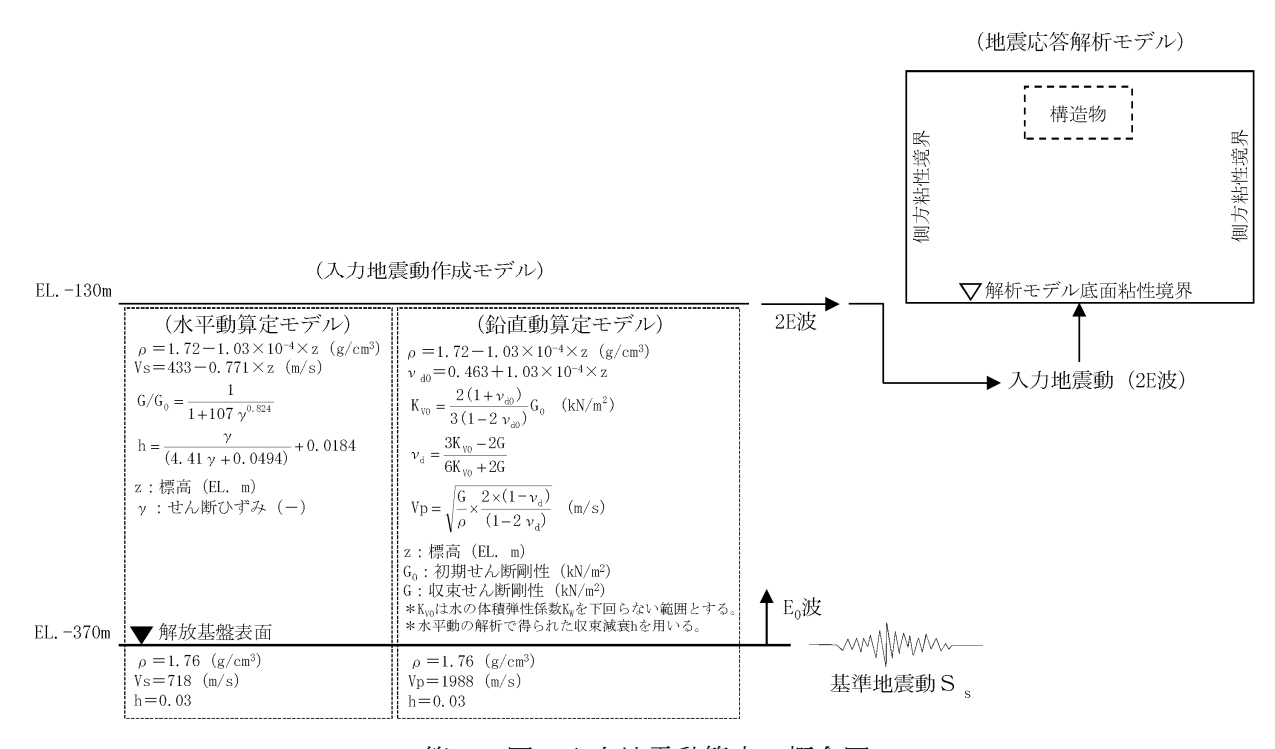
3.4 入力地震動

入力地震動は、添付書類「V-2-1-6 地震応答解析の基本方針」のうち「2.3 屋外重要土木構造物」に示す入力地震動の設定方針を踏まえて設定する。

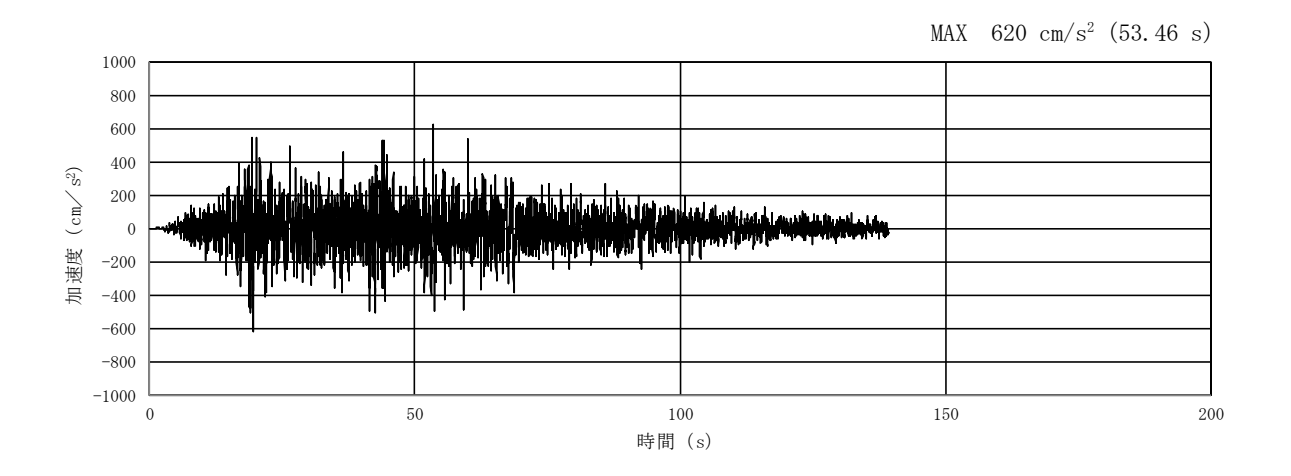
地震応答解析に用いる入力地震動は、解放基盤表面で定義される基準地震動 S_sを、1次元波動論により地震応答解析モデルの底面位置で評価したものを用いる。入力地震動算定の概念図を第3-3図に示す。

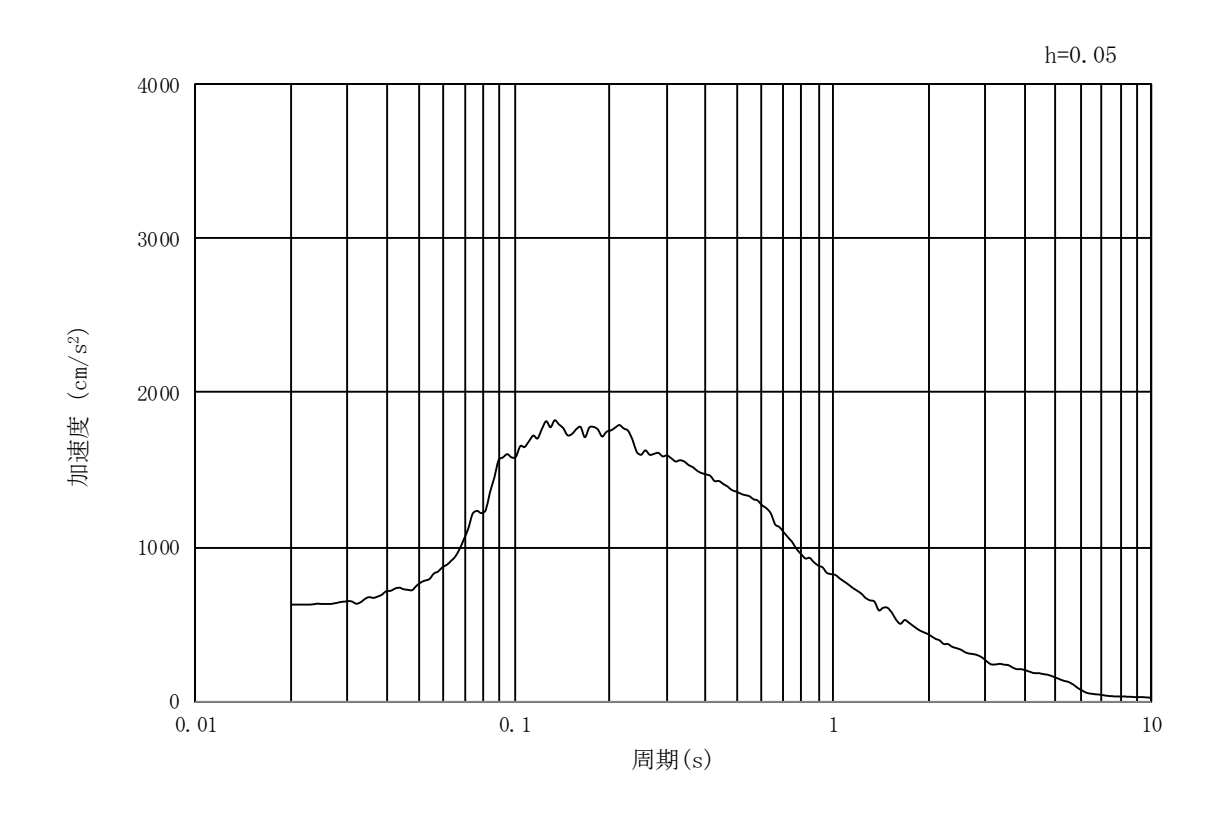
入力地震動の算定には,解折コード「k-SHAKE Ver. 6. 2. 0」を使用する。解折コードの検証及び妥当性確認の概要については,添付書類「V-5-25 計算機プログラム(解析コード)の概要・k-SHAKE」に示す。

第3-4図に入力地震動の加速度時刻歴波形及び加速度応答スペクトルを示す。



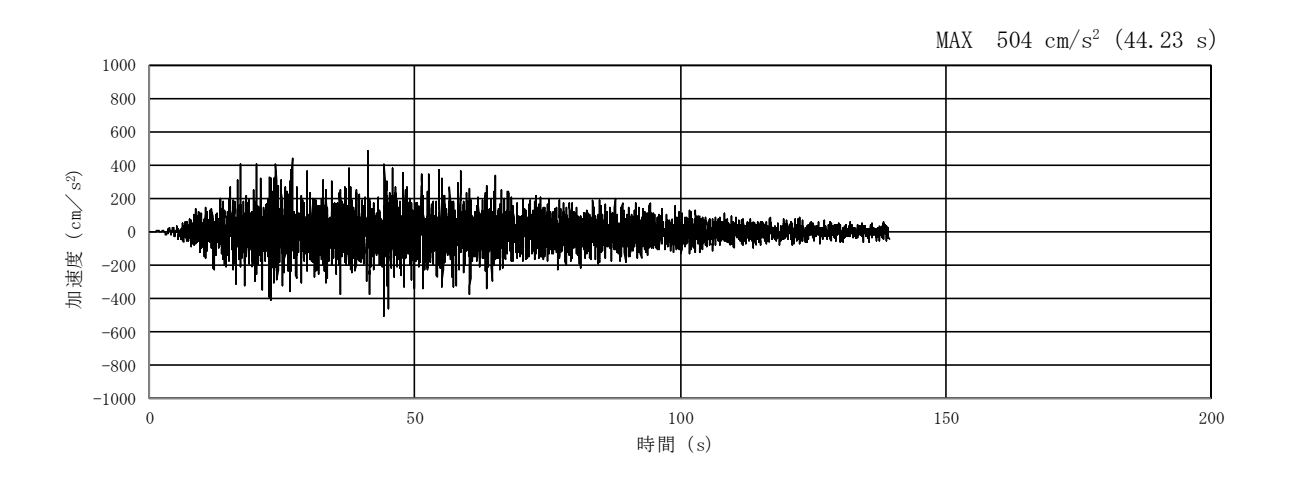
第3-3図 入力地震動算定の概念図

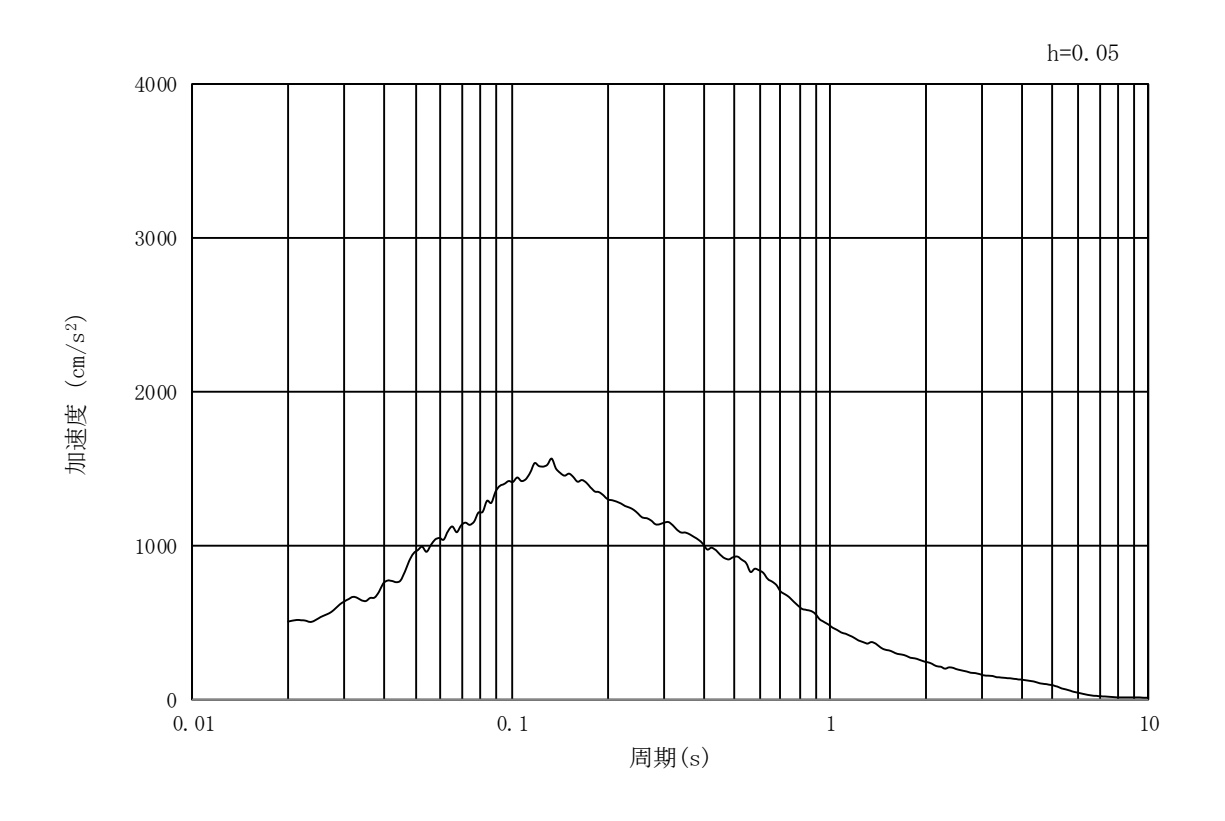




(b) 加速度応答スペクトル

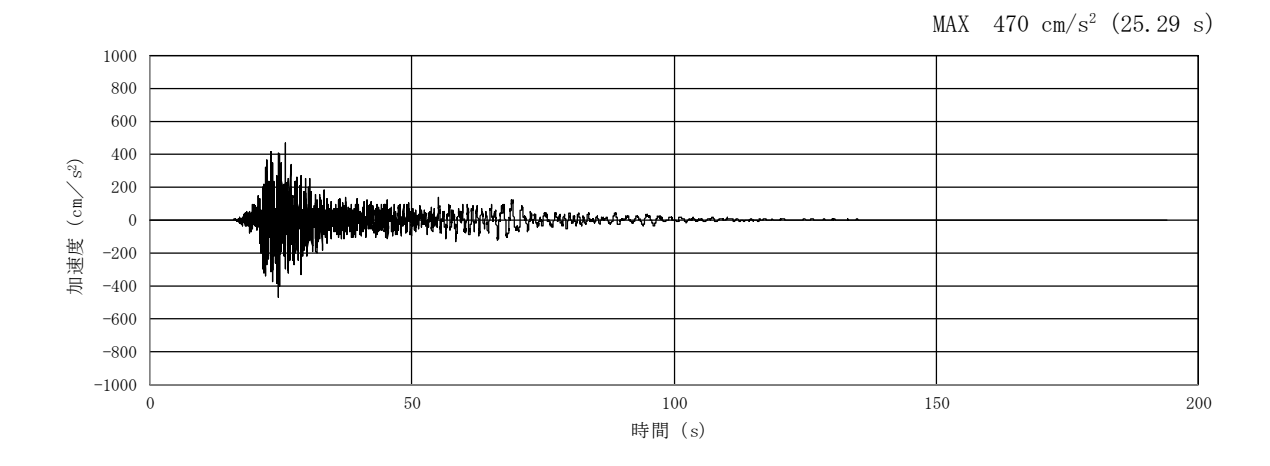
第3-4図(1) 入力地震動の加速度時刻歴波形及び加速度応答スペクトル (①-①及び②-②断面,水平成分:S_s-D1)

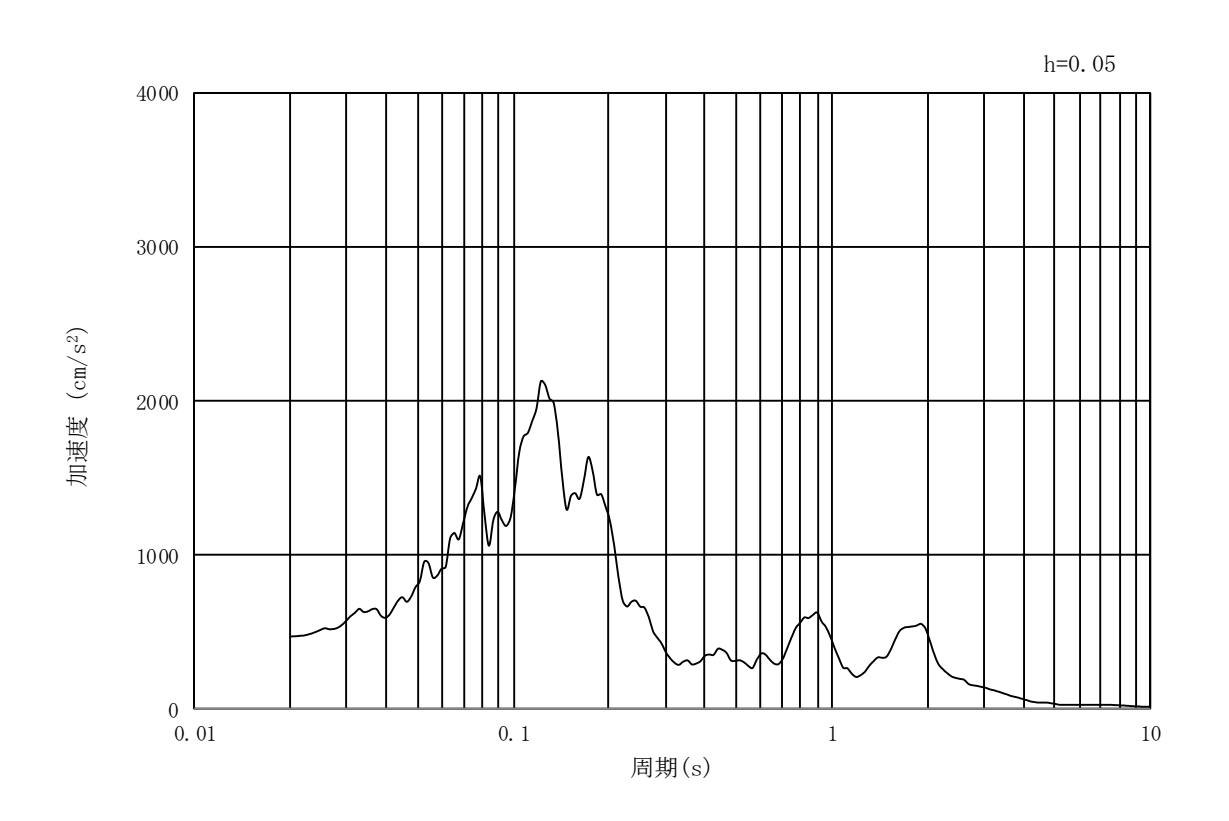




(b) 加速度応答スペクトル

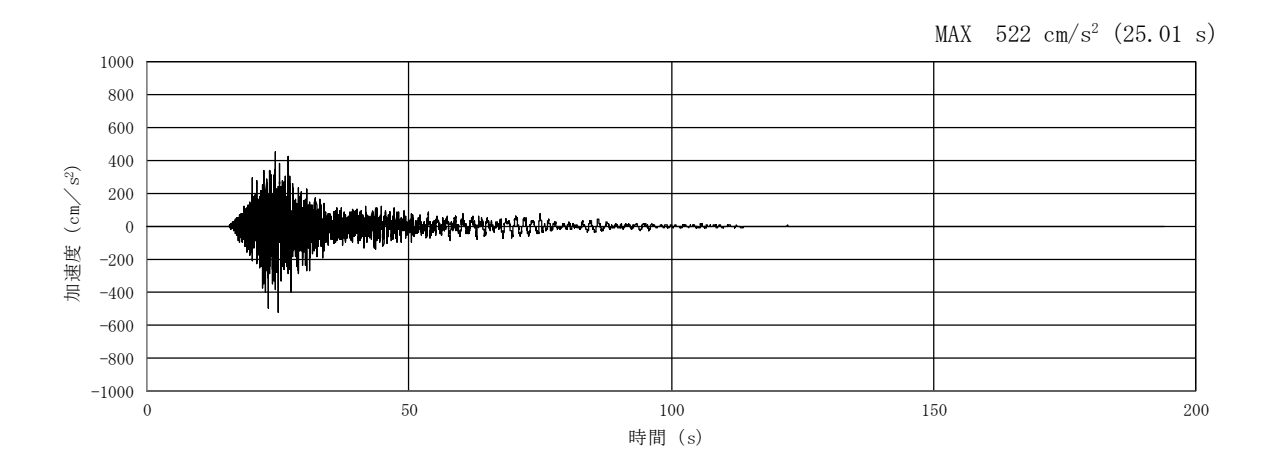
第3-4図(2) 入力地震動の加速度時刻歴波形及び加速度応答スペクトル (①-①及び②-②断面,鉛直成分:S_s-D1)

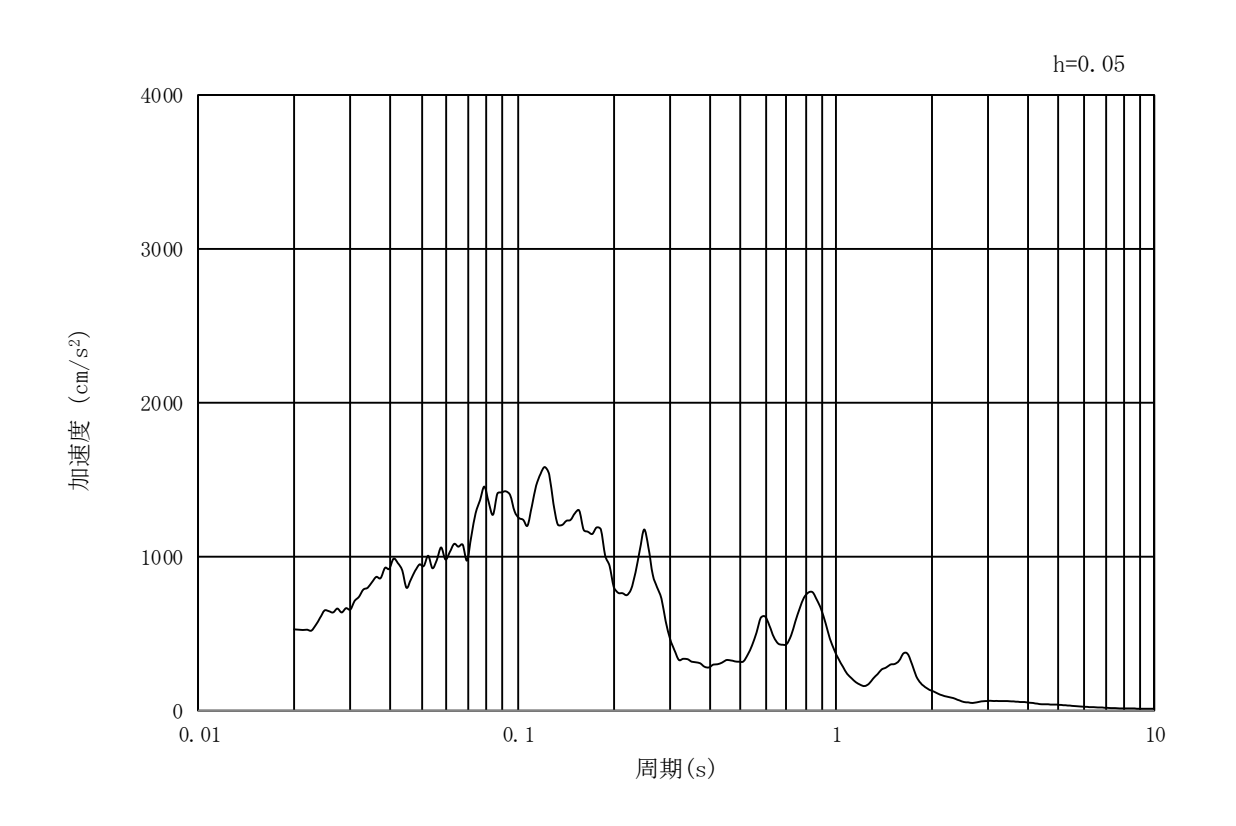




(b) 加速度応答スペクトル

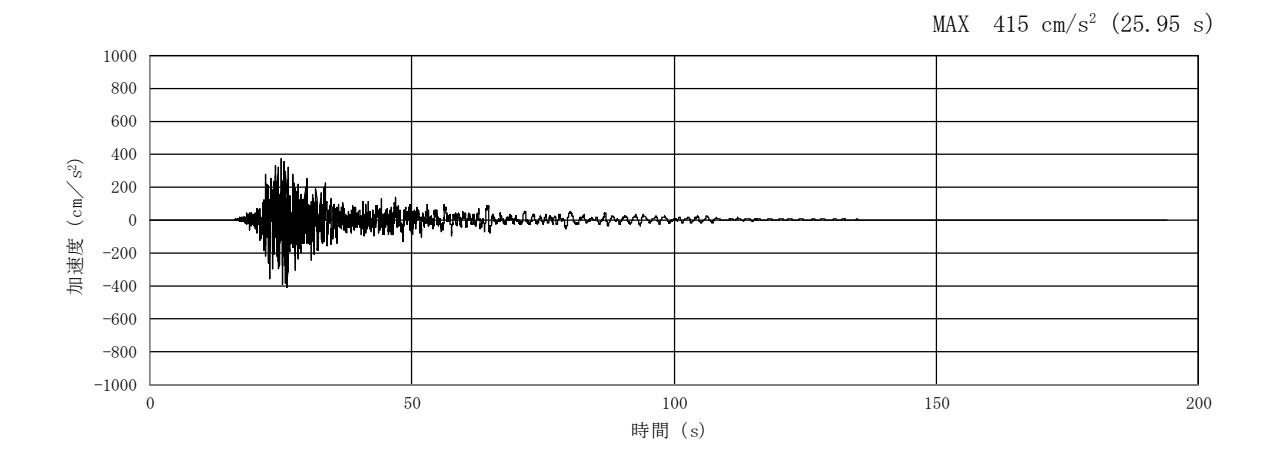
第3-4図(3) 入力地震動の加速度時刻歴波形及び加速度応答スペクトル (①-①断面,水平成分:S_s-11)

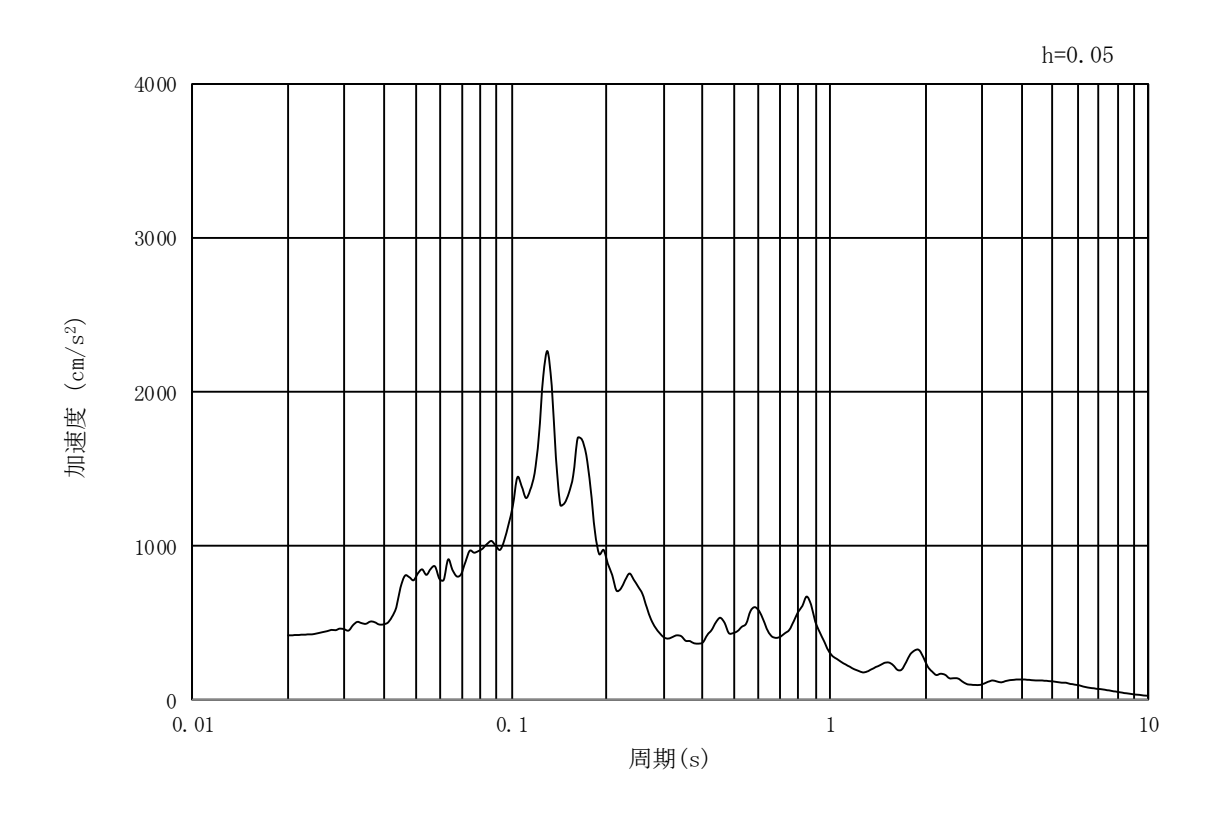




(b) 加速度応答スペクトル

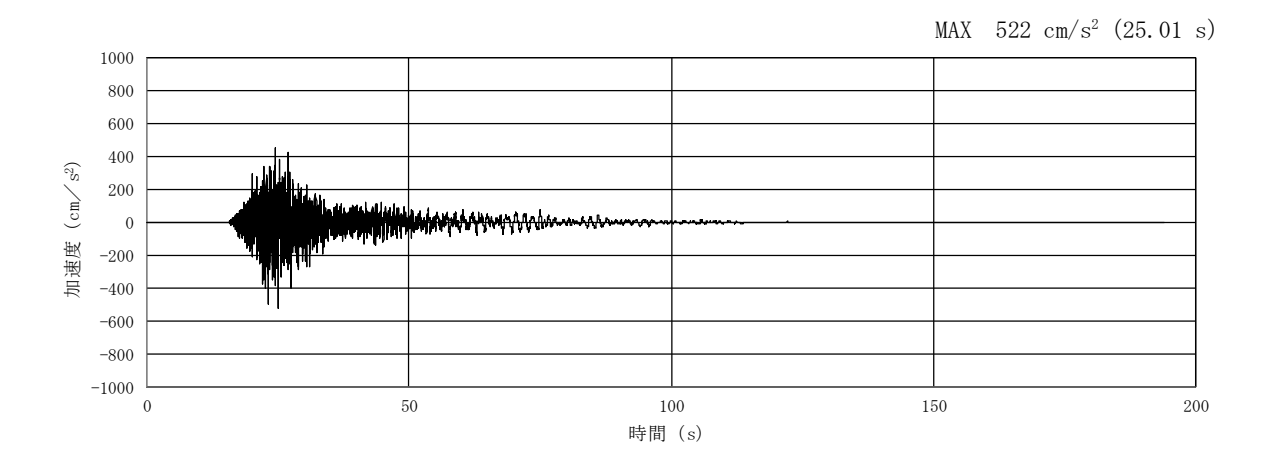
第 3-4 図 (4) 入力地震動の加速度時刻歴波形及び加速度応答スペクトル (①-①断面,鉛直成分: S_s-11)

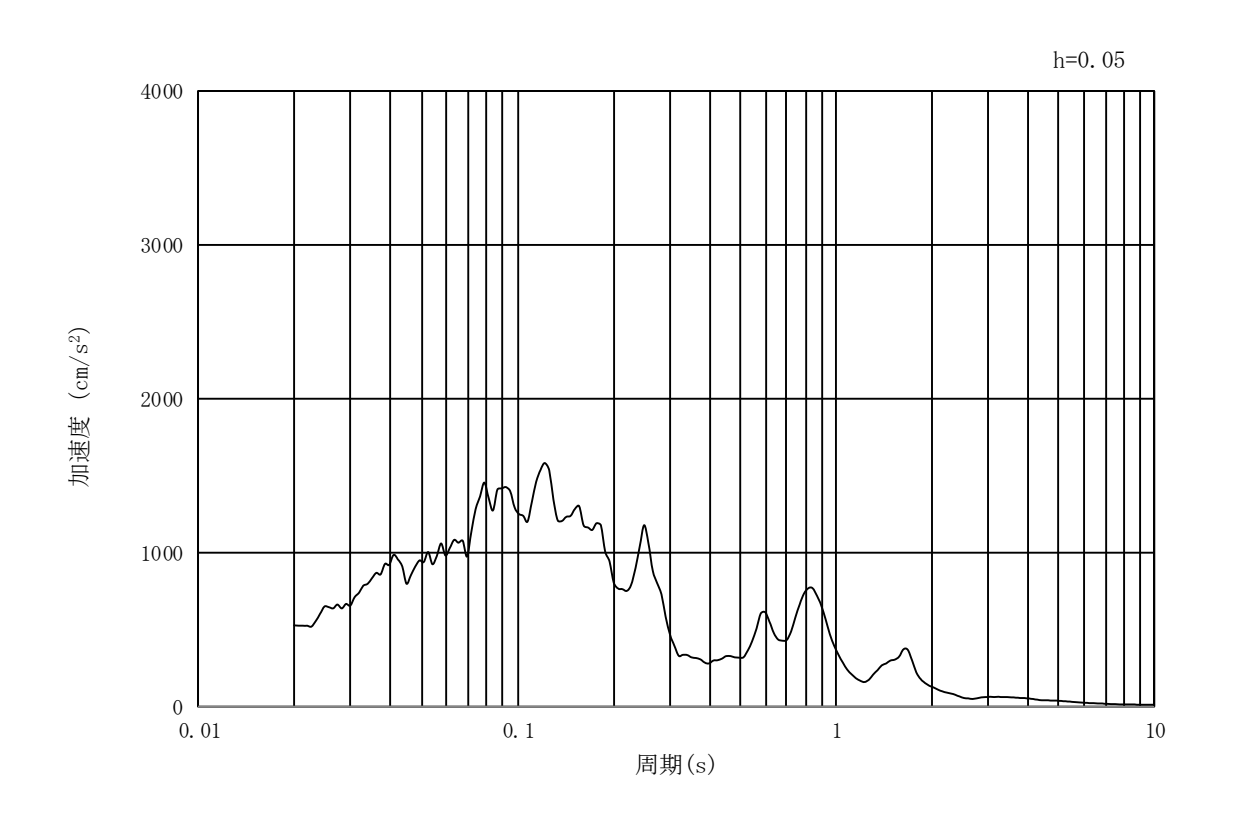




(b) 加速度応答スペクトル

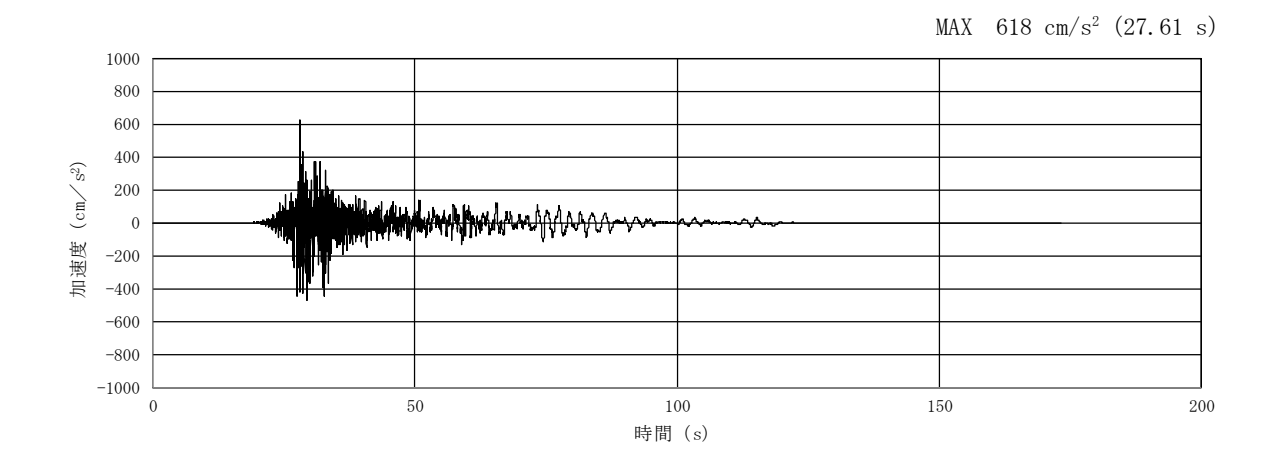
第3-4図(5) 入力地震動の加速度時刻歴波形及び加速度応答スペクトル (②-②断面,水平成分:S_s-11)

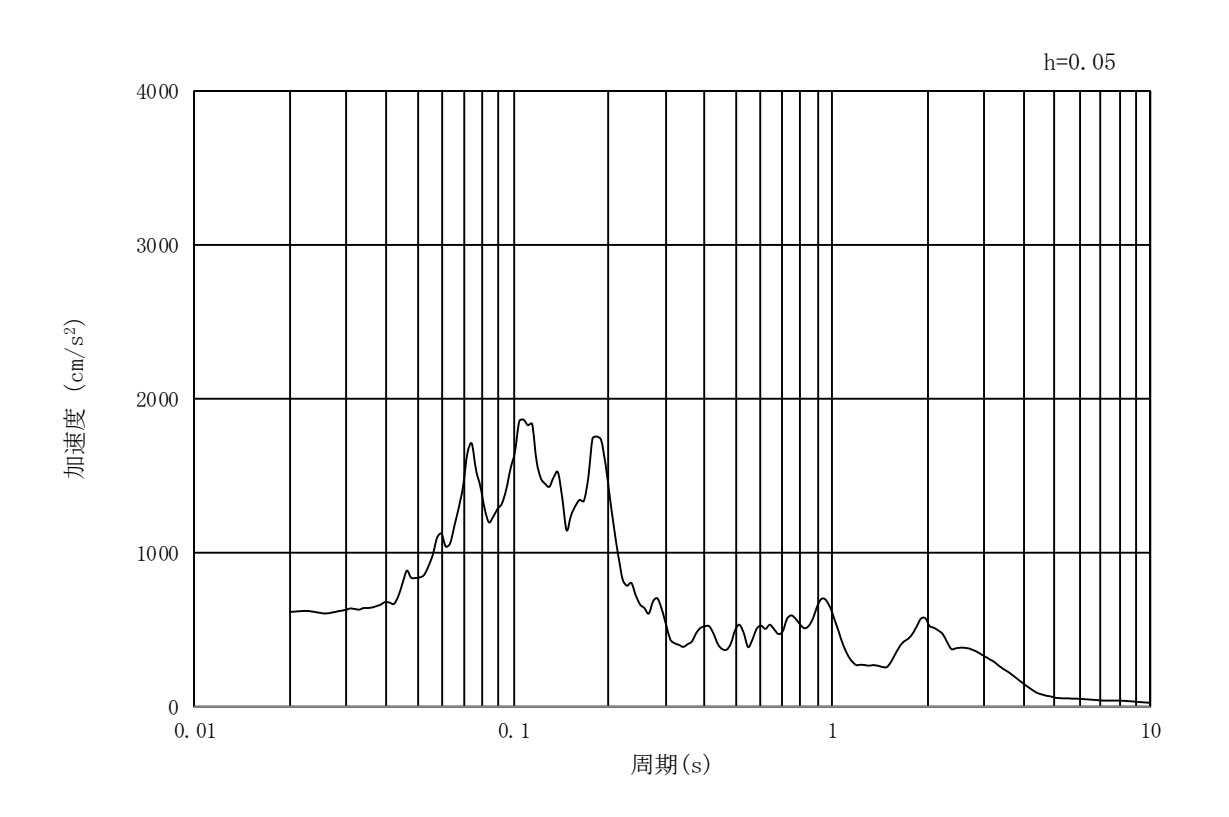




(b) 加速度応答スペクトル

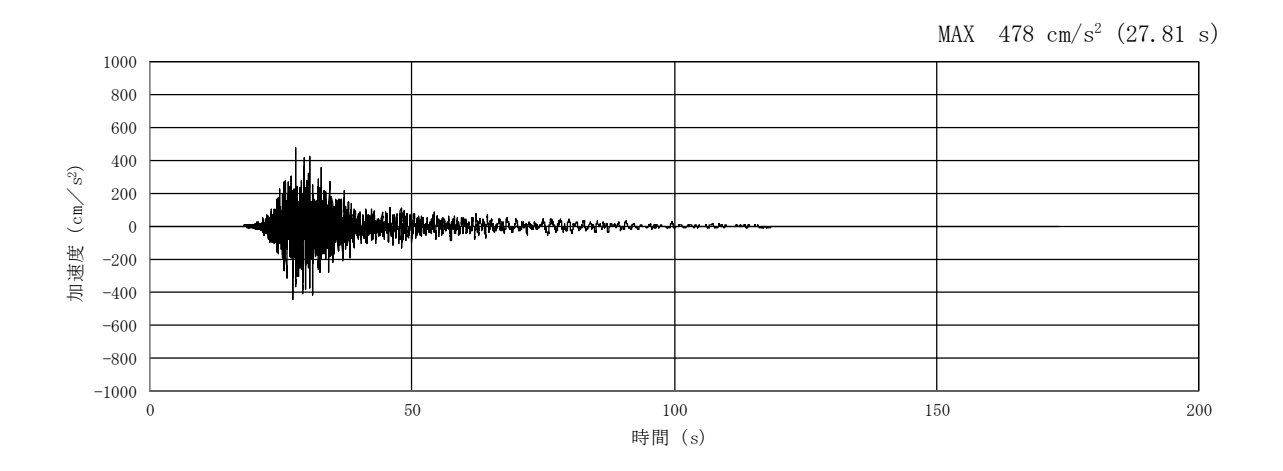
第3-4図(6) 入力地震動の加速度時刻歴波形及び加速度応答スペクトル (②-②断面,鉛直成分:S_s-11)

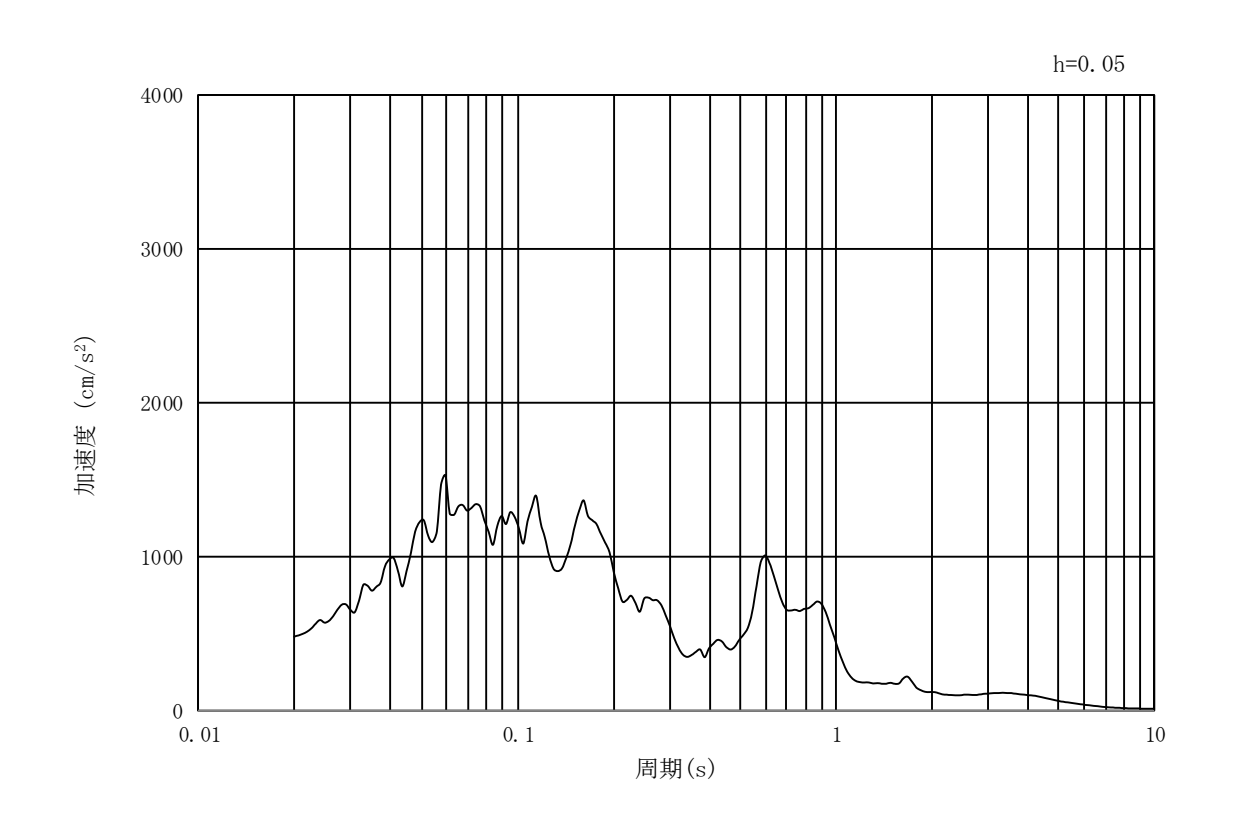




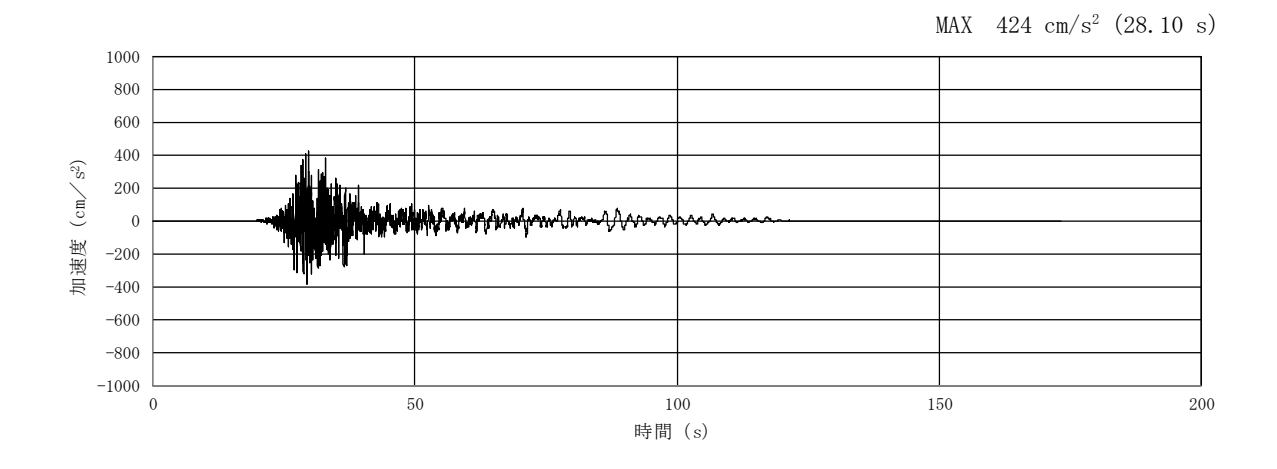
(b) 加速度応答スペクトル

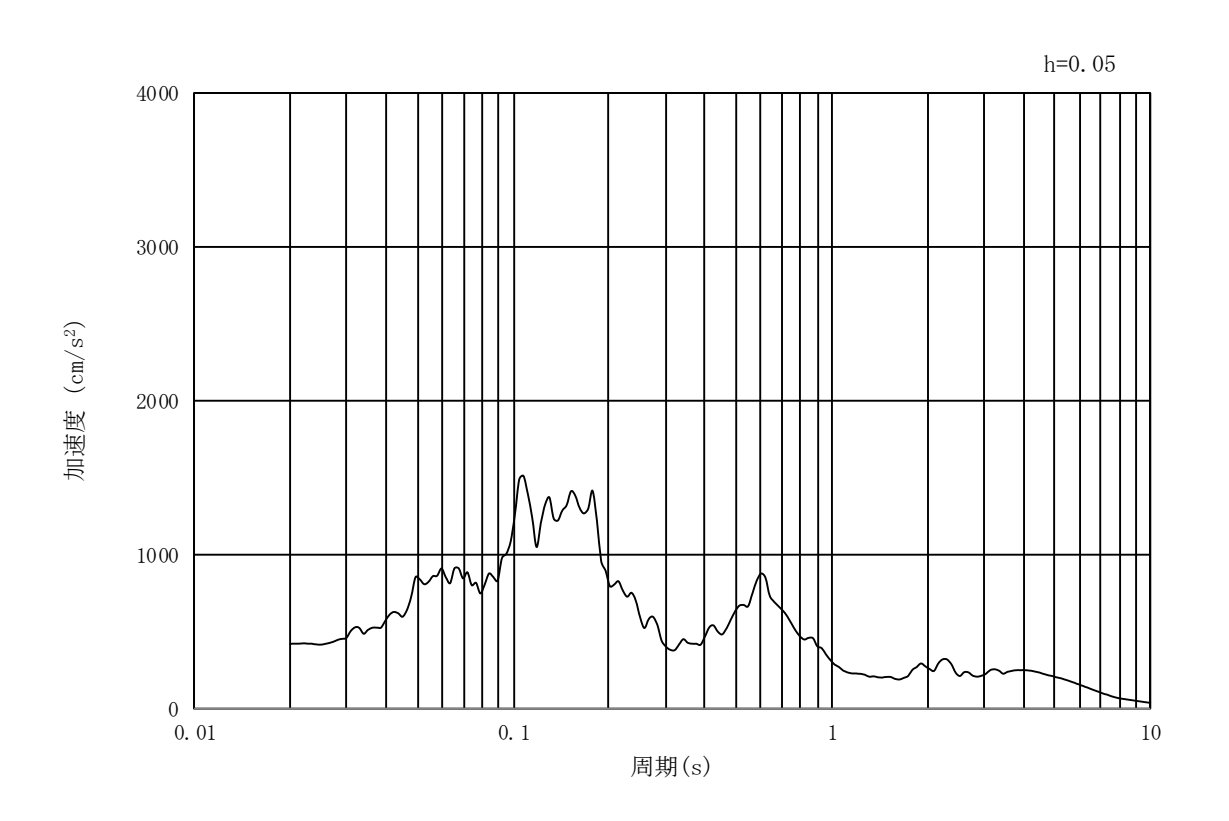
第 3-4 図 (7) 入力地震動の加速度時刻歴波形及び加速度応答スペクトル (①-①断面,水平成分:S_s-12)





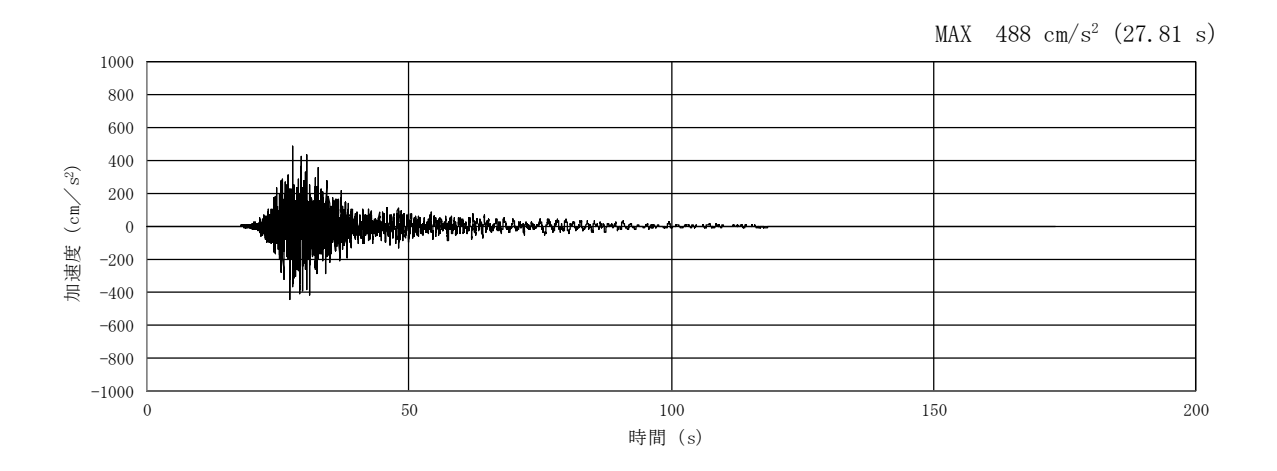
(b) 加速度応答スペクトル

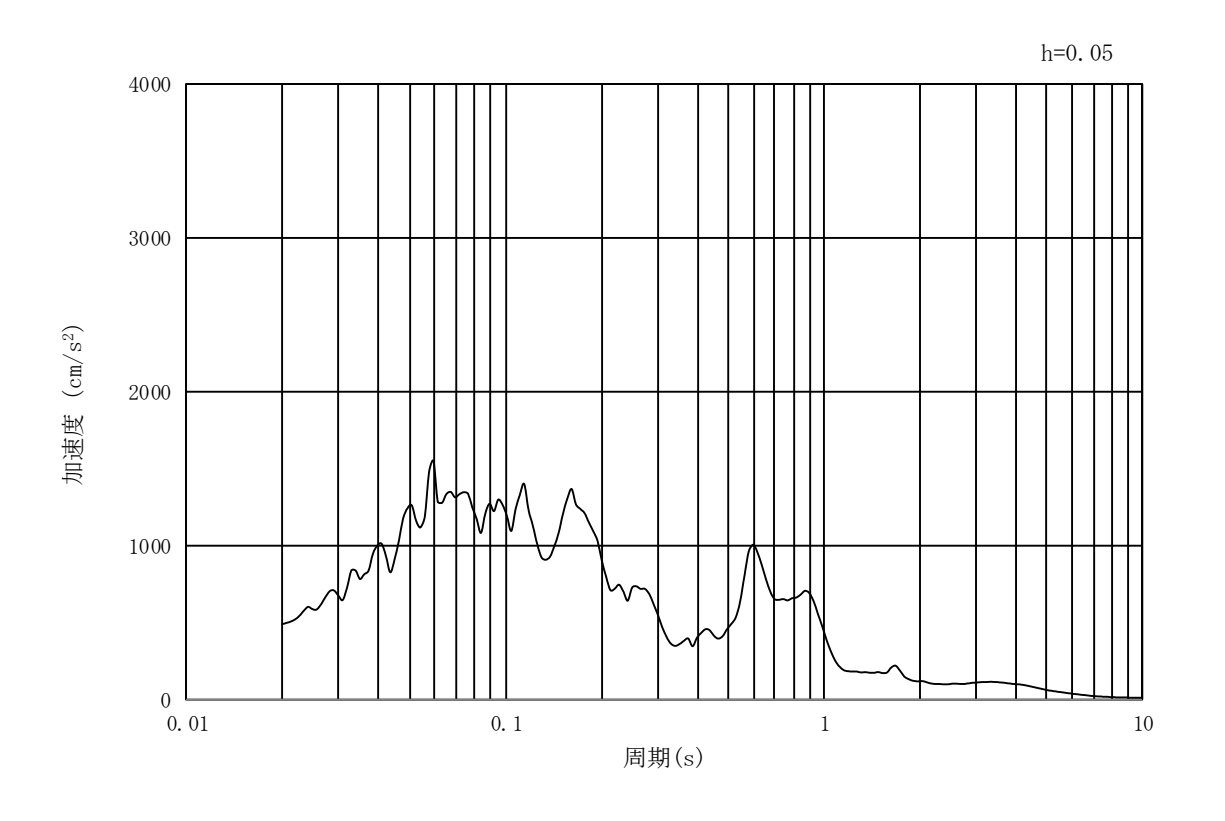




(b) 加速度応答スペクトル

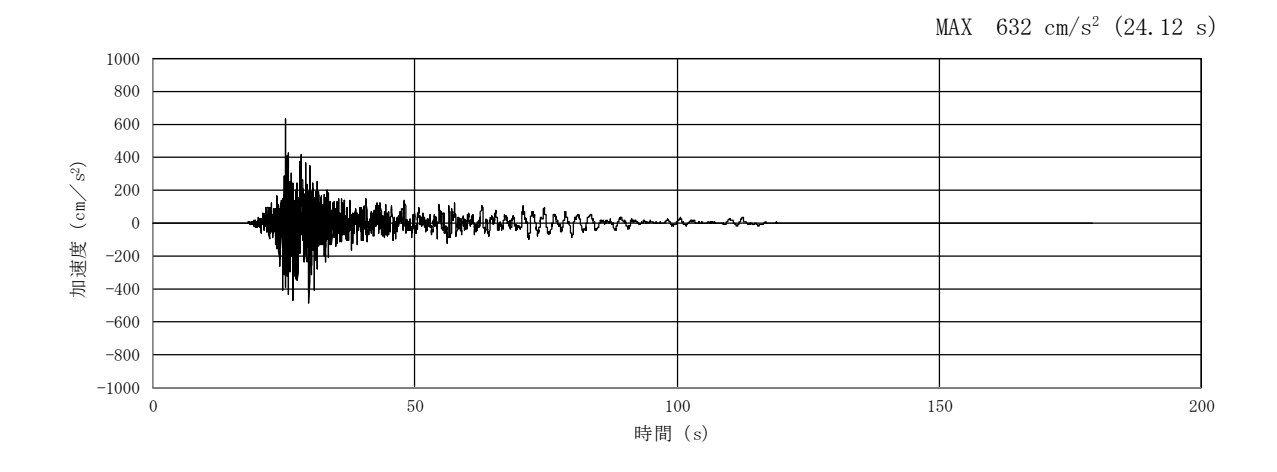
第3-4図(9) 入力地震動の加速度時刻歴波形及び加速度応答スペクトル (②-②断面,水平成分:S_s-12)



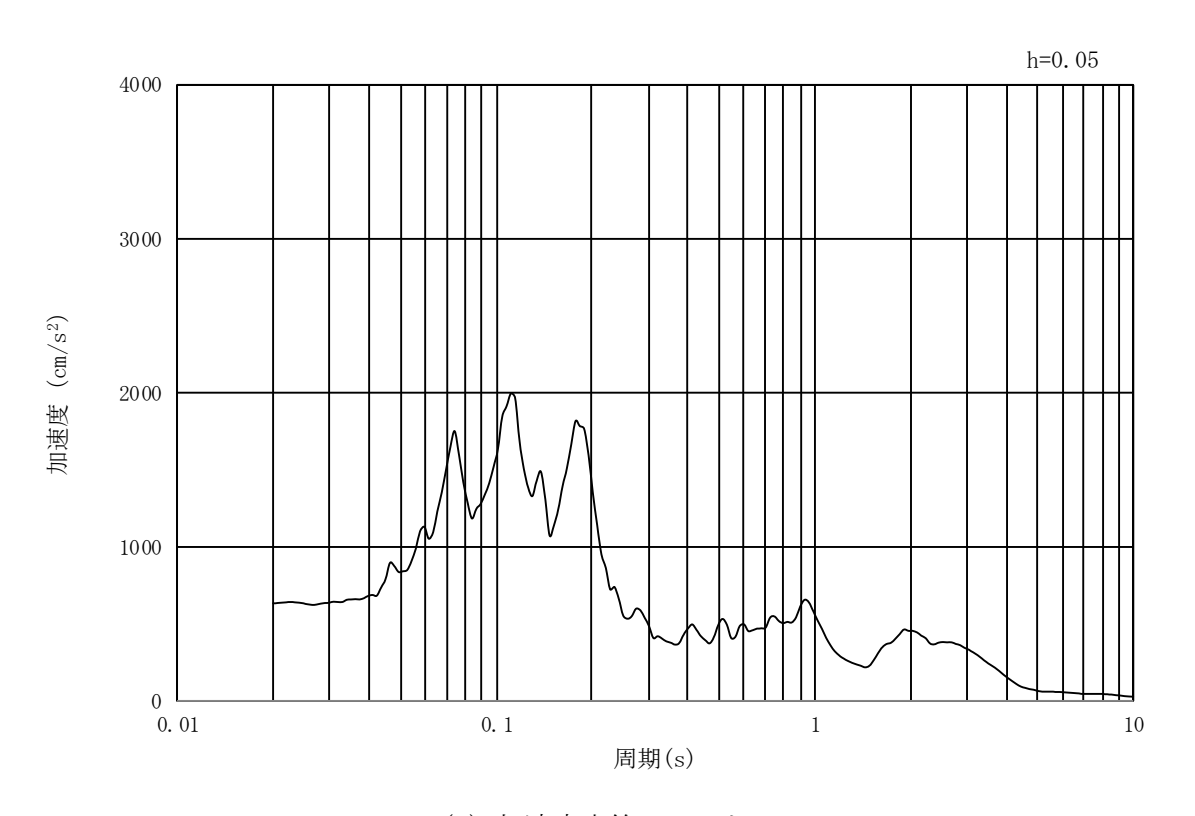


(b) 加速度応答スペクトル

第 3-4 図 (10) 入力地震動の加速度時刻歴波形及び加速度応答スペクトル (②-②断面,鉛直成分:S_s-12)

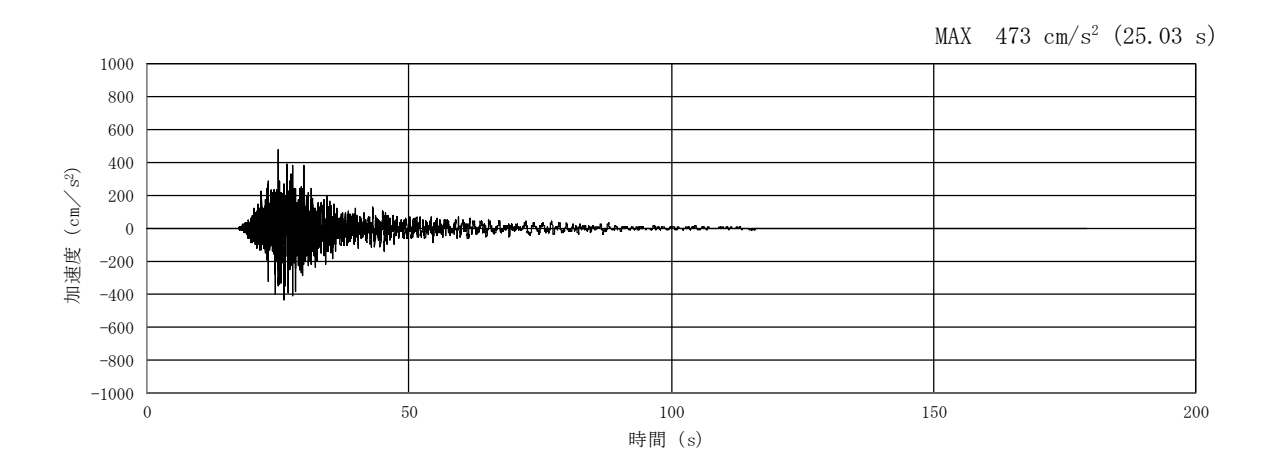


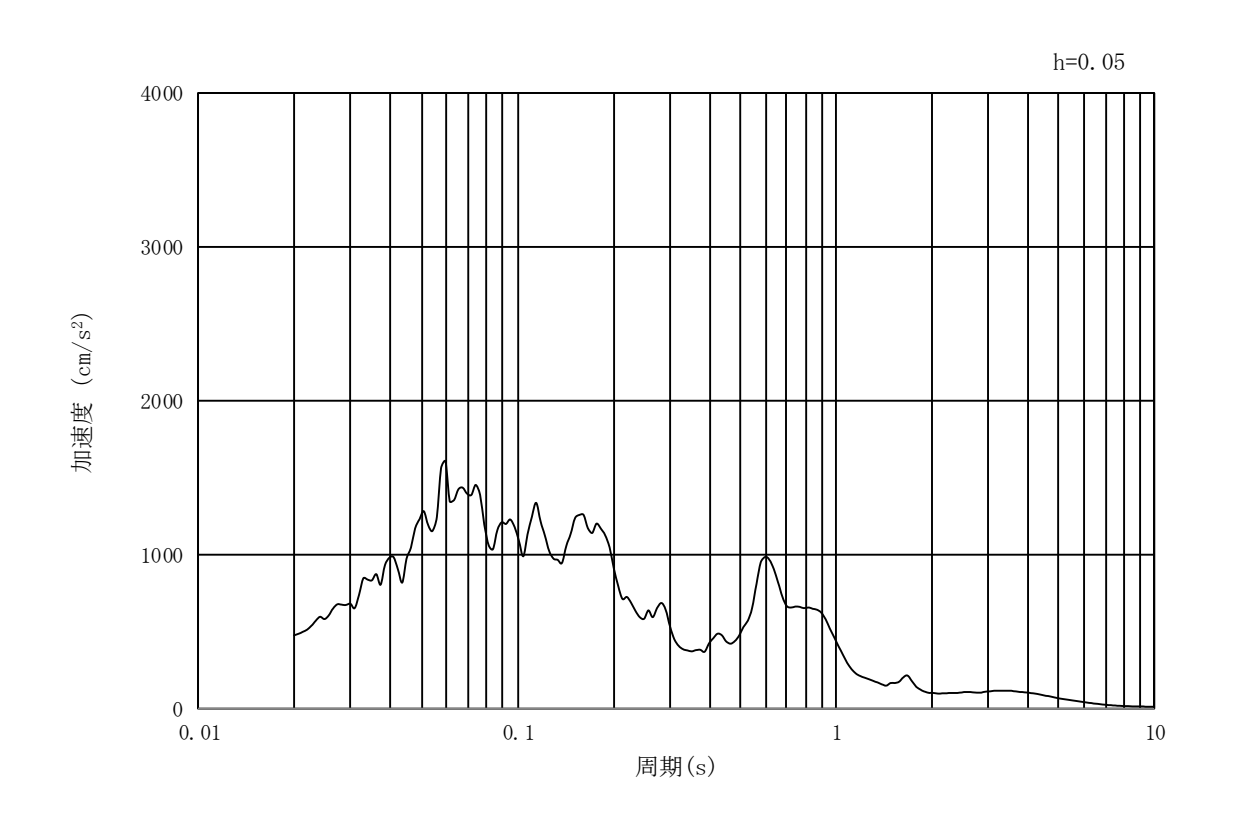
(a) 加速度時刻歷波形



(b) 加速度応答スペクトル

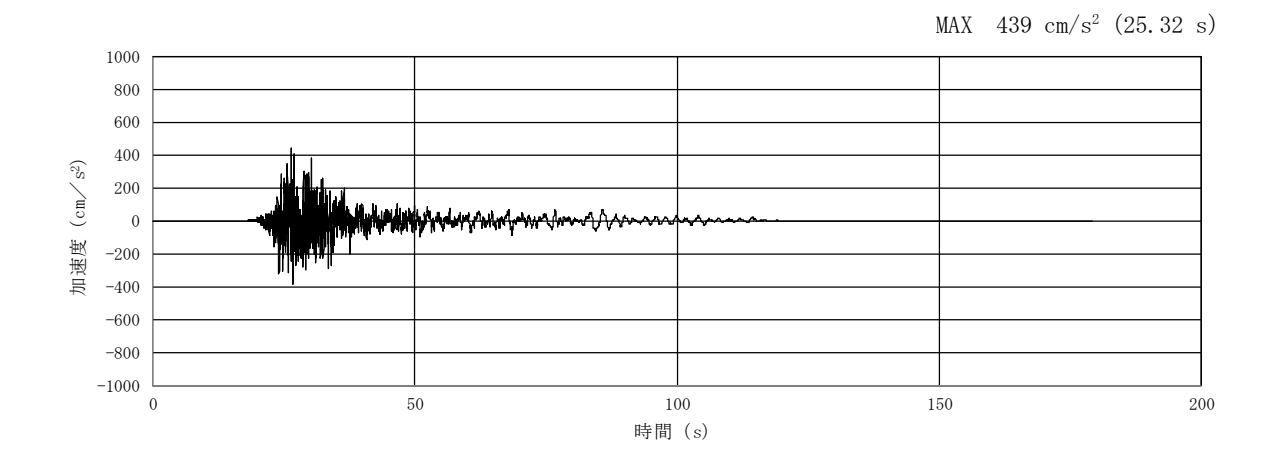
第 3-4 図 (11) 入力地震動の加速度時刻歴波形及び加速度応答スペクトル (①-①断面,水平成分:S_s-13)

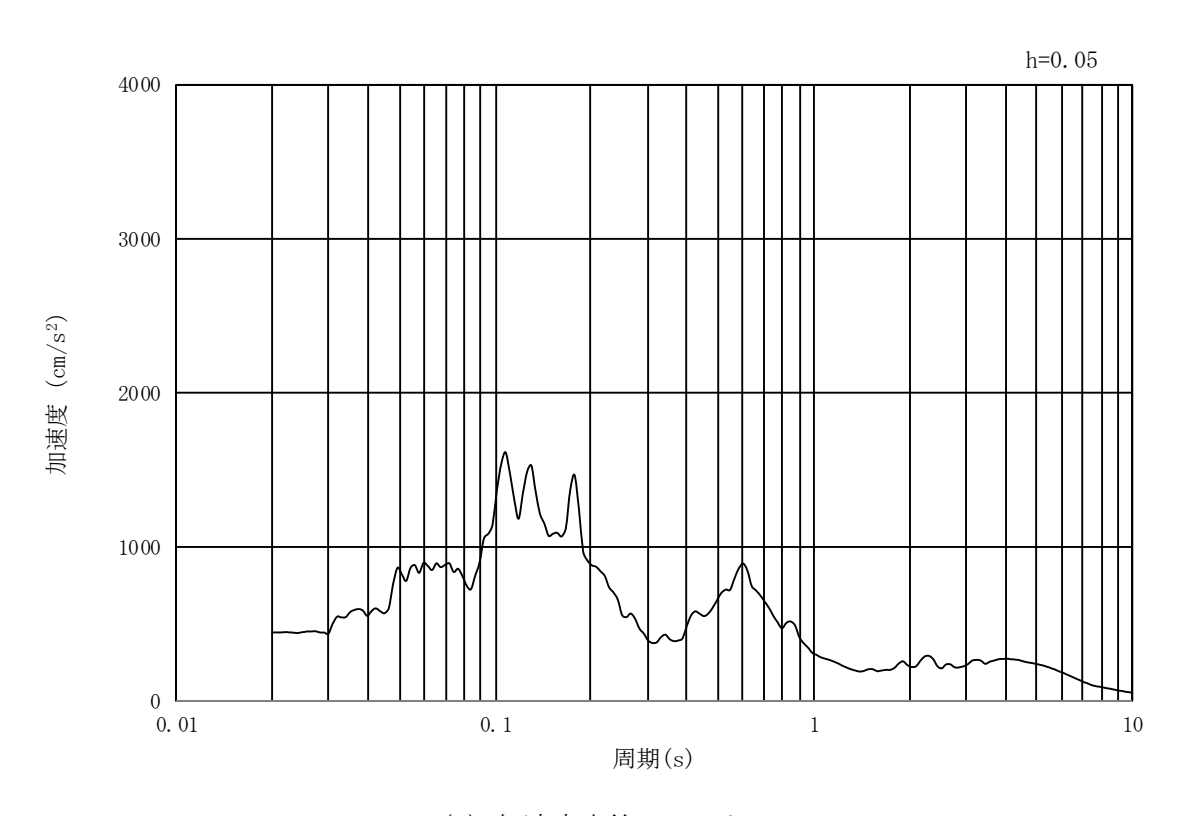




(b) 加速度応答スペクトル

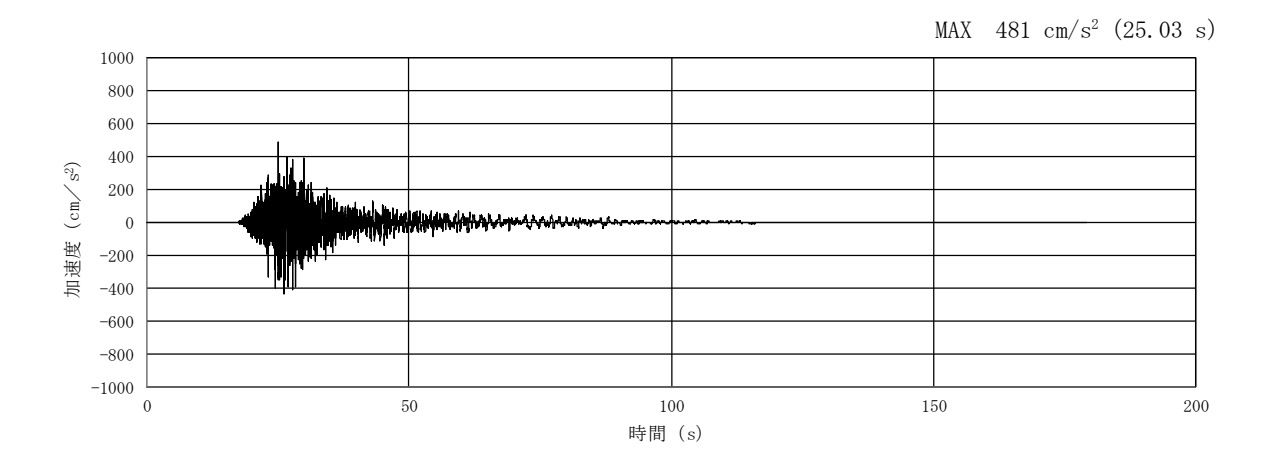
第 3-4 図 (12) 入力地震動の加速度時刻歴波形及び加速度応答スペクトル (①-①断面,鉛直成分:S_s-13)

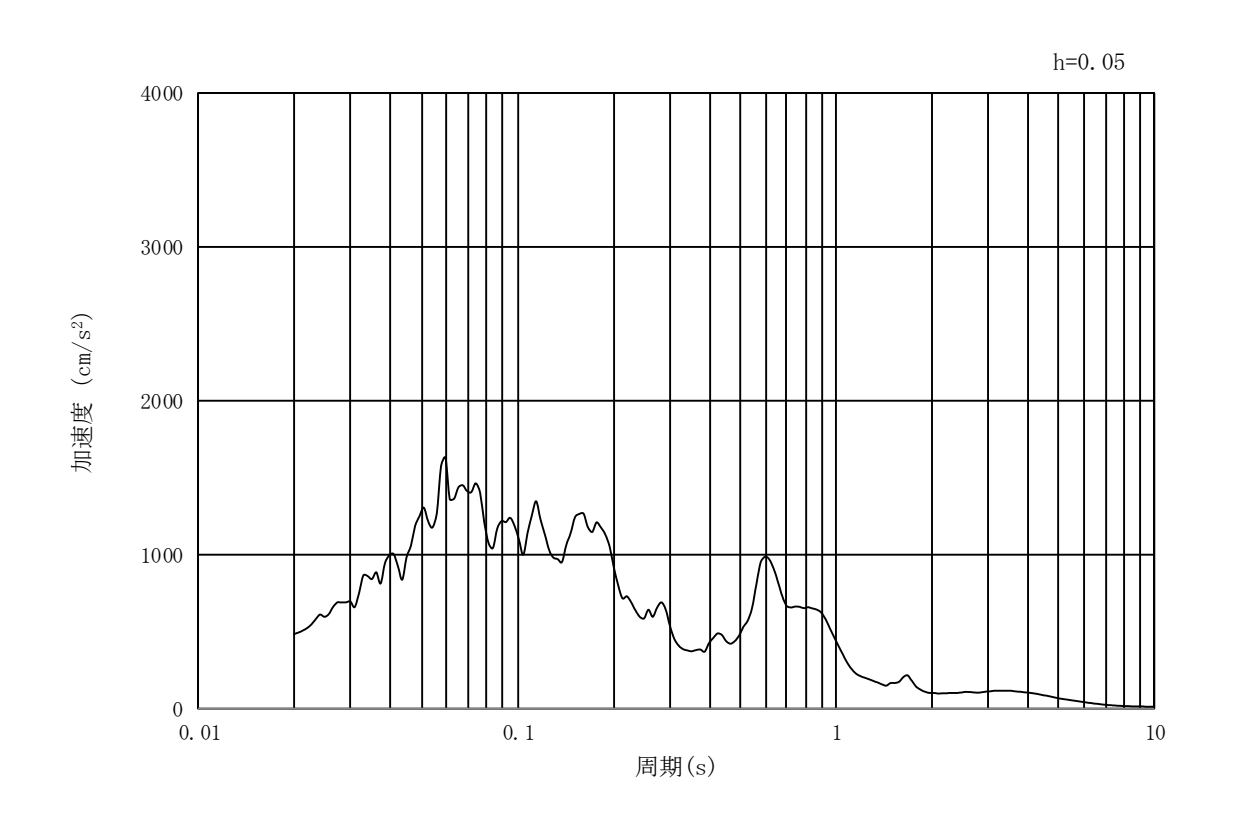




(b) 加速度応答スペクトル

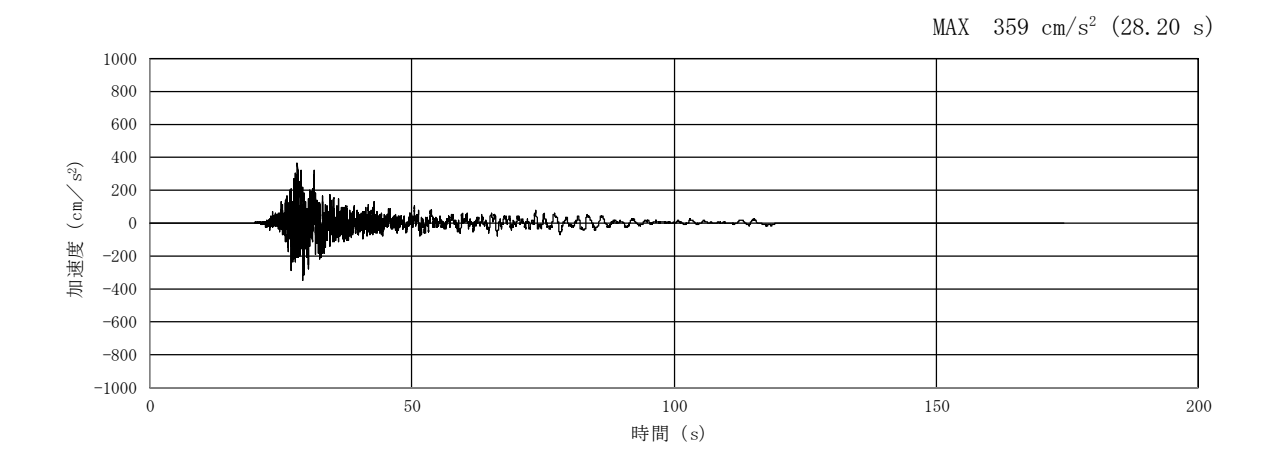
第 3-4 図 (13) 入力地震動の加速度時刻歴波形及び加速度応答スペクトル (②-②断面,水平成分:S_s-13)

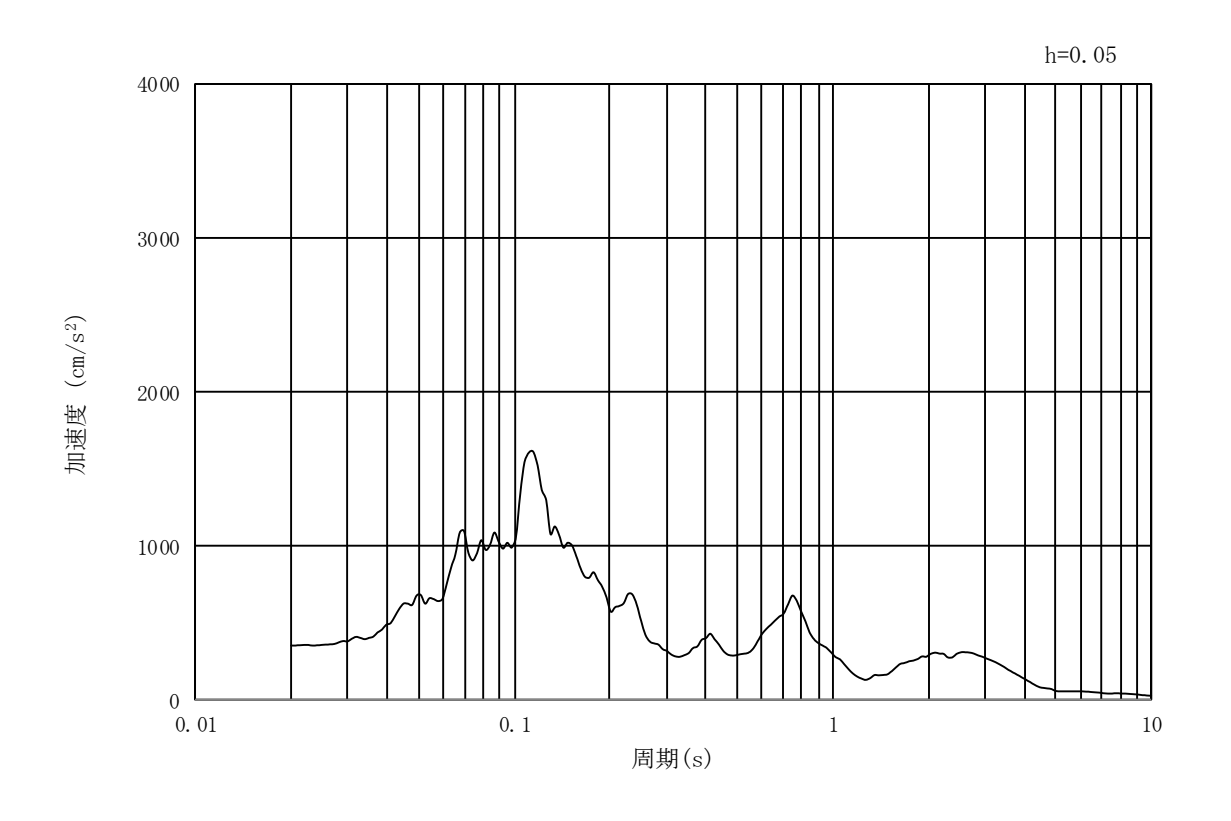




(b) 加速度応答スペクトル

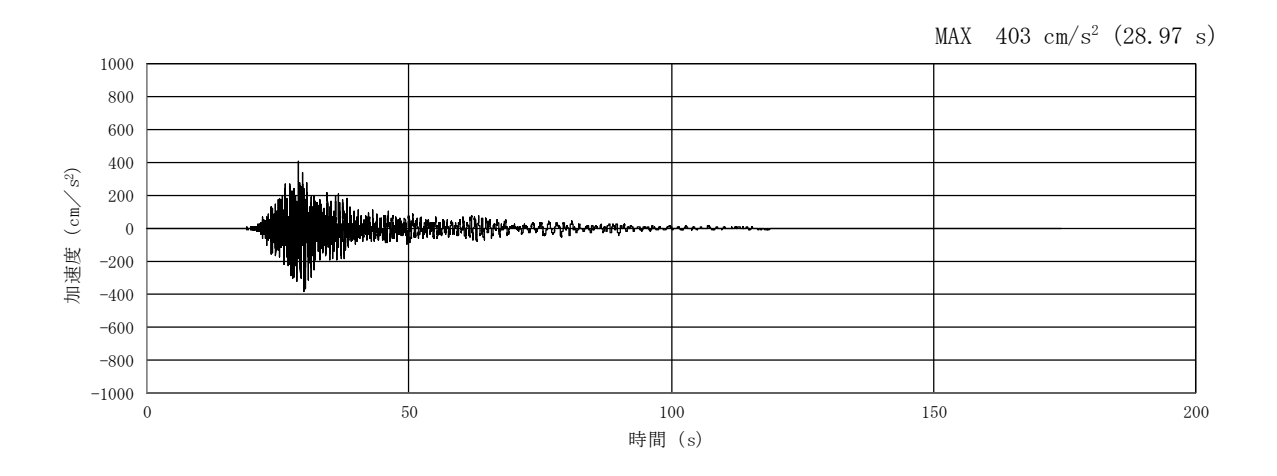
第 3-4 図(14) 入力地震動の加速度時刻歴波形及び加速度応答スペクトル (②-②断面、鉛直成分: S_s-13)

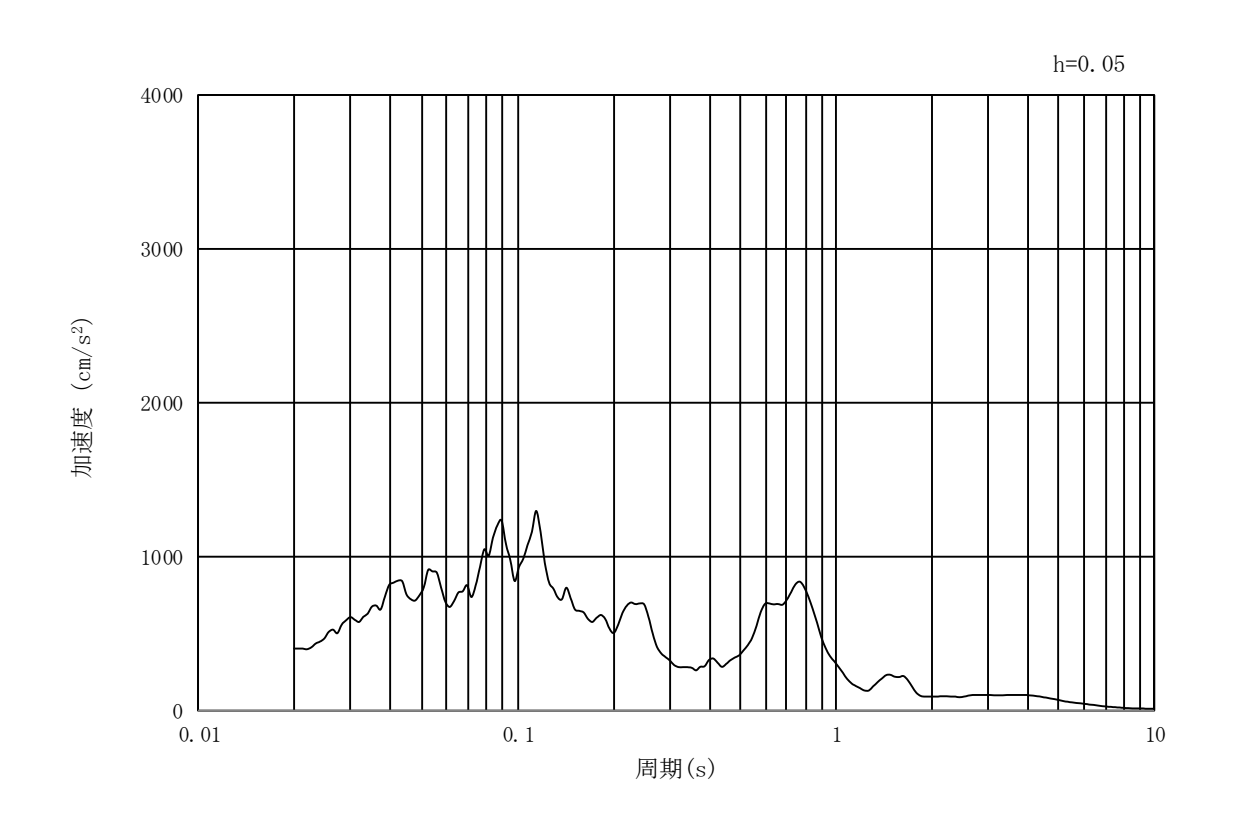




(b) 加速度応答スペクトル

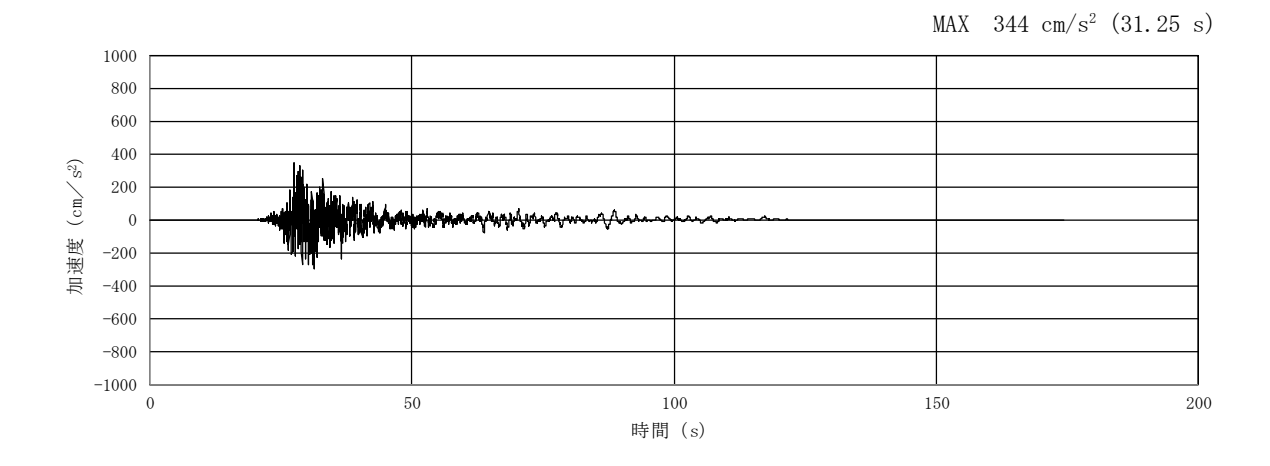
第 3-4 図 (15) 入力地震動の加速度時刻歴波形及び加速度応答スペクトル (①-①断面,水平成分:S_s-14)

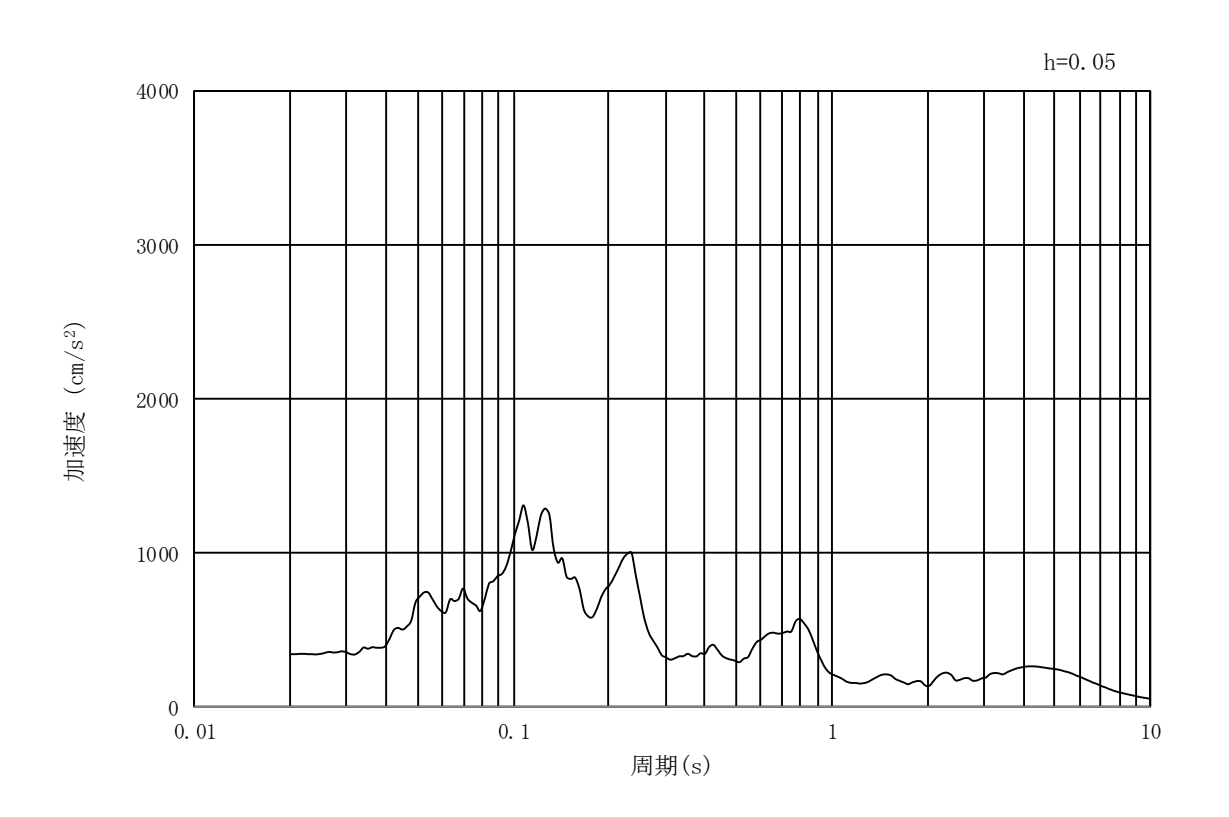




(b) 加速度応答スペクトル

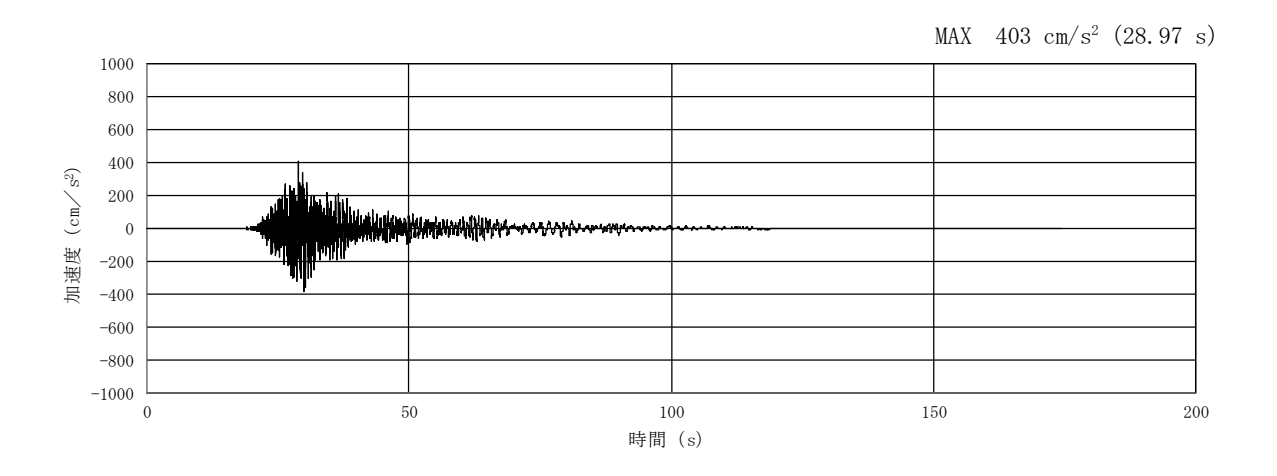
第 3-4 図 (16) 入力地震動の加速度時刻歴波形及び加速度応答スペクトル (①-①断面,鉛直成分:S_s-14)

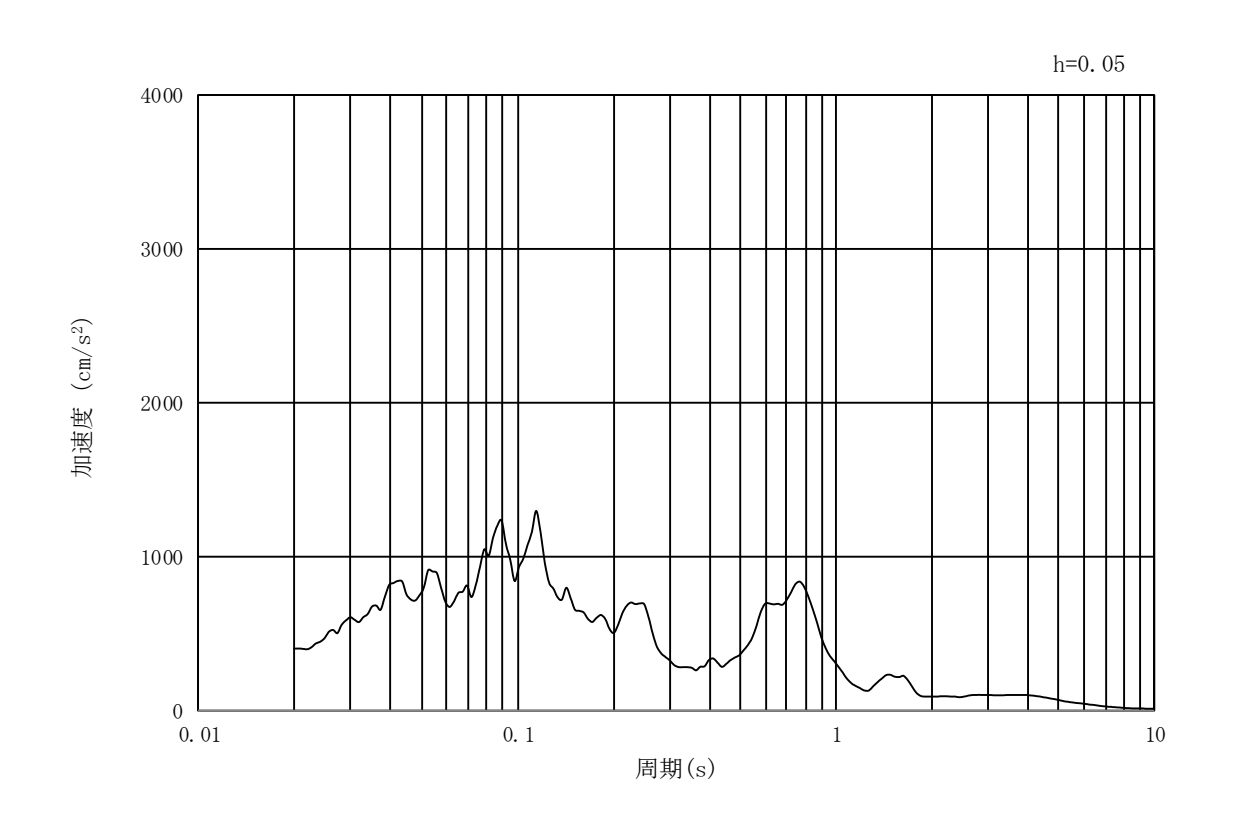




(b) 加速度応答スペクトル

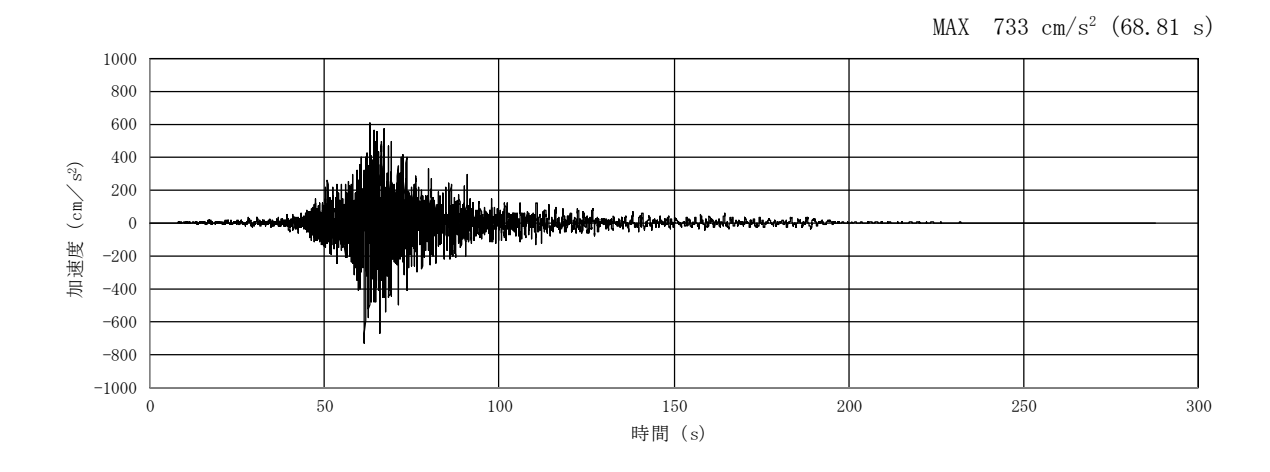
第 3-4 図(17) 入力地震動の加速度時刻歴波形及び加速度応答スペクトル (②-②断面,水平成分: S_s-14)



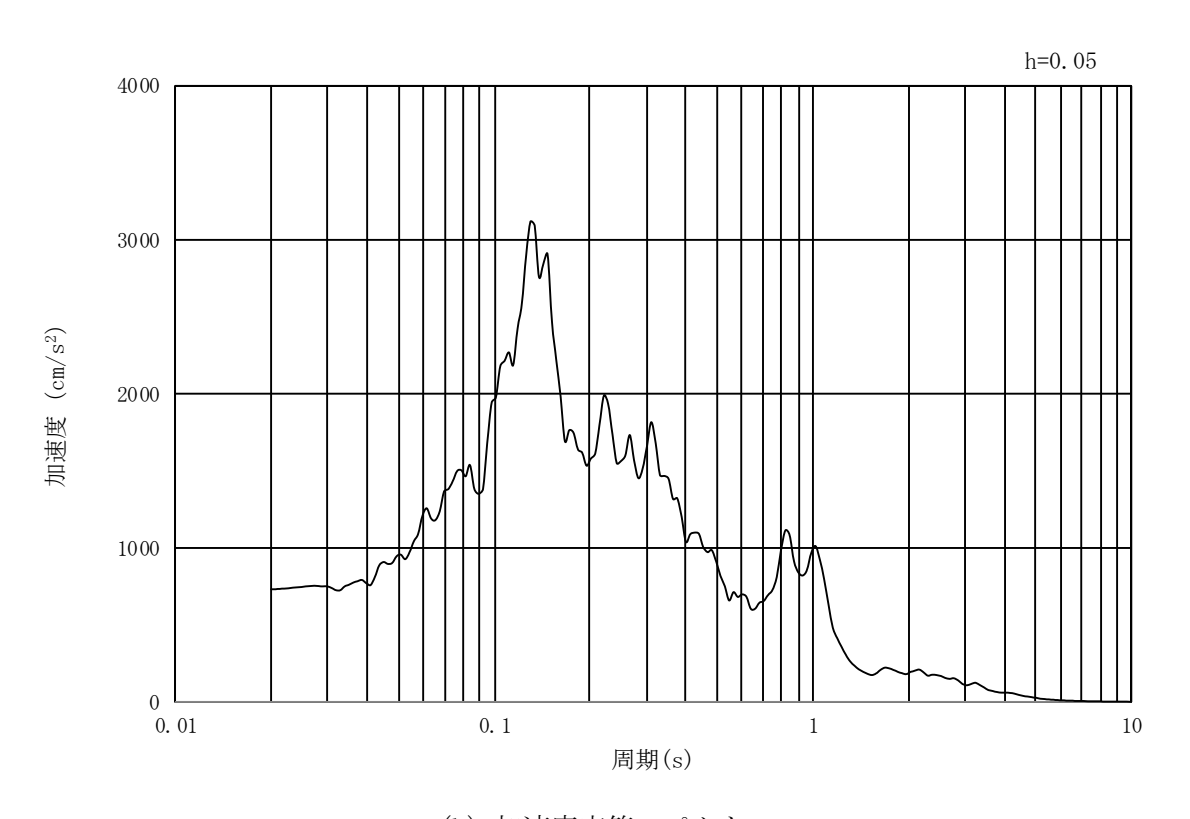


(b) 加速度応答スペクトル

第 3-4 図(18) 入力地震動の加速度時刻歴波形及び加速度応答スペクトル (②-②断面、鉛直成分: S_s-14)

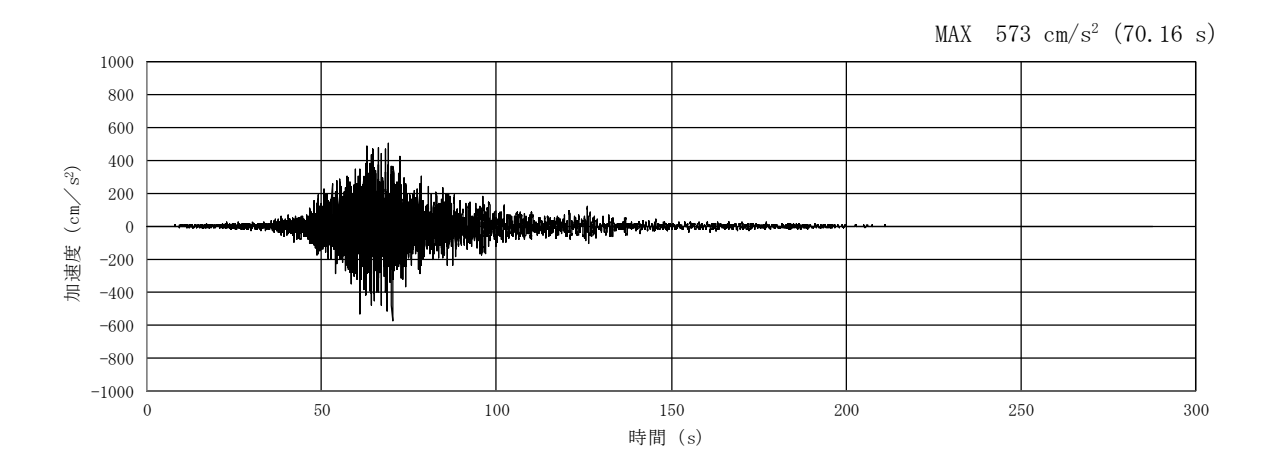


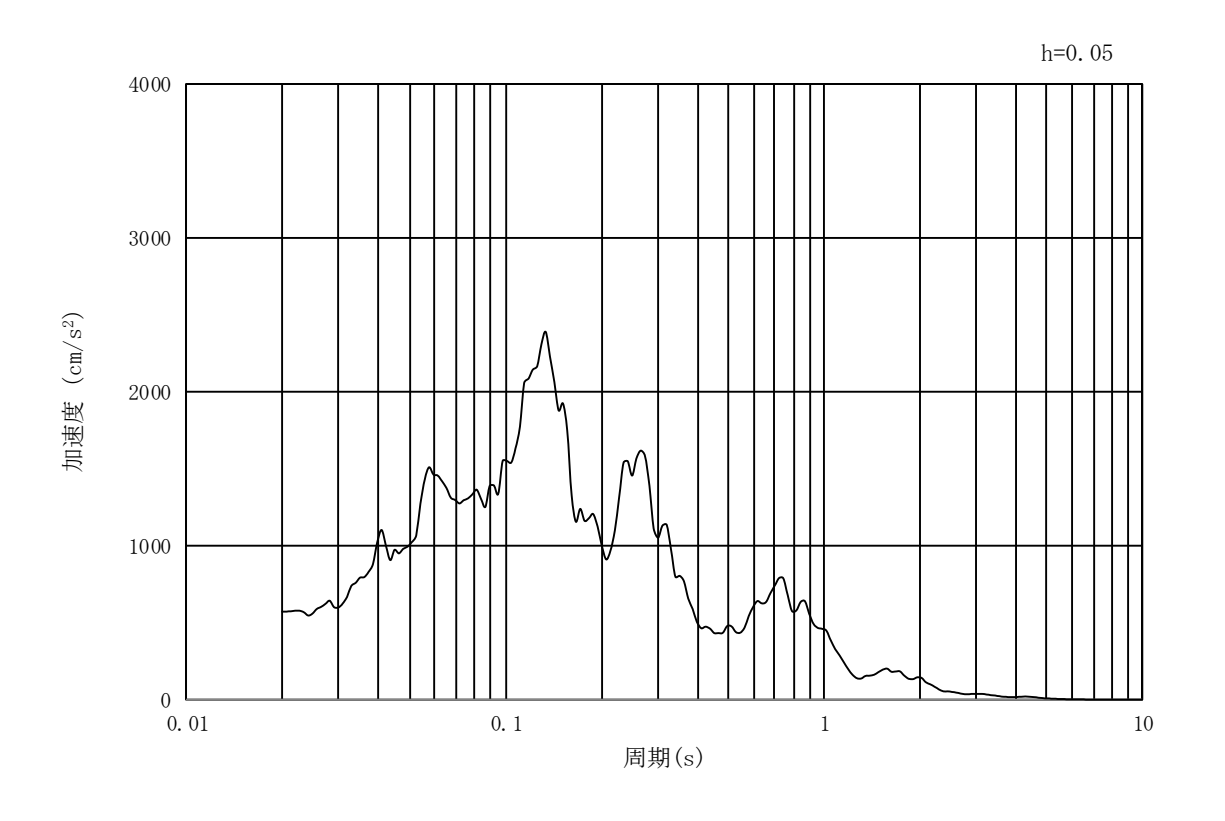
(a) 加速度時刻歷波形



(b) 加速度応答スペクトル

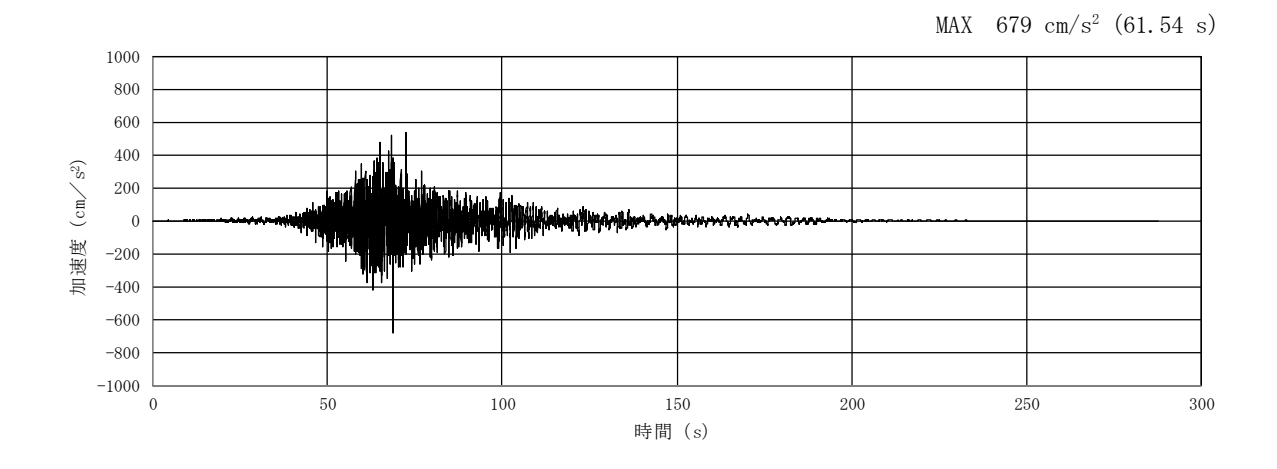
第 3-4 図 (19) 入力地震動の加速度時刻歴波形及び加速度応答スペクトル (①-①断面,水平成分: S_s-21)

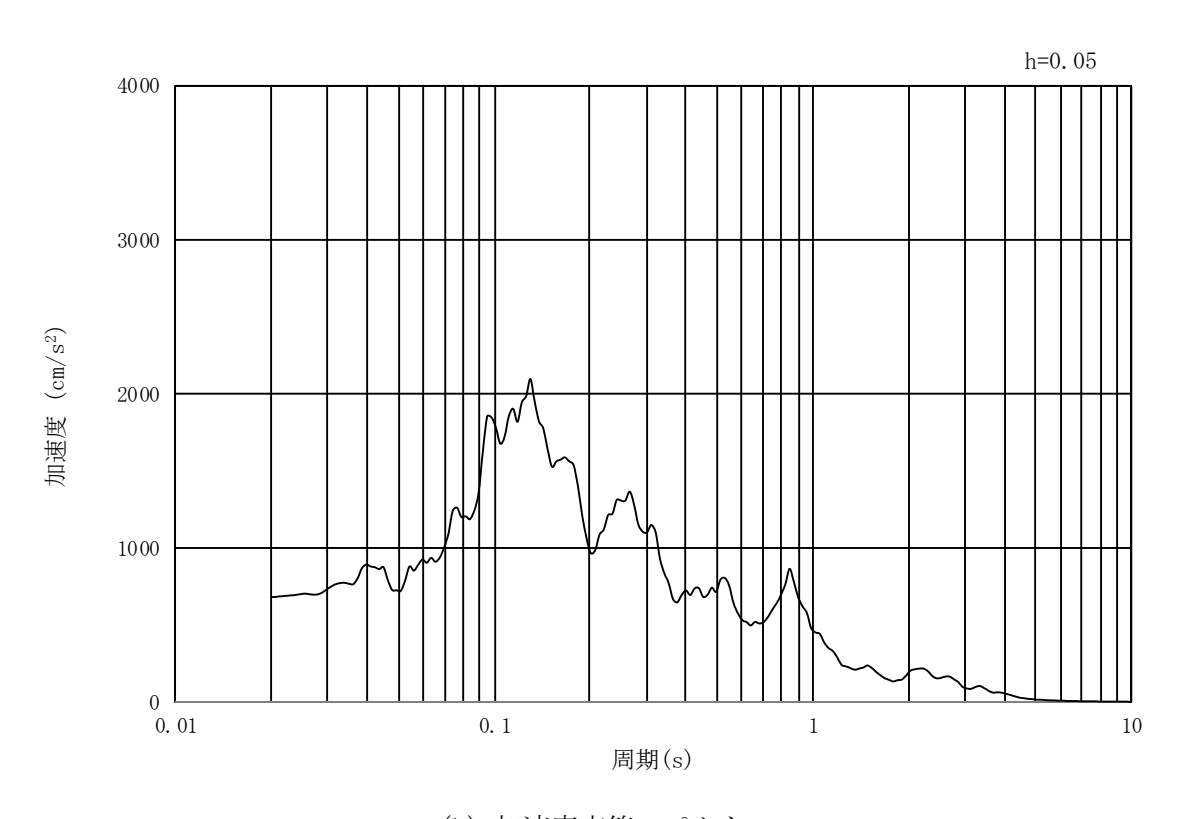




(b) 加速度応答スペクトル

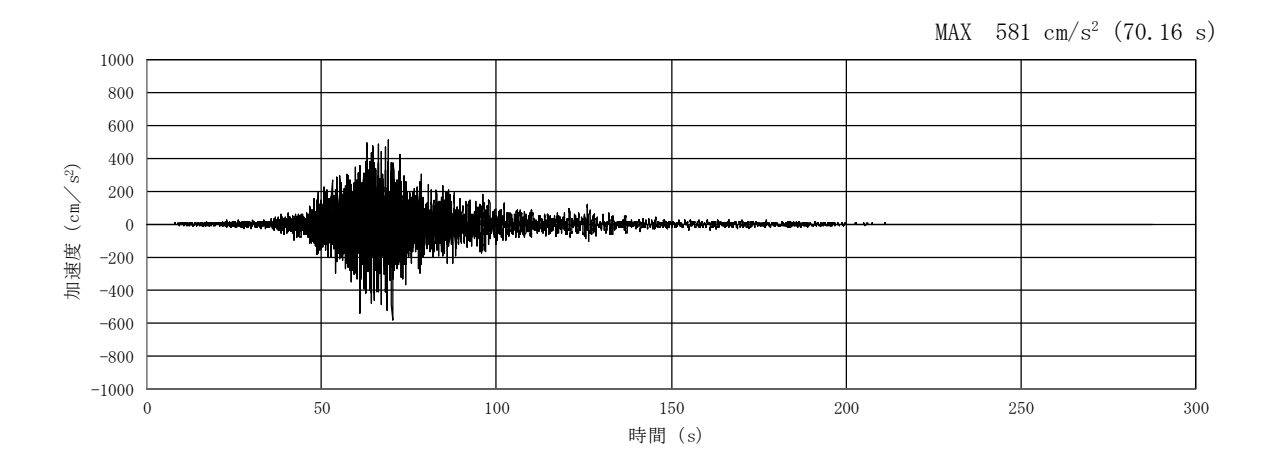
第 3-4 図 (20) 入力地震動の加速度時刻歴波形及び加速度応答スペクトル (①-①断面,鉛直成分:S_s-21)

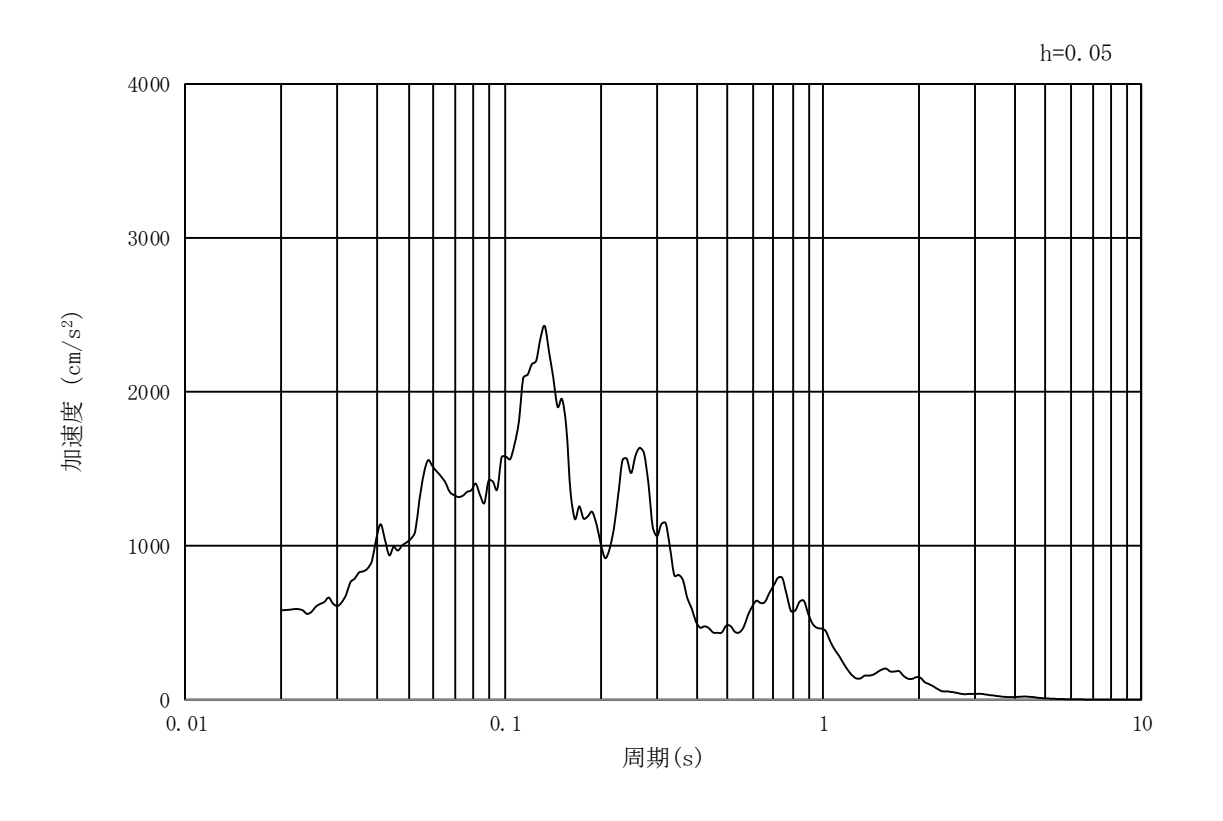




(b) 加速度応答スペクトル

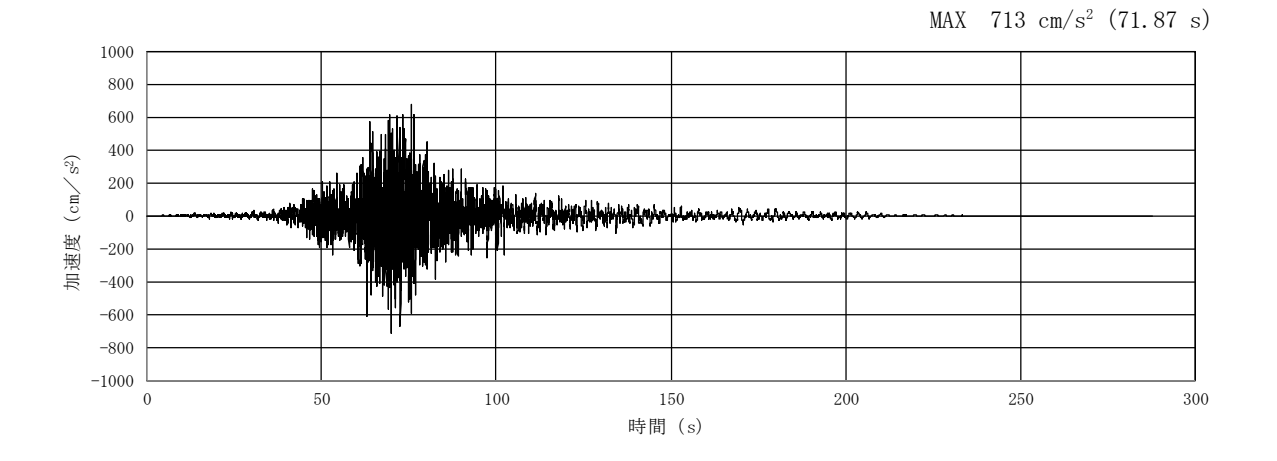
第 3-4 図 (21) 入力地震動の加速度時刻歴波形及び加速度応答スペクトル (②-②断面,水平成分:S_s-21)



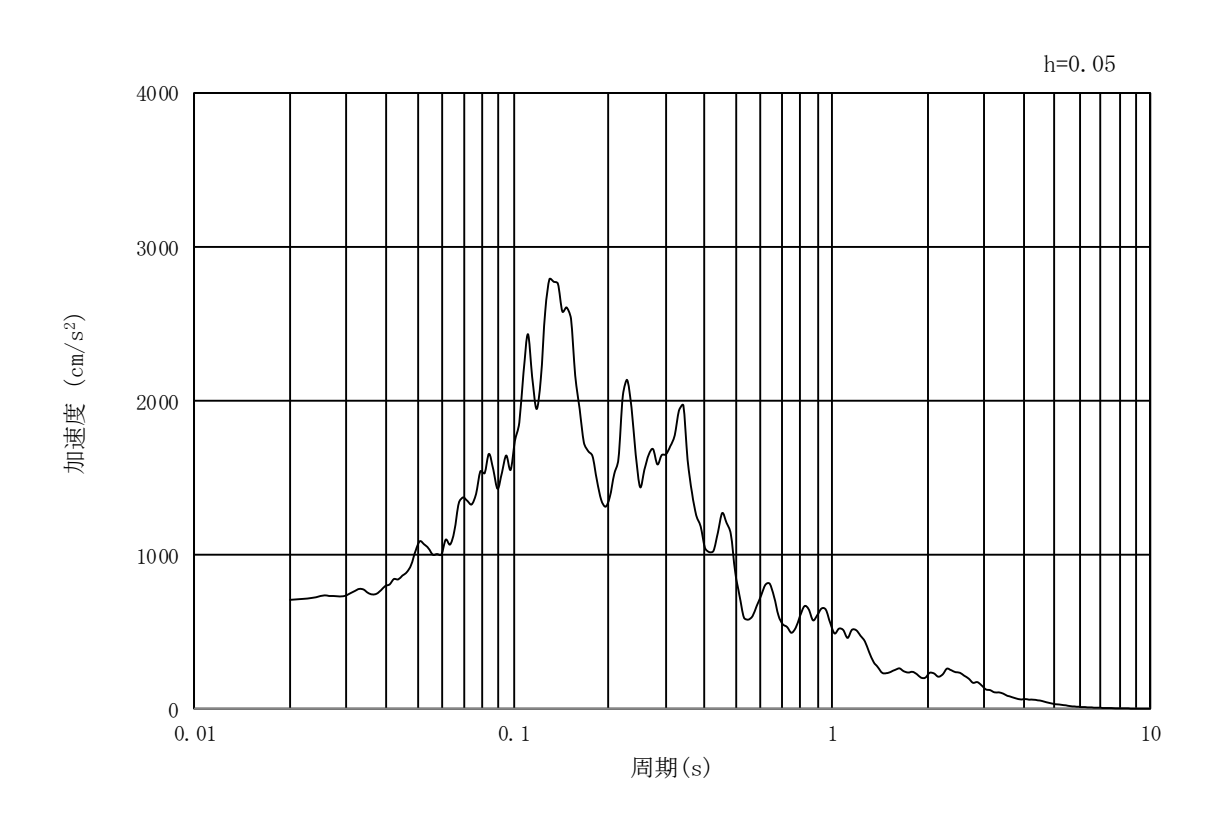


(b) 加速度応答スペクトル

第 3-4 図 (22) 入力地震動の加速度時刻歴波形及び加速度応答スペクトル (②-②断面,鉛直成分:S_s-21)

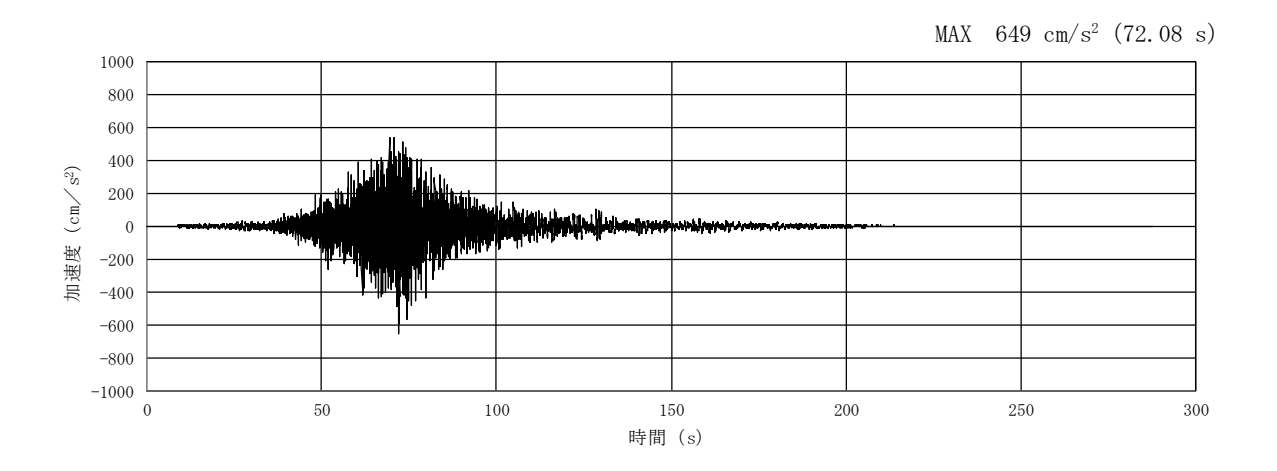


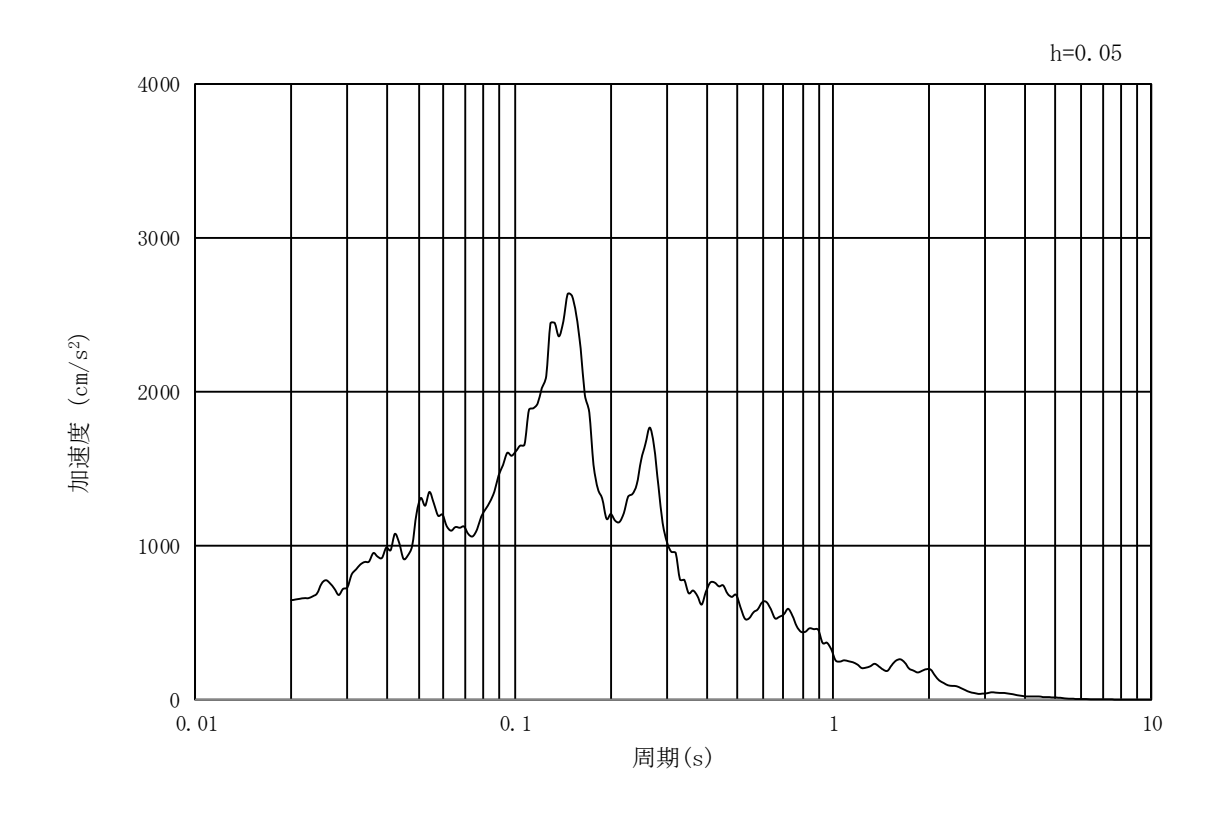
(a) 加速度時刻歷波形



(b) 加速度応答スペクトル

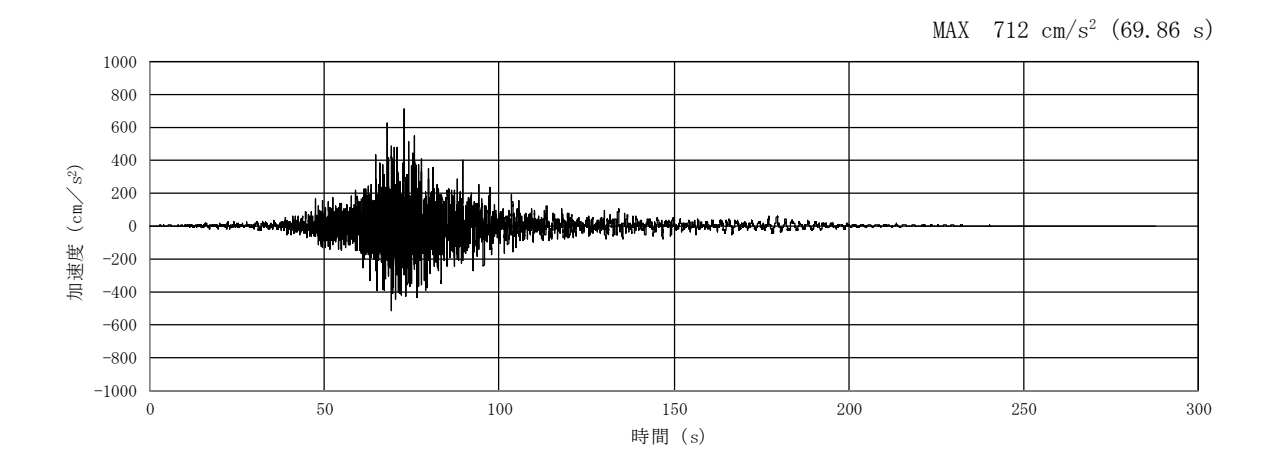
第 3-4 図 (23) 入力地震動の加速度時刻歴波形及び加速度応答スペクトル (①-①断面,水平成分:S_s-22)



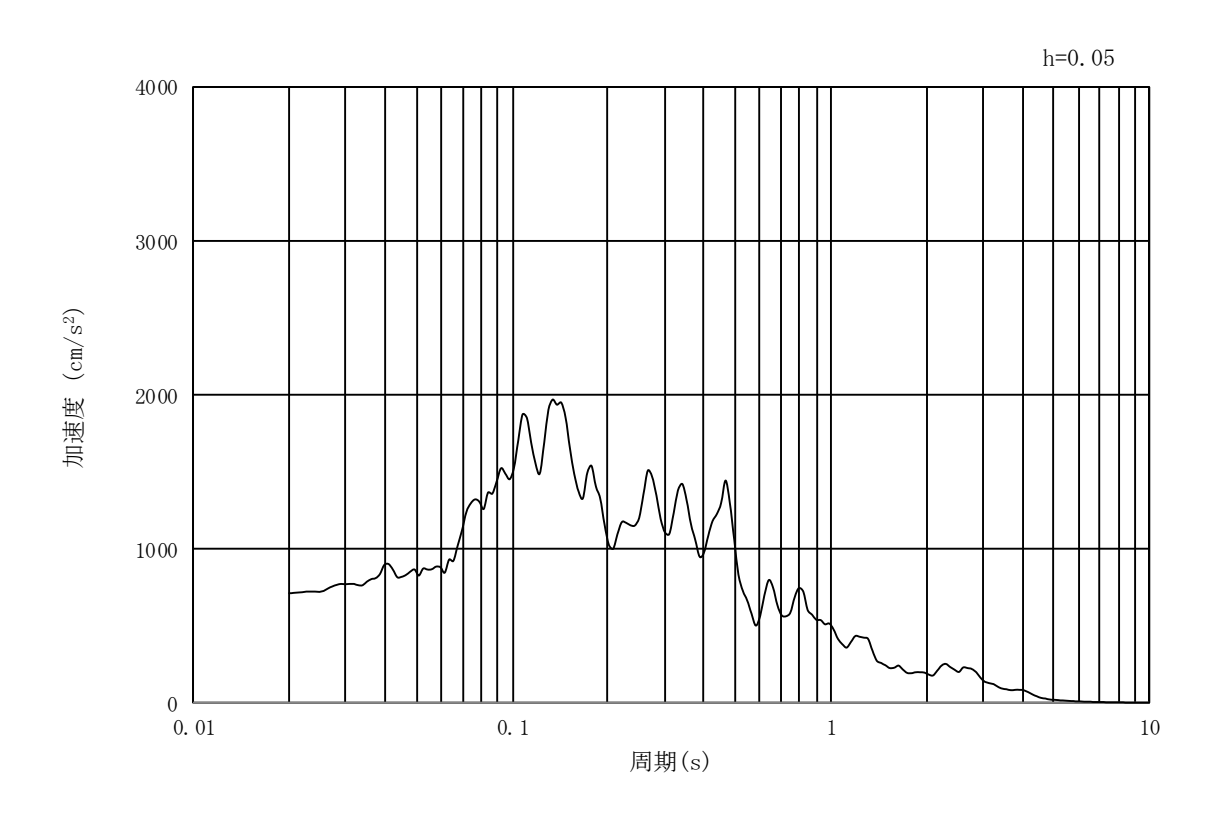


(b) 加速度応答スペクトル

第 3-4 図 (24) 入力地震動の加速度時刻歴波形及び加速度応答スペクトル (①-①断面,鉛直成分:S_s-22)

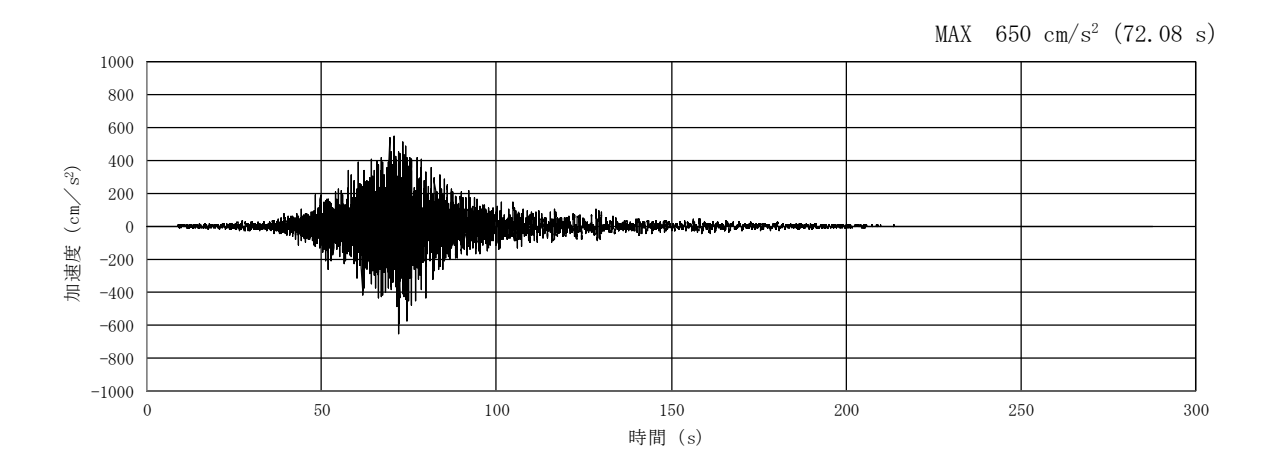


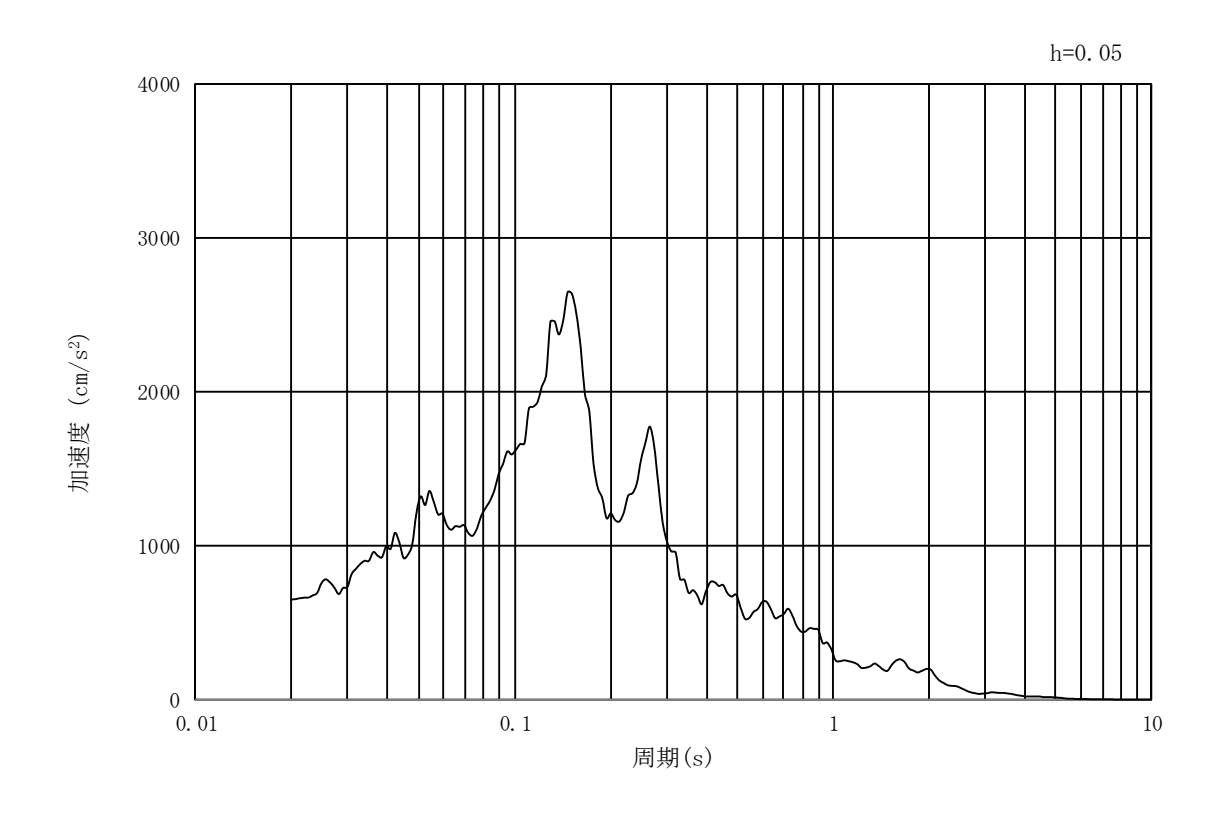
(a) 加速度時刻歷波形



(b) 加速度応答スペクトル

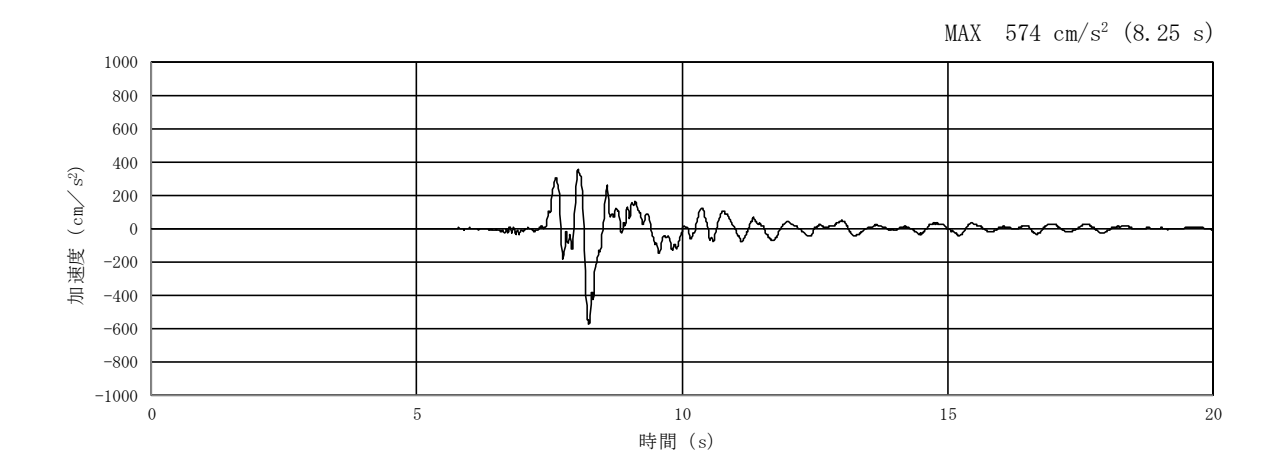
第 3-4 図 (25) 入力地震動の加速度時刻歴波形及び加速度応答スペクトル (②-②断面,水平成分:S_s-22)

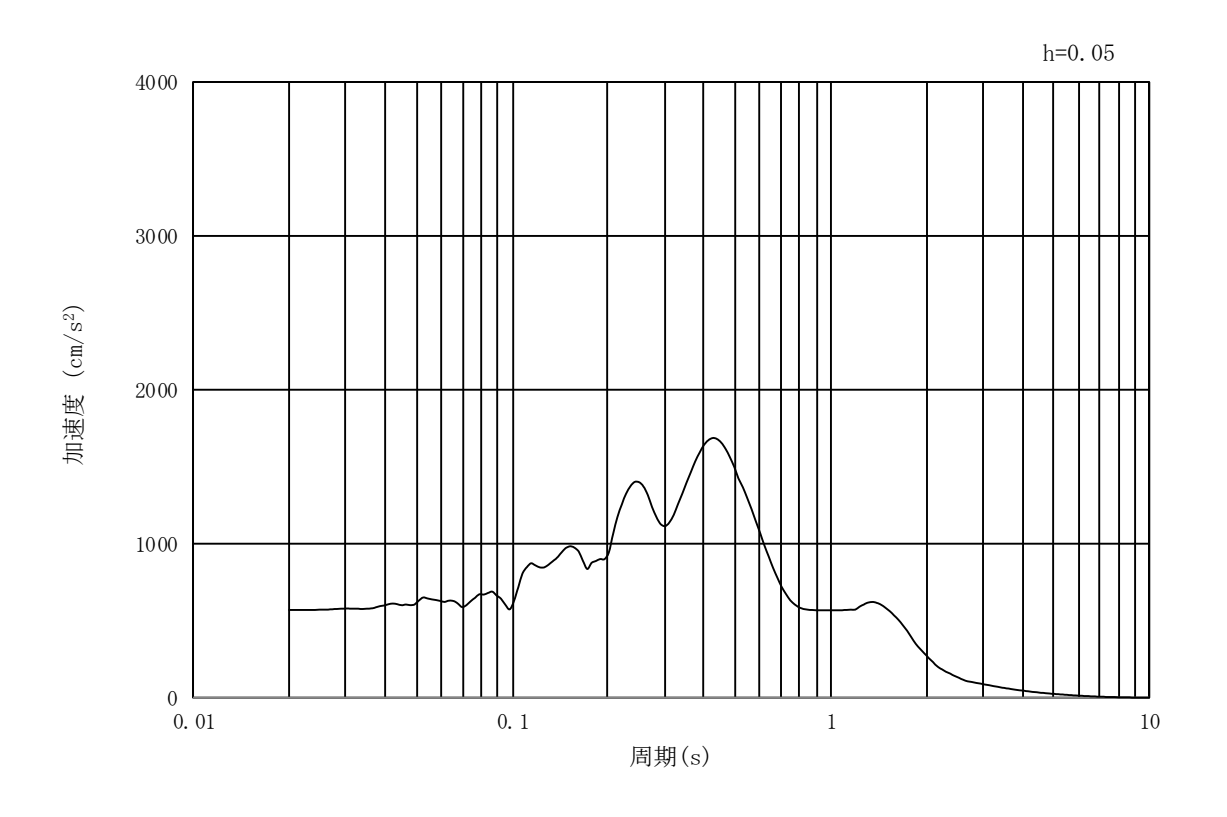




(b) 加速度応答スペクトル

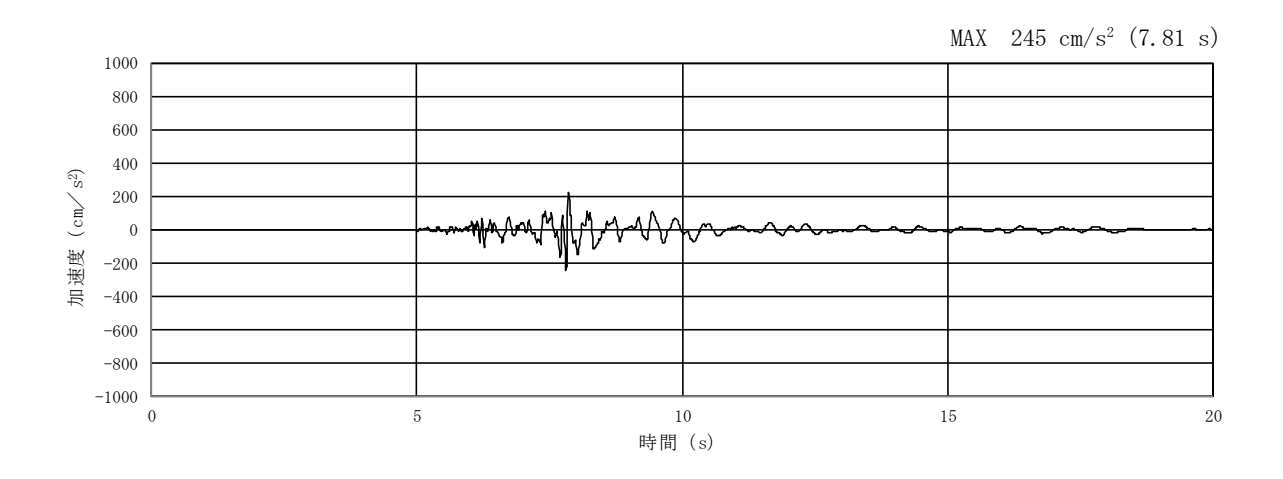
第 3-4 図 (26) 入力地震動の加速度時刻歴波形及び加速度応答スペクトル (②-②断面,鉛直成分:S_s-22)

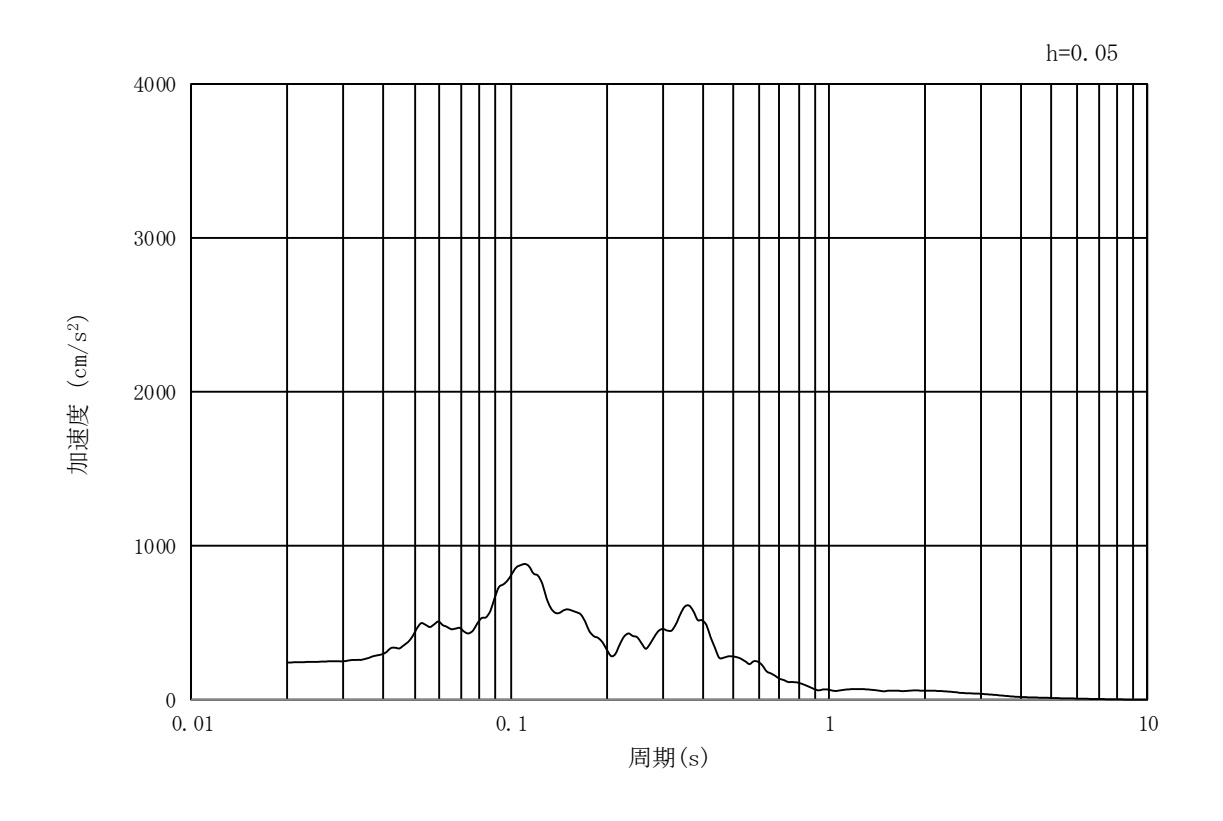




(b) 加速度応答スペクトル

第 3-4 図 (27) 入力地震動の加速度時刻歴波形及び加速度応答スペクトル (①-①及び②-②断面,水平成分:S_s-31)





(b) 加速度応答スペクトル

第 3-4 図 (28) 入力地震動の加速度時刻歴波形及び加速度応答スペクトル (①-①及び②-②断面,鉛直成分:S_s-31)

3.5 解析モデル及び諸元

3.5.1 解析モデル

鉄筋コンクリート防潮壁の地震応答解析モデルを第3-5図に示す。

(1) 解析領域

地震応答解析モデル領域は,境界条件の影響が地盤及び構造物の応力状態に影響を及ぼ さないよう,十分広い領域とする。

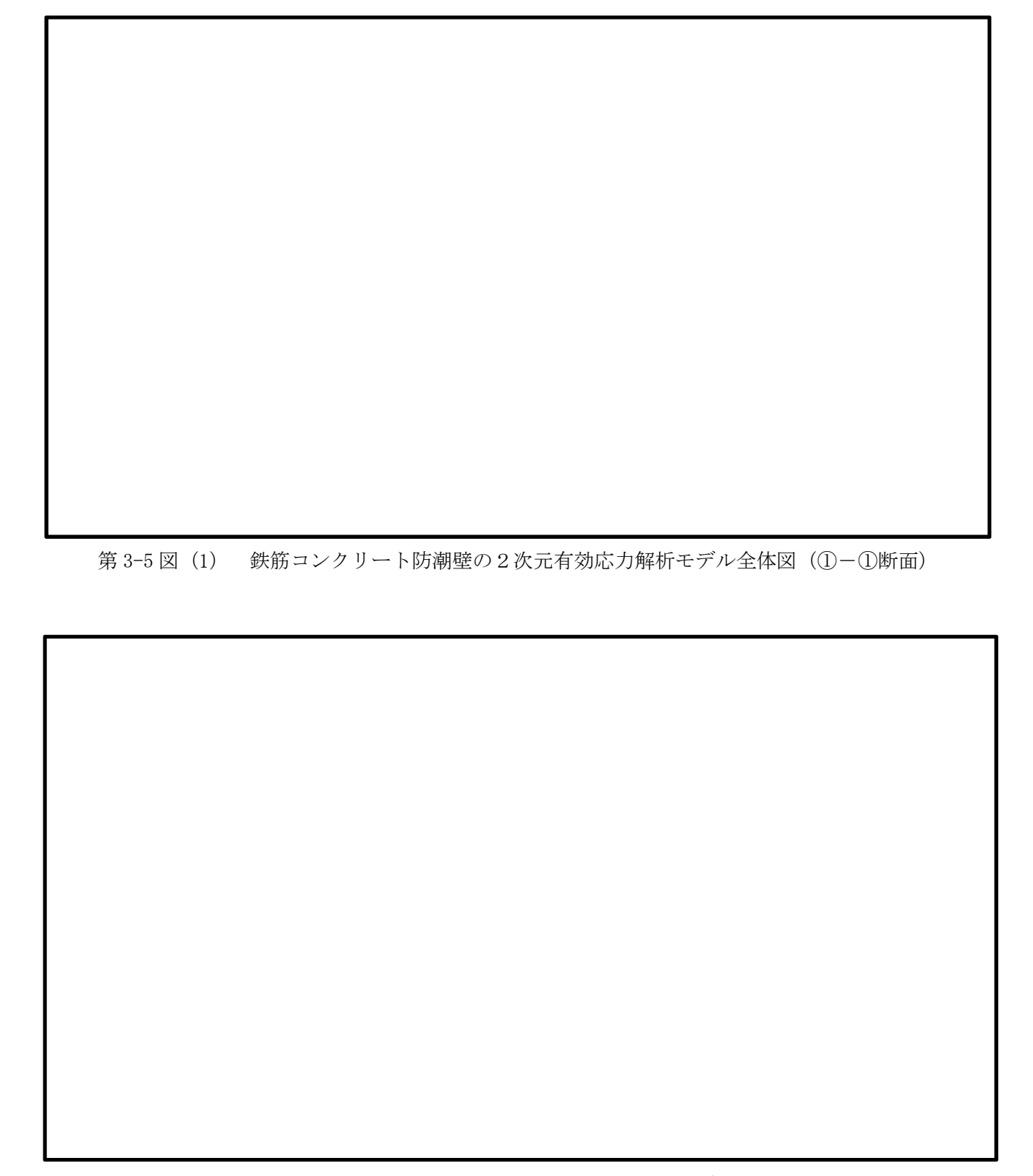
(2) 境界条件

地震応答解析時の境界条件については,有限要素解析における半無限地盤を模擬するため,粘性境界を設ける。

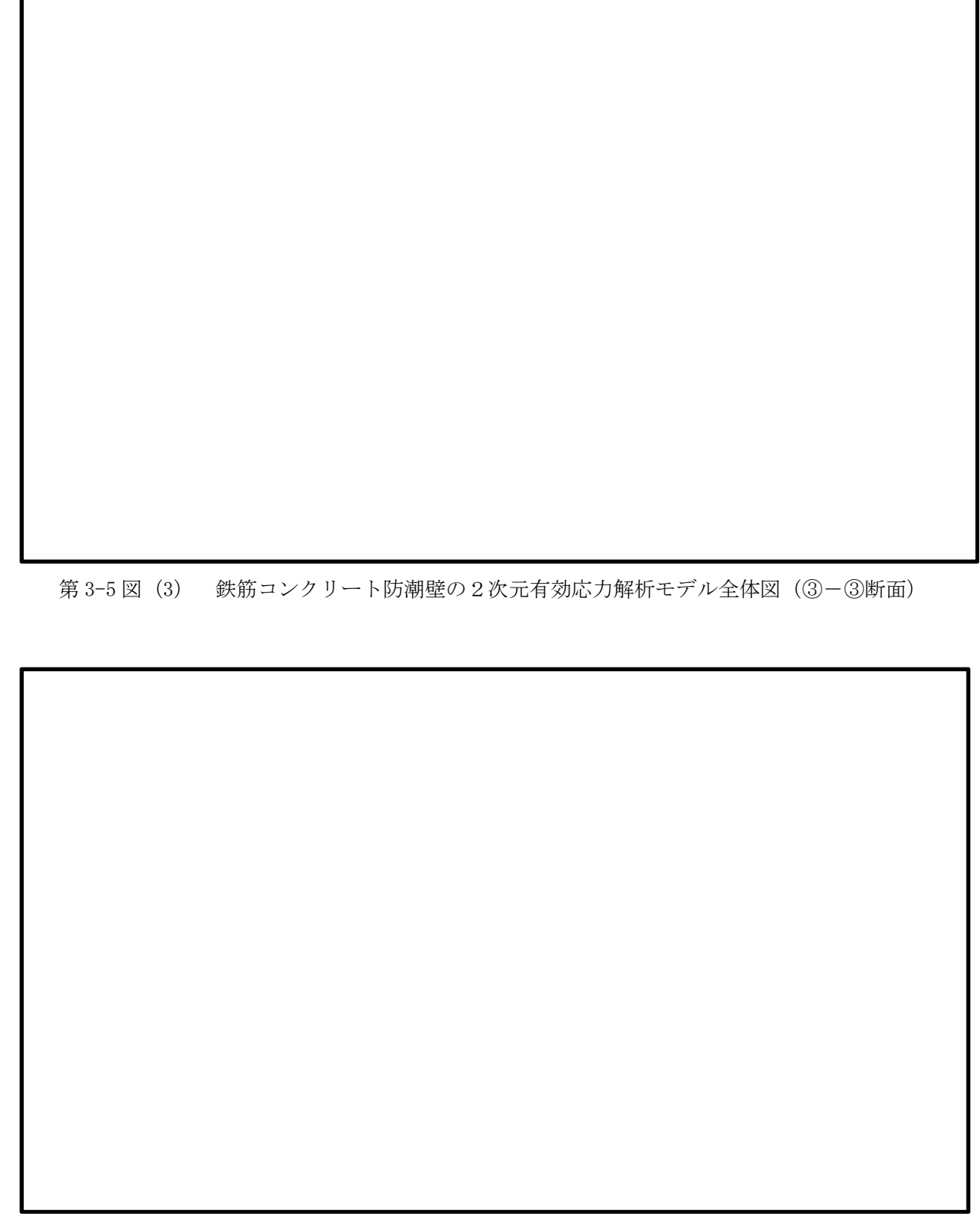
(3) 構造物のモデル化 構造部材は、線形はり要素及び平面ひずみ要素でモデル化する。

(4) 地盤のモデル化

地盤は、マルチスプリング要素及び間隙水圧要素にてモデル化し、地震時の有効応力の 変化に応じた非線形せん断応力~せん断ひずみ関係を考慮する。



第3-5図(2) 鉄筋コンクリート防潮壁の2次元有効応力解析モデル全体図(②-②断面)



第3-5図(4) 鉄筋コンクリート防潮壁の2次元有効応力解析モデル全体図(④-④断面)

3.5.2 使用材料及び材料の物性値

耐震評価に用いる材料定数は、適用基準類に基づき設定する。構造物の使用材料を第 3-4表に、材料物性値を第3-5表に示す。

第3-4表 使用材料

	材料	諸元			
コンカリート	地中連続壁基礎	設計基準強度 40 N/mm ²			
コンクリート	鉄筋コンクリート防潮壁	設計基準強度 40 N/mm ²			
	鉄筋	SD345, SD390, SD490			

第3-5表 材料の物性値

	材料	単位体積重量 ヤング係数 (kN/m³) (N/mm²)		ポアソン比	減衰定数 (%)
鉄筋コンク リート	設計基準強度 40 N/mm ² *1	24. 5*1	3. 1×10 ⁴ *1	0.2 *1	5 *²

注記 *1:コンクリート標準示方書 [構造性能照査編] (土木学会, 2002年制定)

*2: JEAG4601-1987((社)日本電気協会)

3.5.3 地盤の物性値

地盤の物性値は、添付書類「V-2-1-3 地盤の支持性能に係る基本方針」にて設定している物性値を用いる。地盤の物性値を第 3-6 表に示す。

第3-6表(1) 地盤の解析用物性値一覧(液状化検討対象層)

			原地盤												
パラメータ			埋戻土 第四系(液状化検討対象層)							豊浦標準砂					
				fl	du	Ag2	As	Ag1	D2s-3	D2g-3	D1g-1				
物理	密度 () は地下水位以浅	ρ	$\rm g/cm^3$	1. 98 (1. 82)	1. 98 (1. 82)	2. 01 (1. 89)	1.74	2. 01 (1. 89)	1. 92	2. 15 (2. 11)	2. 01 (1. 89)	1. 958			
特性	間隙比	е	_	0.75	0.75	0.67	1. 2	0.67	0.79	0.43	0.67	0.702			
	ポアソン比	ν _{CD}	_	0.26	0. 26	0. 25	0.26	0.25	0. 19	0. 26	0.25	0.333			
変形特性	基準平均有効主応力 () は地下水位以浅	σ' ma	kN/m²	358 (312)	358 (312)	497 (299)	378	814 (814)	966	1167 (1167)	1695 (1710)	12.6			
	基準初期せん断剛性 () は地下水位以浅	G _{ma}	kN/m²	253529 (220739)	253529 (220739)	278087 (167137)	143284	392073 (392073)	650611	1362035 (1362035)	947946 (956776)	18975			
	最大履歴減衰率	h_{max}	_	0. 220	0. 220	0. 233	0. 216	0.221	0. 192	0. 130	0.233	0. 287			
強度	粘着力	C_{CD}	${ m N/mm}^2$	0	0	0	0.012	0	0. 01	0	0	0			
特 性	内部摩擦角	ф съ	度	37. 3	37.3	37. 4	41	37. 4	35.8	44. 4	37. 4	30			
	液状化パラメータ	фр	_	34.8	34.8	34. 9	38. 3	34.9	33.4	41.4	34. 9	28			
液	液状化パラメータ	S_1	_	0.047	0. 047	0.028	0.046	0.029	0. 048	0.030	0.020	0.005			
状化	液状化パラメータ	W_1	_	6. 5	6.5	56. 5	6. 9	51.6	17.6	45. 2	10. 5	5. 06			
特	液状化パラメータ	P ₁	_	1.26	1. 26	9.00	1.00	12.00	4. 80	8.00	7.00	0.57			
性	液状化パラメータ	P_2	_	0.80	0.80	0.60	0.75	0.60	0. 96	0.60	0.50	0.80			
	液状化パラメータ	C_1	_	2.00	2. 00	3. 40	2. 27	3.35	3. 15	3.82	2.83	1.44			

第3-6表(2) 地盤の解析用物性値一覧(非液状化層)

			原地盤							
パラメータ					第四系(非	液状化層)	新第三系	- トー		
				Ac	D2c-3	1m	D1c-1*1	Km	捨石	
物理特	密度 () は地下水位以浅	ρ	g/cm ³	1. 65 1. 77 $\begin{array}{c ccccccccccccccccccccccccccccccccccc$		1.72-1.03×10 ⁻⁴ · z	2. 04 (1. 84)			
性	間隙比	е	1	1.59	1.09	2.8	_	1. 16	0.82	
	ポアソン比	ν _{CD}	_	0.10	0. 22	0.14	_	0.16+0.00025 · z	0. 33	
変形特性	基準平均有効主応力 () は地下水位以浅	σ' _{ma}	${\rm kN/m^2}$	480	696	249 (223)	_		98	
	基準初期せん断剛性 () は地下水位以浅	G _{ma}	${\rm kN/m^2}$	121829	285223	38926 (35783)	_	動的変形特性に基づき z (標高) 毎に物性値を 設定	180000	
	最大履歴減衰率	h_{max}	_	0. 200	0. 186	0. 151	_		0. 24	
強度特	粘着力	C_{CD}	$\mathrm{N/mm}^2$	0.025	0. 026	0.042	_	0. 358-0. 00603 · z	0.02	
特 性	内部摩擦角	φ _{CD}	度	29. 1	35. 6	27. 3	_	23. 2+0. 0990 · z	35	

注記 *1:施設の耐震評価に影響を与えるものではないことから、解析用物性値として本表には記載しない。

z:標高 (m)

基準平均有効 主応力 σ'ma 内部壓縮值 基準体積 弾性係数 Km 最大層歷 設定深度 払着力 けん断波 基準初期 拘束圧 動ポアソン比 硅密波 TP (m) 適用深度 TP(m) 依存係数 $\nu_{\rm CD}$ φ_{CD} C_{CD} (kN/m² (m/s) (kN/m^2) (kN/m^2) (kN/m^2) mG, mK hmax(-) (m/s)10.5 0.464 1,640 298 24. 2 310,675 504 1.72 2 9.5 0.16 304 24.1 426 312, 139 354, 982 504 0.0 0.105 0.4641,644 3 8. 5 1.72 0.16 310 24.0 427 313, 606 356, 650 504 0.0 0.105 0.464 1.648 0.105 6.5 1.72 0.16 23.8 428 315,076 358, 322 504 0.0 0.106 0.4641,651 316, 551 318, 028 6 4. 5 429 504 0.0 0, 106 0, 464 4.5 334 430 361,679 504 0.0 0.106 0.463 0.16 1,638 1.72 23.6 3.5 8 3.5 1.72 0.16 340 23.5 431 319,509 363, 363 504 0.0 0.107 0.463 1,642 9 346 431 319, 509 363, 363 0.0 0.107 0.16 0.463 10 0.5 1.5 1.72 0.16 352 23.3 432 320,993 365,051 504 0.0 0.107 0.4631,646 -0. 5 0. 5 0.16 358 433 322, 481 366, 743 504 0. 0 0.107 0.463 1, 650 12 -1.5 -0.5 1.72 0.16 364 23. 1 434 323, 972 368, 439 504 0.0 0.108 0.463 1,653 13 -2.5-1.51.72 0.16 370 23.0 435 325, 467 370, 139 504 0.0 0.108 0.4631,657 14 -3. 5 1.72 0.16 435 325, 467 370, 139 504 0.0 0, 108 0, 463 1,657 15 -4. 5 -3. 5 0.16 382 436 326, 965 371,843 504 0.0 0.108 0.463 1,661 1.72 22.8 16 -4. 5 1.72 0.16 388 437 328, 467 373, 551 504 0.0 0.109 0, 462 1,644 504 504 17 1.72 22.6 438 329, 972 375, 262 0.0 0.109 0.462 1,648 18 -6.5 400438 375, 262 0.0 0.109 -7.5 1.72 0.16 22.5 329, 972 0.462 1,648 19 -8. 5 1.72 0.16 406 439 331, 480 376, 977 504 0.0 0.109 0.462 1,652 -9. E -8.5 0.16 440 378, 697 504 0.0 0.110 0.462 20 1.72 412 332, 992 1,656 21 -10-11-9.5 1.72 0.16 418 22.2 441 334, 507 380, 420 504 0.0 0.110 0.462 1,659 22 23 -11 1.72 0.16 430 22.0 442 336, 026 382, 147 504 0, 0 0.110 0, 462 1,663 385, 614 442 444 339, 074 0.0 0.111 0.462 -14 -15 -13 1.72 0.16 21.8 1,671 24 -16 -17 1.72 0.16 454 21.6 445 340,603 387, 352 504 0.0 0.111 0.461 1,654 447 390, 842 504 0.0 0.112 1,662 25 1.72 0.16 21.4 0.461 504 26 27 -20-21-191.72 0.16 479 21.2 448 345, 211 392, 593 0.0 0.112 0.4611,665 -21 1.72 0.15 491 450 348, 300 381, 471 498 0.0 0.112 0.461 1,673 28 384, 870 -23 1.72 0.15 0.0 0.113 0.461 1,680 -24 -25 29 -26-25 1.72 0.15 515 20.6 453 352,959 386, 574 498 0.0 0.113 0.460 1,664 30 31 -27 -29 1.72 0.15 527 539 20.4 455 356, 083 389, 996 498 498 0. 0 0.114 0.460 1, 672 1, 675 456 0.460 0.15 391, 712 0.0 0.114 20.2 32 -32 -33 -31 1.72 0.15 551 20.0 458 360, 794 395, 155 498 0.0 0.115 0.460 1,683 563 575 33 -34 -33 1.72 0.15 19.8 459 362, 371 396, 883 498 0.0 0.115 0.459 1,667 34 461 -36 1.72 0.15 19.6 365, 536 400, 349 498 0.0 0.115 0.4591,675 35 -37 1.72 0.15 19.4 462 367, 124 402,088 498 0, 0 0, 116 0, 459 1,678 36 37 1.72 -40 0.15 -42-43-41 1.72 0.15 611 19.0 465 371,907 407, 327 498 0.0 0.117 0.4591,689 38 39 -44 -45 -43 1.72 0.15 623 635 18.8 467 375, 113 410,838 498 0.0 0.117 0.117 0. 458 0. 458 1,678 0.0 -45 468 376, 721 498 -46-471.72 0.15 18.6 412, 599 1,681 40 -48 -49 -47 1.72 0.15 647 18.4 470 379,948 416, 134 498 0.0 0.118 0.458 1,688 41 660 672 472 473 498 0.118 1,696 -51 1.73 498 0.0 0.118 0.458 -52 -530.15 18.1 387,051 423, 913 1,699 43 -54 -53 1.73 0.15 684 17.9 475 390, 331 427, 505 498 0.0 0, 118 0, 457 1,688 44 -55 -57 1.73 696 17.7 476 391, 976 429, 307 498 0.457 45 -58 -59 1.73 0.15 708 17.5 478 395, 277 432, 922 498 0.0 0.119 0.457 1,699 46 47 -59 -61 1.73 479 481 0.0 0.120 0. 457 0. 457 -60 396, 933 0.120 -62 1.73 17.1 400, 255 422, 491 1,709 -630.14 48 -64 -65 -63 1.73 0.14 16.9 482 401,921 424, 250 492 0.0 0.120 0.456 1,695 -65 -67 49 -66 -67 1.73 0.14 756 16.7 484 405, 263 427, 778 492 0.0 0.120 0.456 1,702 50 -68 -69 1.73 0.14 768 16.5 485 406, 939 429, 547 492 0.0 0.121 0.456 1,705 51 -70 -69 1.73 0.14 780 16.3 487 410, 302 433, 097 492 0.0 0.121 0.456 1,712 52 53 1.73 792 413,679 492 -74 1.73 0.14 804 15.9 490 415, 373 438, 449 492 0.0 0.122 0.455 1,705 54 55 816 828 15. 7 15. 5 492 493 492 492 0. 122 0. 122 0. 455 0. 455 -76 1.73 0.14 418, 771 442,036 0.0 -78 0.14 420, 475 443,835 0.0 1,716 56 -80 -81 -79 1.73 0.14 840 15.3 495 423, 893 447, 443 492 0.0 0.122 0.455 1,723 57 425,608 1.73 449, 253 58 -88 -90 -85 1.73 0.14 889 14.5 501 434, 232 458, 356 492 0.0 0.124 0.4541,726 1.73 59 60 -90 -95 14. 1 13. 5 504 509 463, 862 473, 111 492 492 -92 -95 0.14 913 439, 448 0.0 0.124 0.454 1, 736 949 448, 210 -101 61 -104-108 1.73 0.13 985 12.9 513 455, 282 463, 485 486 0.0 0.126 0.452 1,733

第3-6表(3) 地盤の解析用物性値一覧(新第三系 Km 層)

3.5.4 地下水位

-115

-122 1.73

63

64 -126 -130

-118 -122

地下水位は地表面として設定する。

1,033

1, 118

11.

10.7

530

0.13

0.13

474, 391 483, 575

494, 713

475,016

485, 957

486

486

0.451

0.450

1,758

0.127

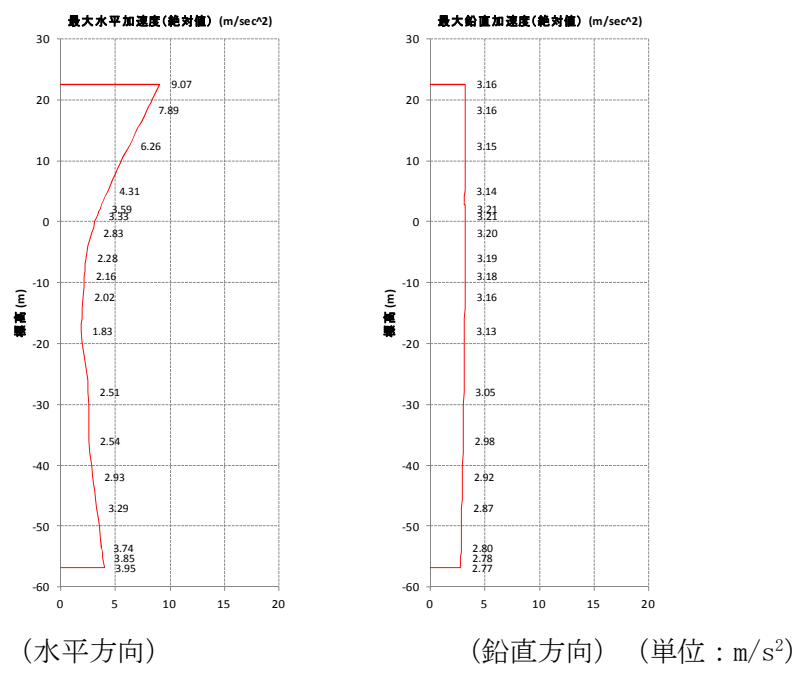
0.128

0.0

4. 解析結果

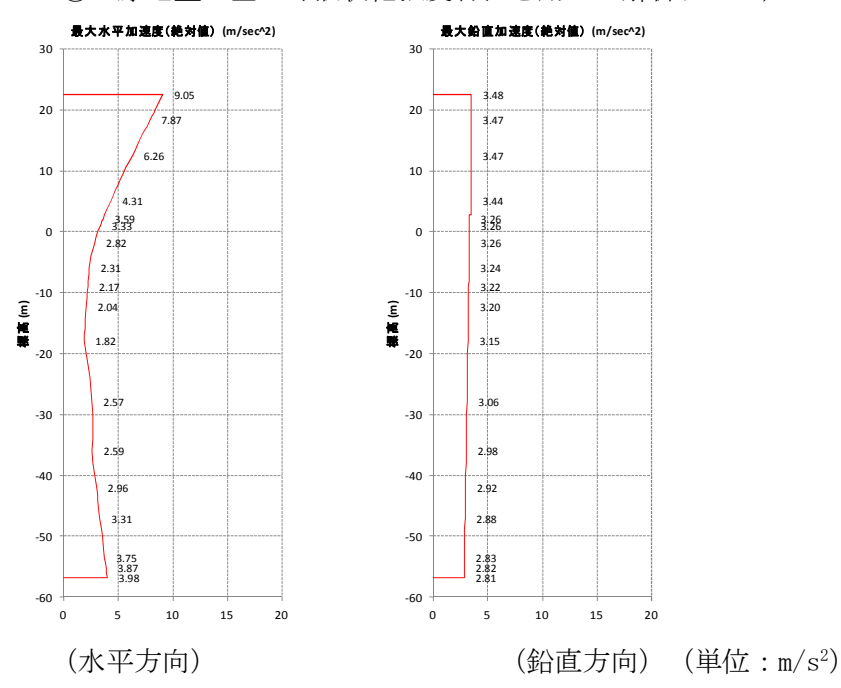
4.1 ①一①断面

①-①断面の最大加速度分布を第 4-1 図に示す。

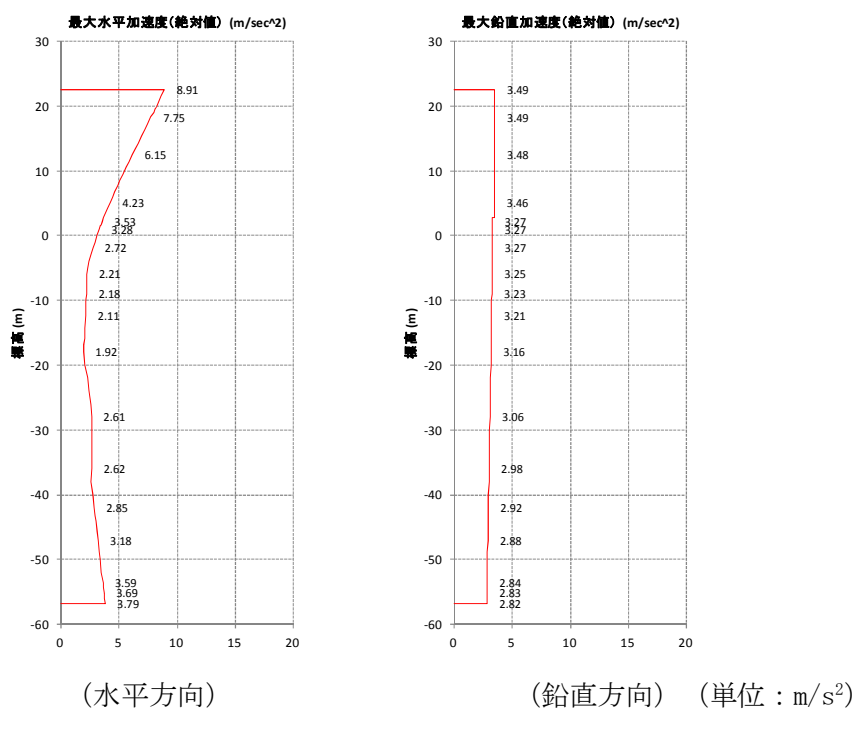


第 4-1 図 (1) ①-①断面 最大加速度分布図 (1/17) ($S_s - D1[H+, V+]$)

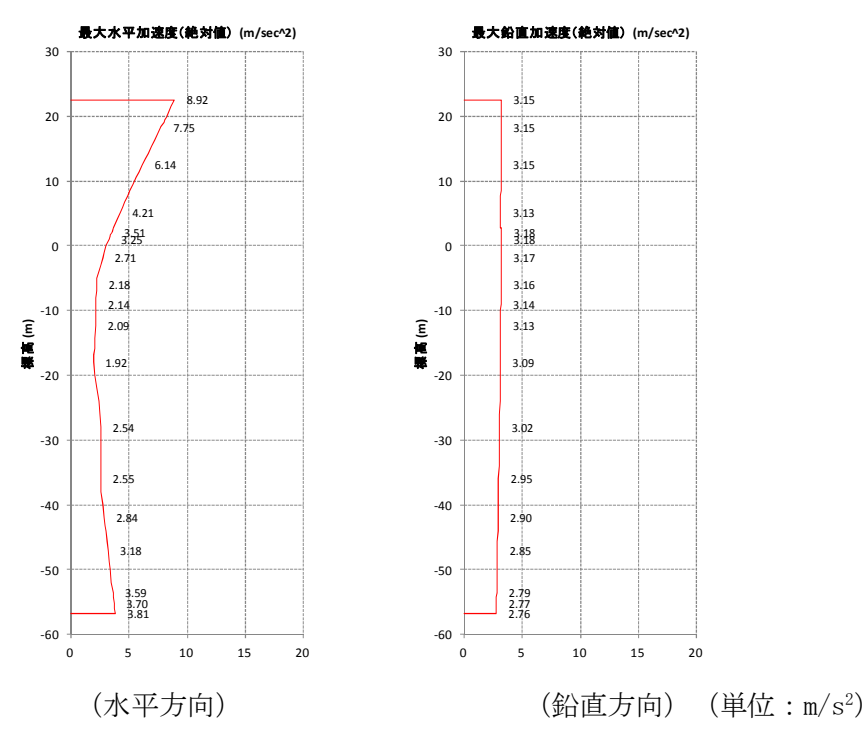
(検討ケース①:原地盤に基づく液状化強度特性を用いた解析ケース)



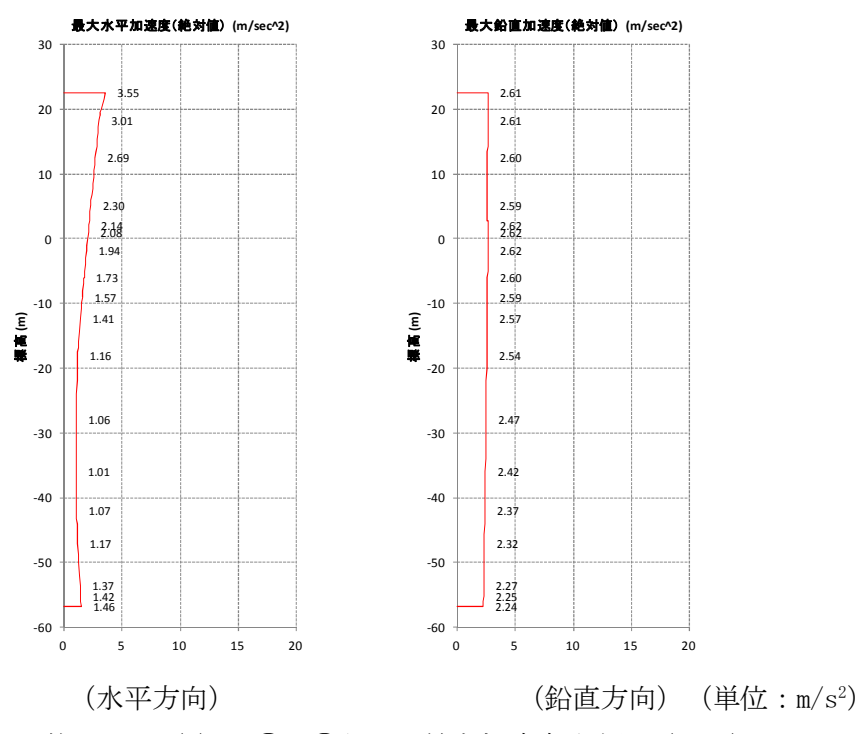
第 4-1 図 (2) ①一①断面 最大加速度分布図 (2/17) $(S_s - D 1 [H+, V-])$



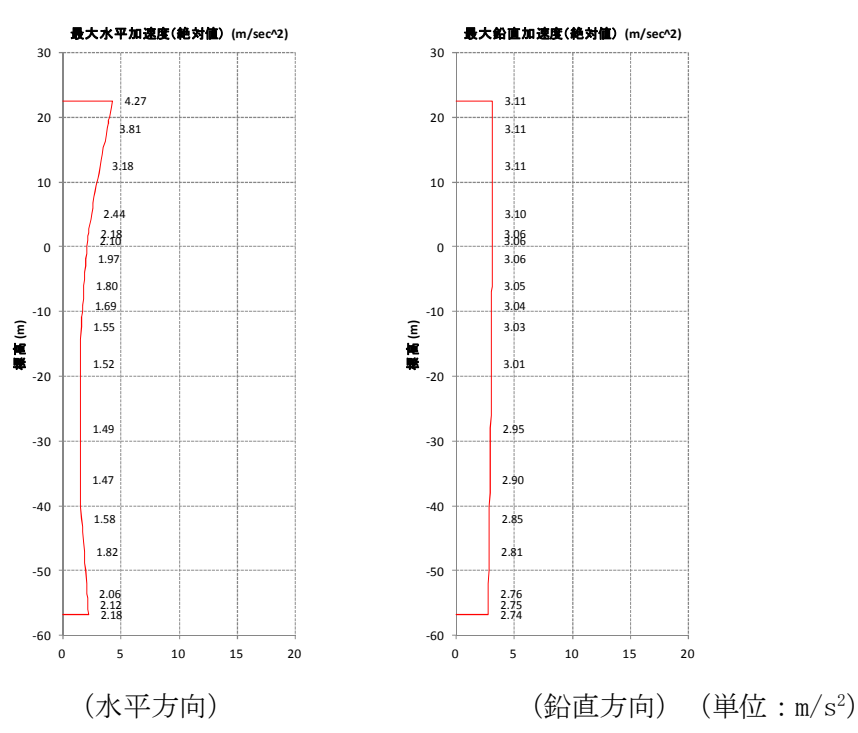
第 4-1 図 (3) ① 一①断面 最大加速度分布図 (3/17) $(S_s - D \ 1 \ [H-, \ V+]\)$



第 4-1 図 (4) ①一①断面 最大加速度分布図 (4/17) (S_s-D1 [H-, V-])

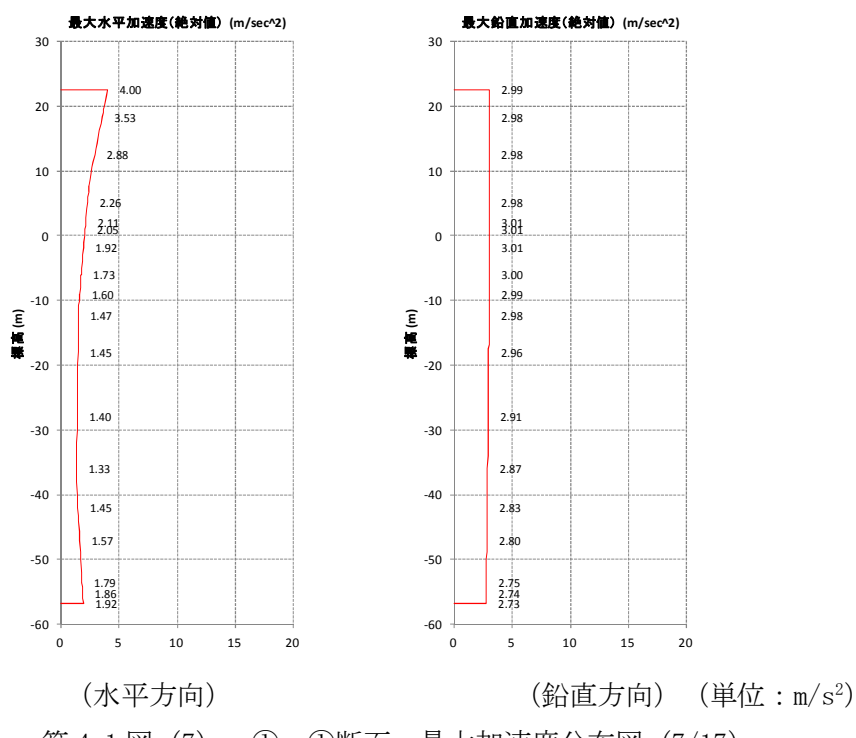


第 4-1 図(5) ①-①断面 最大加速度分布図(5/17) ($S_s - 11$)

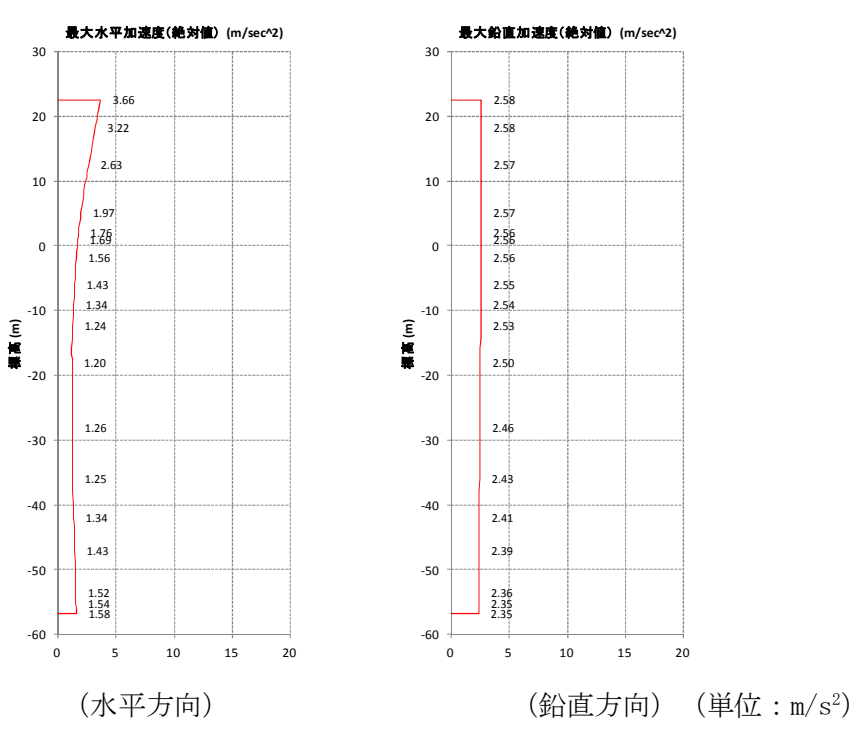


第 4-1 図(6) ①一①断面 最大加速度分布図(6/17) $(S_s-1\ 2)$

(検討ケース①:原地盤に基づく液状化強度特性を用いた解析ケース)

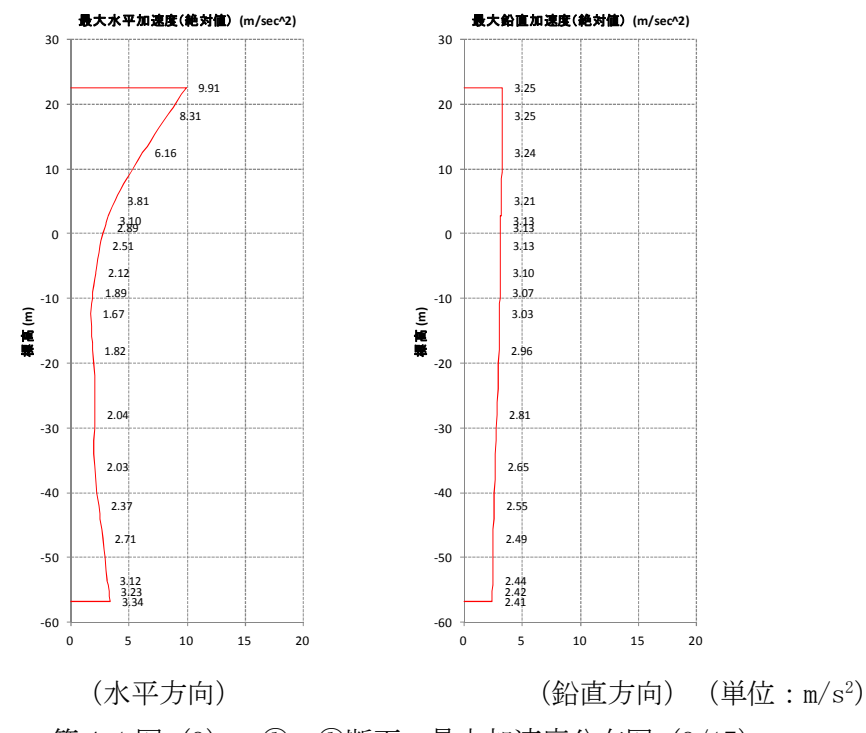


第 4-1 図 (7) ① - ①断面 最大加速度分布図 (7/17) (S_s-13)

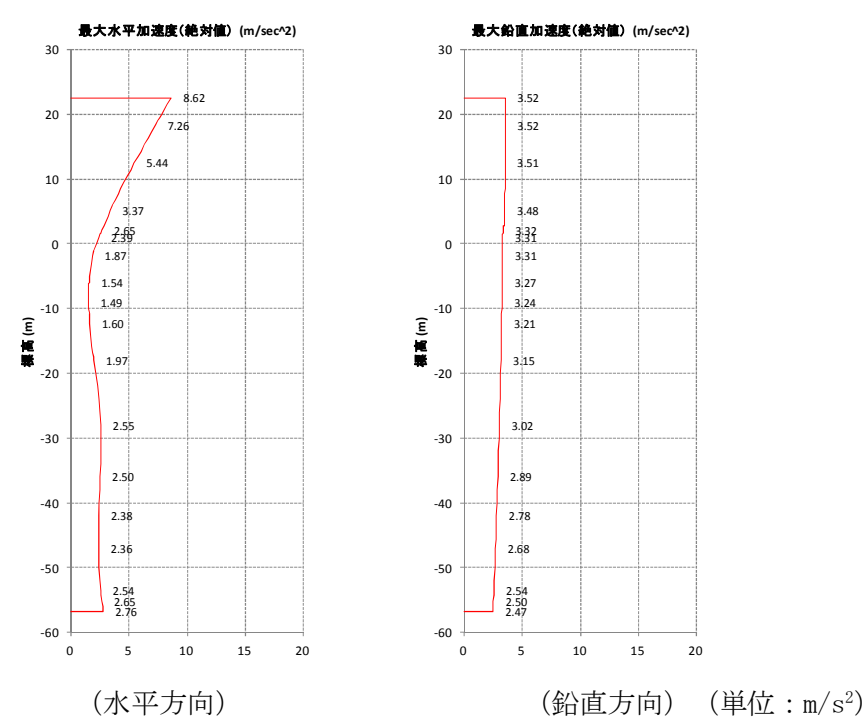


第 4-1 図(8) ①一①断面 最大加速度分布図(8/17) $(S_s-1\ 4)$

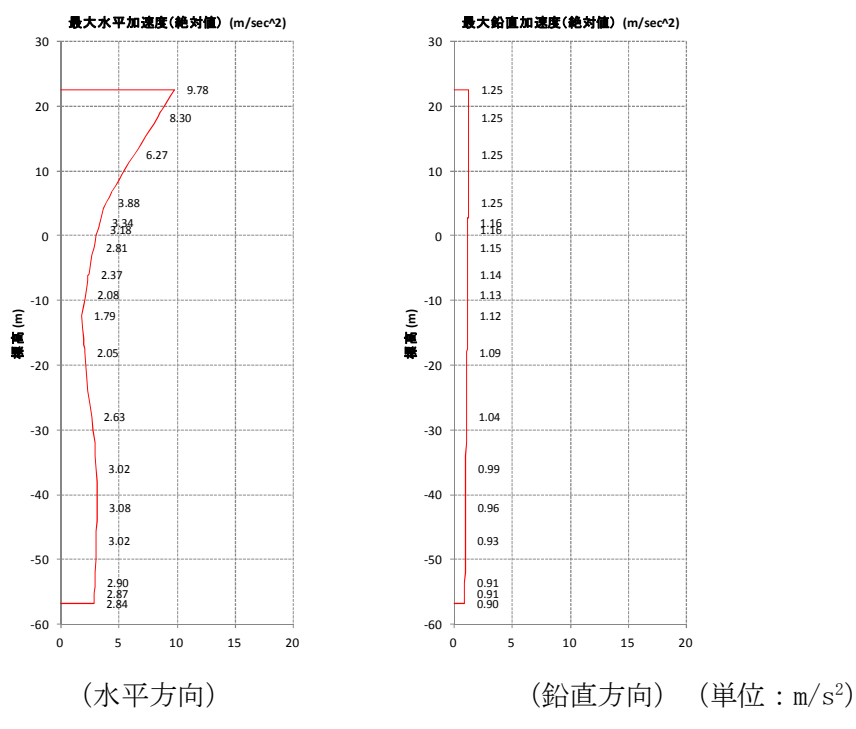
(検討ケース①:原地盤に基づく液状化強度特性を用いた解析ケース)



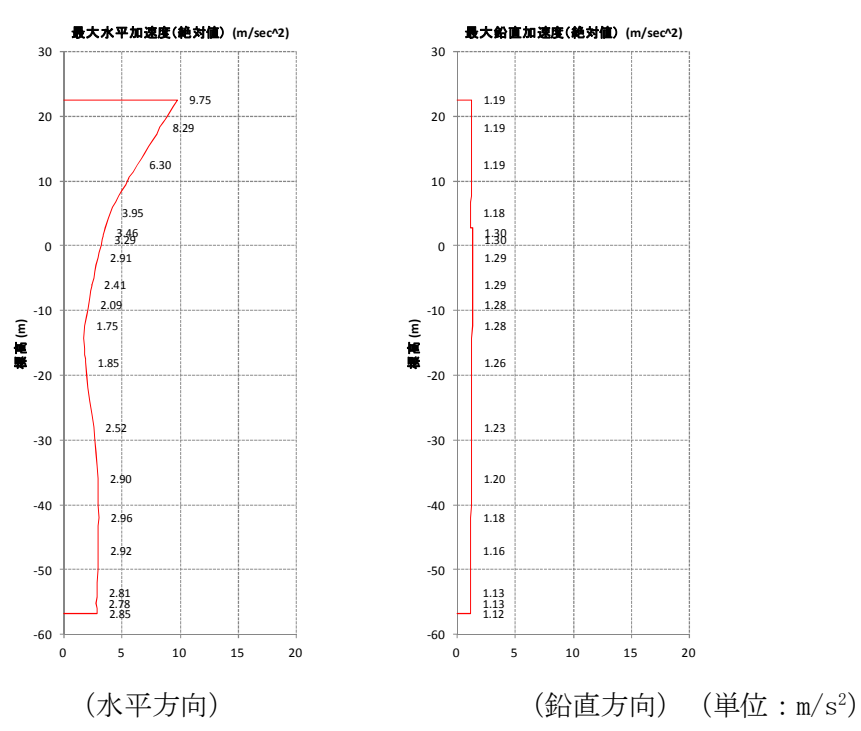
第 4-1 図(9) ①一①断面 最大加速度分布図(9/17) $(S_s-2\ 1)$



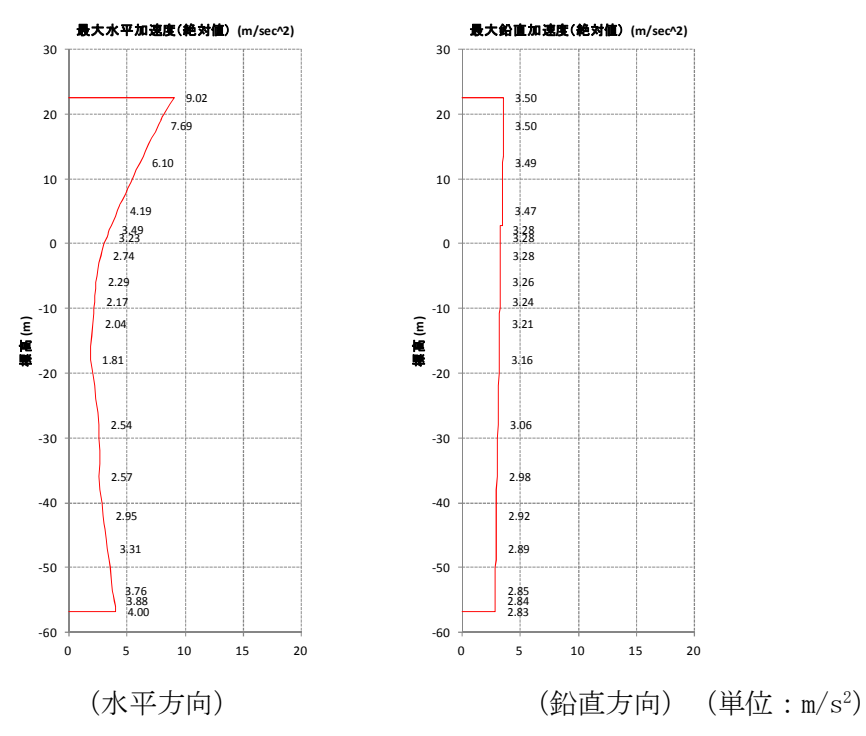
第 4-1 図(10) ①一①断面 最大加速度分布図(10/17) $(S_s-2\ 2)$



第 4-1 図(11) ①-①断面 最大加速度分布図(11/17) $(S_s - 3\ 1\ [H+,\ V+])$

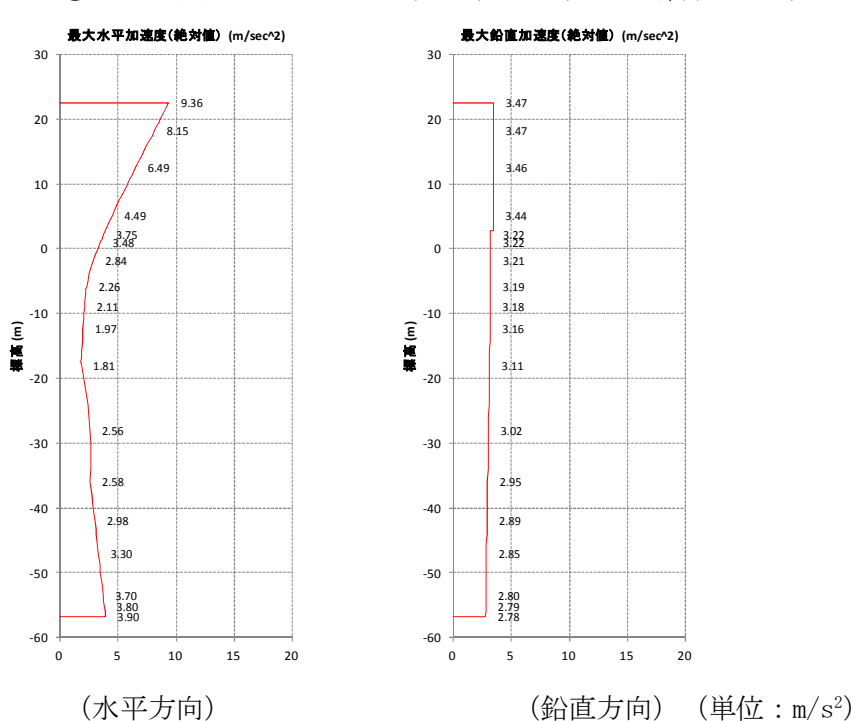


第 4-1 図(12) ①一①断面 最大加速度分布図(12/17) $(S_s - 3 \ 1 \ [H-, \ V+])$



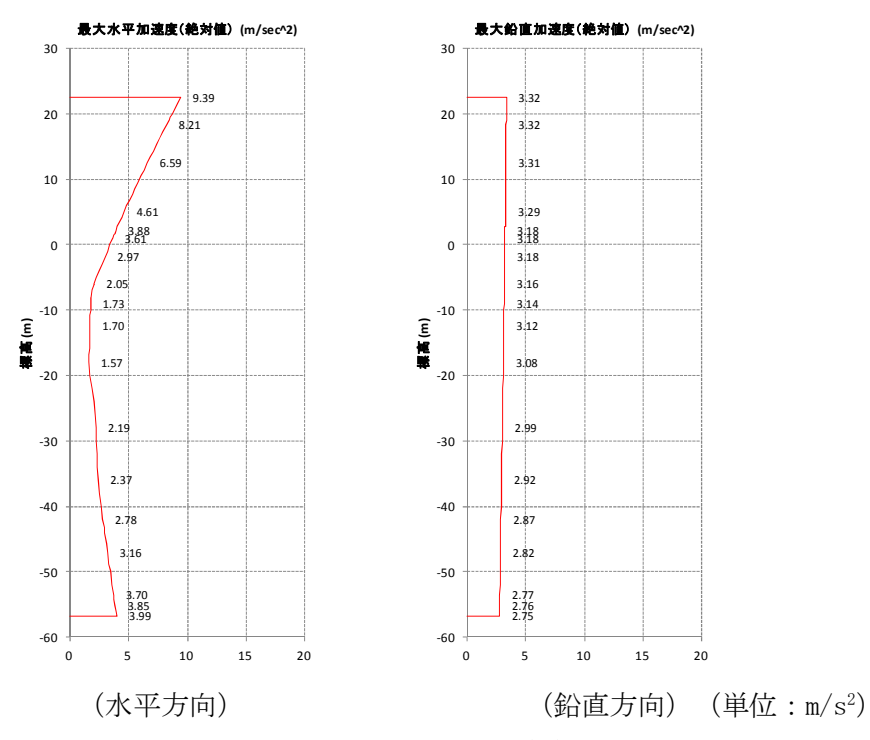
第 4-1 図(13) ① - ①断面 最大加速度分布図(13/17) $(S_s - D \ 1 \ [H+, \ V-])$

(検討ケース②:地盤物性のばらつきを考慮 $(+1\sigma)$ した解析ケース)



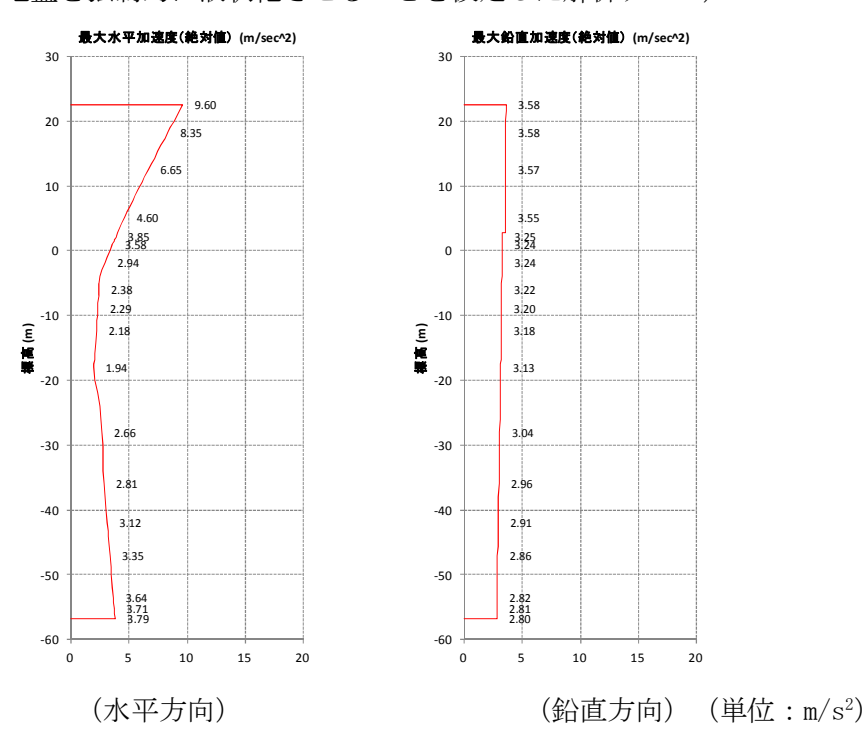
第 4-1 図(14) ① - ①断面 最大加速度分布図(14/17)($S_s-D1[H+,V-]$)

(検討ケース③:地盤物性のばらつきを考慮 (-1σ) した解析ケース)



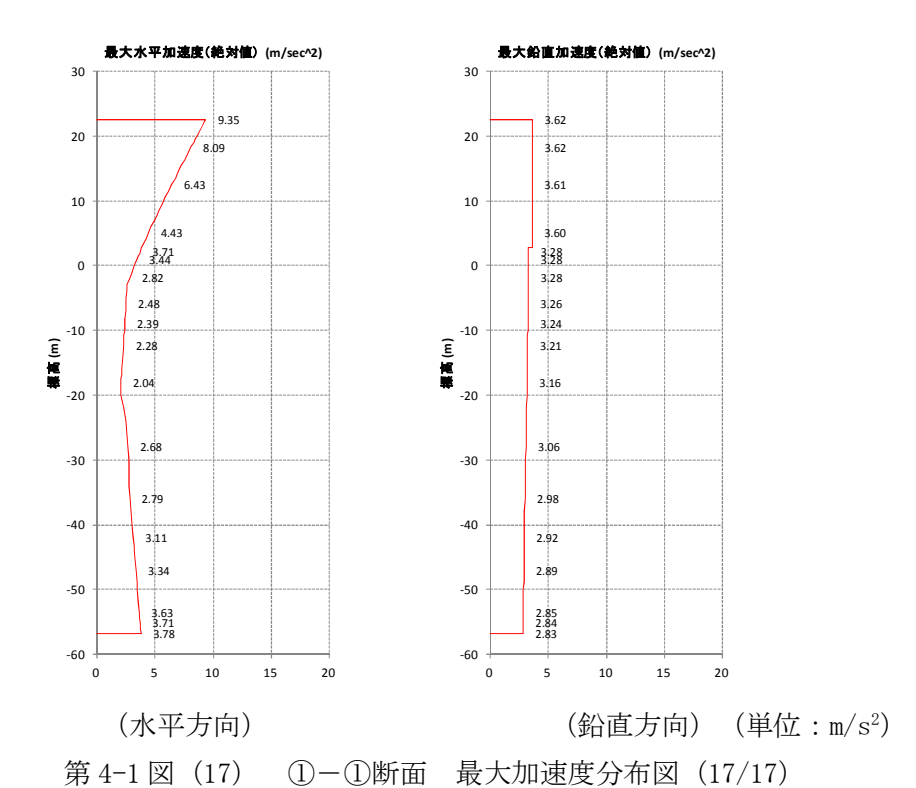
第 4-1 図(15) ① - ① 断面 最大加速度分布図(15/17) $(S_s - D \ 1 \ [H+, \ V-])$

(検討ケース④:敷地に存在しない豊浦標準砂の液状化強度特性により 地盤を強制的に液状化させることを仮定した解析ケース)



第 4-1 図(16) ①一①断面 最大加速度分布図(16/17) $(S_s - D 1 [H+, V-])$

(検討ケース⑤:原地盤において非液状化の条件を仮定した解析ケース)

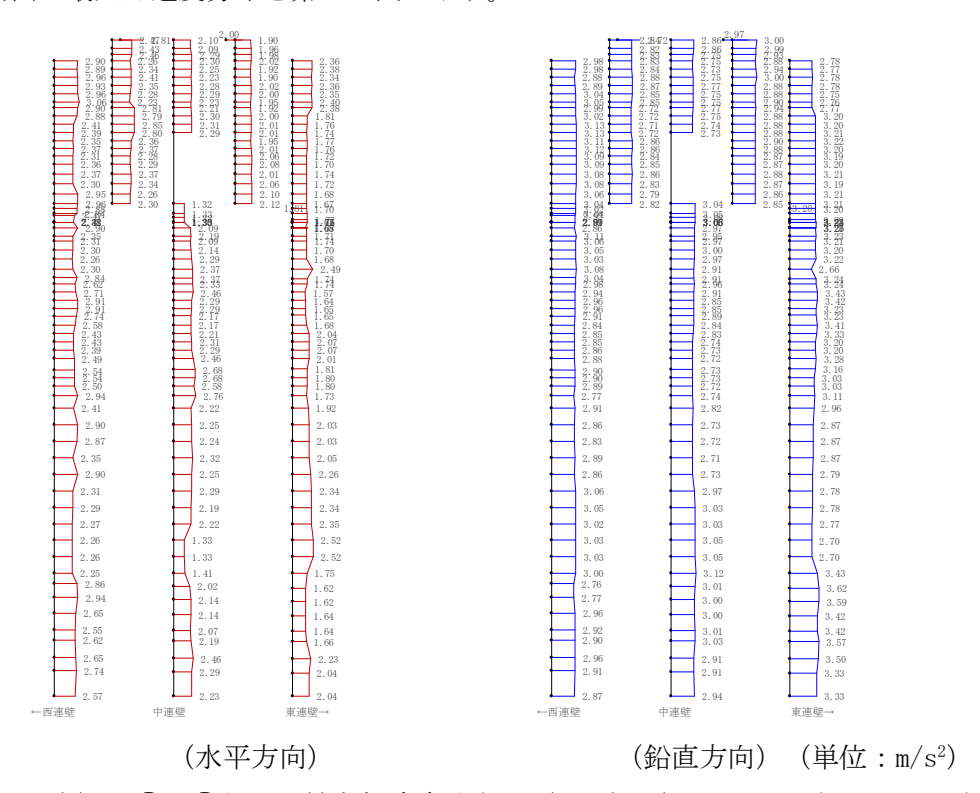


(S_s-D1 [H+, V-])

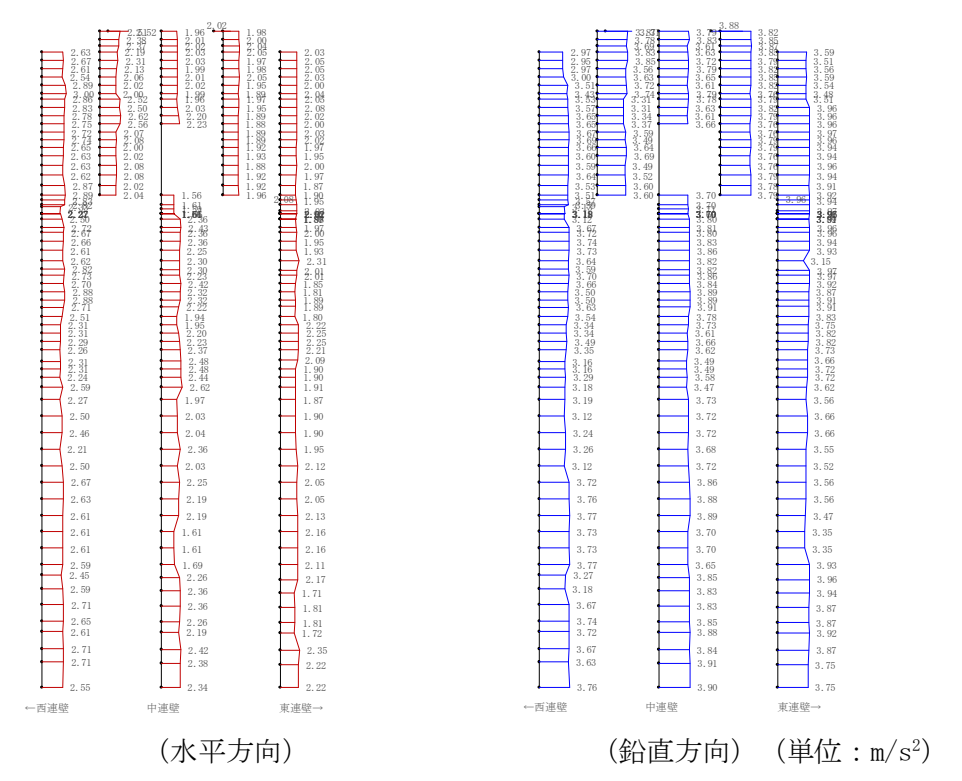
(検討ケース⑥: 地盤物性のばらつきを考慮($+1\sigma$)して 非液状化の条件を仮定した解析ケース)

4.2 ②-②断面

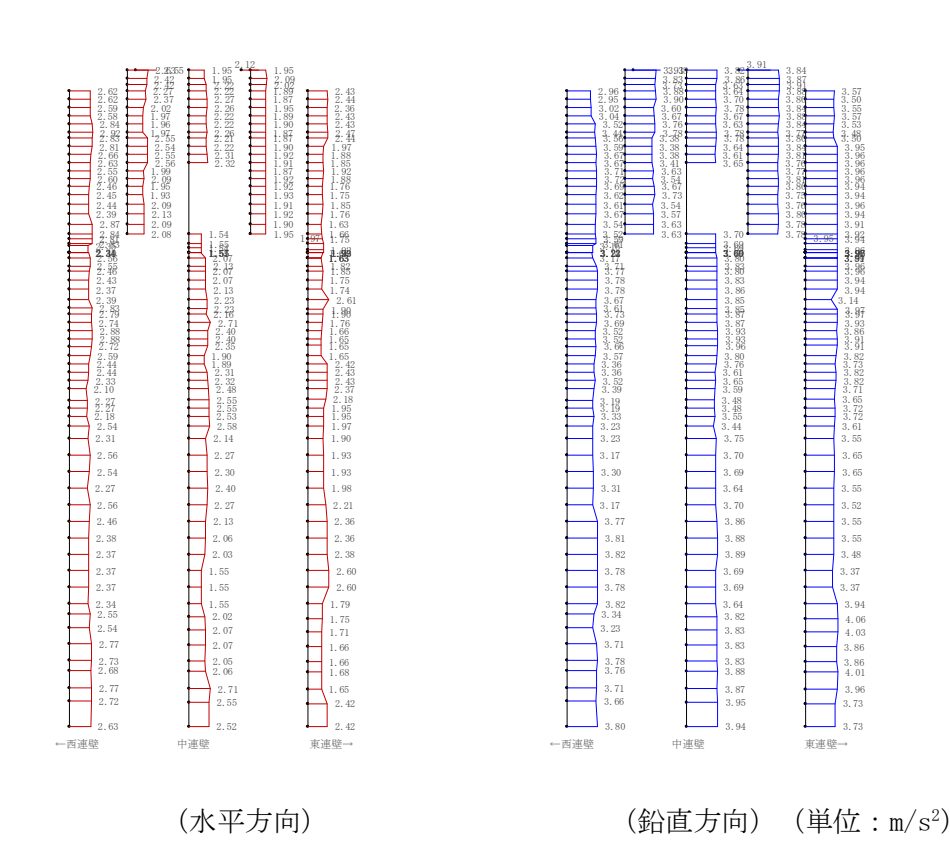
②-②断面の最大加速度分布を第4-2図に示す。



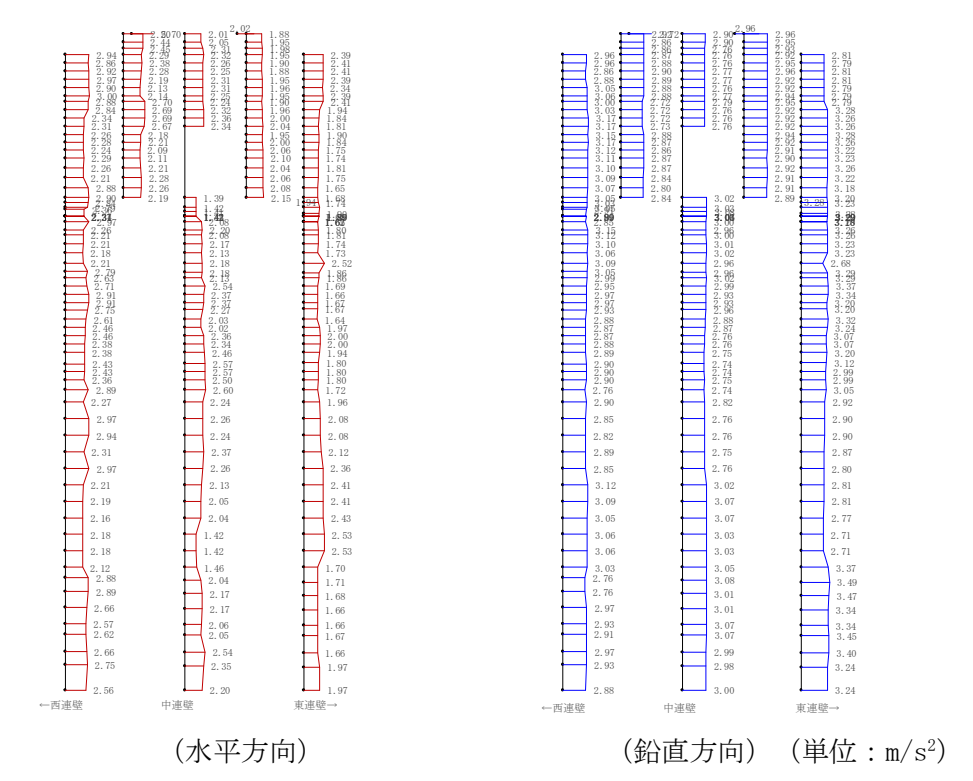
第 4-2 図 (1) ②-②断面 最大加速度分布図 (1/17) (S_s-D1 [H+, V+]) (検討ケース①:原地盤に基づく液状化強度特性を用いた解析ケース)



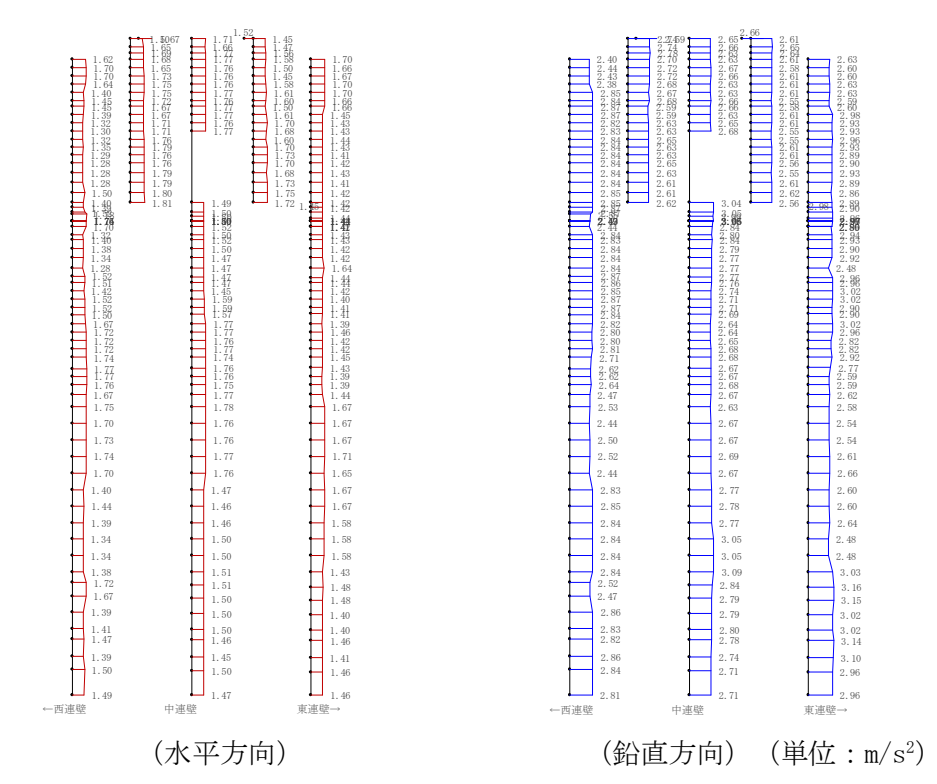
第 4-2 図 (2) ②-②断面 最大加速度分布図 (2/17) (S_s-D1 [H+, V-]) (検討ケース①:原地盤に基づく液状化強度特性を用いた解析ケース)



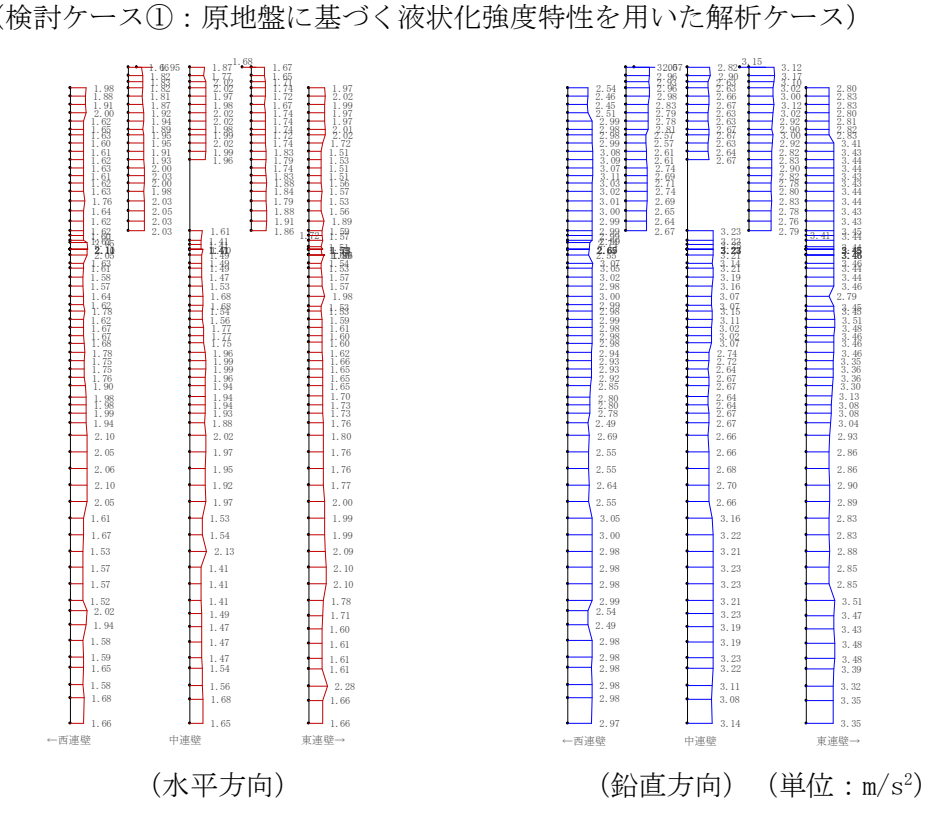
第 4-2 図 (3) ②-②断面 最大加速度分布図 (3/17) (S_s-D1 [H-, V+]) (検討ケース①:原地盤に基づく液状化強度特性を用いた解析ケース)



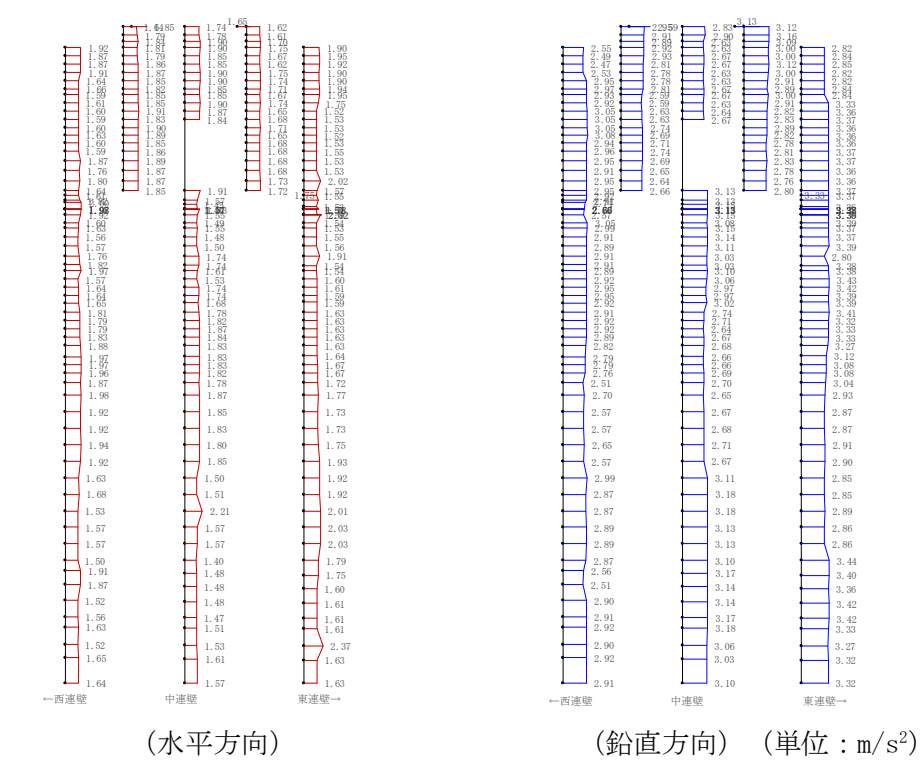
第 4-2 図 (4) ②-②断面 最大加速度分布図 (4/17) (S_s-D1 [H-, V-]) (検討ケース①:原地盤に基づく液状化強度特性を用いた解析ケース)



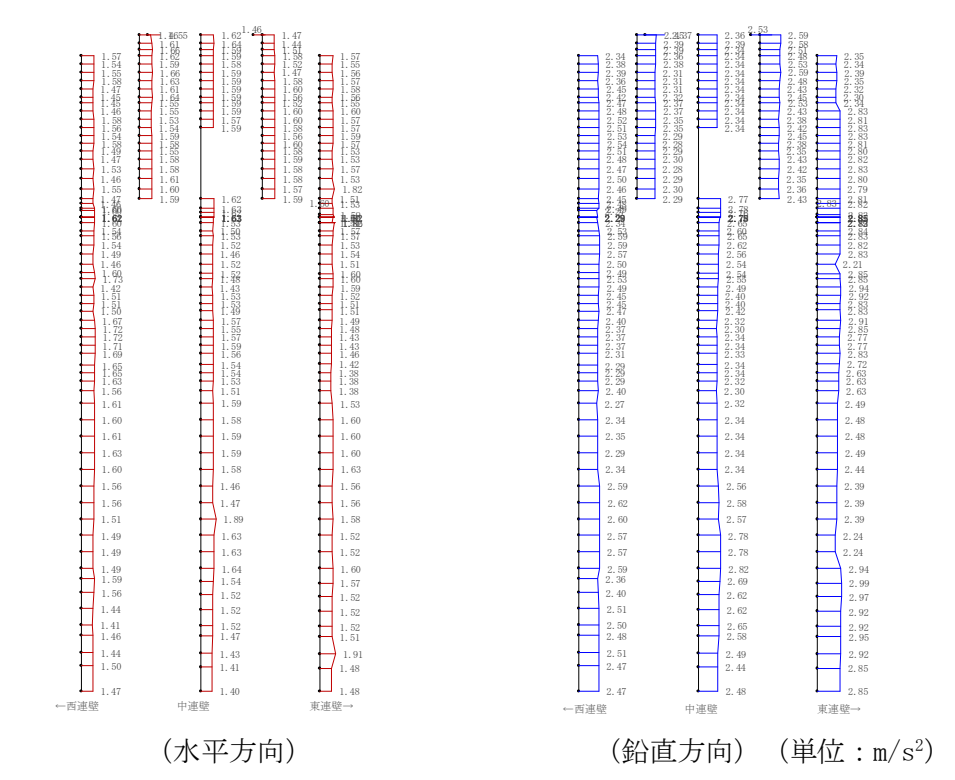
第 4-2 図 (5) ② - ②断面 最大加速度分布図 (5/17) (S_s-11) (検討ケース①:原地盤に基づく液状化強度特性を用いた解析ケース)



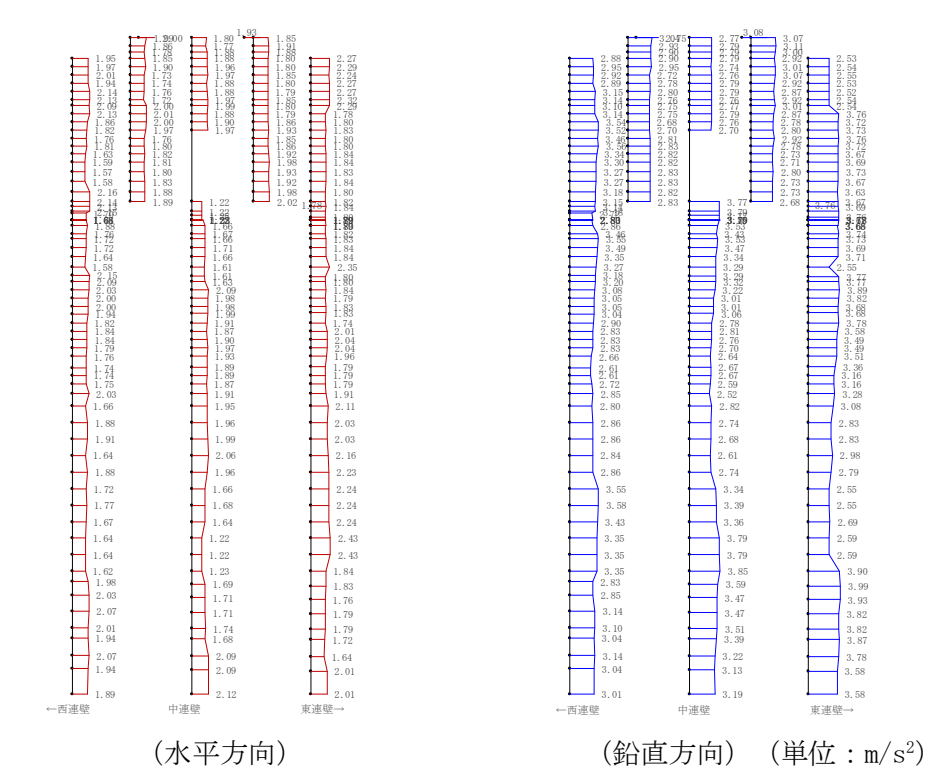
第 4-2 図 (6) ②-②断面 最大加速度分布図 (6/17) (S_s-12) (検討ケース①:原地盤に基づく液状化強度特性を用いた解析ケース)



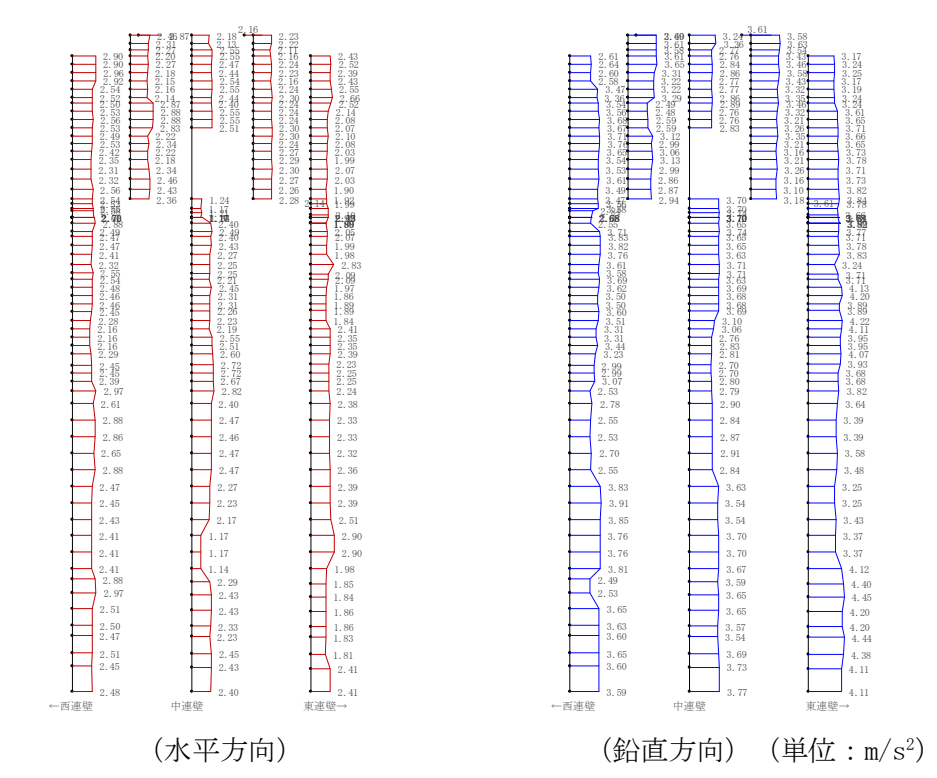
第 4-2 図 (7) ② - ②断面 最大加速度分布図 (7/17) (S_s-13) (検討ケース①:原地盤に基づく液状化強度特性を用いた解析ケース)



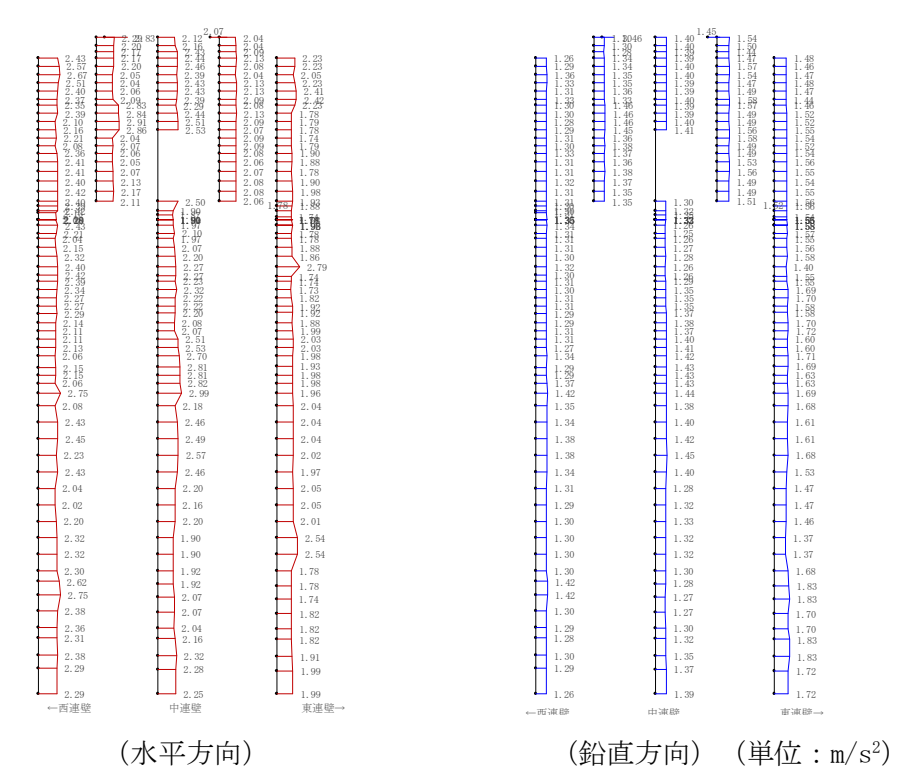
第 4-2 図 (8) ②-②断面 最大加速度分布図 (8/17) (S_s-14) (検討ケース①:原地盤に基づく液状化強度特性を用いた解析ケース)



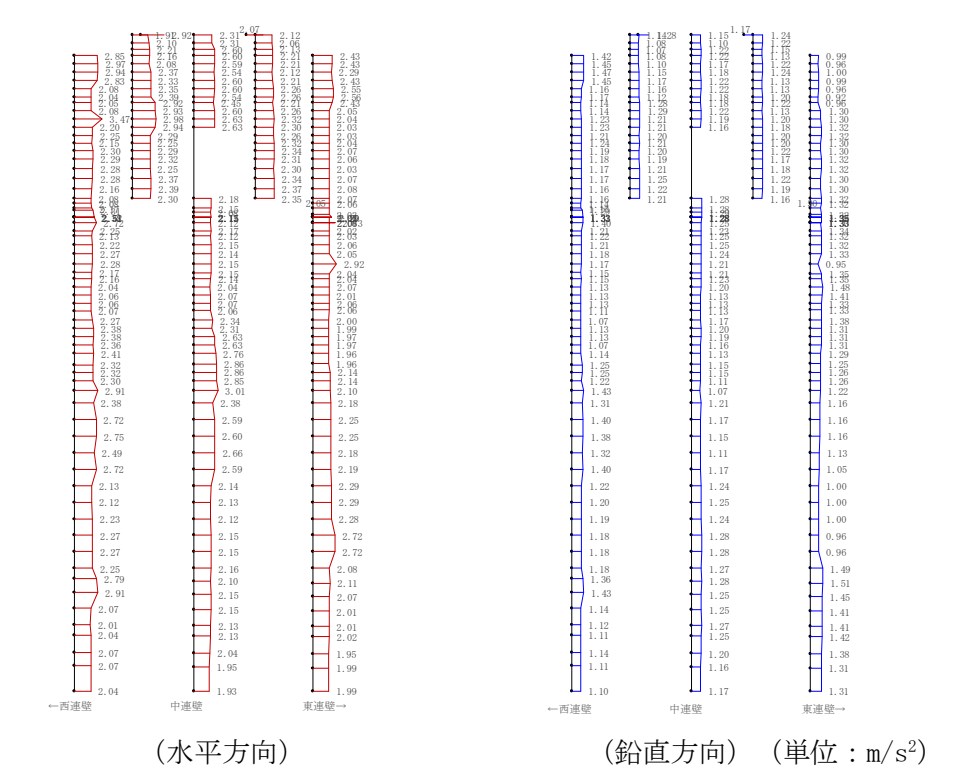
第 4-2 図 (9) ②-②断面 最大加速度分布図 (9/17) (S_s-21) (検討ケース①:原地盤に基づく液状化強度特性を用いた解析ケース)



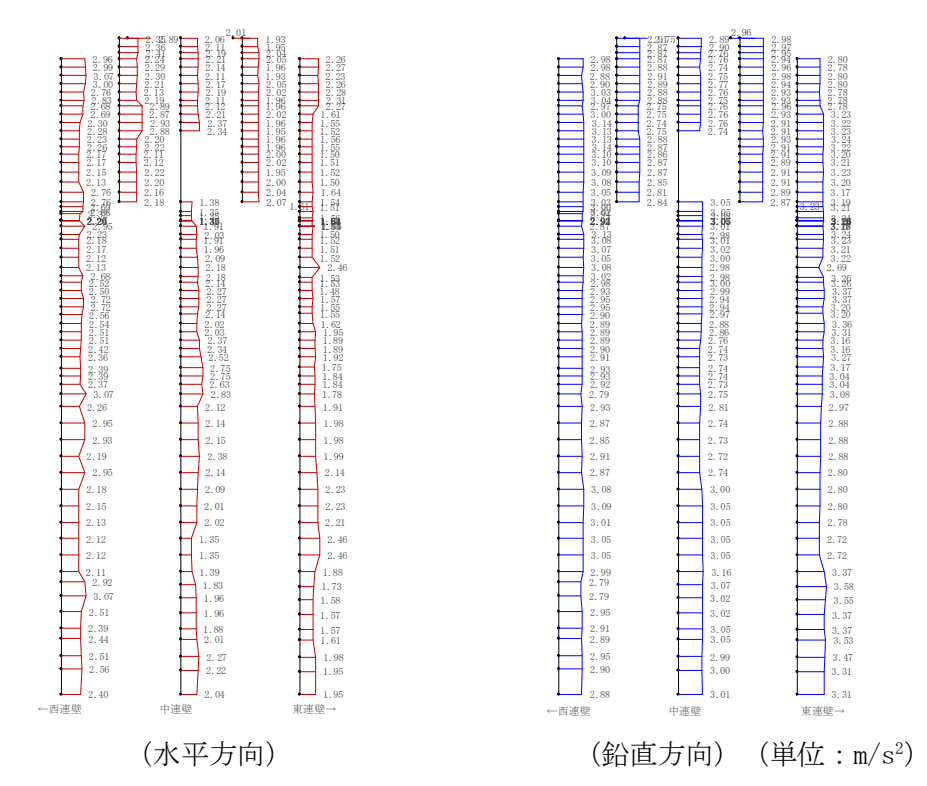
第 4-2 図 (10) ②-②断面 最大加速度分布図 (10/17) (S_s-22) (検討ケース①:原地盤に基づく液状化強度特性を用いた解析ケース)



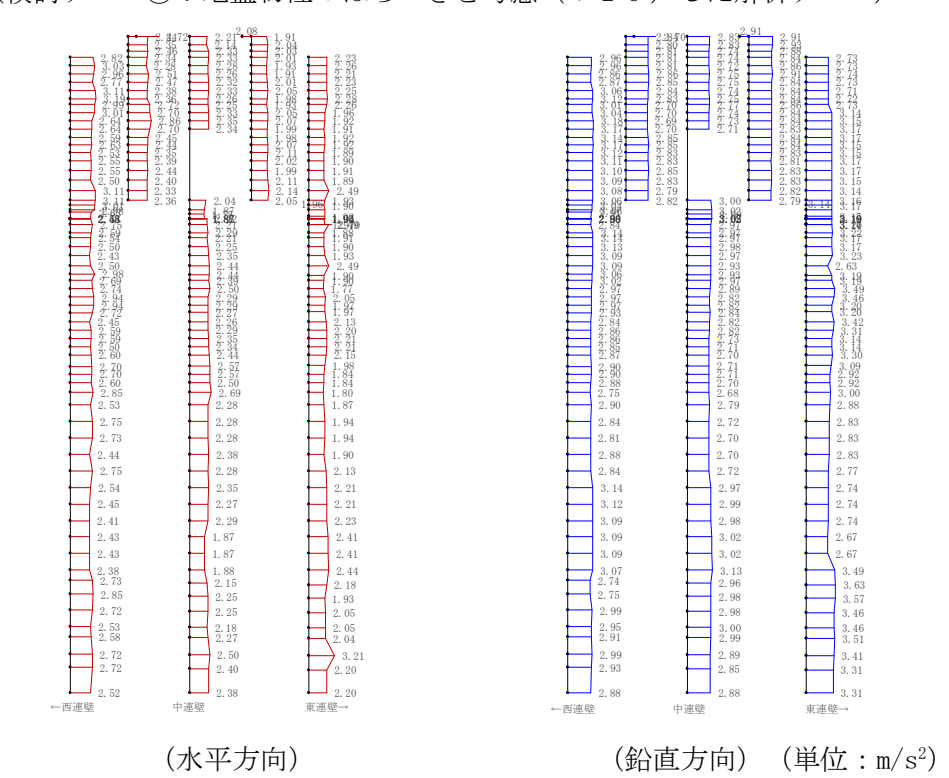
第 4-2 図 (11) ②-②断面 最大加速度分布図 (11/17) (S_s-31 [H+, V+]) (検討ケース①:原地盤に基づく液状化強度特性を用いた解析ケース)



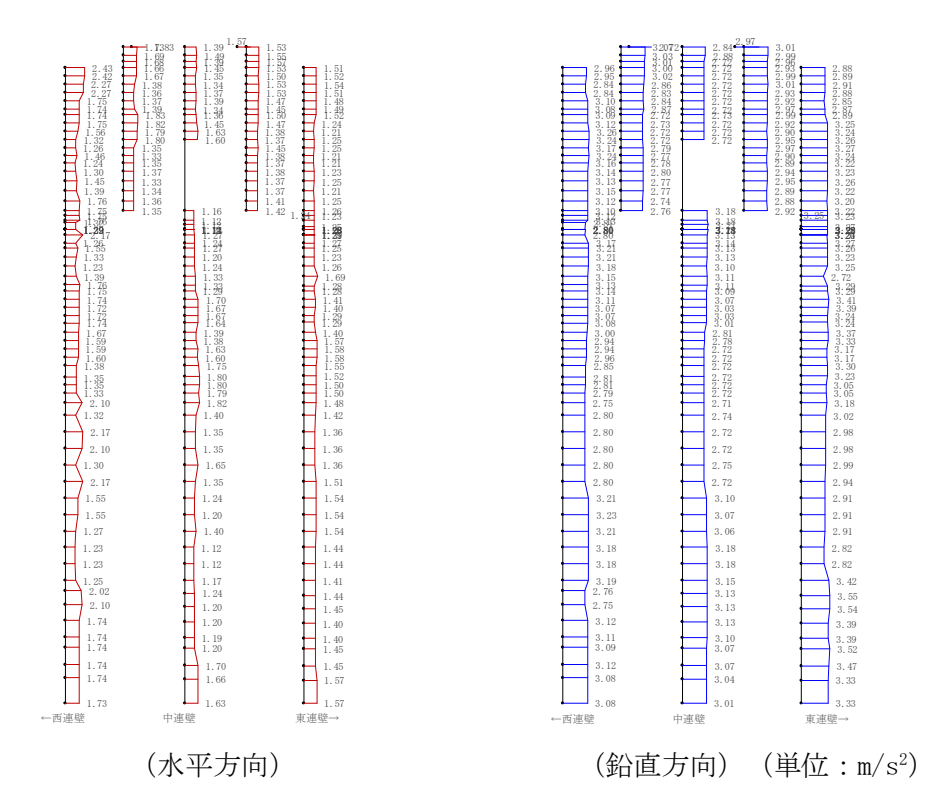
第 4-2 図 (12) ②-②断面 最大加速度分布図 (12/17) (S_s-3 1 [H-, V+]) (検討ケース①:原地盤に基づく液状化強度特性を用いた解析ケース)



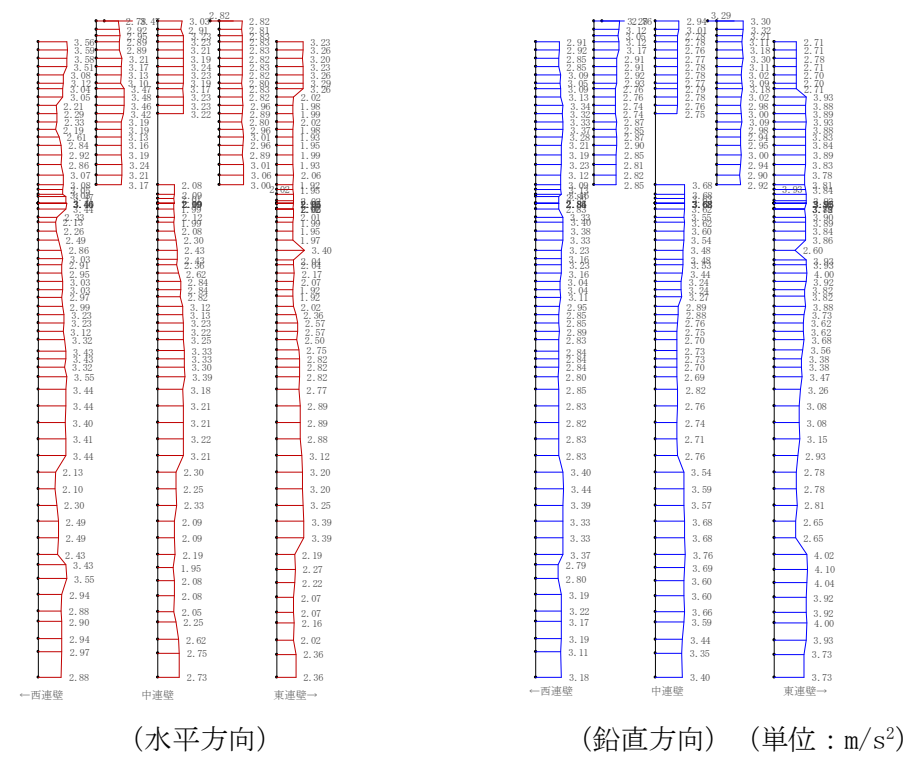
第 4-2 図(13) ② - ②断面 最大加速度分布図(13/17)($S_s - D1$ [H+, V+]) (検討ケース②:地盤物性のばらつきを考慮($+1\sigma$)した解析ケース)



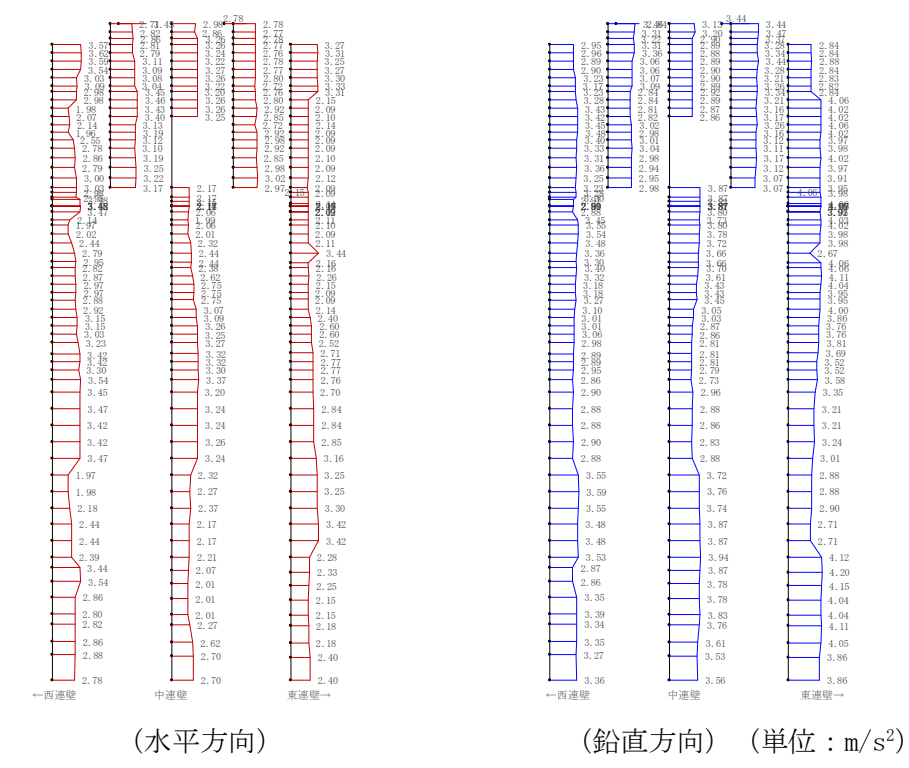
第 4-2 図 (14) ② - ②断面 最大加速度分布図 (14/17) ($S_s - D1[H+, V+]$) (検討ケース③: 地盤物性のばらつきを考慮 (-1σ) した解析ケース)



第 4-2 図 (15) ② - ②断面 最大加速度分布図 (15/17) (S_s-D1 [H+, V+]) (検討ケース④:敷地に存在しない豊浦標準砂の液状化強度特性により 地盤を強制的に液状化させることを仮定した解析ケース)



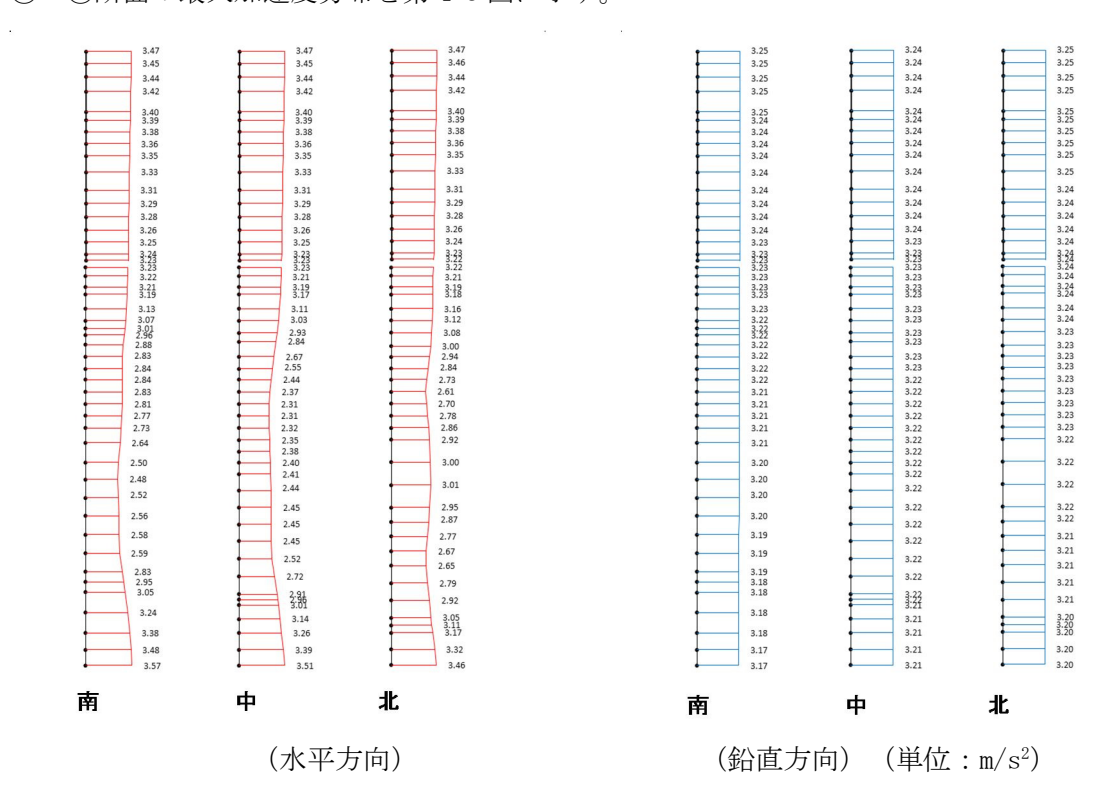
第 4-2 図 (16) ② - ②断面 最大加速度分布図 (16/17) ($S_s - D1[H+, V+]$) (検討ケース⑤: 原地盤において非液状化の条件を仮定した解析ケース)



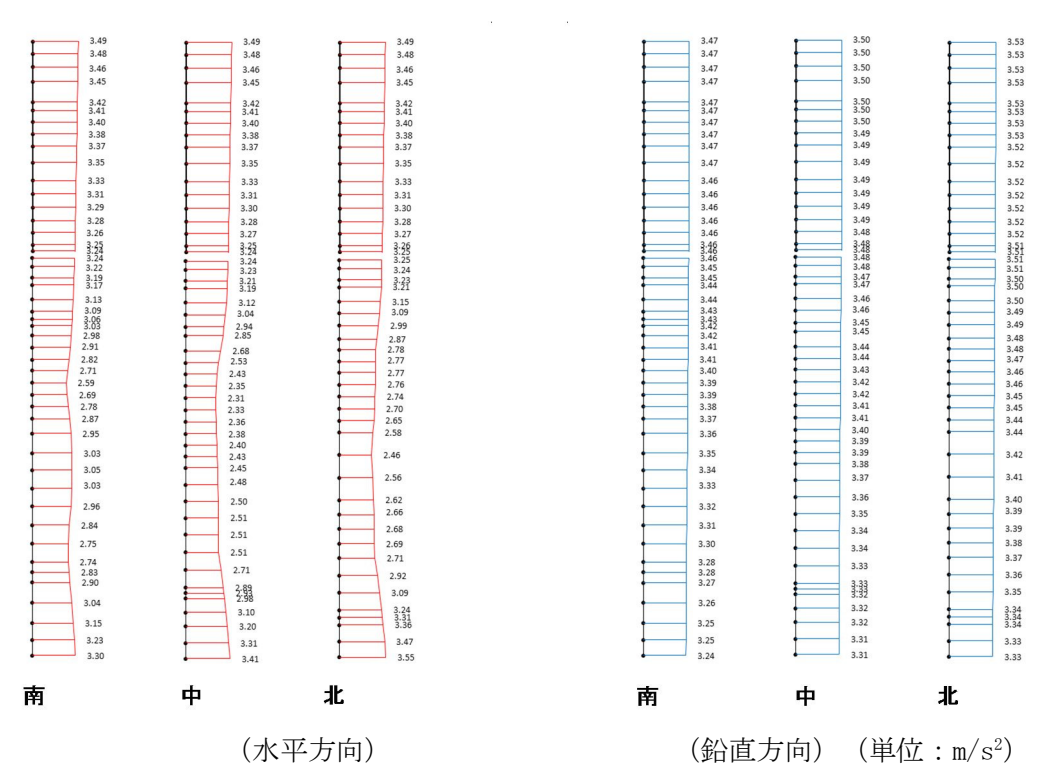
第 4-2 図(17) ② - ②断面 最大加速度分布図(17/17)($S_s-D1[H+,V+]$) (検討ケース⑥:地盤物性のばらつきを考慮($+1\sigma$)して 非液状化の条件を仮定した解析ケース)

4.3 ③-③断面

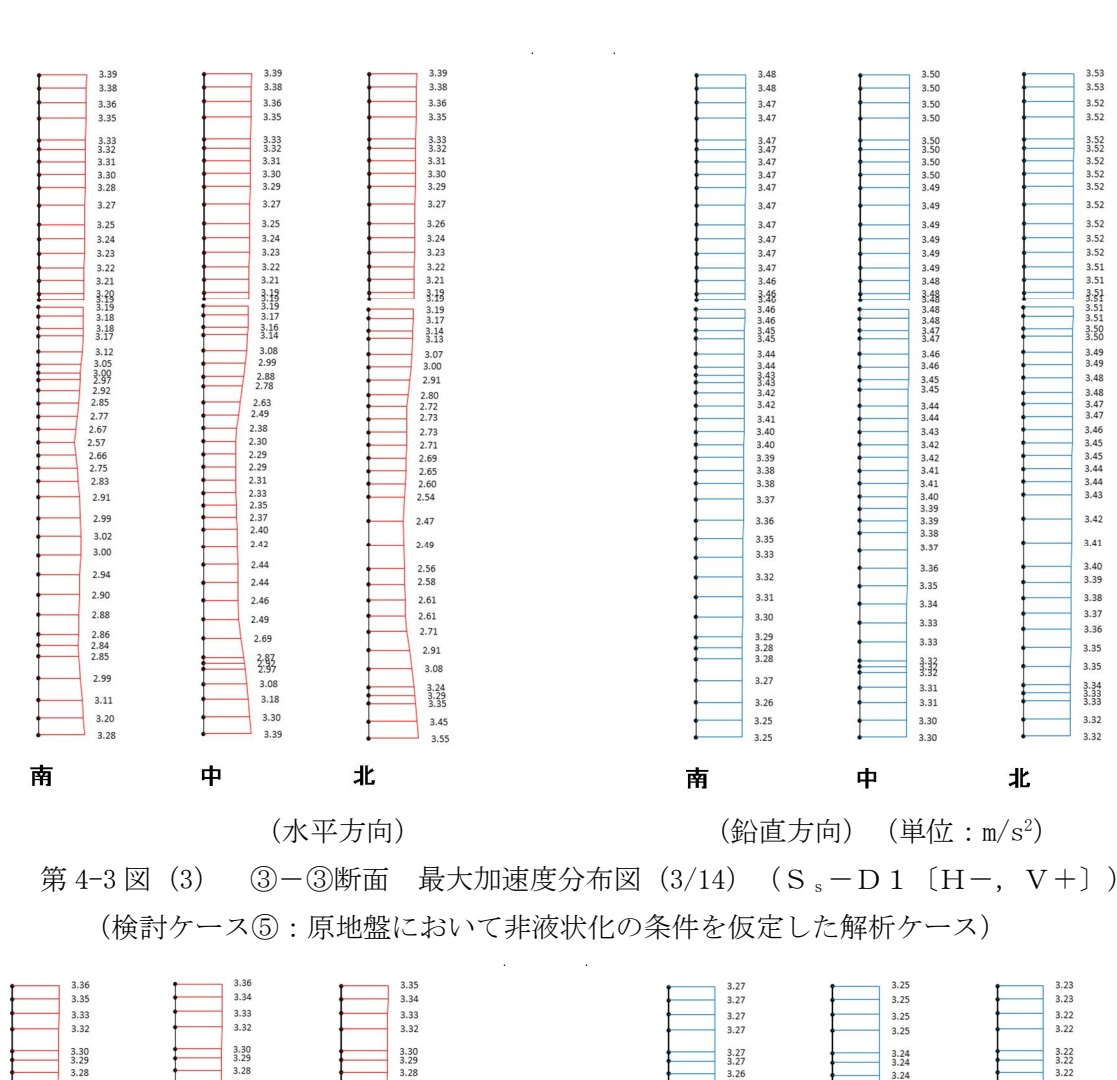
③-③断面の最大加速度分布を第4-3図に示す。

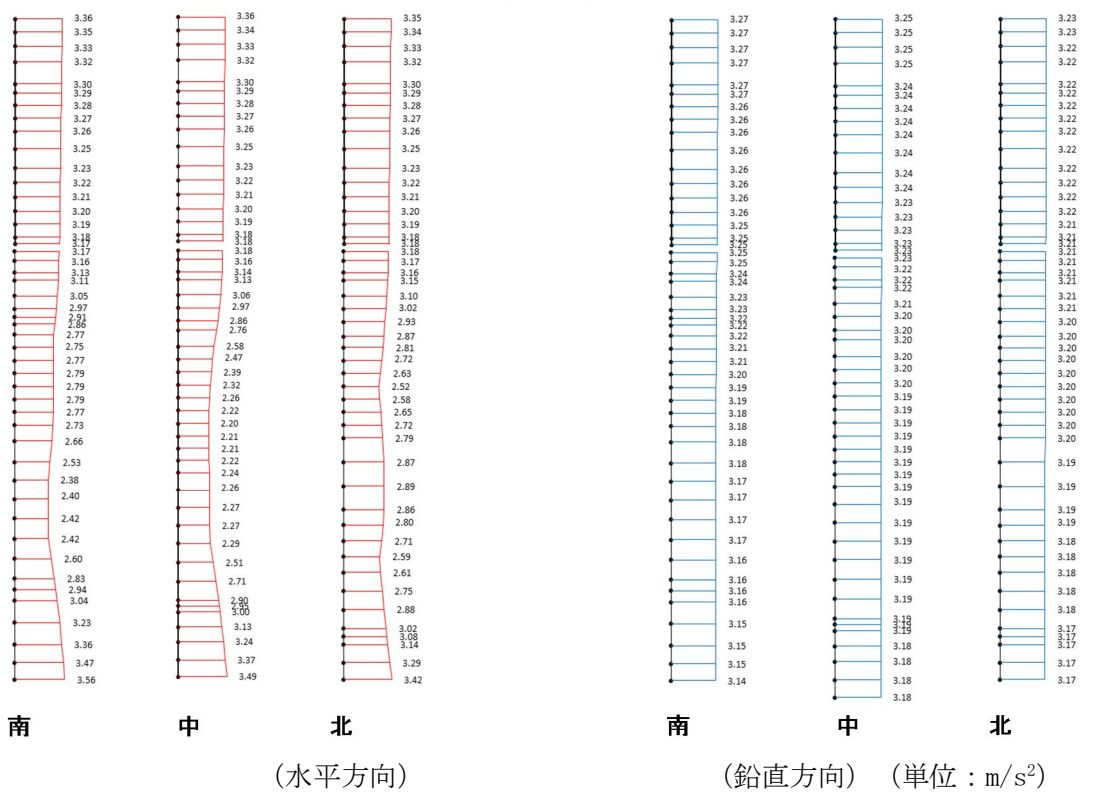


第 4-3 図 (1) ③ - ③ 断面 最大加速度分布図 (1/14) ($S_s - D1[H+, V+]$) (検討ケース⑤: 原地盤において非液状化の条件を仮定した解析ケース)

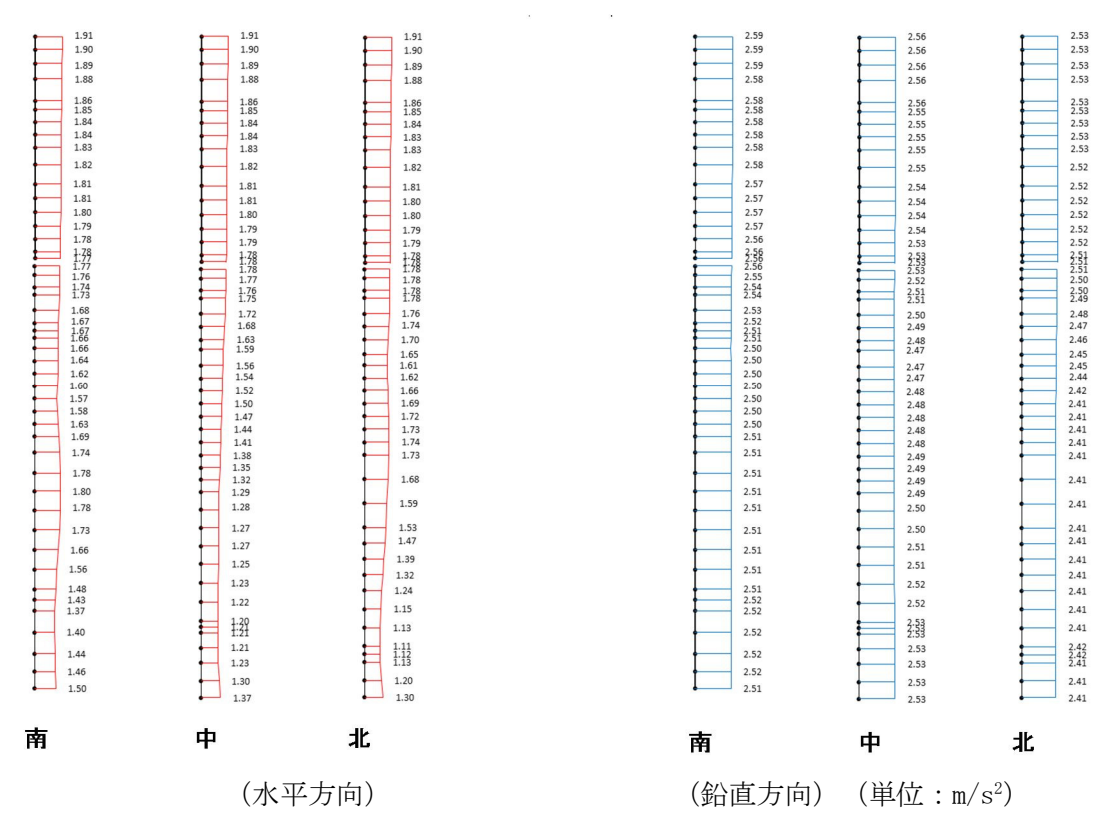


第 4-3 図 (2) ③ - ③ 断面 最大加速度分布図 (2/14) (S_s-D1 [H+, V-]) (検討ケース⑤: 原地盤において非液状化の条件を仮定した解析ケース)

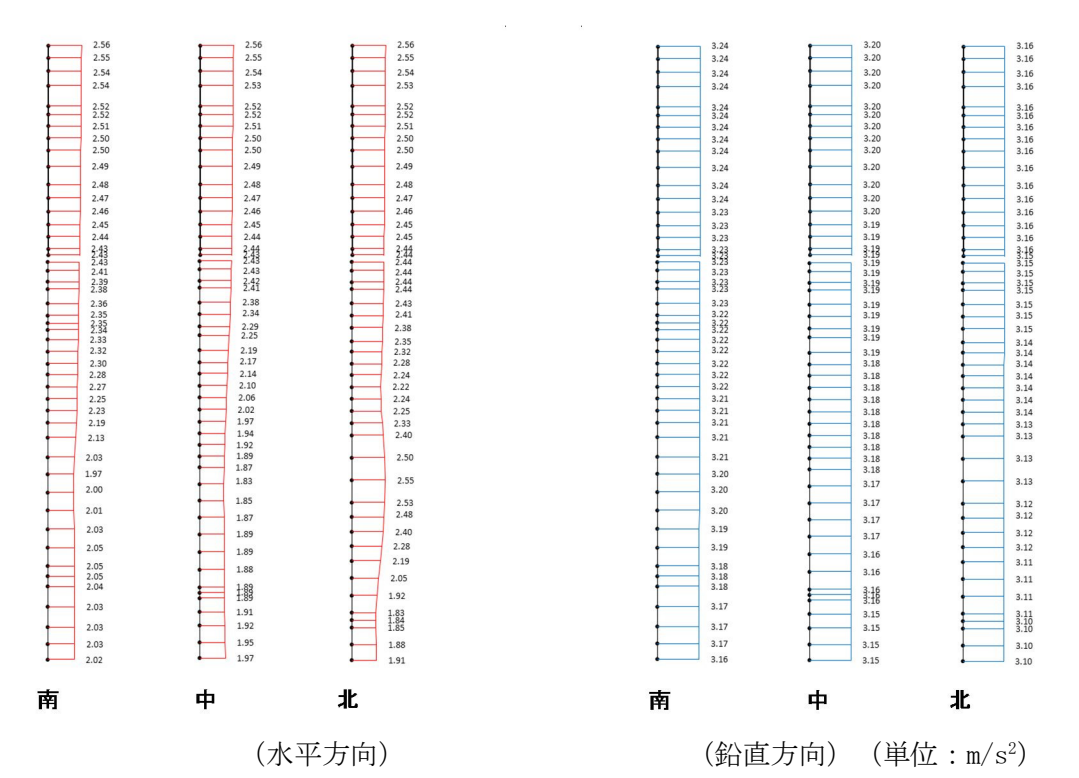




第 4-3 図 (4) ③ - ③断面 最大加速度分布図 (4/14) (S_s-D1 [H-, V-]) (検討ケース⑤:原地盤において非液状化の条件を仮定した解析ケース)



第 4-3 図 (5) ③ - ③断面 最大加速度分布図 (5/14) ($S_s - 1_1$) (検討ケース⑤: 原地盤において非液状化の条件を仮定した解析ケース)

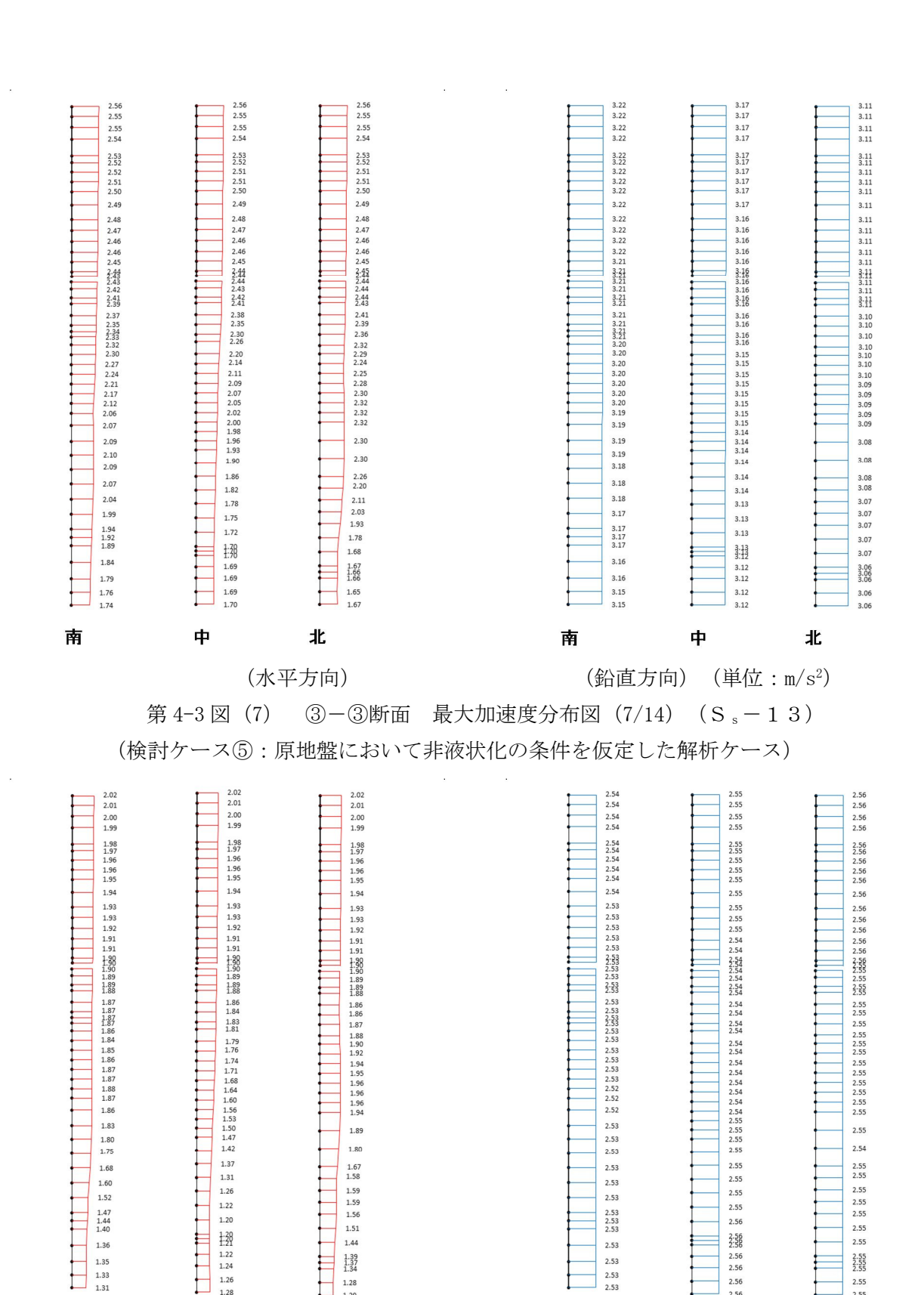


第 4-3 図 (6) ③ - ③断面 最大加速度分布図 (6/14) ($S_s - 1_2$) (検討ケース⑤: 原地盤において非液状化の条件を仮定した解析ケース)

1.35 1.33 1.31

南

中



(水平方向) (鉛直方向) (単位:m/s2) 第 4-3 図 (8) ③-③断面 最大加速度分布図(8/14)(S_s-14)

2.53

2.53 2.53

南

2.56 2.56

中

2.55 2.55 2.55

北

(検討ケース⑤:原地盤において非液状化の条件を仮定した解析ケース)

1.39 1.37 1.34

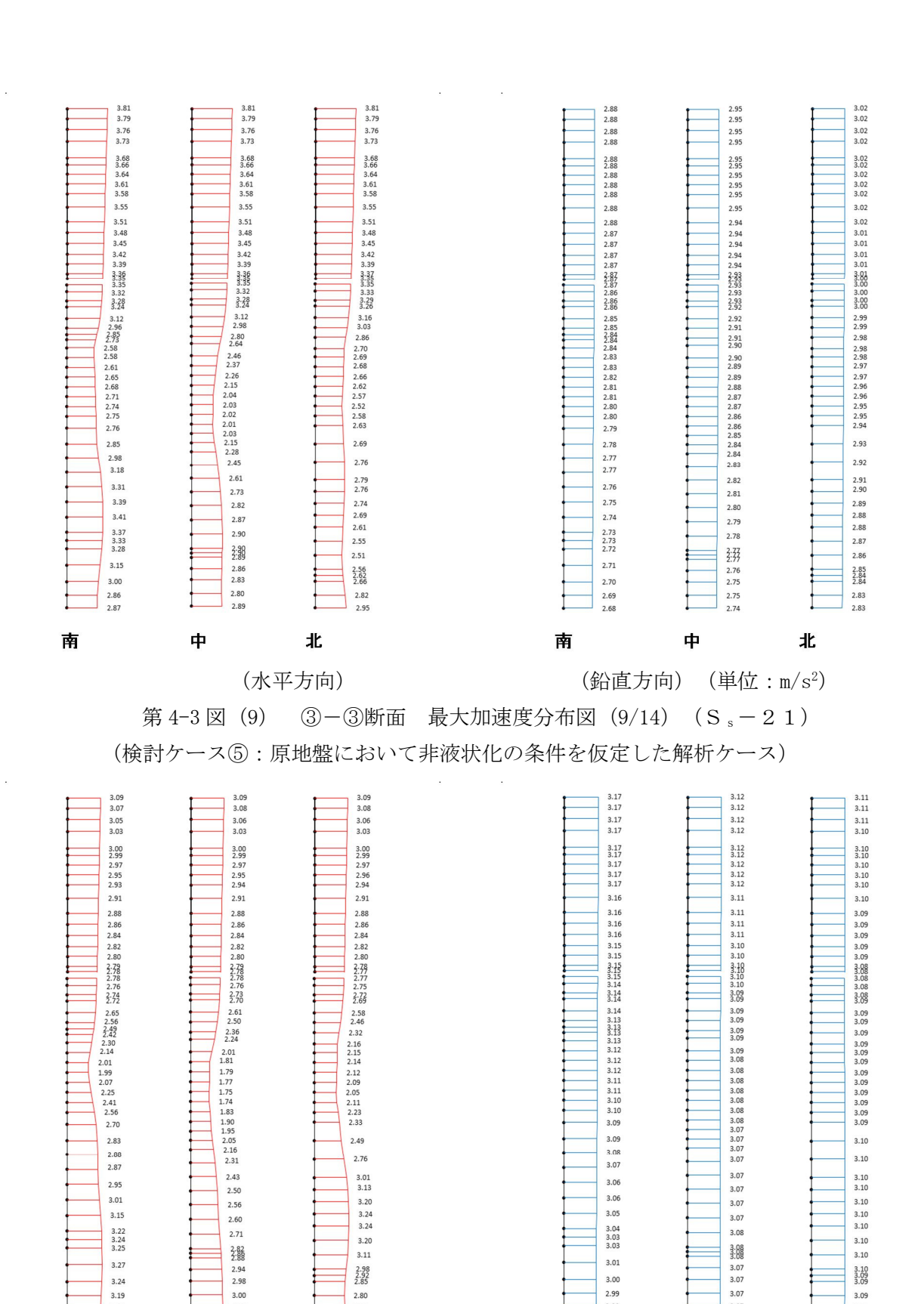
北

3.27

3.24

中

南



第 4-3 図(10) ③-③断面 最大加速度分布図(10/14)(S_s-22) (検討ケース⑤:原地盤において非液状化の条件を仮定した解析ケース)

2.98 2.92 2.85

2.80

北

(水平方向)

3:88

3.08 3.07 3.07 3.07

(単位:m/s²)

中

3.00 2.99 2.99

(鉛直方向)

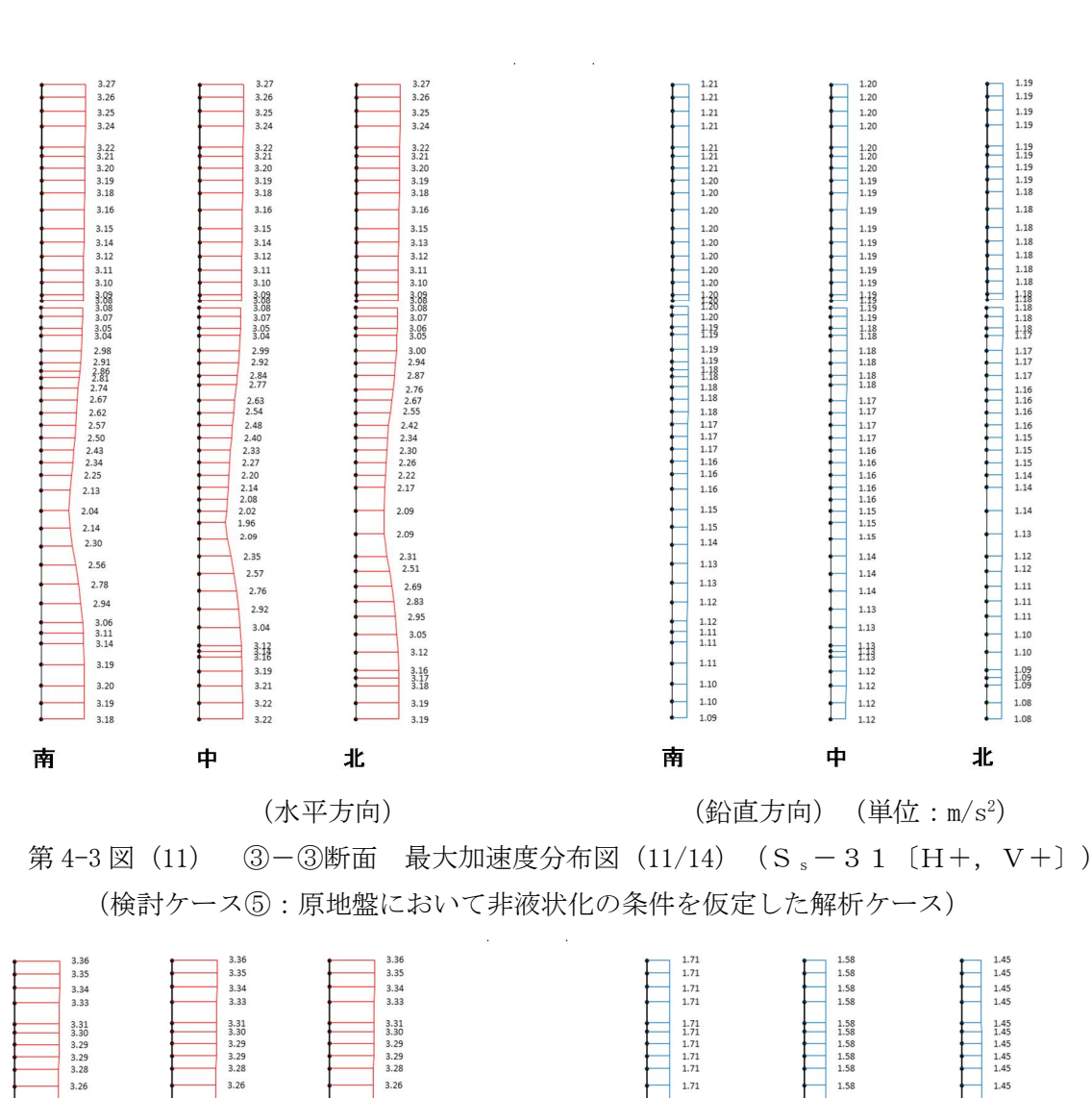
南

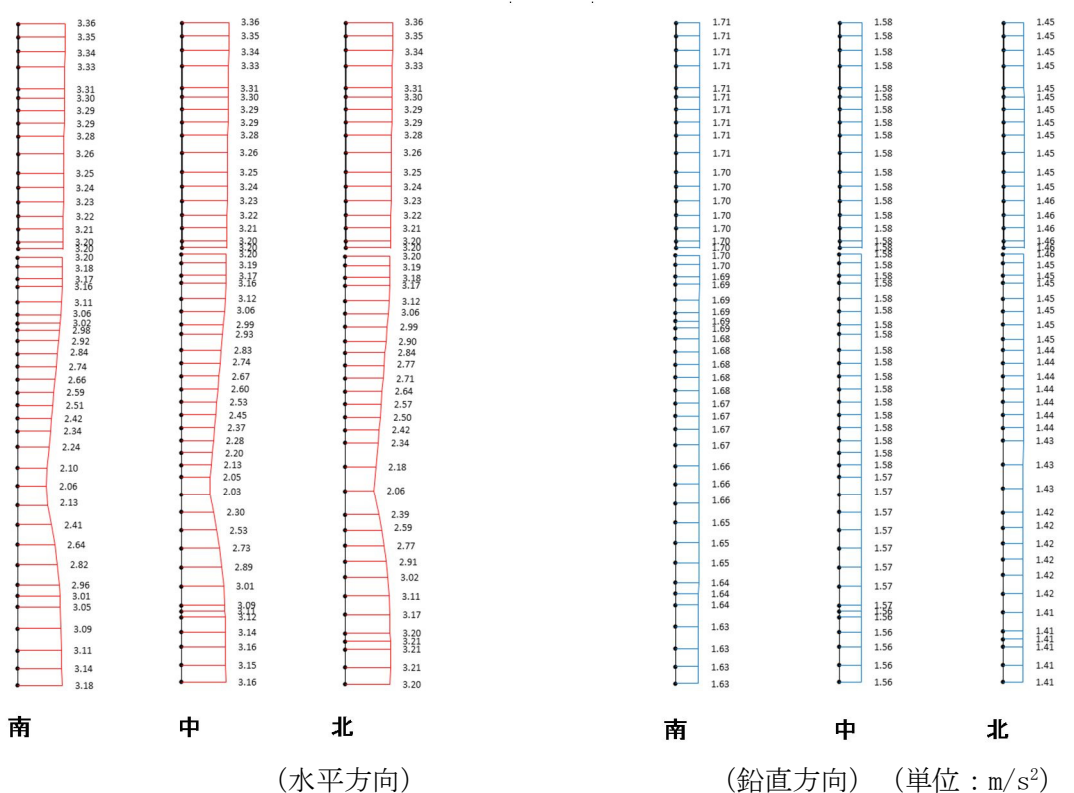
3.10

3.10 3.09 3.09

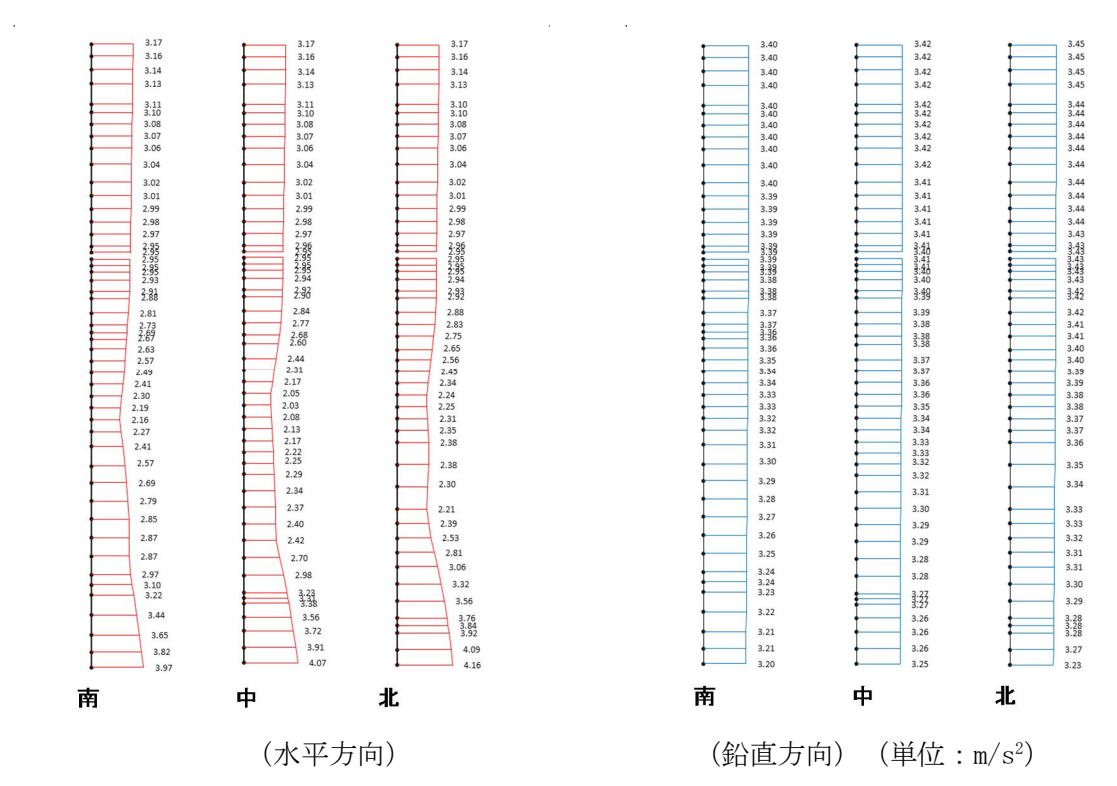
3.09

北

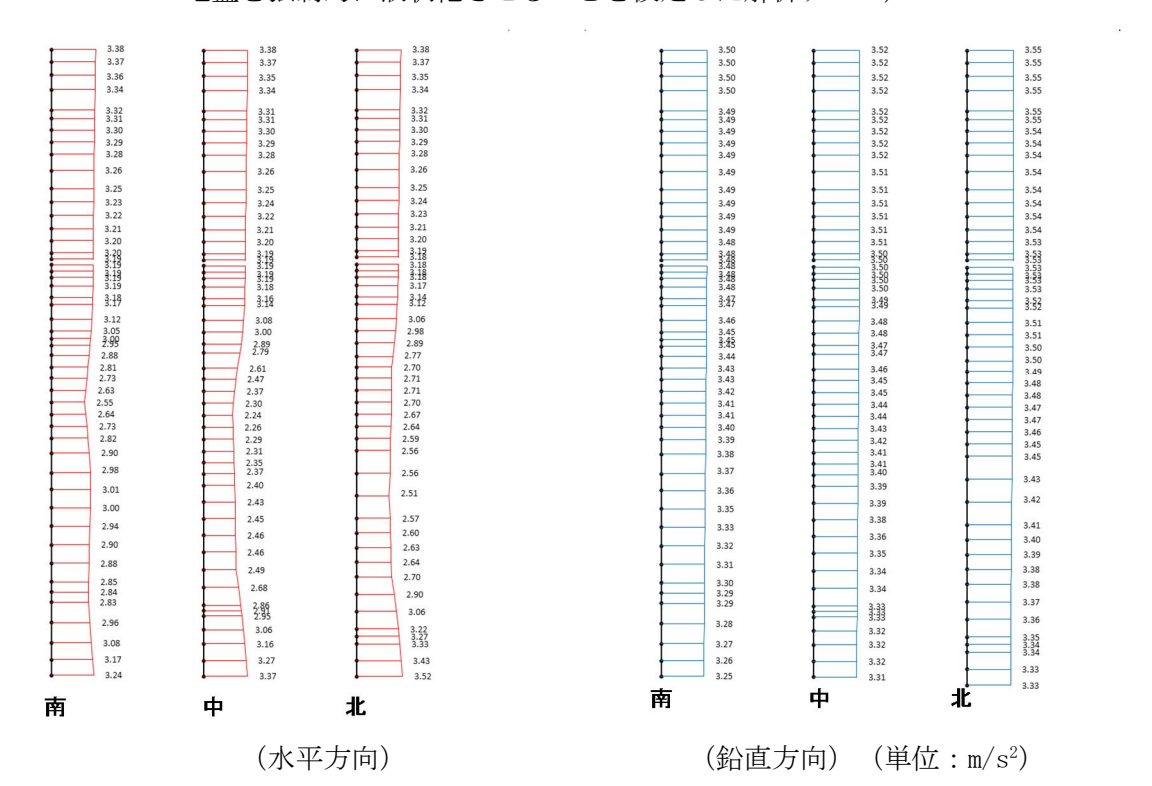




第 4-3 図 (12) ③ - ③ 断面 最大加速度分布図 (12/14) ($S_s - 31[H-,V+]$) (検討ケース⑤: 原地盤において非液状化の条件を仮定した解析ケース)



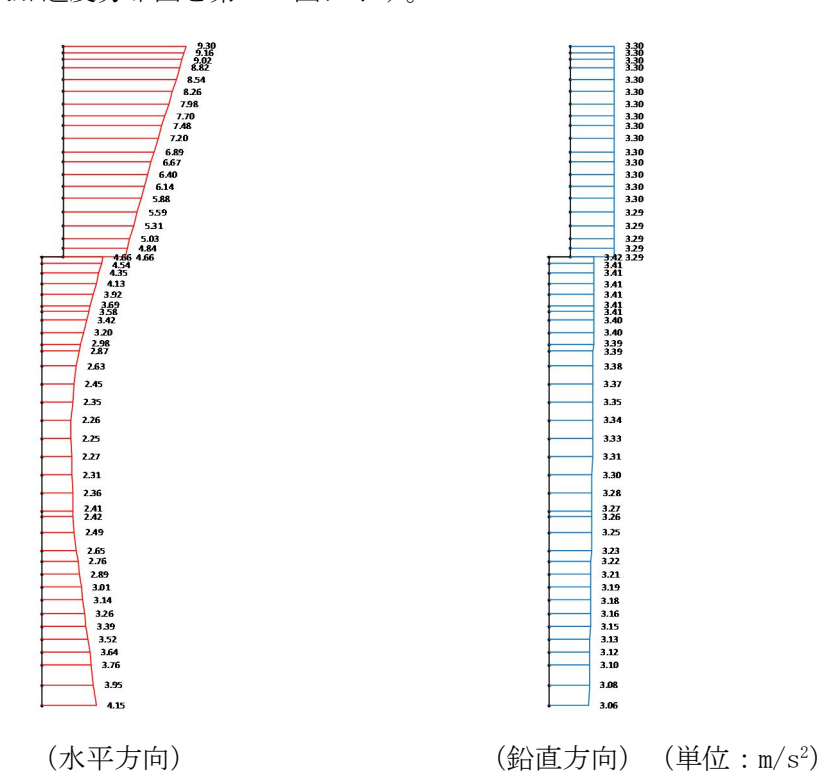
第 4-3 図 (13) ③ - ③断面 最大加速度分布図 (13/14) (S_s-D1 [H-, V+]) (検討ケース④:敷地に存在しない豊浦標準砂の液状化強度特性により 地盤を強制的に液状化させることを仮定した解析ケース)



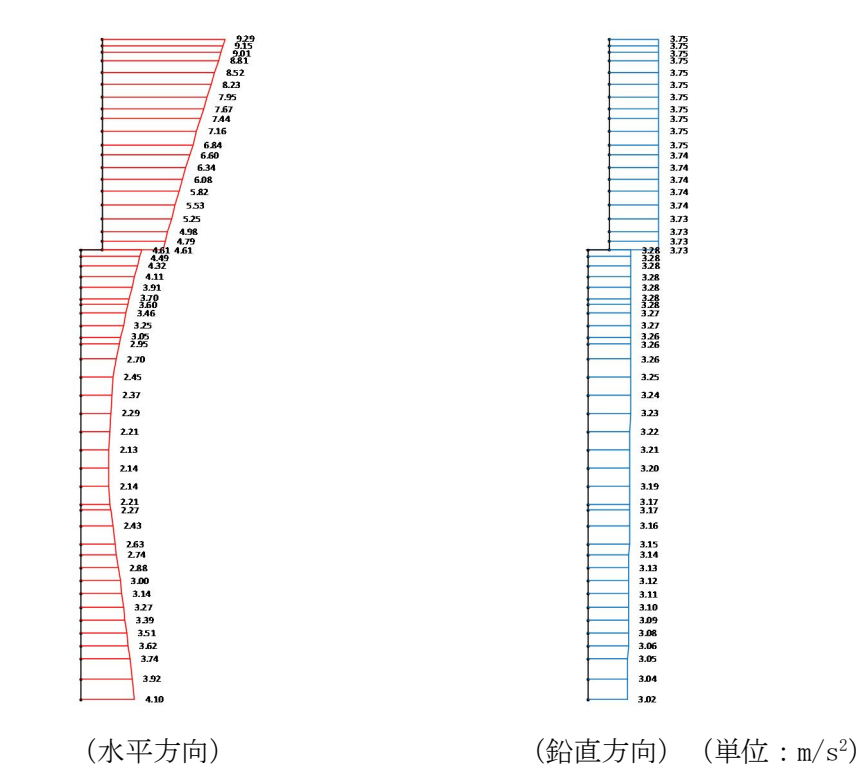
第 4-3 図(14) ③ 一③断面 最大加速度分布図(14/14)($S_s-D1[H-,V+]$) (検討ケース⑥:地盤物性のばらつきを考慮($+1\sigma$)して 非液状化の条件を仮定した解析ケース)

4.4 ④-④断面

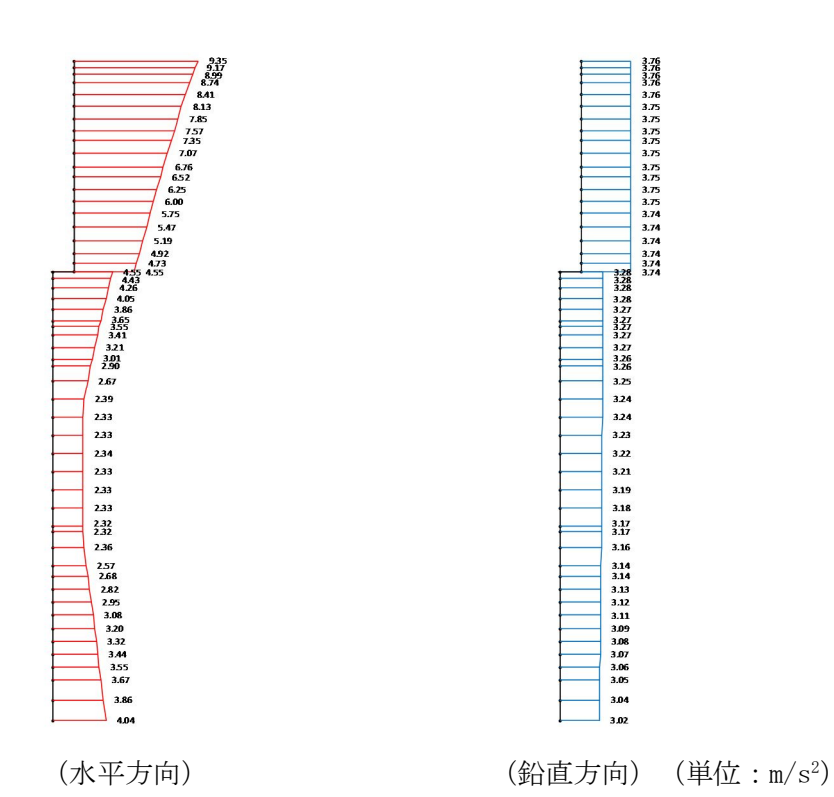
④-④断面の最大加速度分布図を第4-4図に示す。



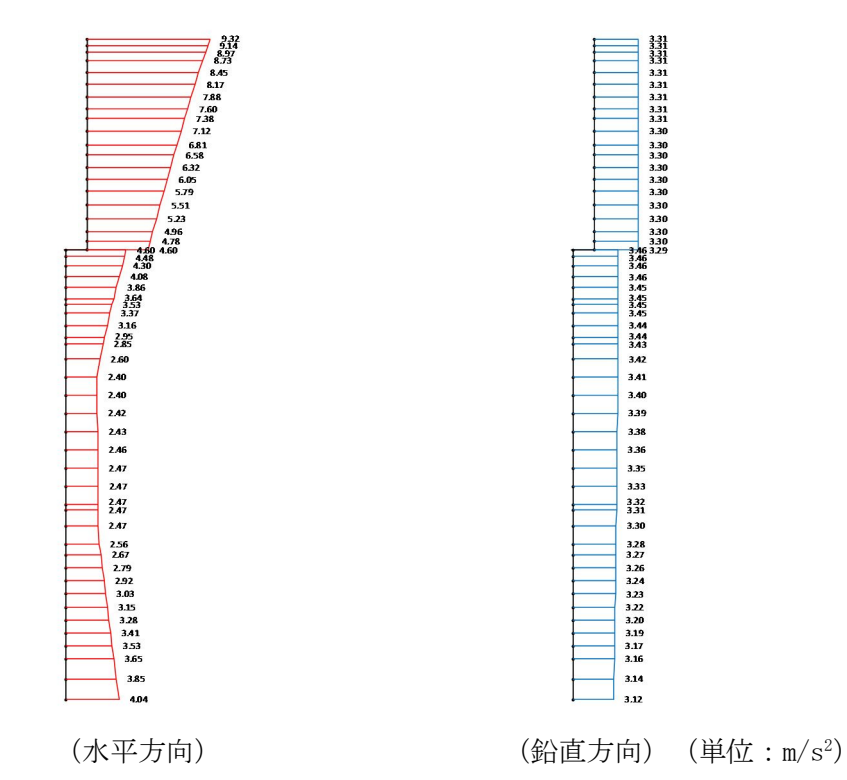
第 4-4 図 (1) ④-④断面 最大加速度分布図 (1/14) (S_s-D1 [H+, V+]) (検討ケース⑤:原地盤において非液状化の条件を仮定した解析ケース)



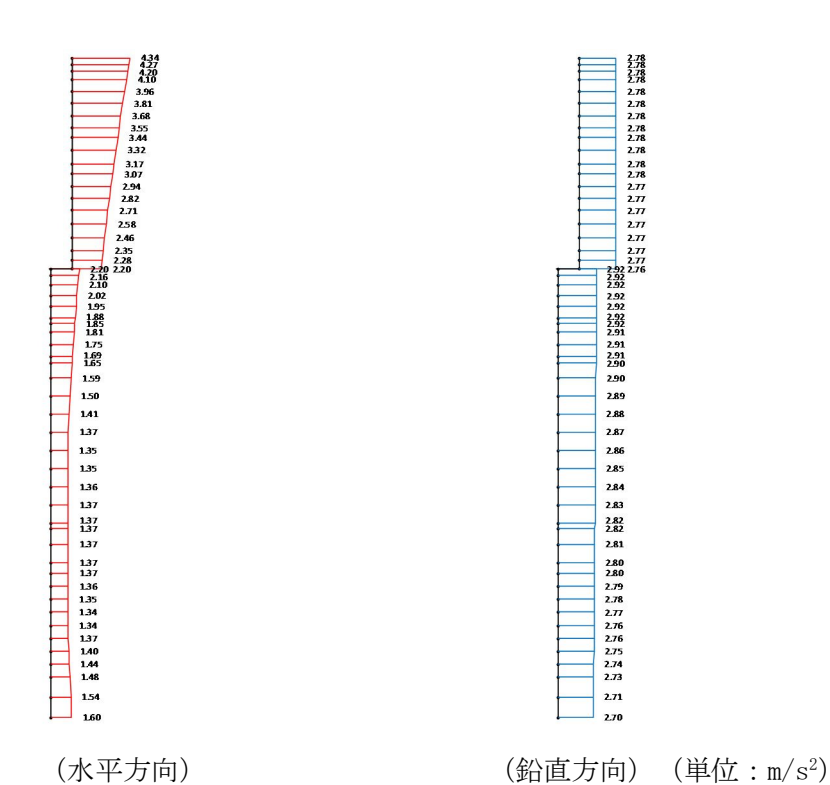
第 4-4 図 (2) ④-④断面 最大加速度分布図 (2/14) (S_s-D1 [H+, V-]) (検討ケース⑤: 原地盤において非液状化の条件を仮定した解析ケース)



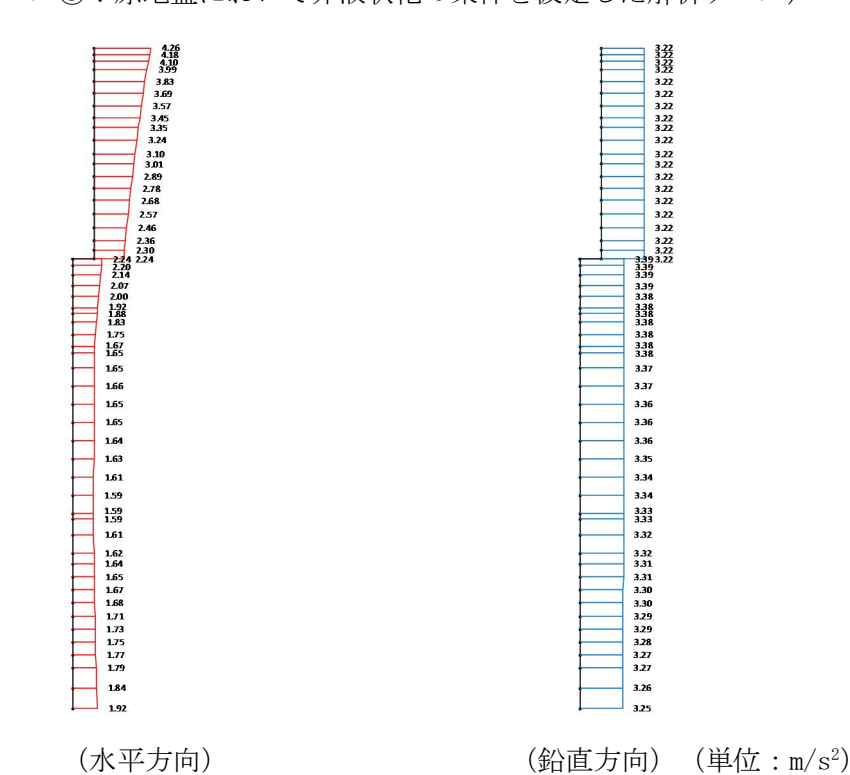
第 4-4 図 (3) ④-④断面 最大加速度分布図 (3/14) (S_s-D1 [H-, V+]) (検討ケース⑤: 原地盤において非液状化の条件を仮定した解析ケース)



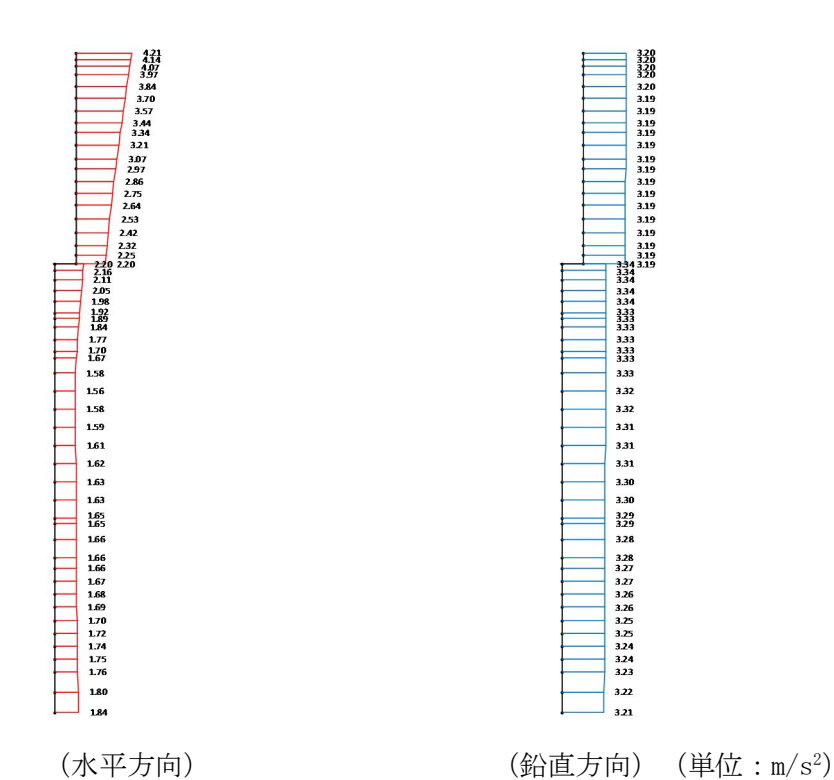
第 4-4 図 (4) ④-④断面 最大加速度分布図 (4/14) (S_s-D1 [H-, V-]) (検討ケース⑤: 原地盤において非液状化の条件を仮定した解析ケース)



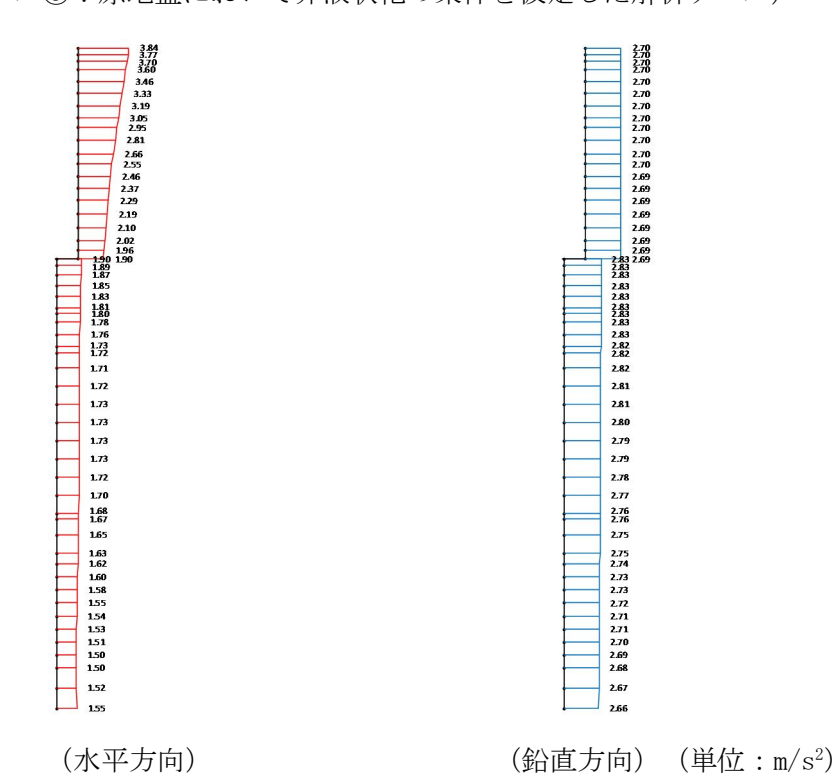
第 4-4 図 (5) ④-④断面 最大加速度分布図 (5/14) (S_s-11) (検討ケース⑤:原地盤において非液状化の条件を仮定した解析ケース)



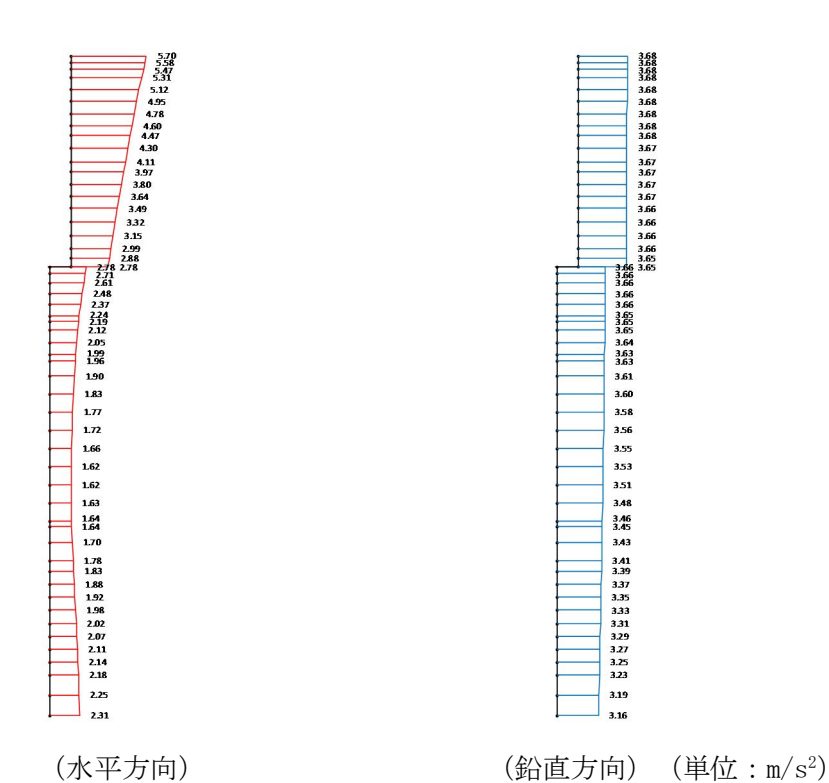
第 4-4 図 (6) ④-④断面 最大加速度分布図 (6/14) (S_s-12) (検討ケース⑤: 原地盤において非液状化の条件を仮定した解析ケース)



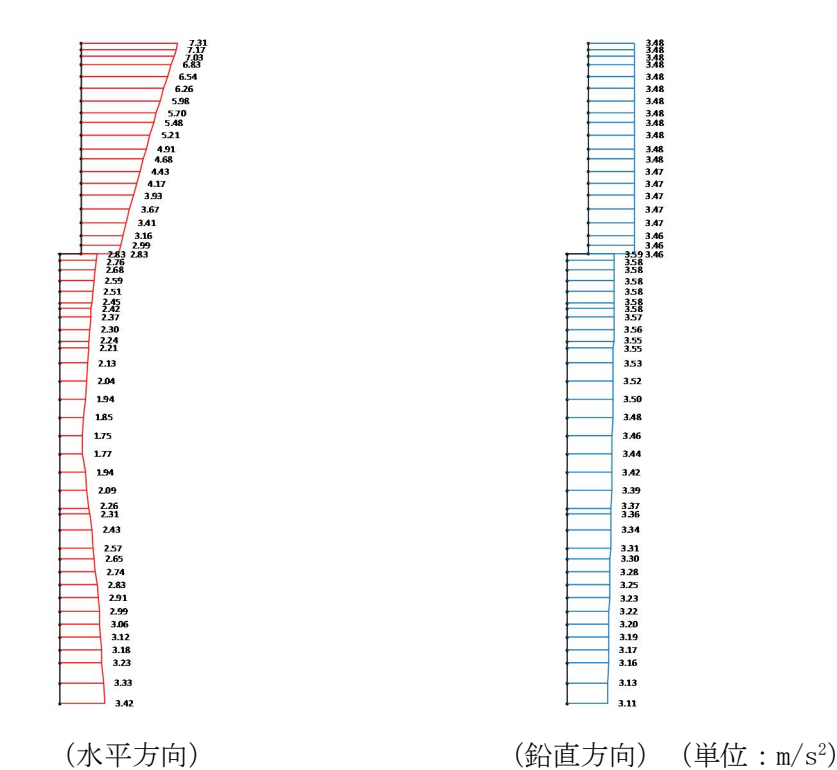
第 4-4 図 (7) ④ - ④断面 最大加速度分布図 (7/14) (S_s-13) (検討ケース⑤:原地盤において非液状化の条件を仮定した解析ケース)



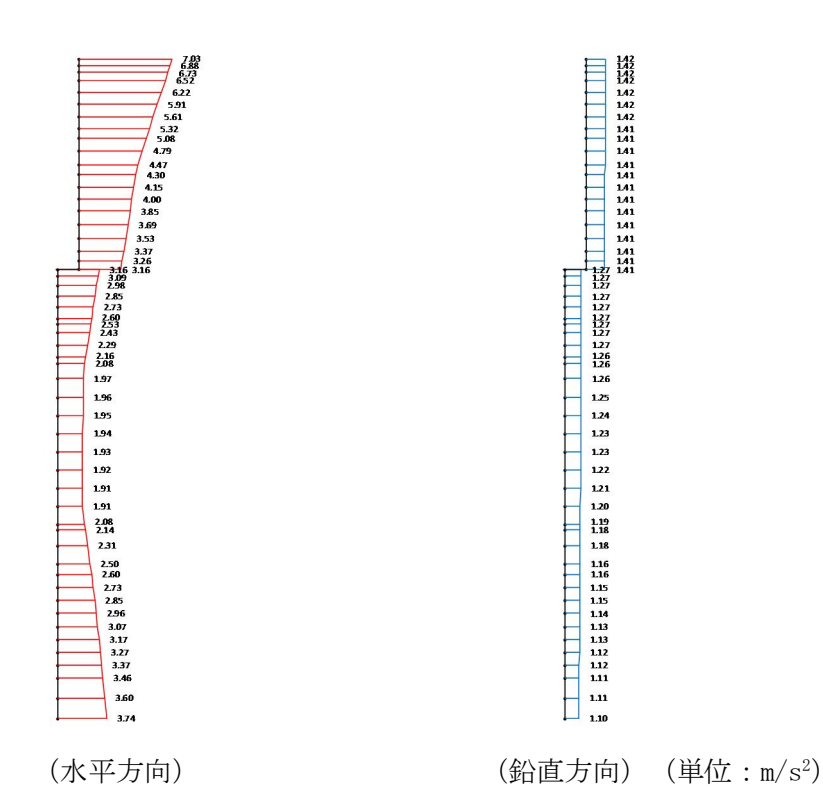
第 4-4 図 (8) ④-④断面 最大加速度分布図 (8/14) (S_s-14) (検討ケース⑤:原地盤において非液状化の条件を仮定した解析ケース)



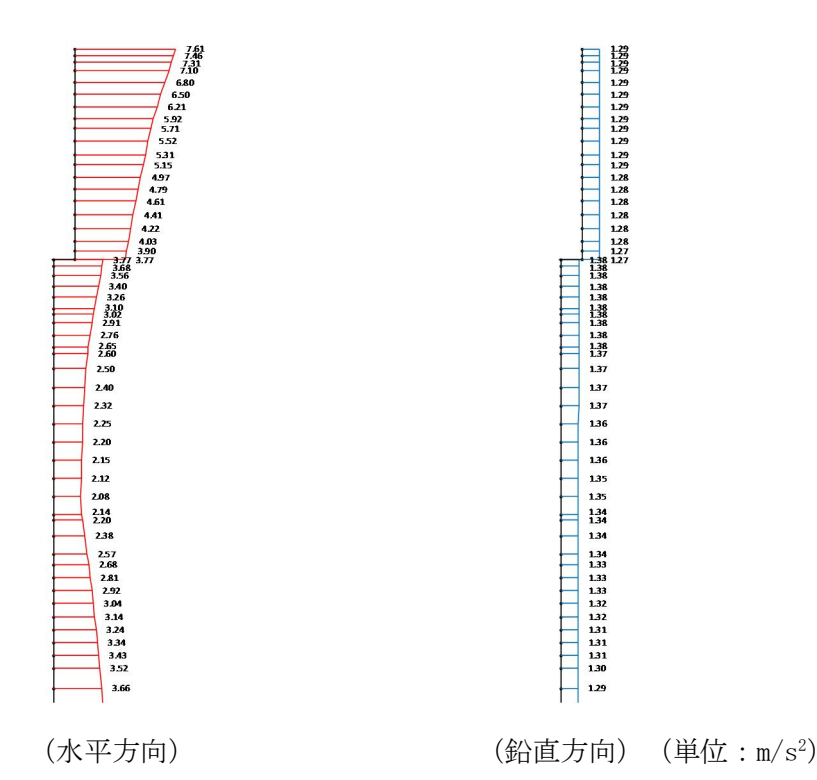
第 4-4 図 (9) ④-④断面 最大加速度分布図 (9/14) (S_s-21) (検討ケース⑤:原地盤において非液状化の条件を仮定した解析ケース)



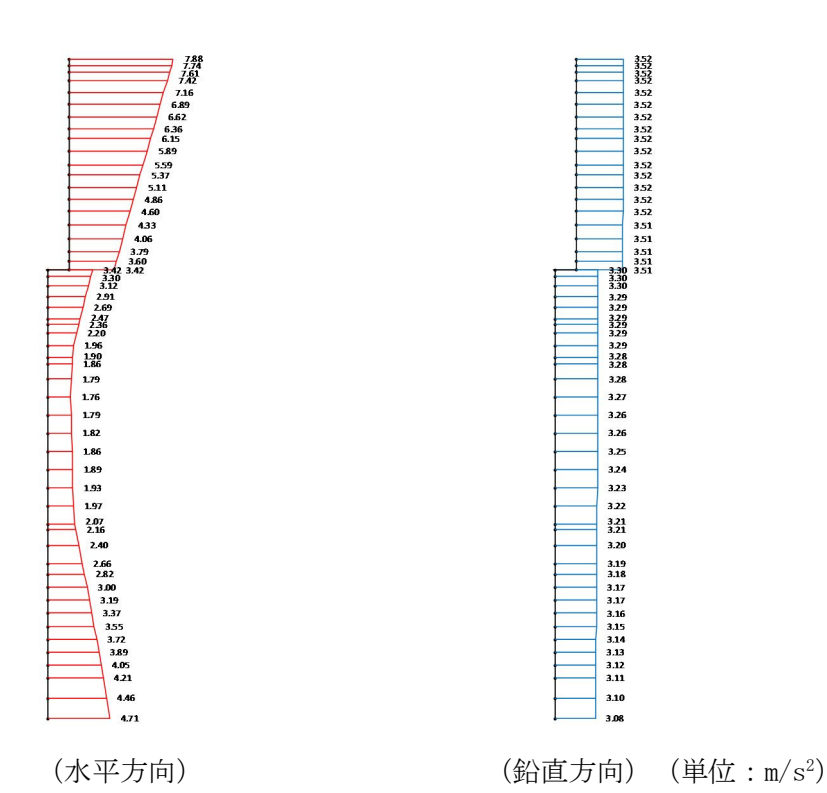
第 4-4 図 (10) ④ - ④断面 最大加速度分布図 (10/14) (S_s - 2 2) (検討ケース⑤:原地盤において非液状化の条件を仮定した解析ケース)



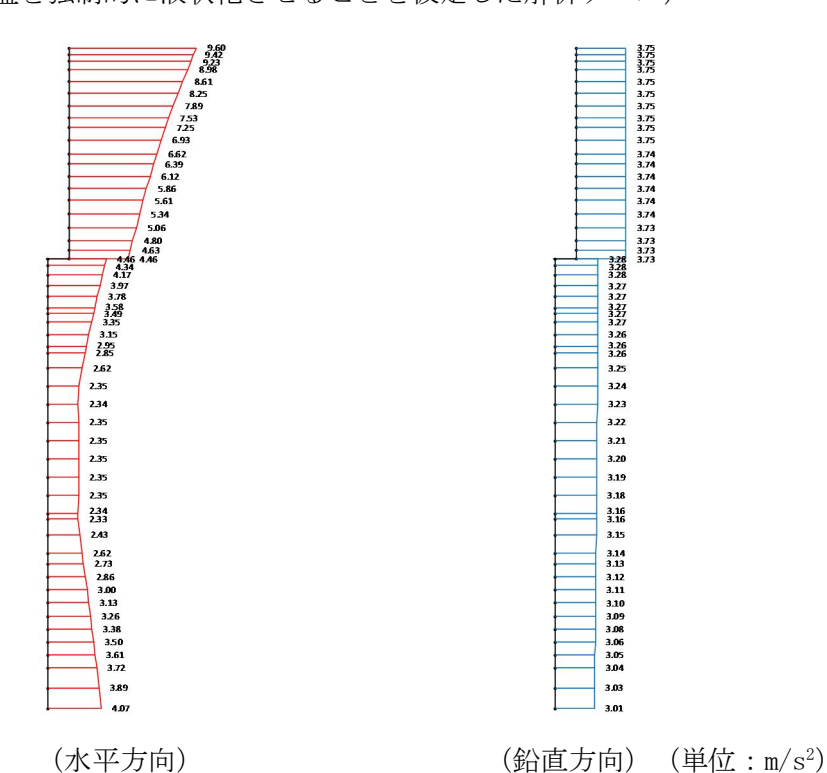
第 4-4 図 (11) ④ - ④断面 最大加速度分布図 (11/14) (S_s - 3 1 [H+, V+]) (検討ケース⑤:原地盤において非液状化の条件を仮定した解析ケース)



第 4-4 図 (12) ④ - ④ 断面 最大加速度分布図 (12/14) (S_s - 3 1 [H-, V+]) (検討ケース⑤:原地盤において非液状化の条件を仮定した解析ケース)



第 4-4 図 (13) ④-④断面 最大加速度分布図 (13/14) (S_s-D1 [H-, V+]) (検討ケース④:敷地に存在しない豊浦標準砂の液状化強度特性により 地盤を強制的に液状化させることを仮定した解析ケース)



第 4-4 図(14) ④ 一④断面 最大加速度分布図(14/14)($S_s - D1[H-, V+]$) (検討ケース⑥:地盤物性のばらつきを考慮($+1\sigma$)して 非液状化の条件を仮定した解析ケース)

V-2-2-38-2 防潮堤(鉄筋コンクリート防潮壁(放水路エリア))の 地震応答計算書

目 次

1.	概要	투
2.	基本	5分針・・・・・・・・・・・・・・・・・・・・・・・・・・・・・・・・・・・・
	2. 1	位置
	2.2	構造概要・・・・・・・・・・・・・・・・・・・・・・・・・・・・・・・・・・・・
	2.3	解析方針・・・・・・・・・・・・・・・・・・・・・・・・・・・・・・・・・・・・
	2.4	適用基準
3.	解析	f方法····································
	3. 1	評価対象断面・・・・・・・・・・・・・・・・・・・・・・・・・・・・・・・・・・・・
	3. 2	解析方法
	3. 3	荷重及び荷重の組合せ・・・・・・・・・・・・・・・・・・・・・・・・・・・・・・・・・・・・
	3. 4	入力地震動・・・・・・・・・・・・・・・・・17
		解析モデル及び諸元・・・・・・・・・・・・・・・・・・・・・・ 50
4.	解析	行結果・・・・・・・・・・・・・・・・・・・・・・・・・・・・・・・・・ 55
	4. 1	防潮壁横断方向(①-①断面)の解析結果・・・・・・・・・・・55
	4. 2	防潮壁縦断方向(②-②断面)の解析結果・・・・・・・・・・・・89
	4.3	防潮壁縦断方向(③-3断面)の解析結果・・・・・・・・・・・・・・・・・・・・・・・・・・・・・・・・・・・・

1. 概要

本資料は、添付書類「V-2-1-6 地震応答解析の基本方針」に基づき実施する防潮堤(鉄筋コンクリート防潮壁(放水路エリア))の地震応答解析について説明するものである。

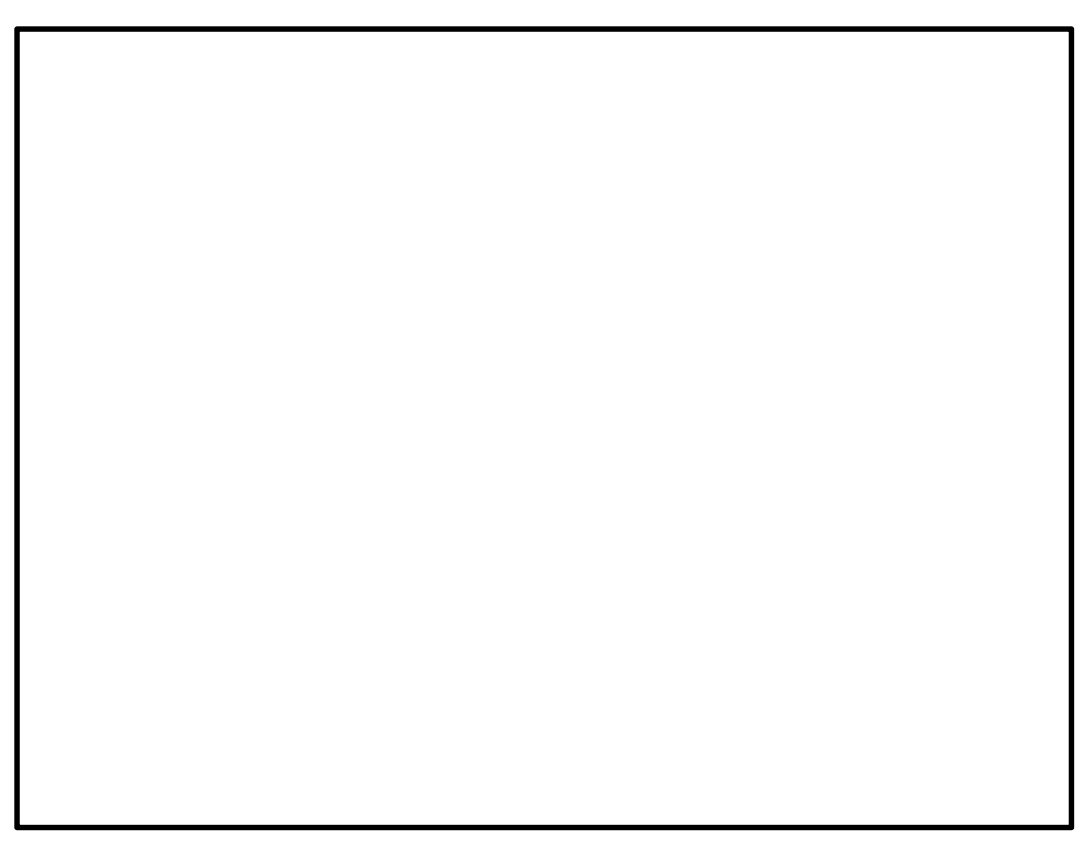
本地震応答解析は、機器・配管系が耐震性に関する技術基準へ適合することを確認するために 用いる応答値を抽出するものである。

また、鉄筋コンクリート防潮壁(放水路エリア)が耐震性に関する技術基準へ適合することを確認するために用いる応答値を抽出するものである。その際、耐震評価に用いる応答値はこの地震応答解析による断面力、地盤反力及び基礎地盤に生じる接地圧とする。

2. 基本方針

2.1 位置

鉄筋コンクリート防潮壁(放水路エリア)の位置図を第2-1図に示す。

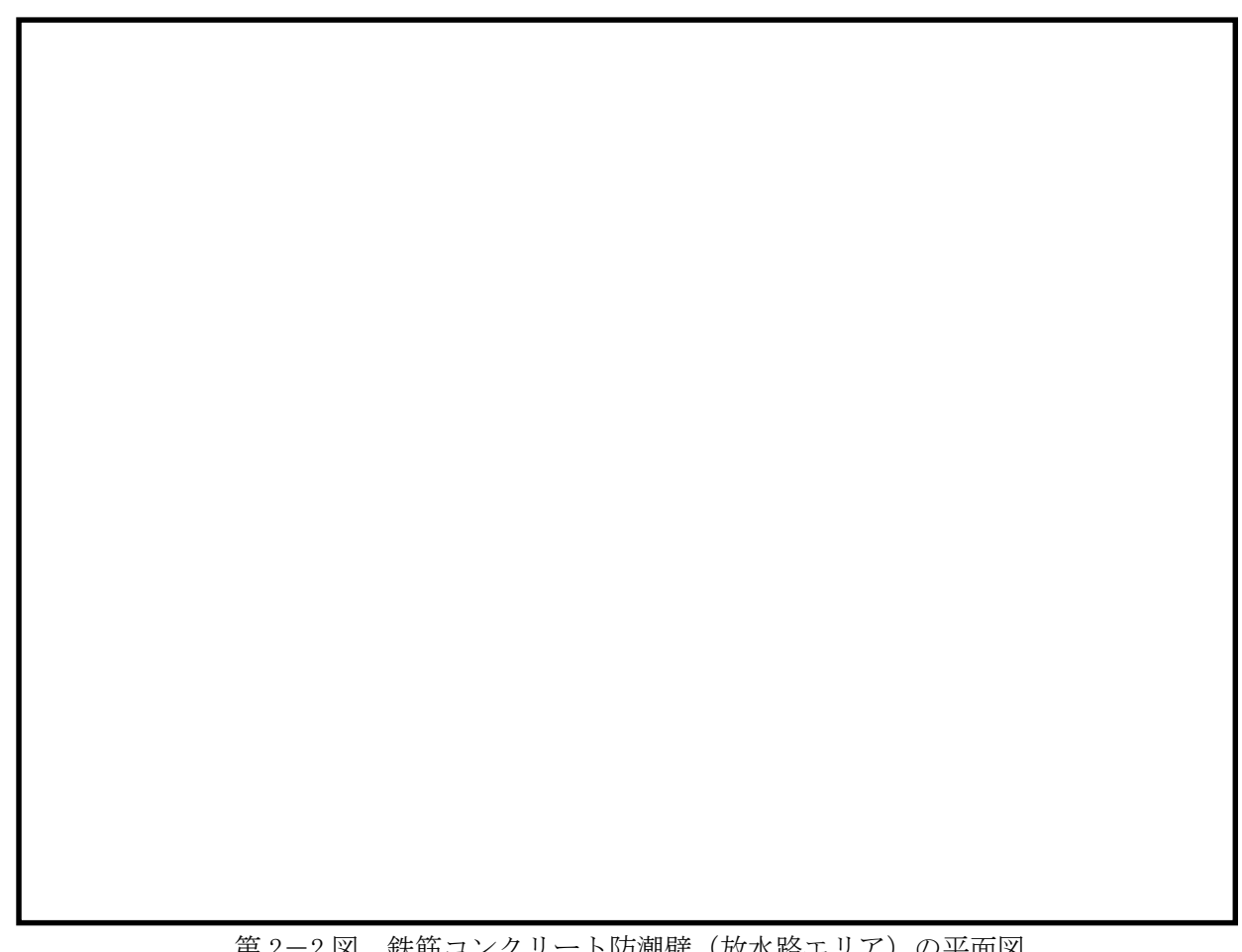


第2-1図 鉄筋コンクリート防潮壁(放水路エリア)の位置図(全体平面図)

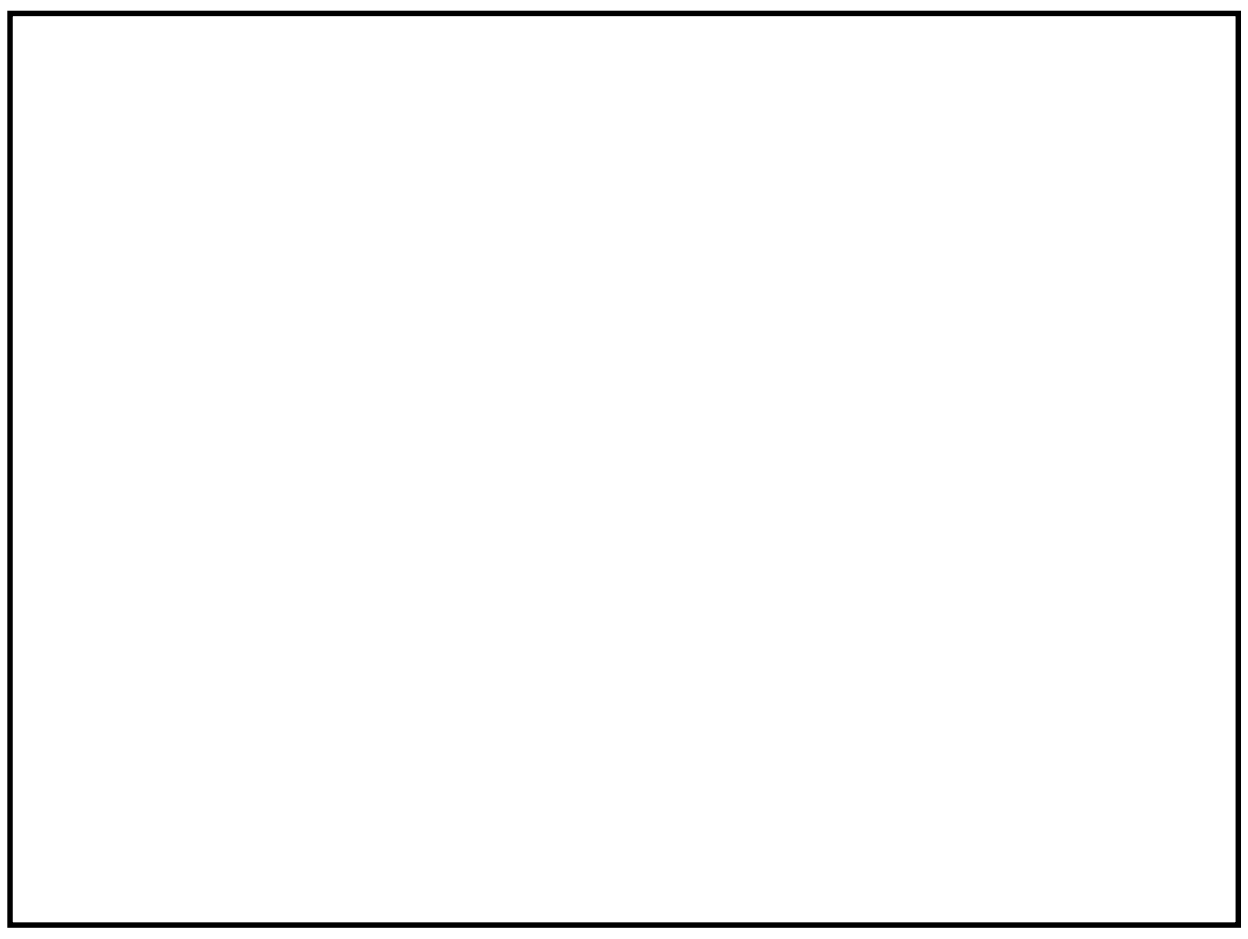
2.2 構造概要

鉄筋コンクリート防潮壁(放水路エリア)は、鉄筋コンクリート製の放水路及び地中連続壁 基礎の上に鉄筋コンクリート製の防潮壁を構築するものである。防潮壁、放水路及び地中連続 壁基礎はすべて鉄筋コンクリートで一体化した構造とし、地中連続壁基礎を介して十分な支持 性能を有する岩盤に設置する。防潮壁直下に構築する放水路はカルバート構造であり、敷地内 への津波の浸水を防止するための放水路ゲートを設置する。また、隣接する鋼管杭鉄筋コンク リート防潮壁との境界には、有意な漏えいを生じさせないために、変位追従性を有する止水ジ ョイント部材を設置する。

鉄筋コンクリート防潮壁(放水路エリア)の平面図を第2-2図に、断面図を第2-3図に示 す。また、止水ジョイント部材の設置位置図を第2-4図に、概念図を第2-5図に示す。

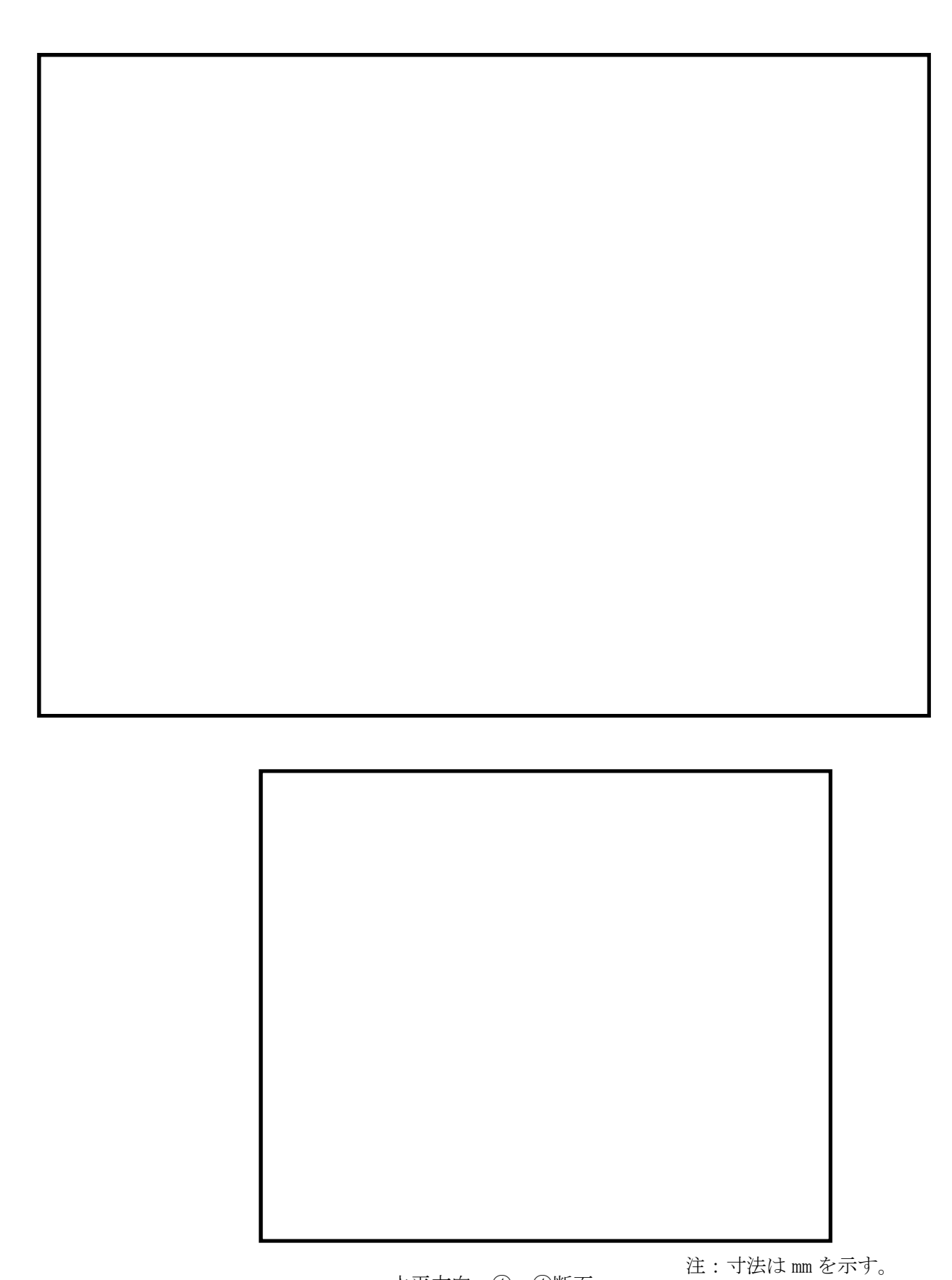


第2-2図 鉄筋コンクリート防潮壁(放水路エリア)の平面図



注:寸法はmmを示す。

第2-3図(1) 鉄筋コンクリート防潮壁(放水路エリア)の断面図



水平方向: ④—④断面

第2-3図(2) 鉄筋コンクリート防潮壁(放水路エリア)の断面図



第2-4図 止水ジョイント部材の設置位置図



第2-5図 止水ジョイント部材の概念図

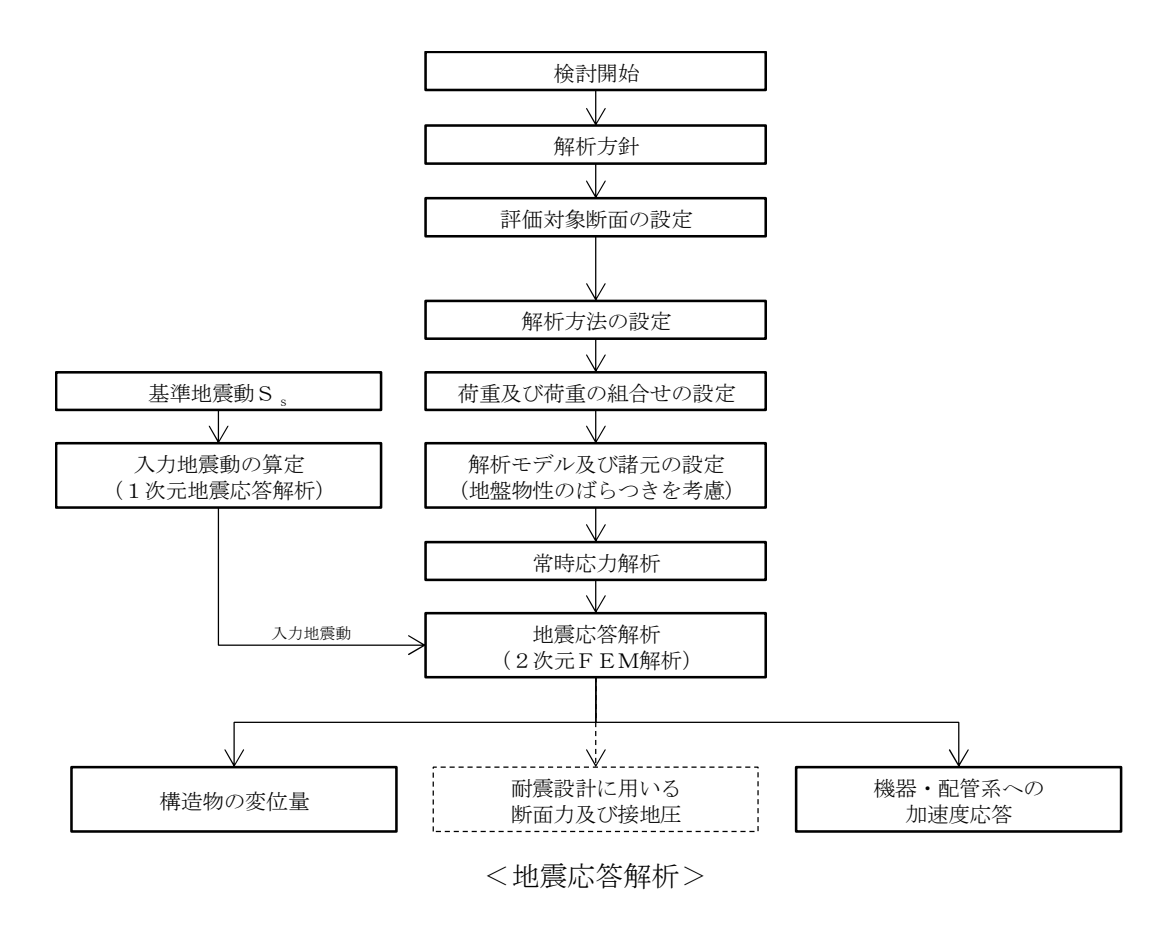
2.3 解析方針

鉄筋コンクリート防潮壁(放水路エリア)は、添付書類「V-2-1-6 地震応答解析の基本方針」に基づき、基準地震動 S_s に対して解析を実施する。

第2-6 図に鉄筋コンクリート防潮壁(放水路エリア)の地震応答解析フローを示す。 地震応答解析は、「2. 基本方針」に基づき、「3.1 評価対象断面」にて設定する断面において、「3.2 解析方法」に示す水平地震動と鉛直地震動の同時加振による時刻歴非線形解析を行う。

時刻歴非線形解析は、「3.3 荷重及び荷重の組合せ」及び「3.5 解析モデル及び諸元」に示す条件を基に、「3.4 入力地震動」により設定する入力地震動を用いて実施する。

地震応答解析による加速度応答は、機器・配管系の設計用床応答曲線の作成に用い、断面力 及び接地圧は、鉄筋コンクリート防潮壁(放水路エリア)の耐震評価に用いる。



第2-6図 鉄筋コンクリート防潮壁(放水路エリア)の地震応答解析フロー

2.4 適用基準

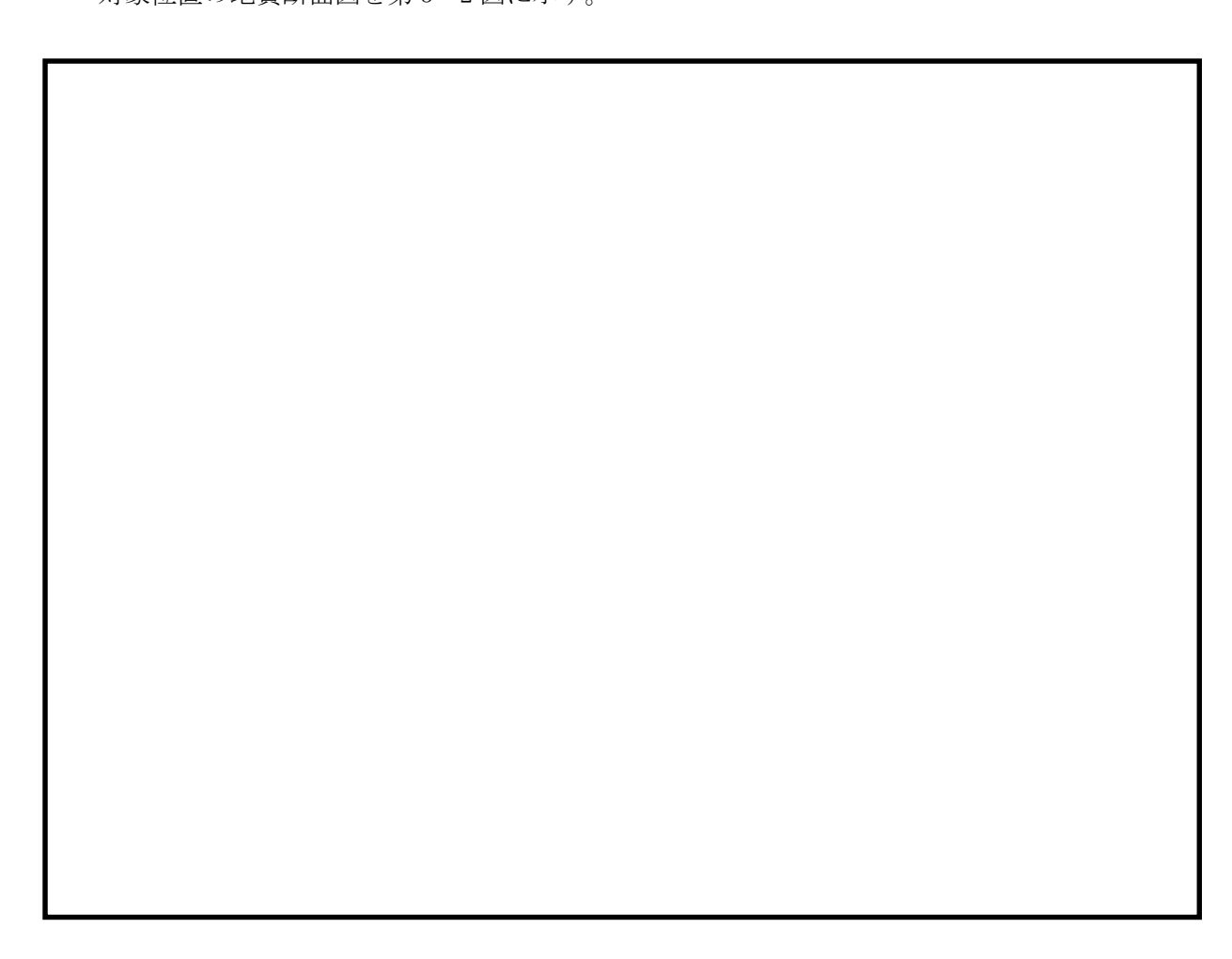
適用する規格, 基準等を以下に示す。

- ・ コンクリート標準示方書 [構造性能照査編] ((社)土木学会,2002年制定)
- · 道路橋示方書(I共通編·IV下部構造編)·同解説((社)日本道路協会,平成24年3月)
- ・ 鉄筋コンクリート構造計算規準・同解説―許容応力度設計法― (日本建築学会, 1999 年)
- · 原子力発電所耐震設計技術指針 JEAG4601-1987((社)日本電気協会)
- · 原子力発電所耐震設計技術規定 JEAC4601-1991追補版((社)日本電気協会)
- · 建築基準法 (昭和25年5月24日法律第201号)
- ・ 建築基準法施行令(昭和25年11月16日政令第338号)

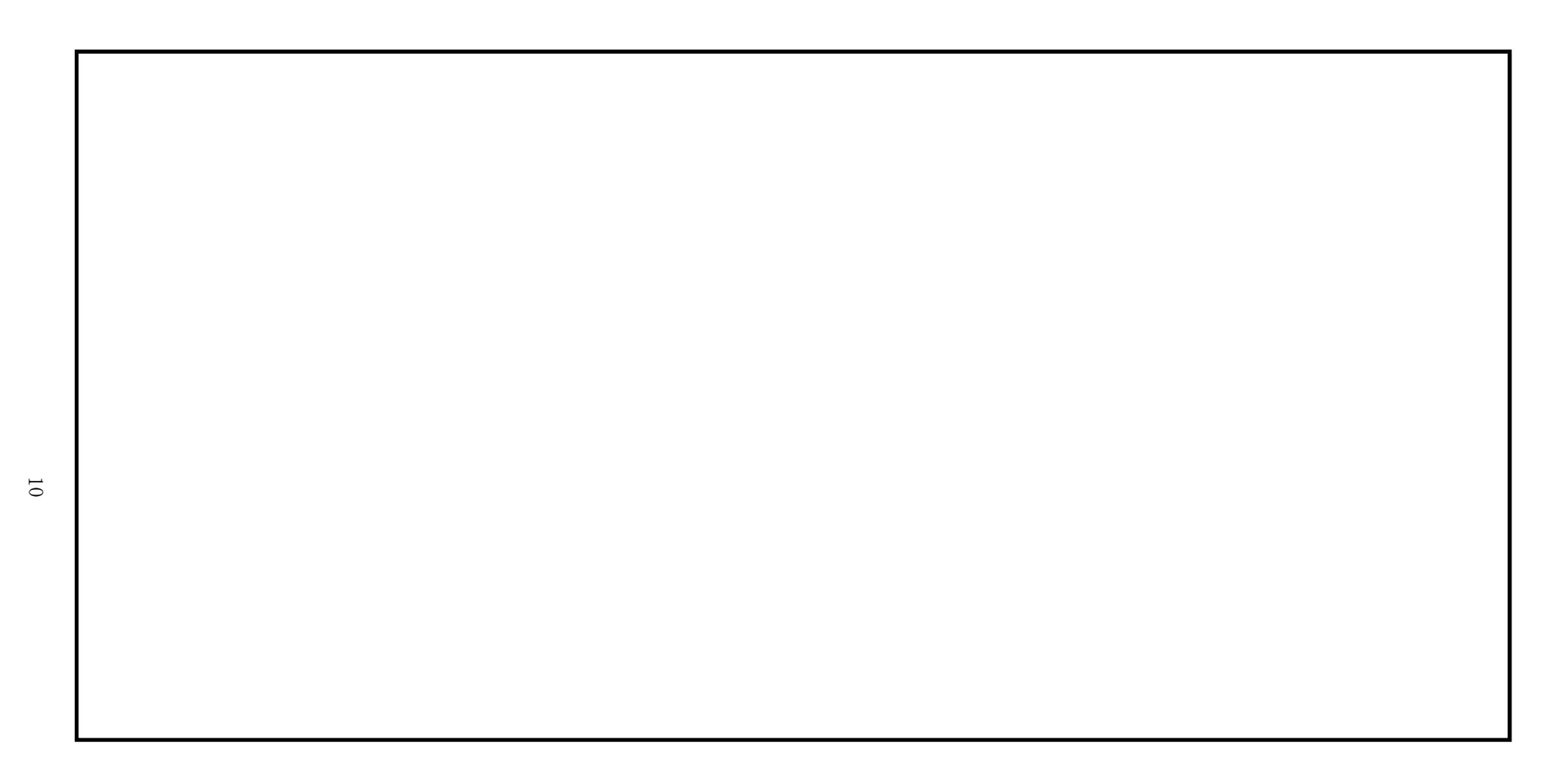
3. 解析方法

3.1 評価対象断面

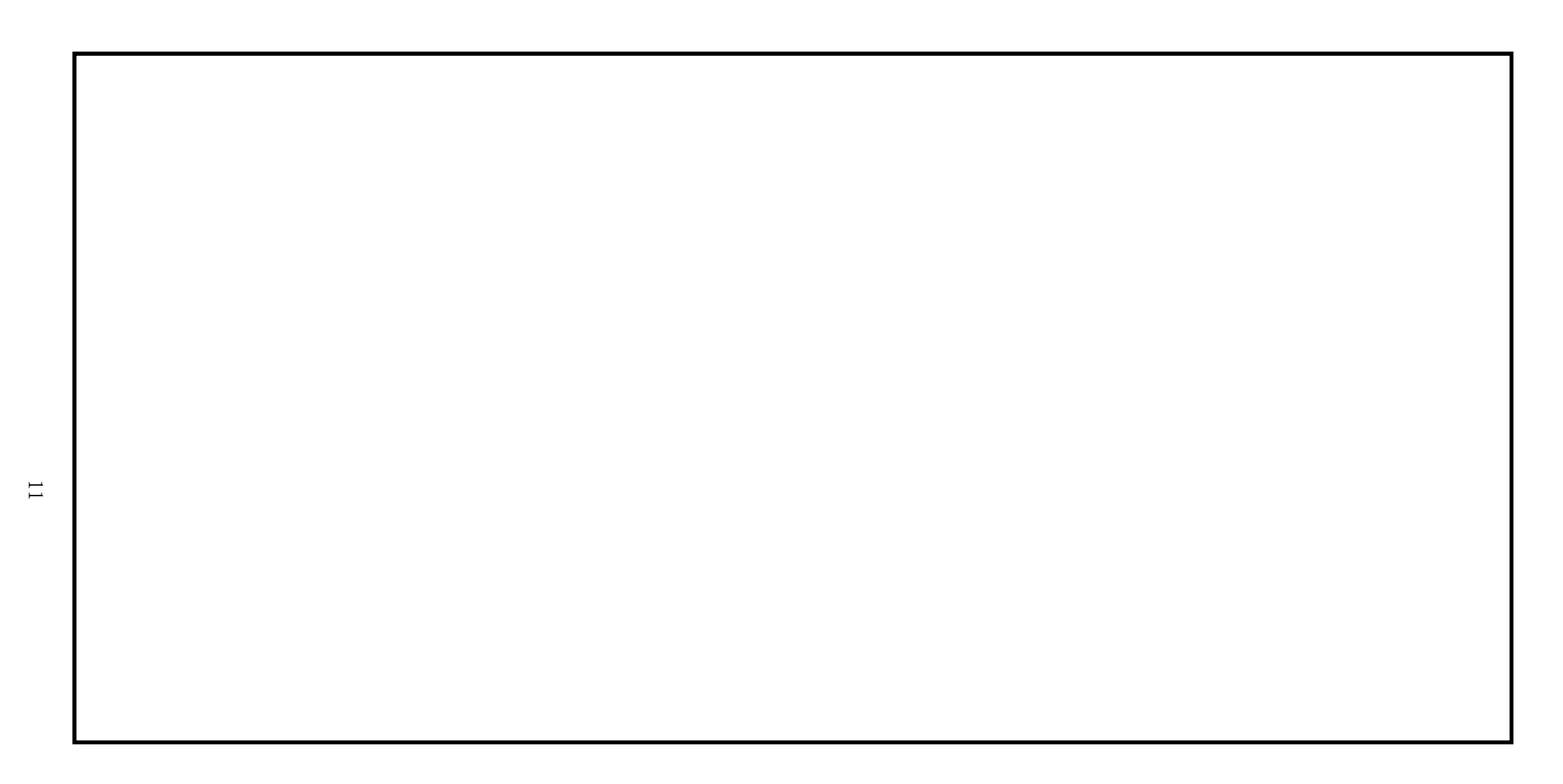
評価対象断面は、鉄筋コンクリート防潮壁(放水路エリア)の構造形状及び周辺地質を踏まえて、第 3-1 図に示す①-①断面、②-②断面及び③-③断面を評価対象断面とする。評価対象位置の地質断面図を第 3-2 図に示す。



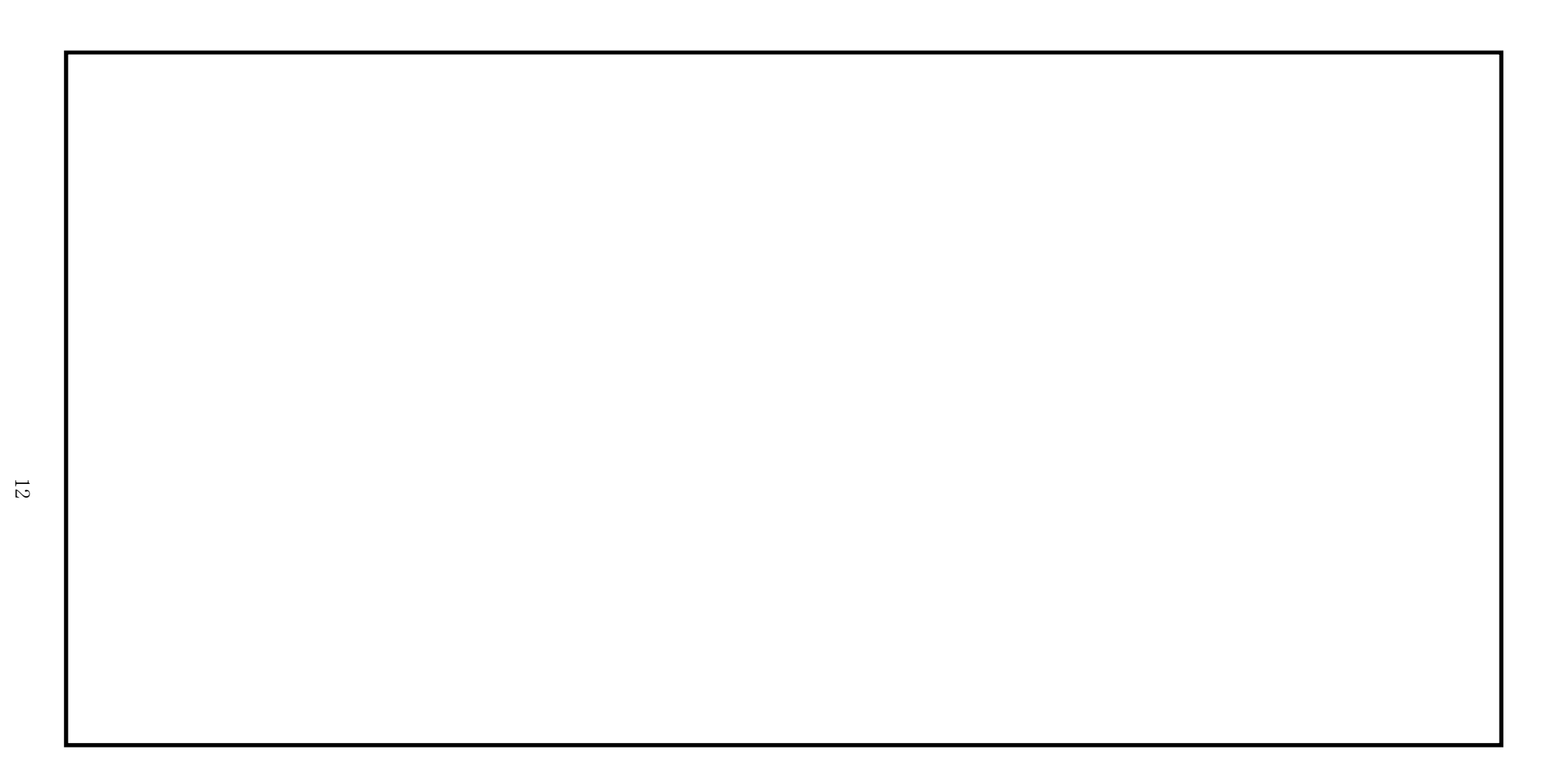
第3-1図 鉄筋コンクリート防潮壁(放水路エリア)の評価対象断面位置図



第3-2図(1) 鉄筋コンクリート防潮壁(放水路エリア)の評価対象断面図(防潮壁横断方向:①-①断面)



第3-2図(2) 鉄筋コンクリート防潮壁(放水路エリア)の評価対象断面図(防潮壁縦断方向:②-②断面(防潮壁部))



第3-2図(3) 鉄筋コンクリート防潮壁(放水路エリア)の評価対象断面図(防潮壁縦断方向:③-③断面(ゲート部))

3.2 解析方法

地震応答解析は、添付書類「V-2-1-6 地震応答解析の基本方針」のうち、「2.3 屋外重要土木構造物」に示す解析方法及び解析モデルを踏まえて実施する。

地震応答解析は、地盤と構造物の相互作用を考慮できる 2 次元有限要素法解析を用いて、基準地震動に基づき設定した水平地震動と鉛直地震動の同時加振による逐次時間積分の時刻歴応答解析にて行う。構造部材については、線形はり要素及び平面要素を用いる。また、地盤については、有効応力の変化に応じた地震時挙動を適切に考慮できるようにモデル化する。地震応答解析については、解析コード「FLIP Ver. $7.3.0_2$ 」を使用する。なお、解析コードの検証及び妥当性確認の概要については、添付書類「V-5-10 計算機プログラム(解析コード)の概要・FLIP」に示す。

3.2.1 構造部材

構造部材は、線形はり要素及び平面要素によりモデル化する。

3.2.2 地盤

地盤の繰返しせん断応力~せん断ひずみ関係の骨格曲線の構成則を有効応力解析へ適用 する際は、地盤の繰返しせん断応力~せん断ひずみ関係の骨格曲線に関するせん断ひずみ 及び有効応力の変化に応じた特徴を適切に表現できるモデルを用いる必要がある。

一般に、地盤は荷重を与えることによりせん断ひずみを増加させていくと、地盤のせん 断応力は上限値に達し、それ以上はせん断応力が増加しなくなる特徴がある。また、地盤 のせん断応力の上限値は有効応力に応じて変化する特徴がある。

よって、耐震評価における有効応力解析では、地盤の繰返しせん断応力~せん断ひずみ関係の骨格曲線の構成則として、地盤の繰返しせん断応力~せん断ひずみ関係の骨格曲線に関するせん断ひずみ及び有効応力の変化に応じたこれら2つの特徴を表現できる双曲線モデル(H-Dモデル)を選定する。

3.2.3 減衰定数

固有値解析により求められる固有振動数及び初期減衰定数に基づく要素剛性比例型減衰 を考慮する。また、非線形特性をモデル化する地盤の履歴減衰を考慮する。

3.2.4 地震応答解析の検討ケース

(1) 耐震設計における検討ケース

耐震設計における検討ケースを第3-1表に示す。

すべての基準地震動 S。に対して実施する①の検討ケースにおいて、せん断力照査及び 曲げ軸力照査をはじめとしたすべての照査項目について、各照査値が最も厳しい(許容限 界に対する余裕が最も小さい)地震動を用い、②~⑥の中から追加検討ケースを実施する。

No I To municipality of the latest of the la									
検討ケース	① 原地盤に基づ く液状化強度 特性を用いた 解析ケース (基本ケース)	② 地盤物性のば らつきを考慮 (+1 σ)し た解析ケース	③ 地盤物性のば らつきを考慮 (-1 g)し た解析ケース	④ 地盤を強制的 に液状化させ ることを仮定 した解析ケー ス	⑤ 原地盤におい て非液状化の 条件を仮定し た解析ケース	⑥ 地盤物性のば らつきを考慮 (+1 σ)し て非液状化の 条件を仮定し た解析ケース			
液状化強度 特性 の設定	原地盤に基 づく液状化 強度特性 (標準偏差 を考慮)	原地盤に基 づく液状化 強度特性 (標準偏差 を考慮)	原地盤に基 づく液状化 強度特性 (標準偏差 を考慮)	敷地に存在 しない豊浦 標準砂に基 づく液状化 強度特性	液状化パラ メータを非 適用	液状化パラ メータを非 適用			

第3-1表 耐震設計における検討ケース

注記:構造物間の相対変位の算定を行う場合は、上記の実施ケースにおいて変位量が厳しいケースで行う。

(2) 機器・配管系に対する加速度応答抽出のための検討ケース

機器・配管系に対する加速度応答の抽出における検討ケースを第3-2表に示す。

機器・配管系に対する加速度応答抽出においては、すべての基準地震動S。に対して実施する⑤の検討ケース(原地盤において非液状化の条件を仮定した検討ケース)において上載される機器・配管系の固有周期帯で加速度応答が最も大きくなる地震動を用いて④及び⑥の追加検討ケースを実施する。

第3-2表 機器・配管系に対する加速度応答の抽出における検討ケース

検討ケース	④ 地盤を強制的に液状化させることを仮定した解析ケース	⑤ 原地盤において非液状化 の条件を仮定した解析ケ ース	⑥ 地盤物性のばらつきを考 慮(+1σ)して非液状 化の条件を仮定した解析 ケース
液状化強度特性 の設定	敷地に存在しない豊浦標 準砂に基づく液状化強度 特性	液状化パラメータを非適 用	液状化パラメータを非適 用

3.3 荷重及び荷重の組合せ

荷重及び荷重の組合せは、添付書類「V-2-1-9 機能維持の基本方針」に基づき設定する。

3.3.1 耐震評価上考慮する状態

鉄筋コンクリート防潮壁(放水路エリア)の地震応答解析において,地震以外に考慮する状態を以下に示す。

(1) 運転時の状態

発電用原子炉施設が運転状態にあり、通常の条件下におかれている状態。ただし、運転 時の異常な過渡変化時の影響を受けないことから考慮しない。

(2) 設計基準事故時の状態

設計基準事故時の影響を受けないことから考慮しない。

(3) 設計用自然条件

積雪荷重及び風荷重を考慮する。

(4) 重大事故等時の状態

重大事故等時の状態の影響を受けないことから考慮しない。

3.3.2 荷重

鉄筋コンクリート防潮壁(放水路エリア)の地震応答解析において、考慮する荷重を以下に示す。

(1) 固定荷重(G)

固定荷重として, 躯体自重を考慮する。

(2) 積載荷重 (P)

積載荷重として、放水路ゲート及び巻上機械の機器・配管荷重、並びに放水路内の静水 圧による荷重を考慮する。

(3) 地震荷重 (K_S)

基準地震動S。による荷重を考慮する。

(4) 積雪荷重 (Ps)

積雪荷重については、「建築基準法施行令第 86 条」及び「茨城県建築基準法施工細則第 16 条の 4」に従って設定する。積雪の厚さ 1 cm 当たりの荷重を 20 N/m²/cm として、積雪量は 30 cm としていることから積雪荷重は 600 N/m² であるが、地震時短期荷重として積雪荷重の 0.35 倍である 0.21 kN/m² を考慮する。

積雪荷重は構造物上面に付加質量として考慮する。

(5) 風荷重 (P_k)

風荷重として,風速30 m/sの風圧力を考慮する。

3.3.3 荷重の組合せ

荷重の組合せを第3-3表に示す。

第3-3表 荷重の組合せ

外力の状態	荷重の組合せ
地震時(S _s)	$G + P + K_S + P_s + P_k$

 G
 : 固定荷重

 P
 : 積載荷重

 K_S
 : 地震荷重

 P_S
 : 積雪荷重

 P_k
 : 風荷重

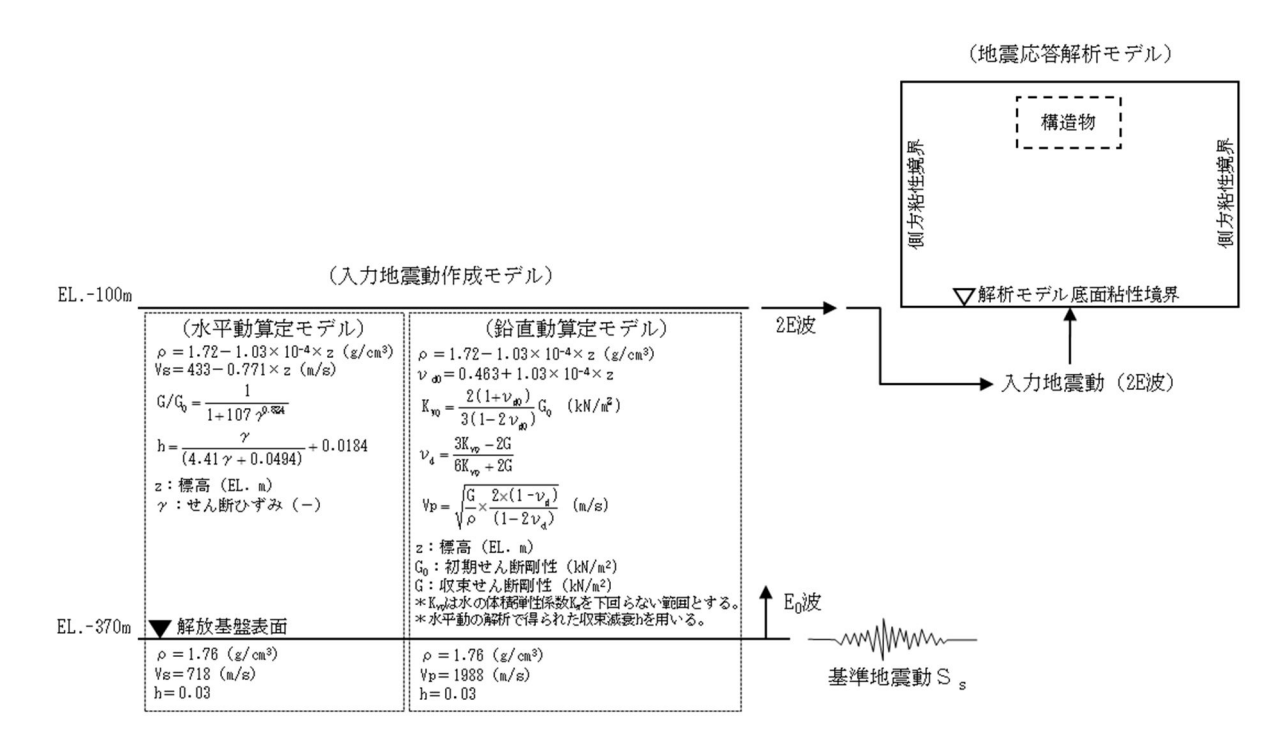
3.4 入力地震動

入力地震動は、添付書類「V-2-1-6 地震応答解析の基本方針」のうち、「2.3 屋外重要 土木構造物」に示す入力地震動の設定方針を踏まえて設定する。

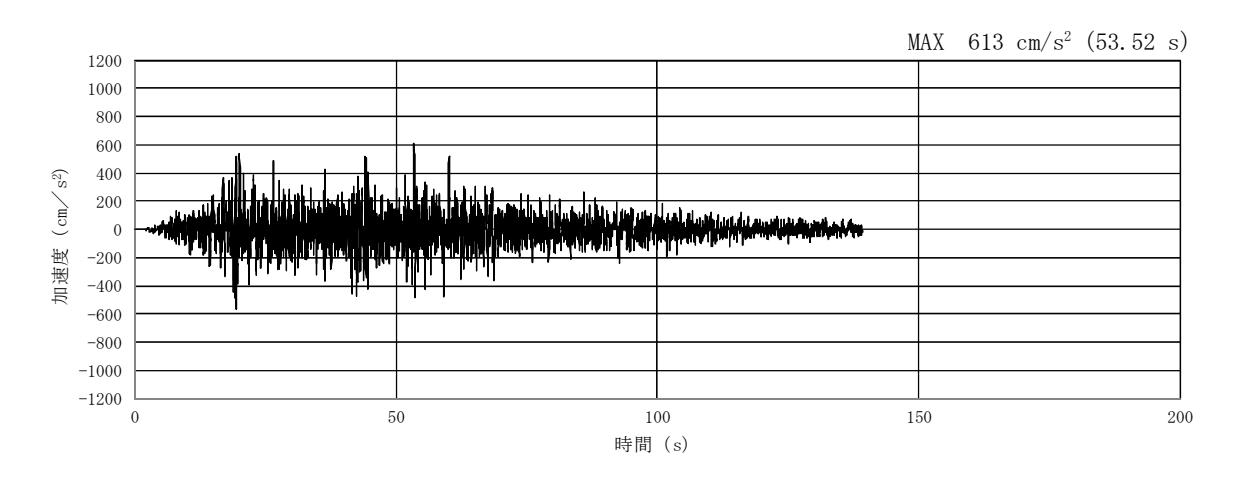
地震応答解析に用いる入力地震動は、解放基盤表面で定義される基準地震動 S _s を 1 次元波 動論により地震応答解析モデルの底面位置で評価したものを用いる。

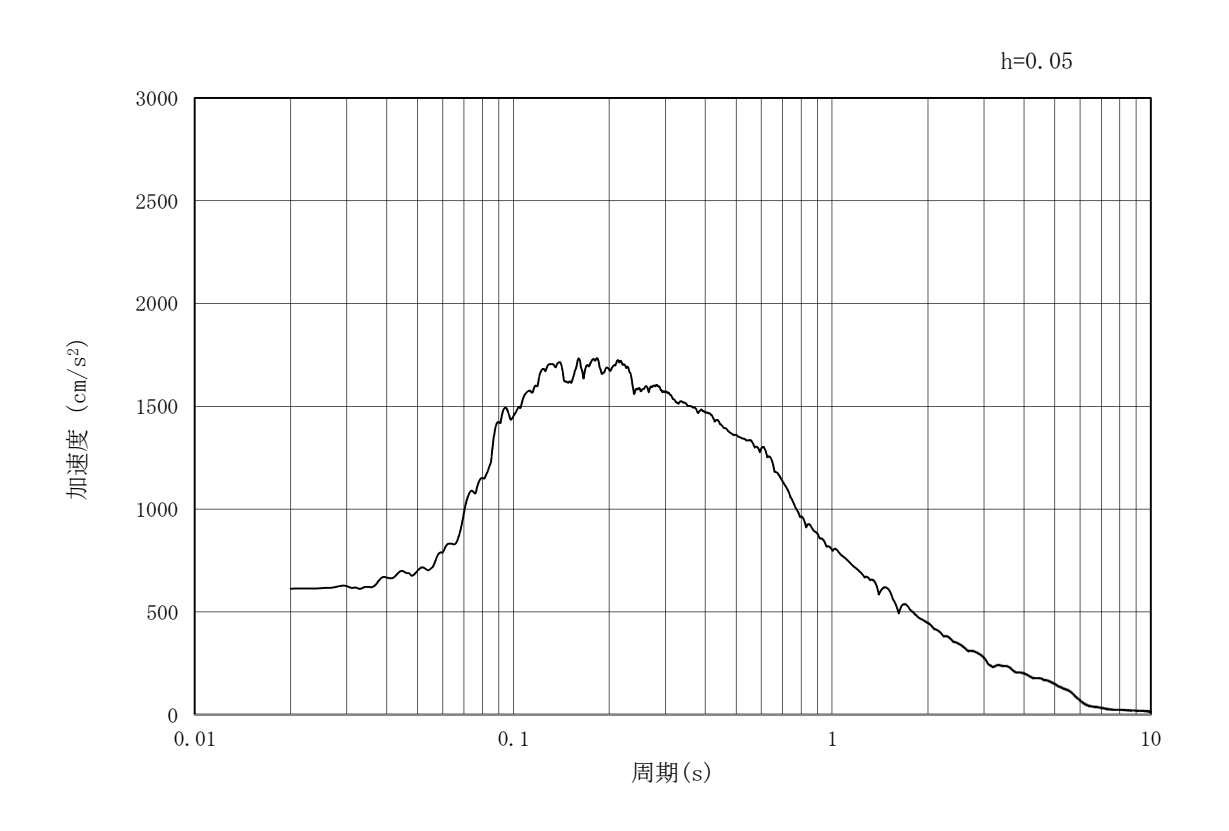
第3-3 図に入力地震動算定の概念図を,第3-4 図に入力地震動の加速度時刻歴波形及び加速度応答スペクトルを示す。入力地震動の算定には,解析コード「k-SHAKE Ver. 6.2.0」を使用する。

解析コードの検証及び妥当性確認の概要については、添付書類「V-5-25 計算機プログラム (解析コード) の概要・k-SHAKE」に示す。

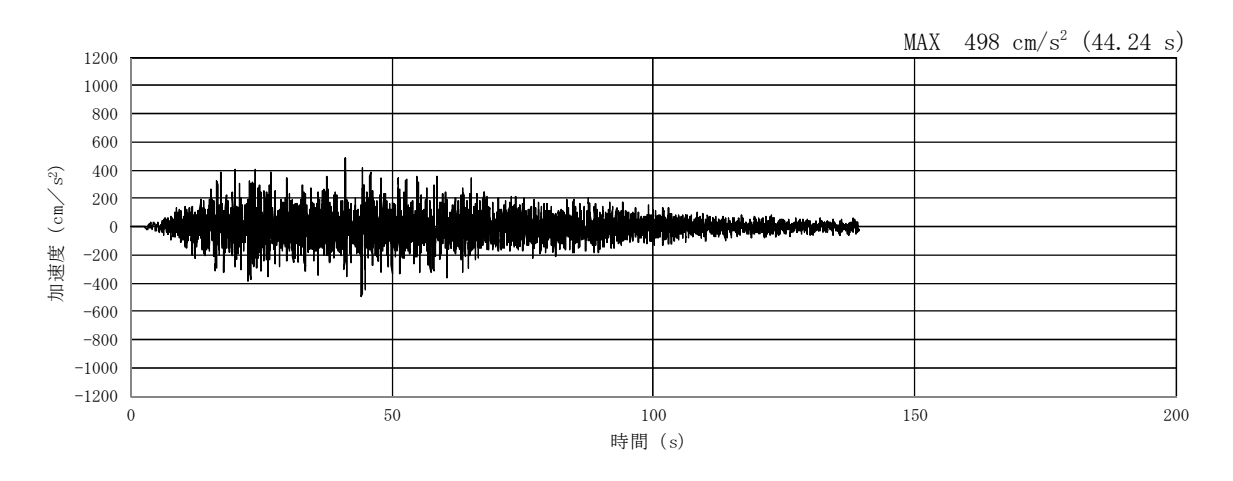


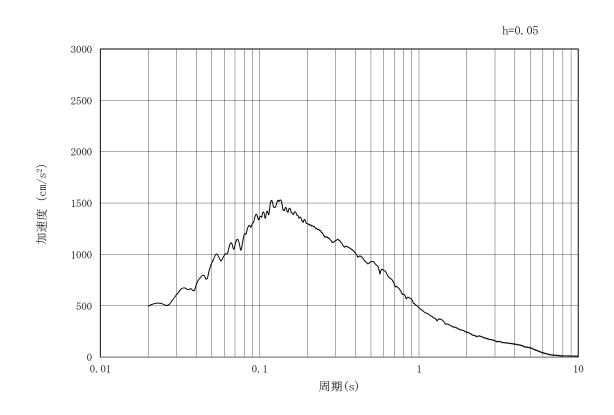
第3-3図 入力地震動算定の概念図





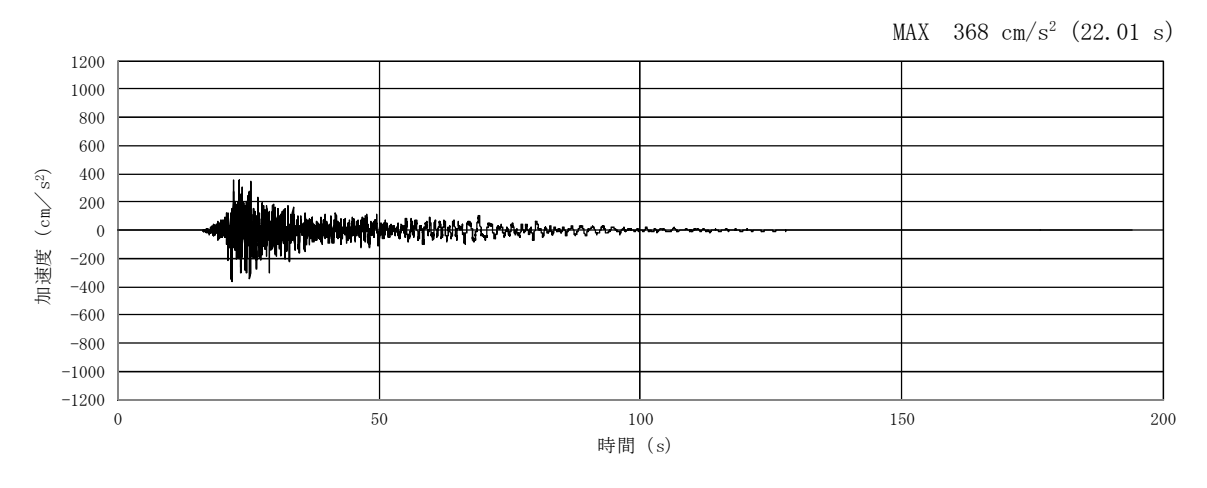
(b) 加速度応答スペクトル

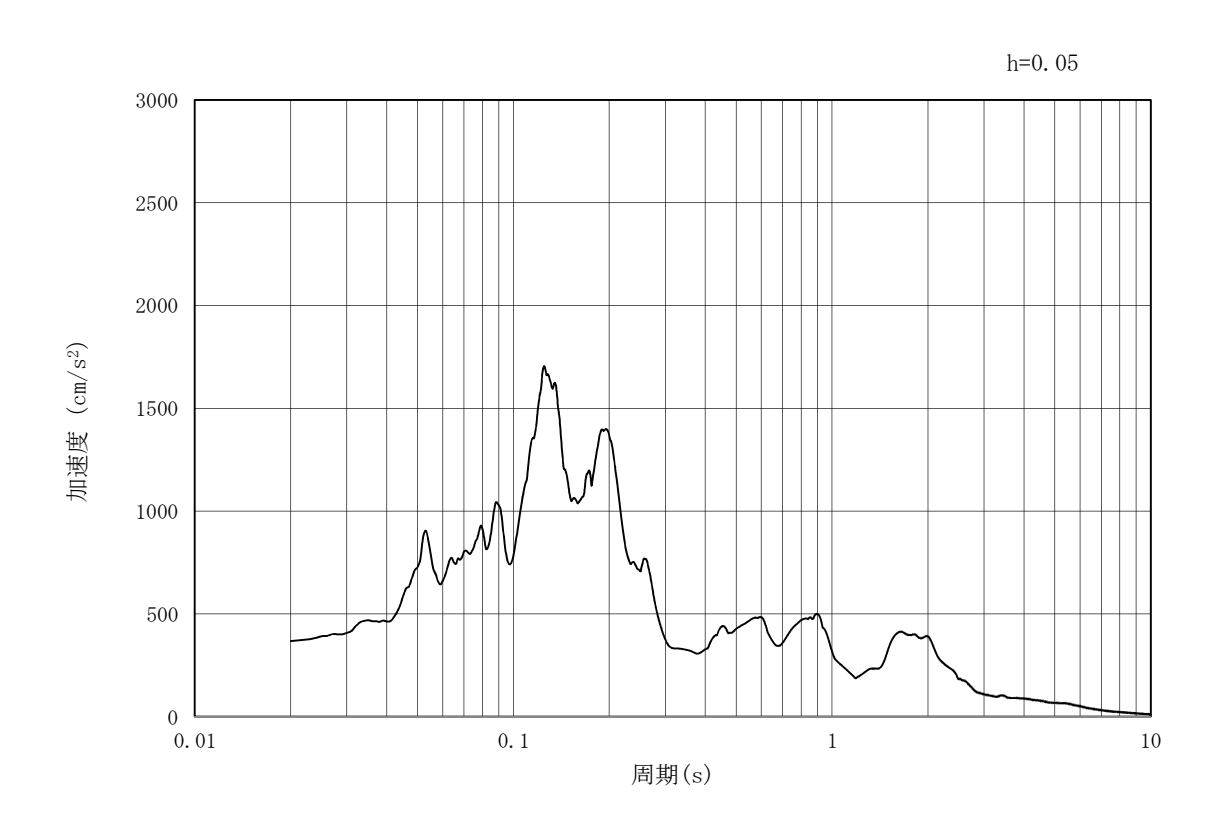




(b) 加速度応答スペクトル

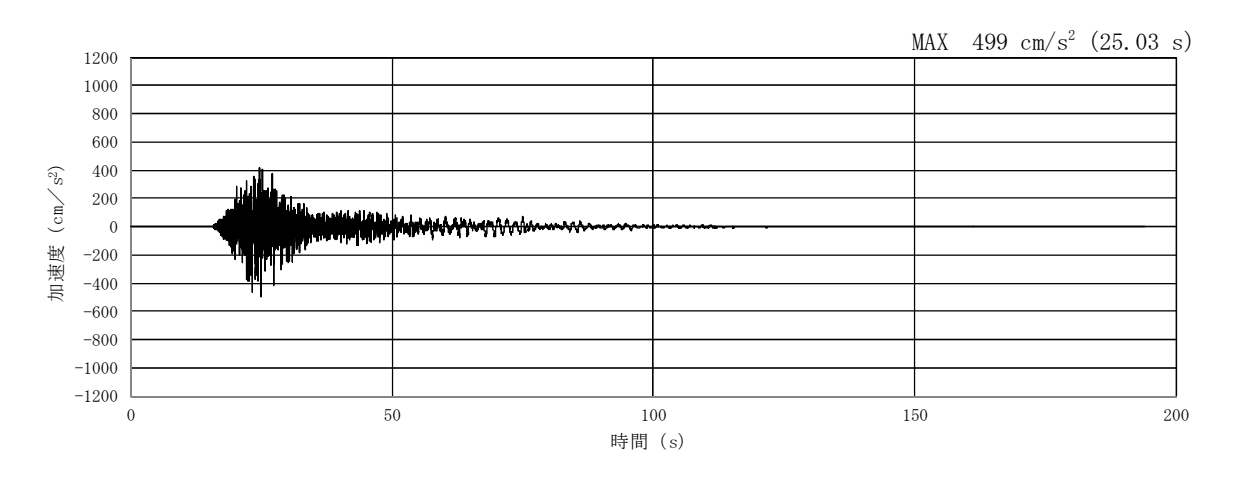
第 3-4 図(2) 防潮壁横断方向の入力地震動の加速度時刻歴波形及び加速度応答スペクトル (鉛直方向: S_s-D1)

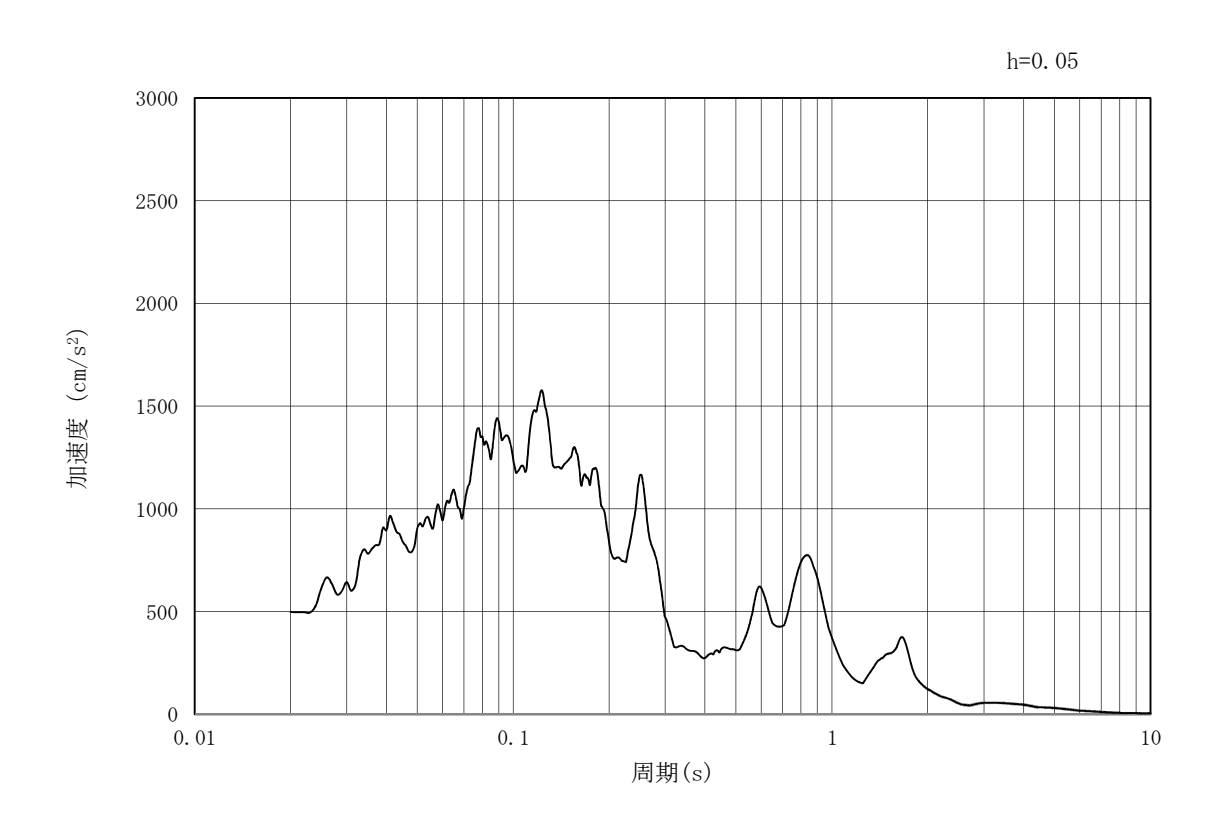




(b) 加速度応答スペクトル

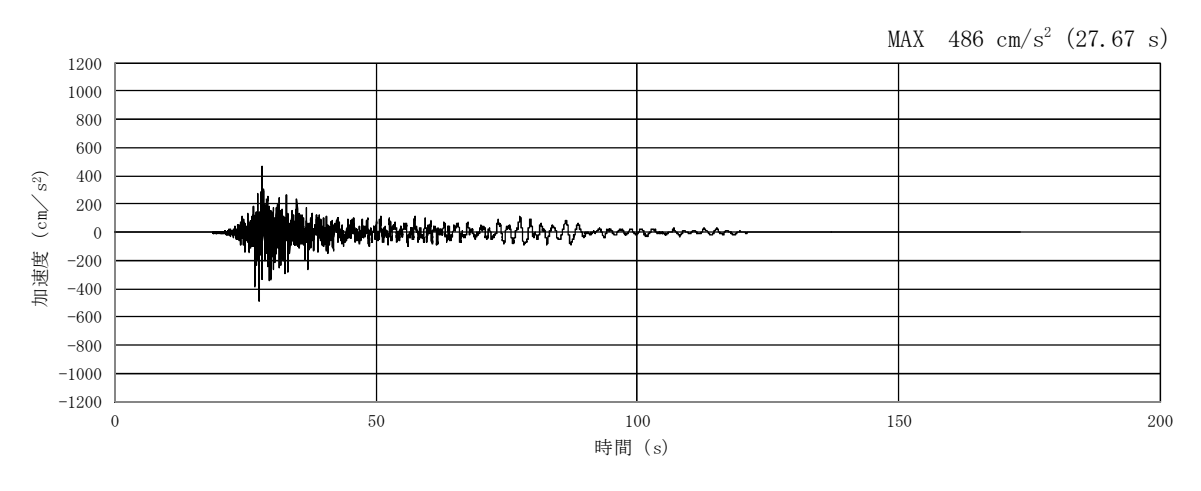
第 3-4 図(3) 防潮壁横断方向の入力地震動の加速度時刻歴波形及び加速度応答スペクトル (水平方向: S_s-11)

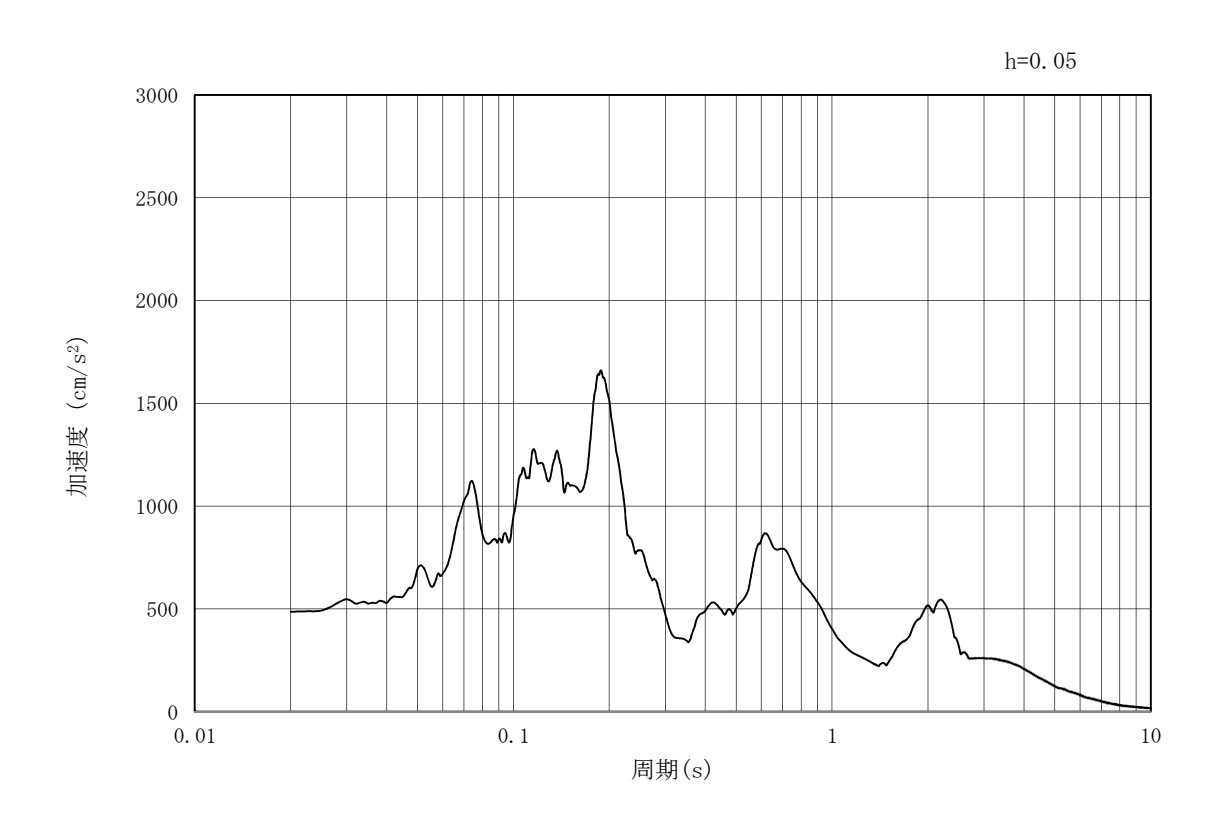




(b) 加速度応答スペクトル

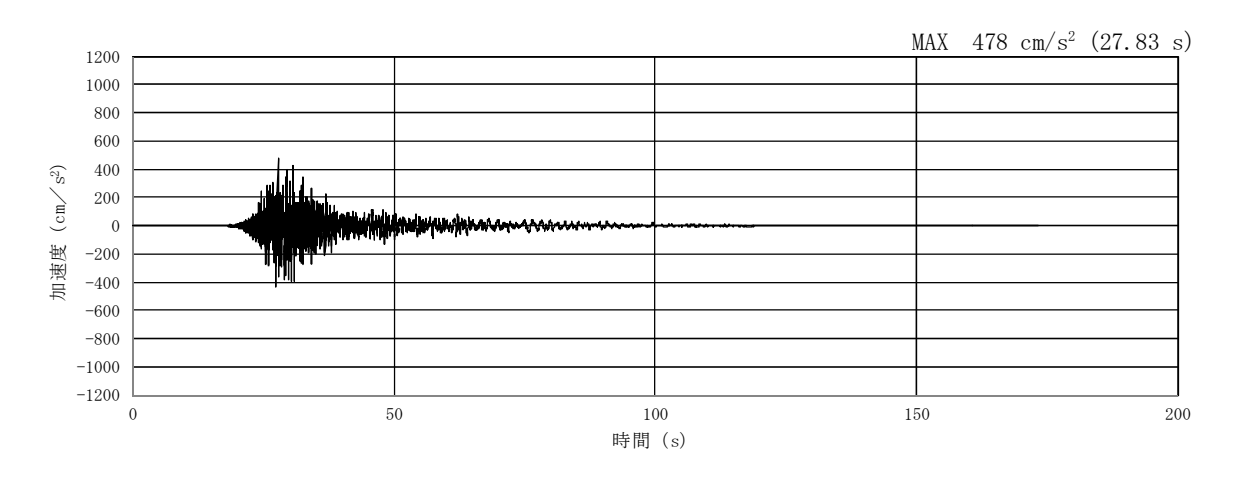
第 3-4 図 (4) 防潮壁横断方向の入力地震動の加速度時刻歴波形及び加速度応答スペクトル (鉛直方向: S_s-11)

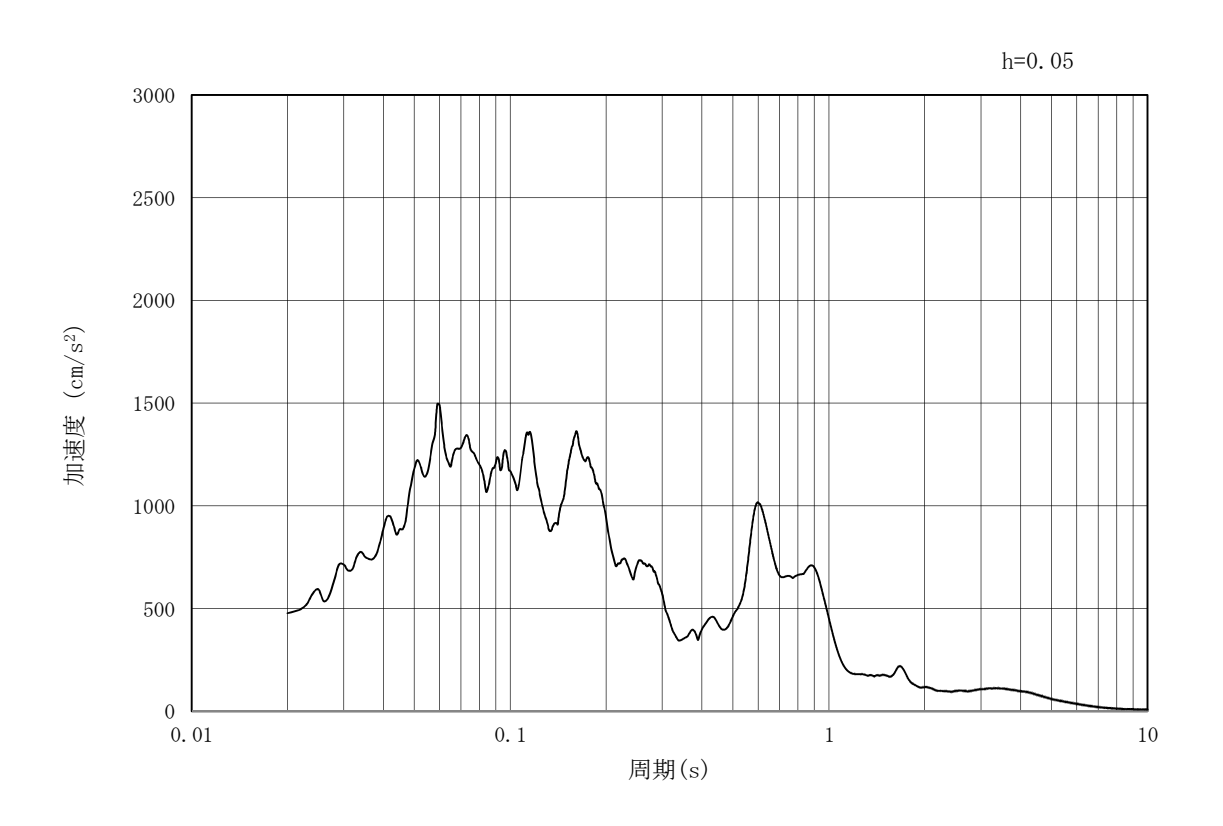




(b) 加速度応答スペクトル

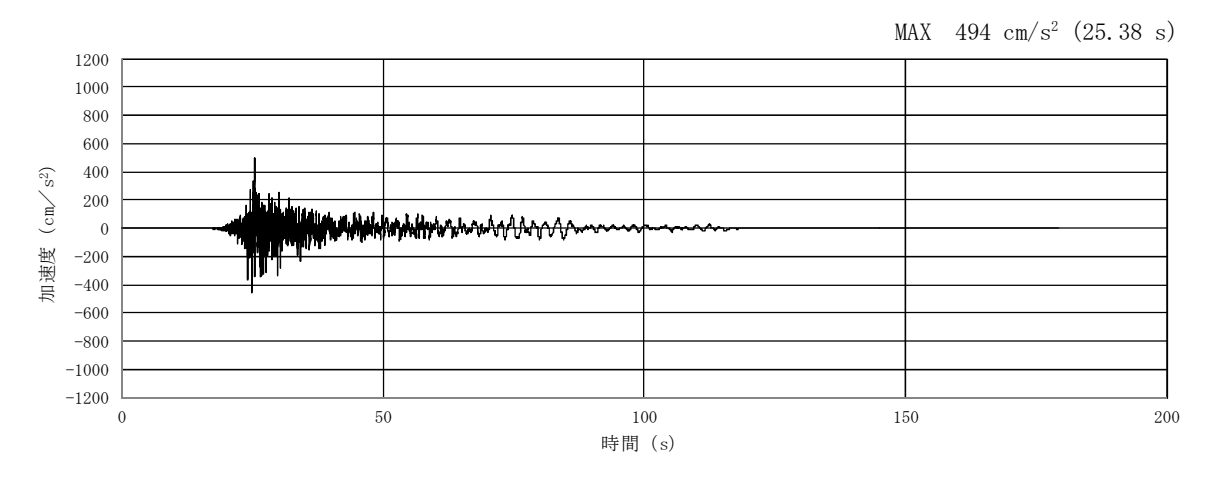
第 3-4 図(5) 防潮壁横断方向の入力地震動の加速度時刻歴波形及び加速度応答スペクトル (水平方向: S_s-1 2)

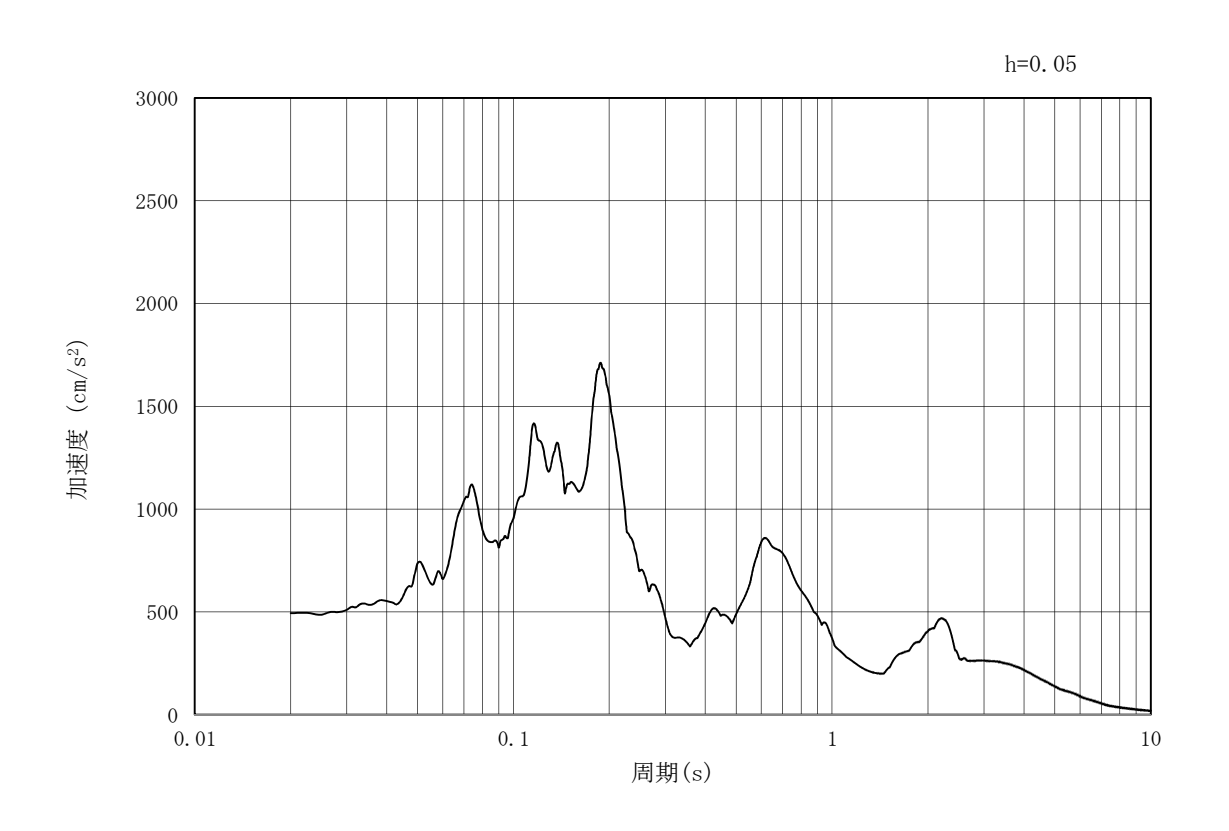




(b) 加速度応答スペクトル

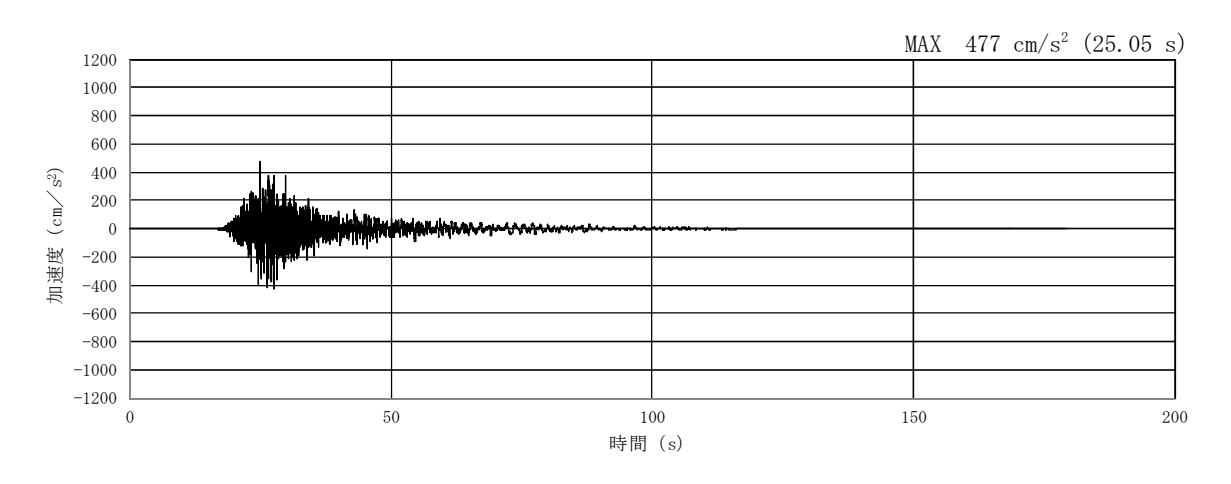
第 3-4 図(6) 防潮壁横断方向の入力地震動の加速度時刻歴波形及び加速度応答スペクトル (鉛直方向: S_s-1 2)

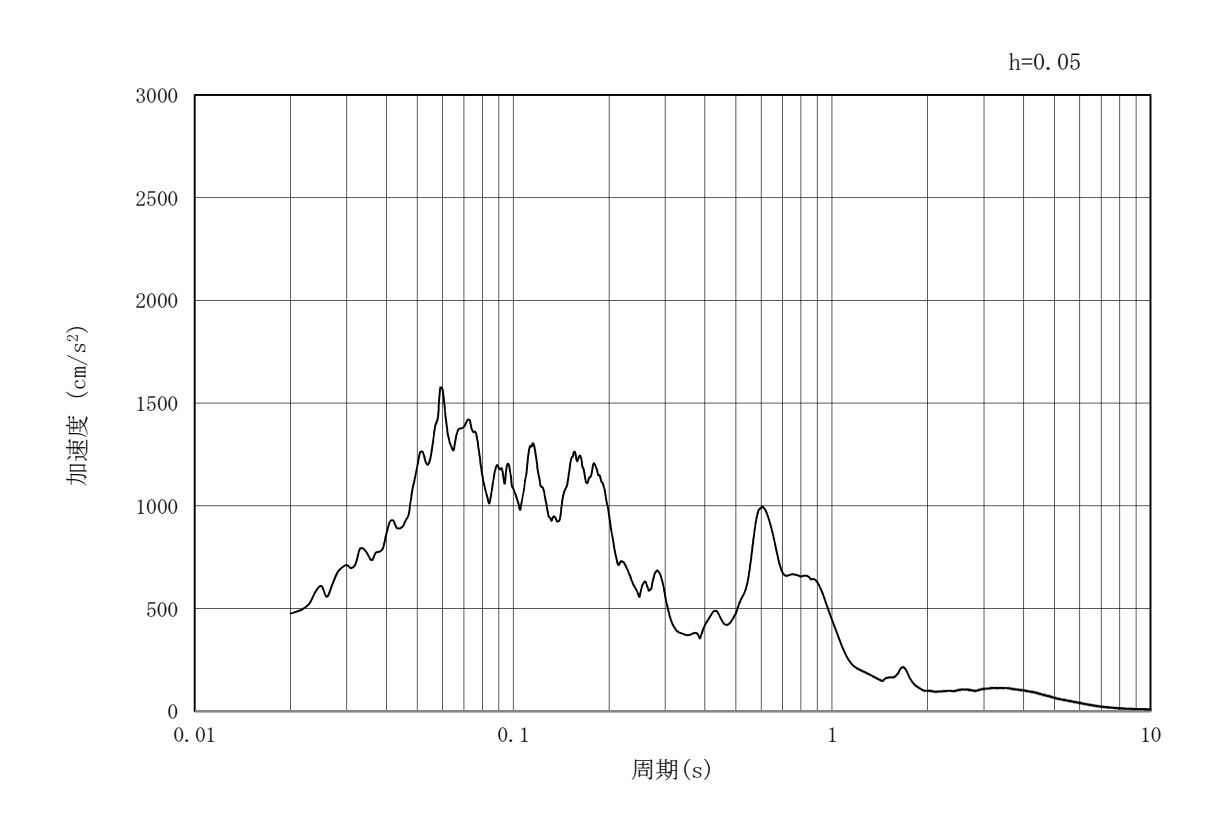




(b) 加速度応答スペクトル

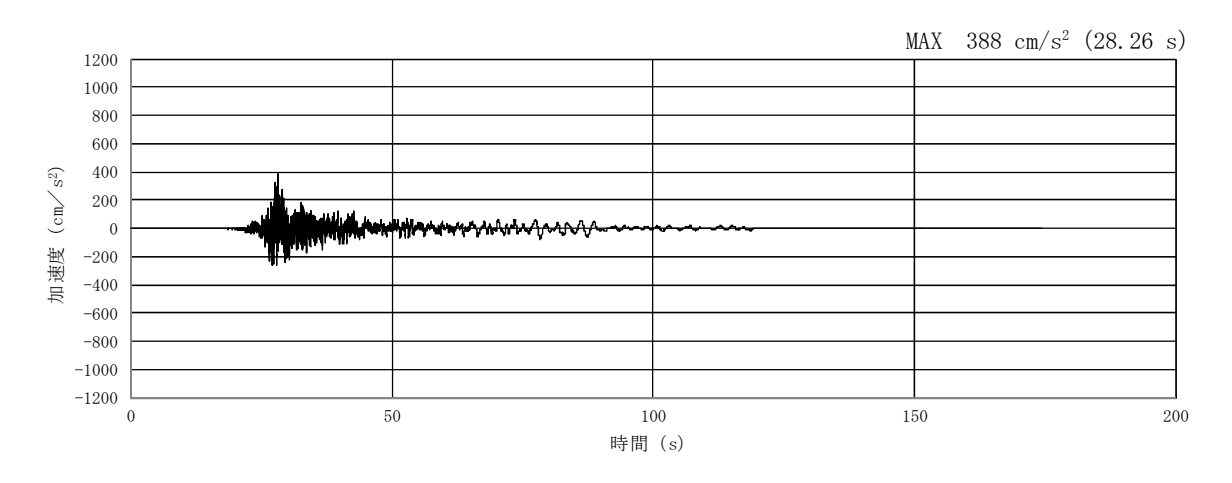
第 3-4 図 (7) 防潮壁横断方向の入力地震動の加速度時刻歴波形及び加速度応答スペクトル (水平方向: S_s-13)

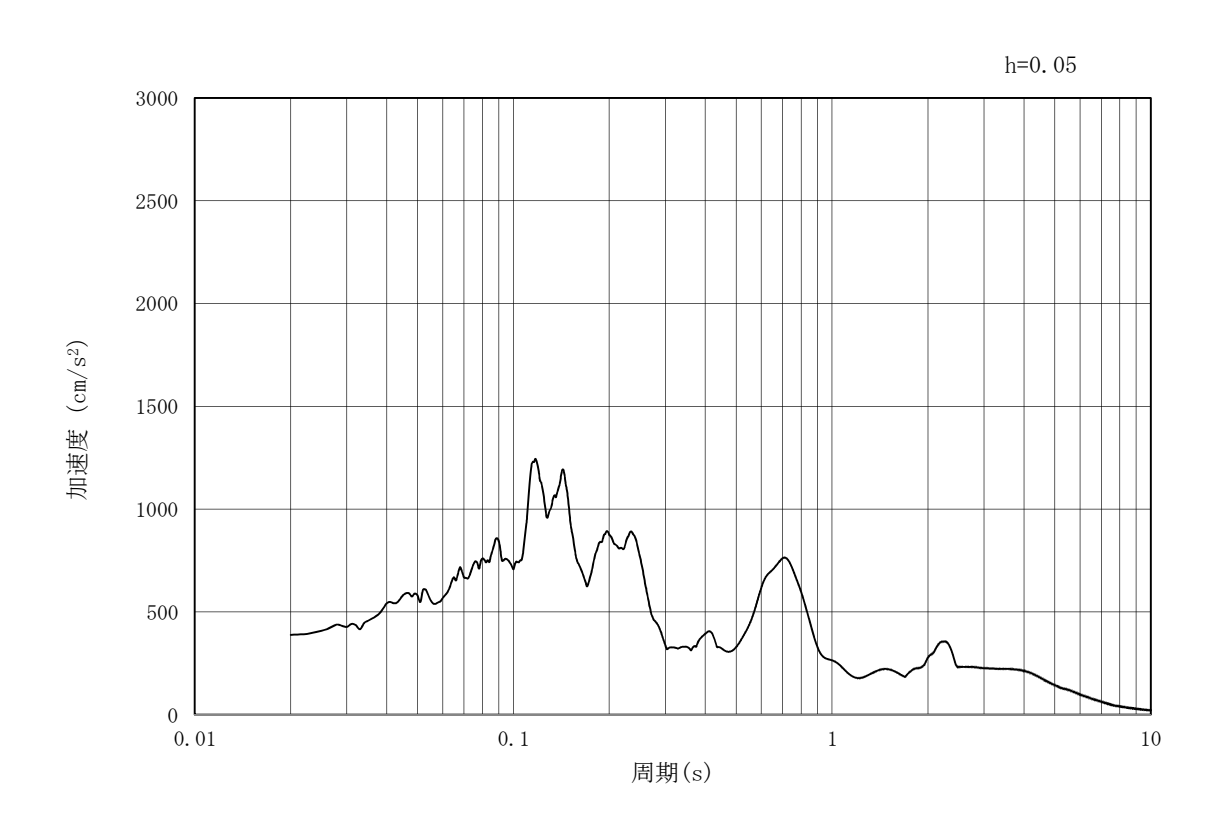




(b) 加速度応答スペクトル

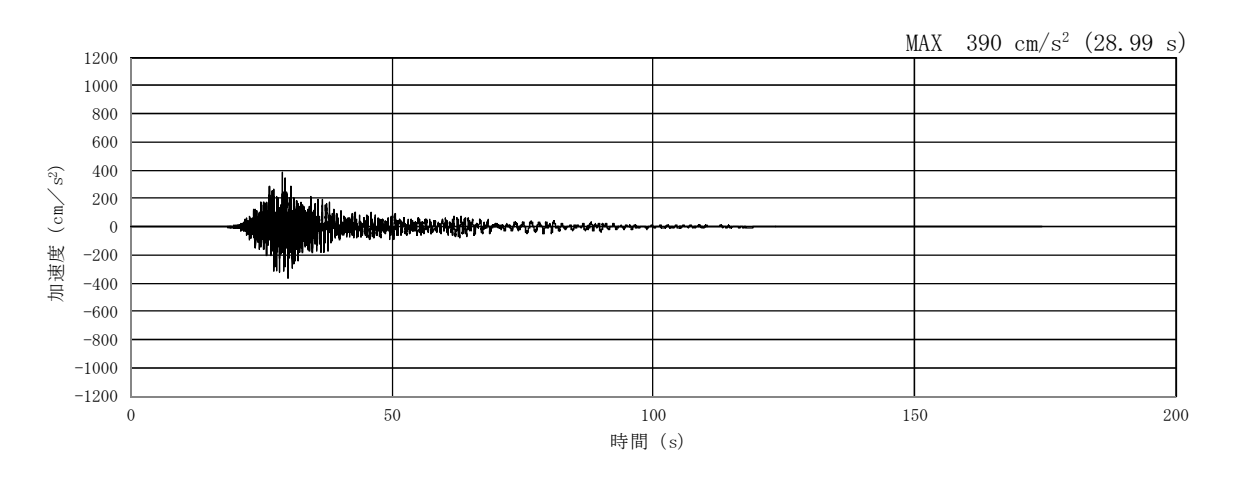
第 3-4 図(8) 防潮壁横断方向の入力地震動の加速度時刻歴波形及び加速度応答スペクトル (鉛直方向: S_s-13)

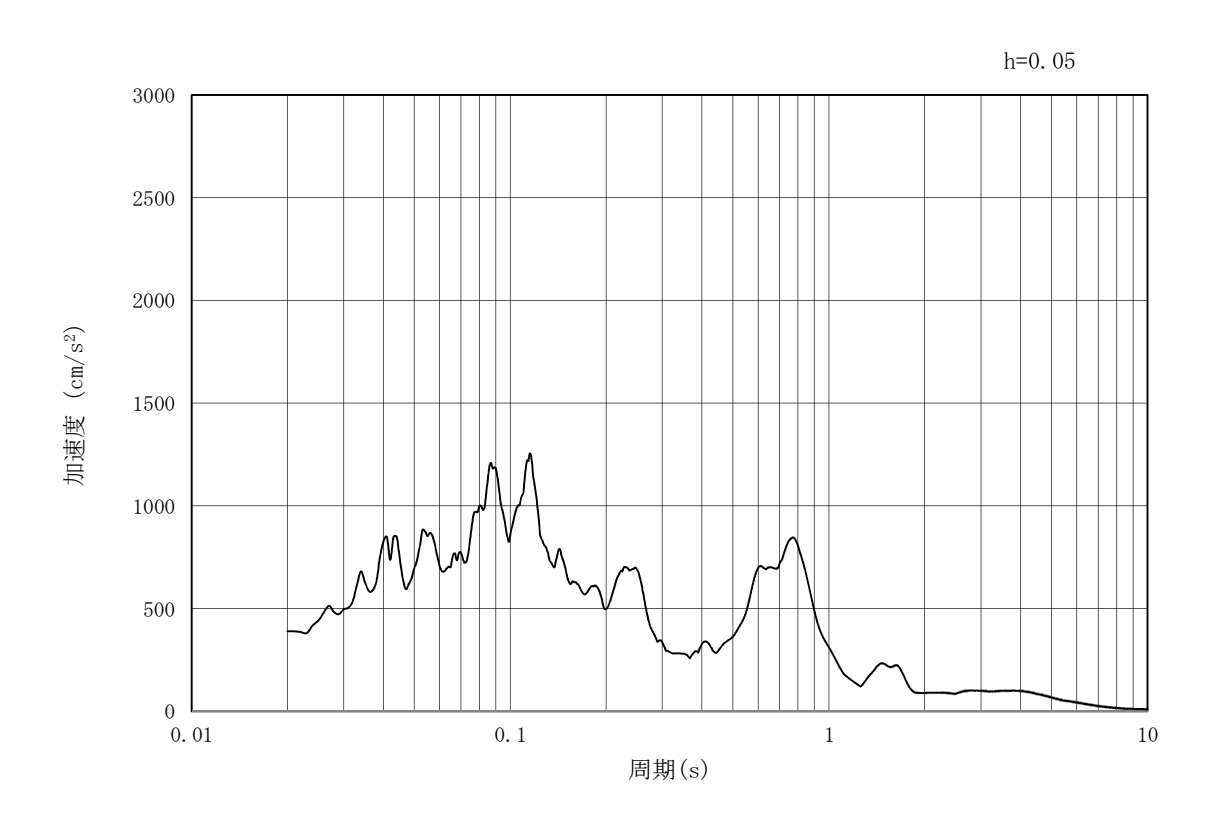




(b) 加速度応答スペクトル

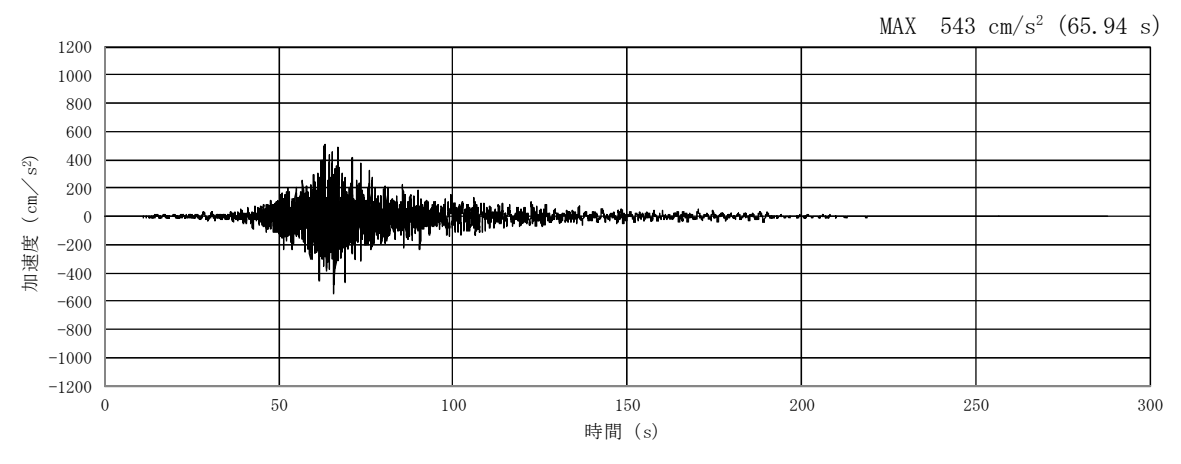
第 3-4 図 (9) 防潮壁横断方向の入力地震動の加速度時刻歴波形及び加速度応答スペクトル (水平方向: S_s-14)

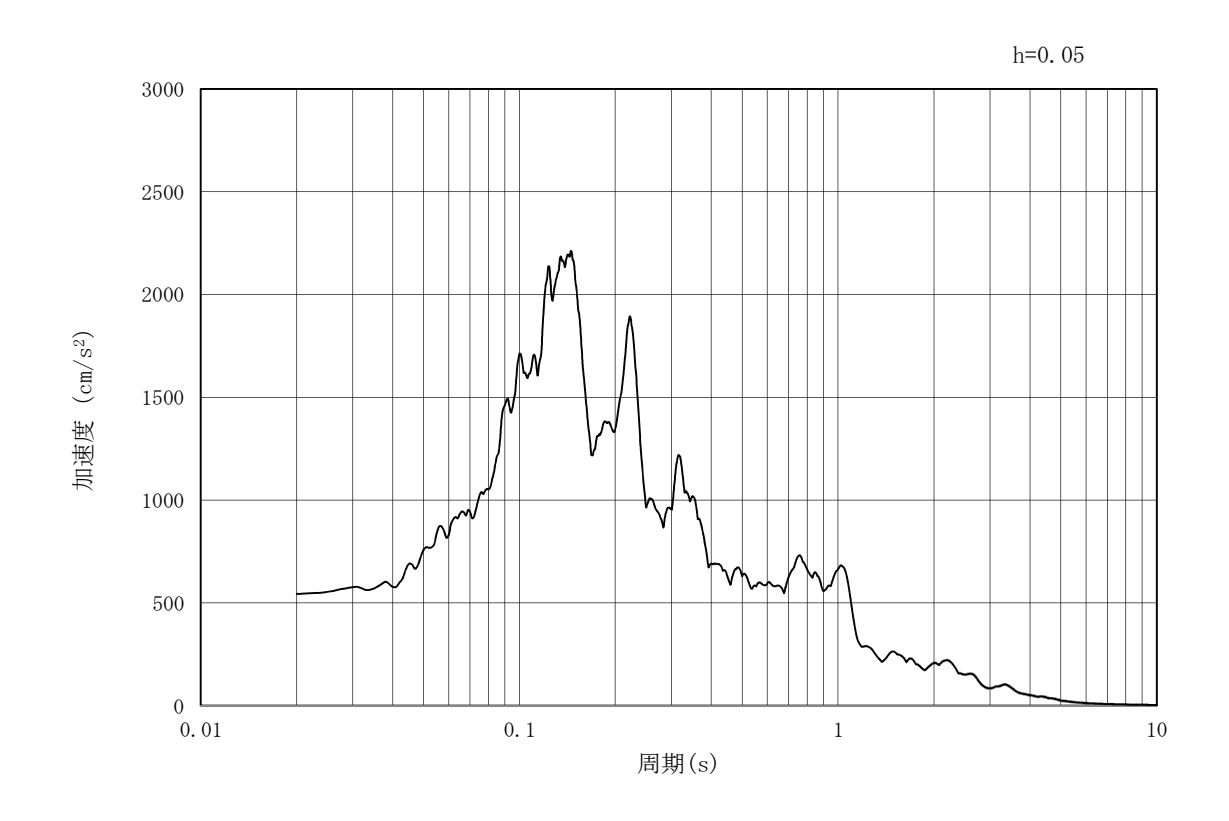




(b) 加速度応答スペクトル

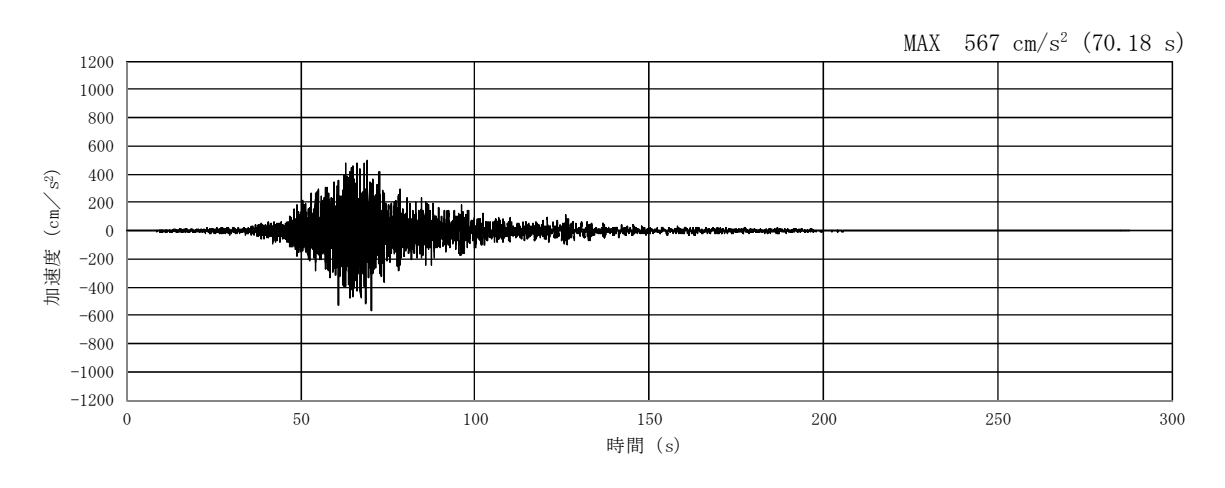
第 3-4 図(10) 防潮壁横断方向の入力地震動の加速度時刻歴波形及び加速度応答スペクトル (鉛直方向: S_s-14)

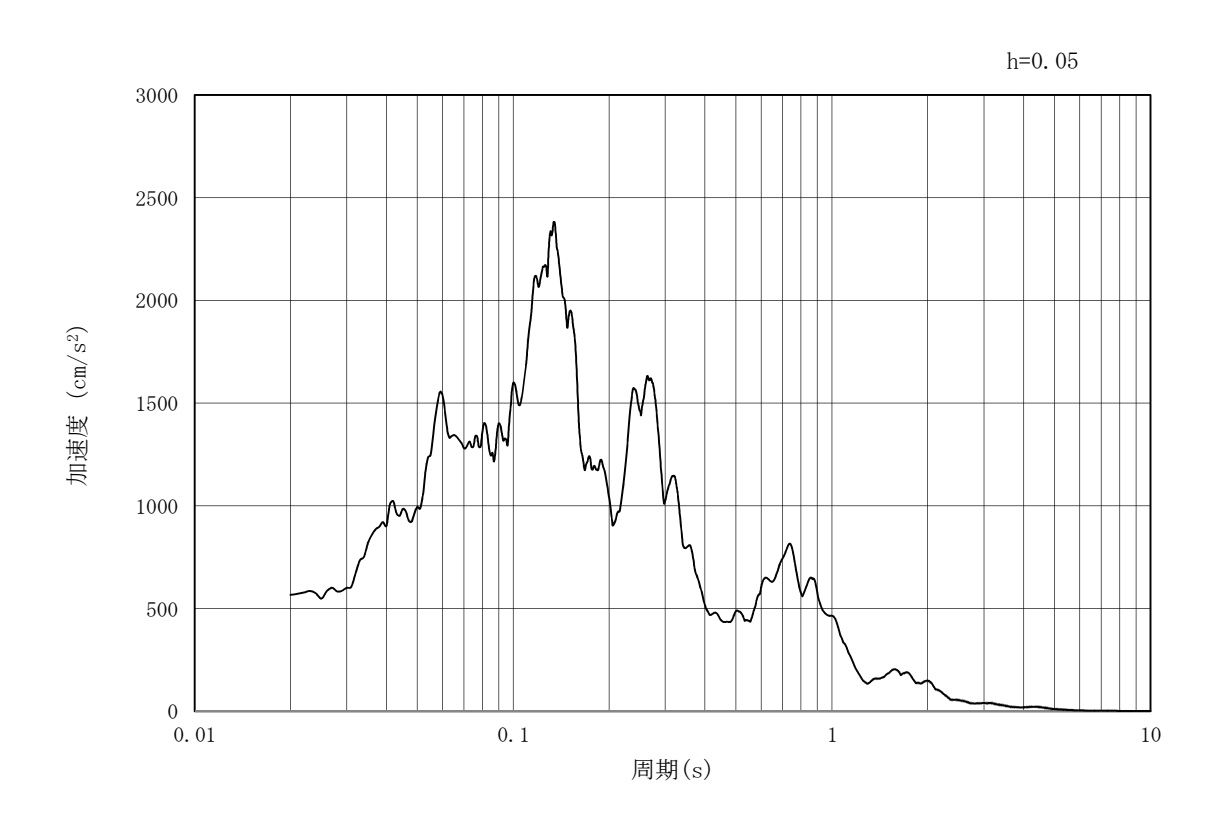




(b) 加速度応答スペクトル

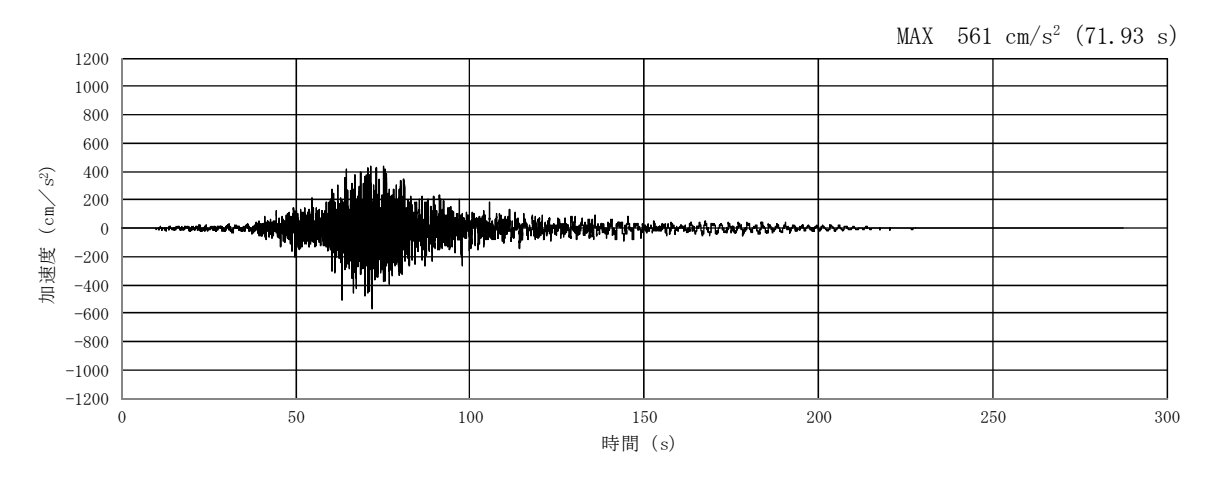
第 3-4 図(11) 防潮壁横断方向の入力地震動の加速度時刻歴波形及び加速度応答スペクトル (水平方向: S $_{\rm s}-2$ 1)

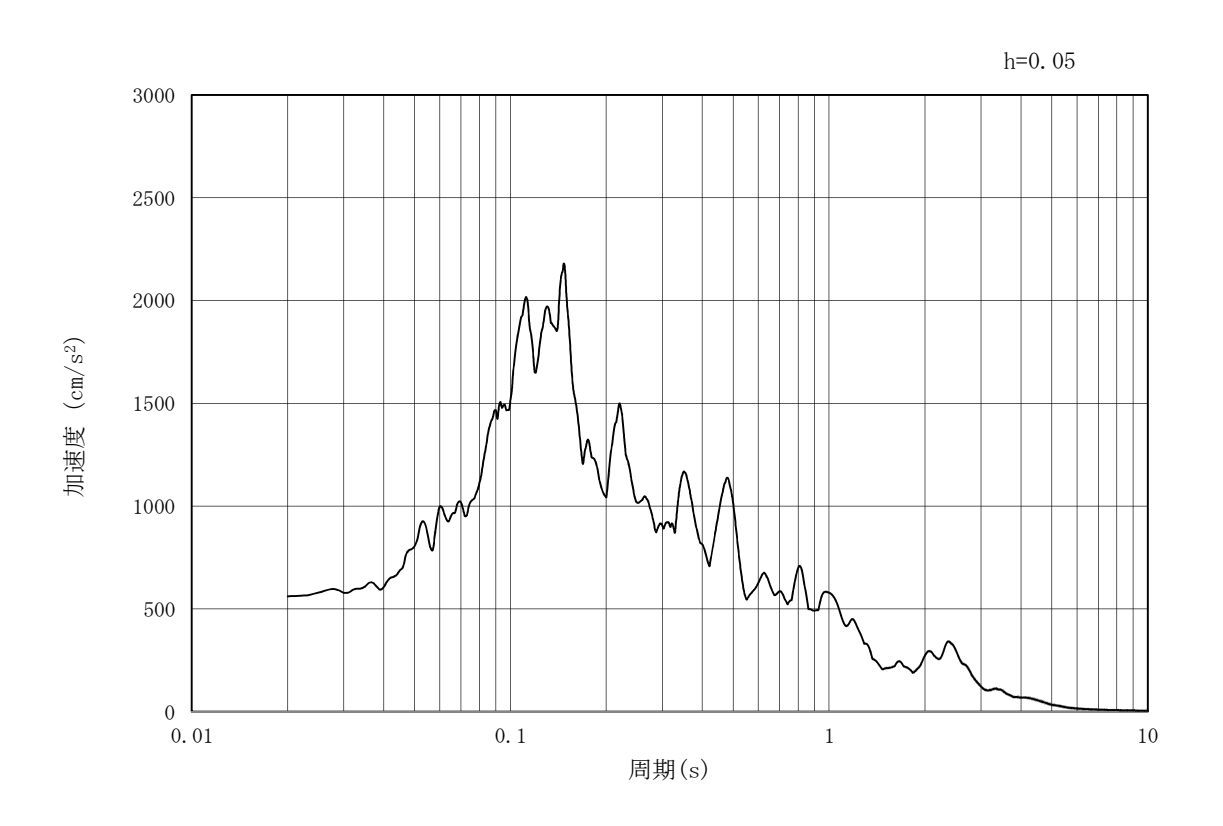




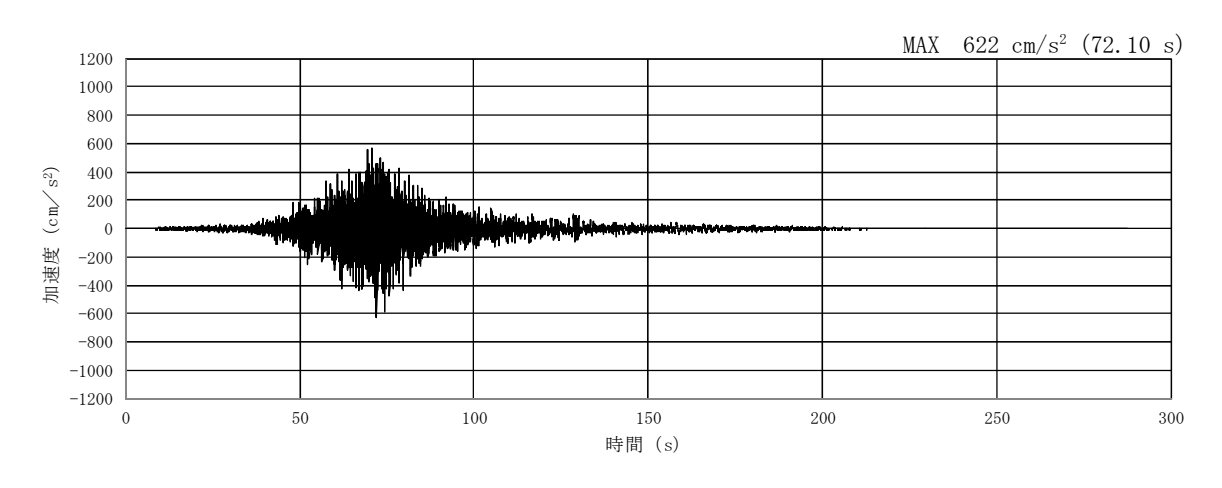
(b) 加速度応答スペクトル

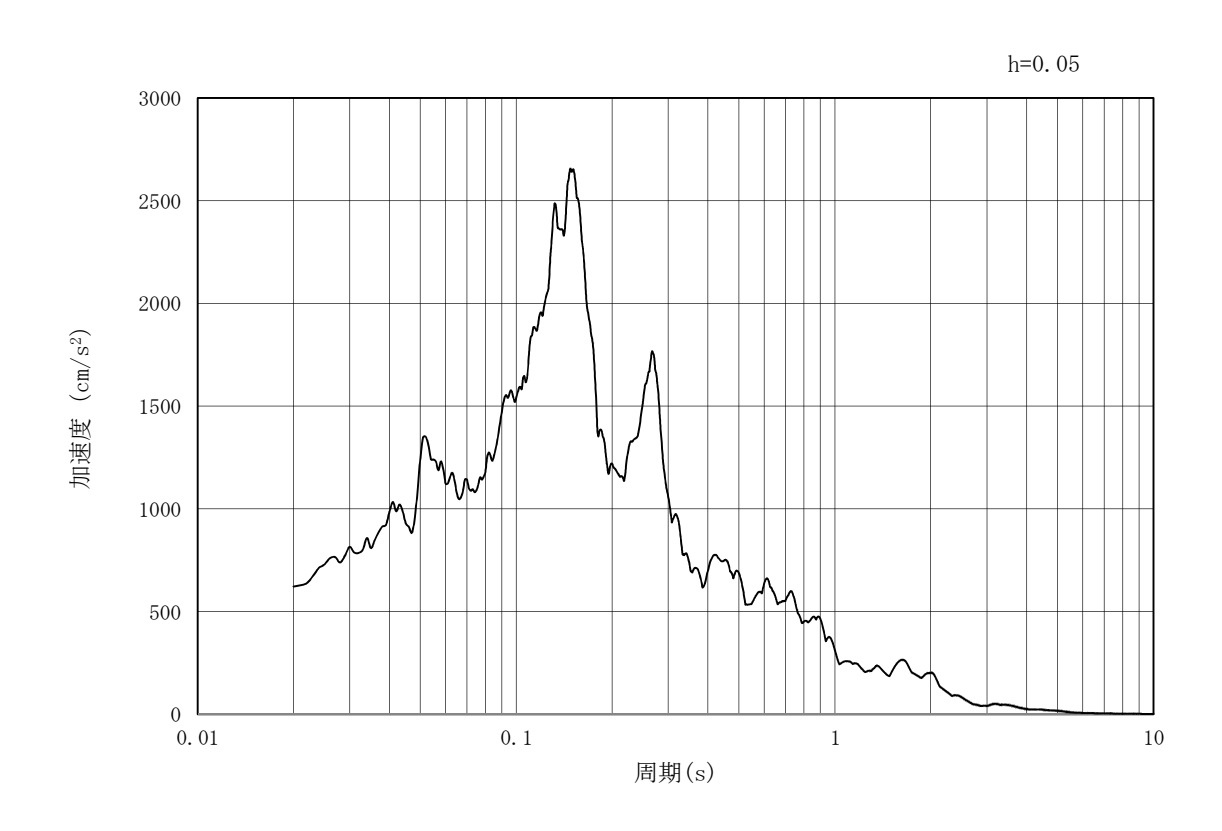
第 3-4 図(12) 防潮壁横断方向の入力地震動の加速度時刻歴波形及び加速度応答スペクトル (鉛直方向: S $_{\rm s}-2$ 1)





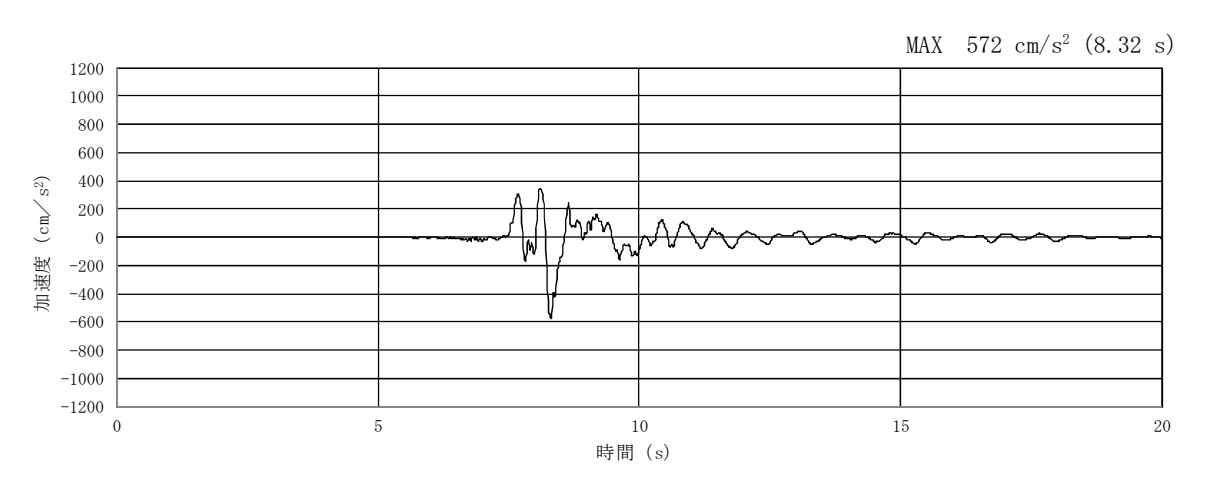
(b) 加速度応答スペクトル

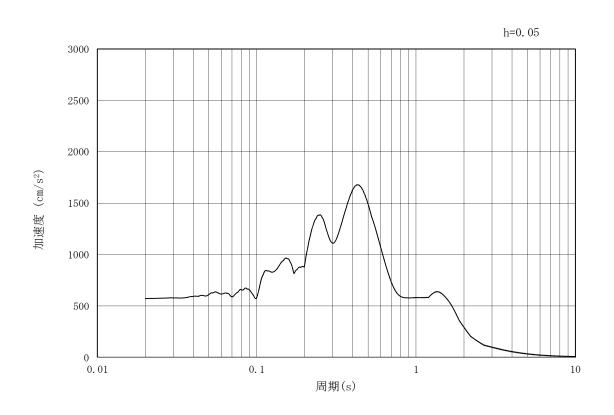




(b) 加速度応答スペクトル

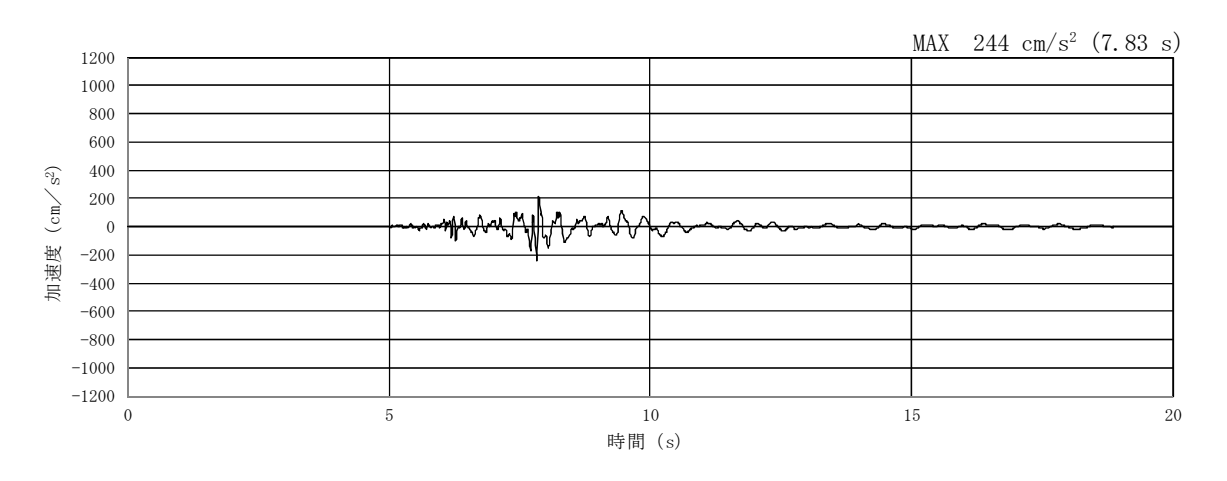
第 3-4 図(14) 防潮壁横断方向の入力地震動の加速度時刻歴波形及び加速度応答スペクトル (鉛直方向: S_s-22)

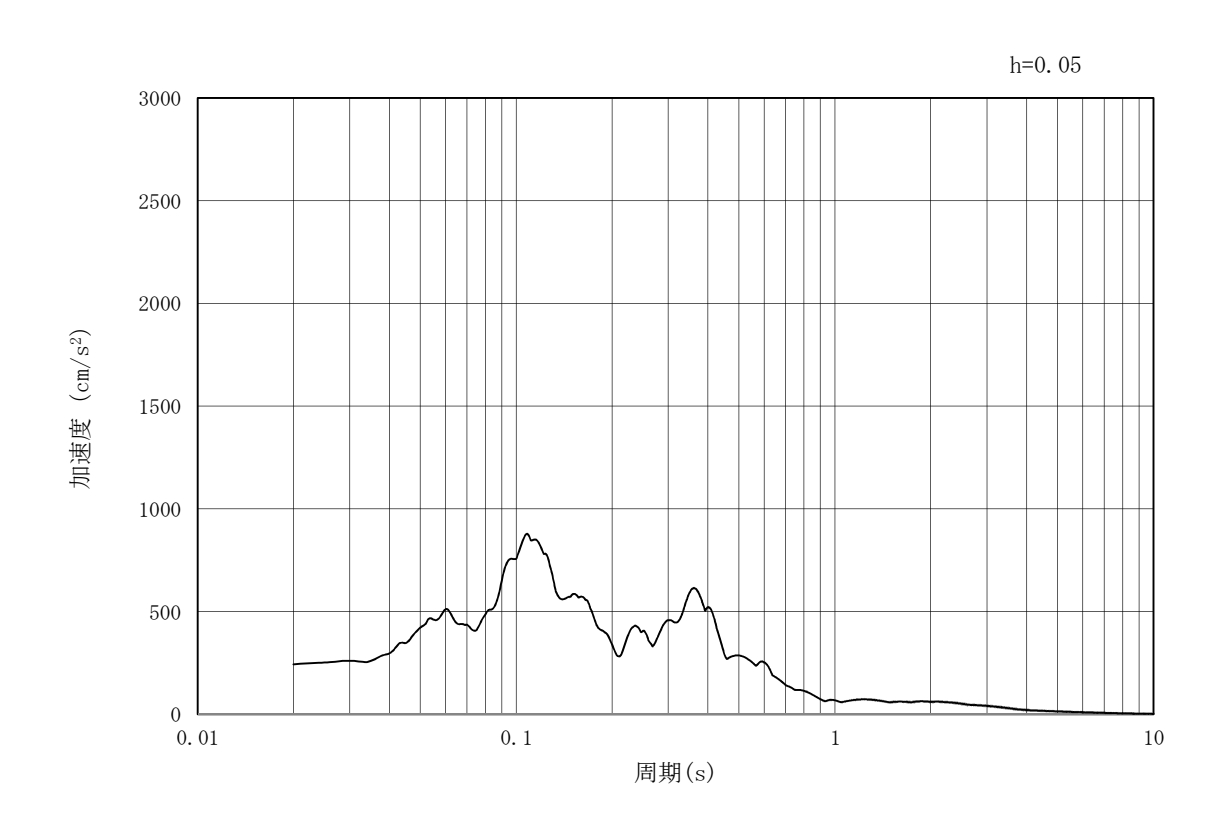




(b) 加速度応答スペクトル

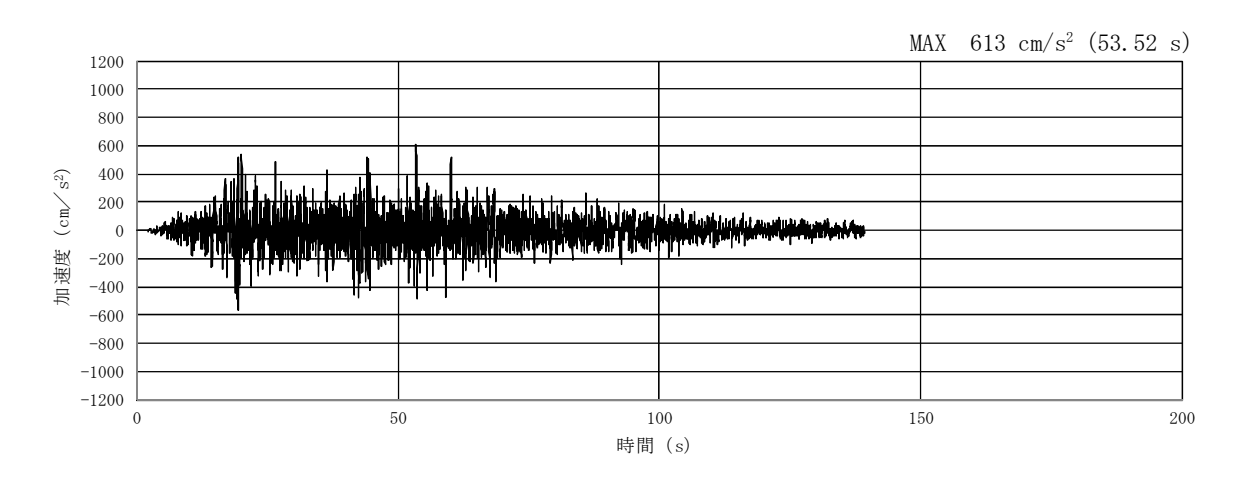
第3-4図(15) 防潮壁横断方向の入力地震動の加速度時刻歴波形及び加速度応答スペクトル (水平方向: S_s-31)

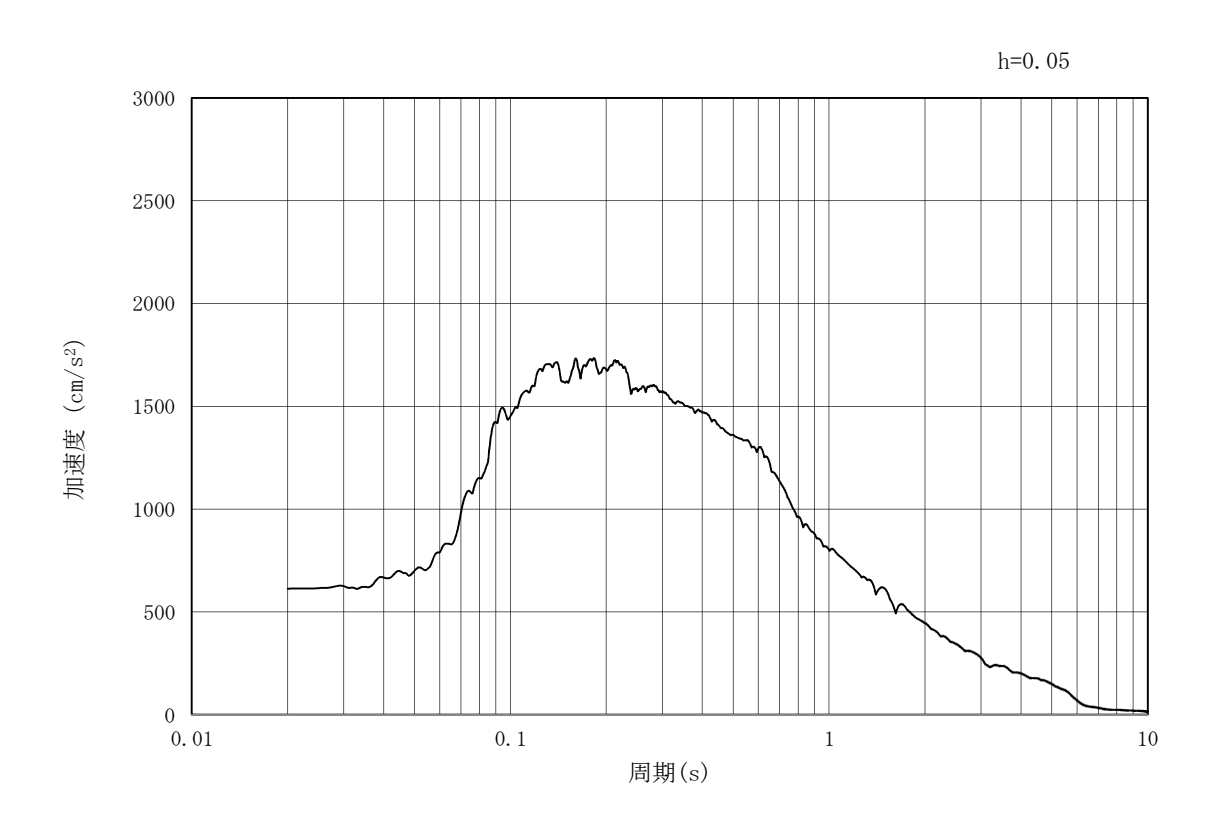




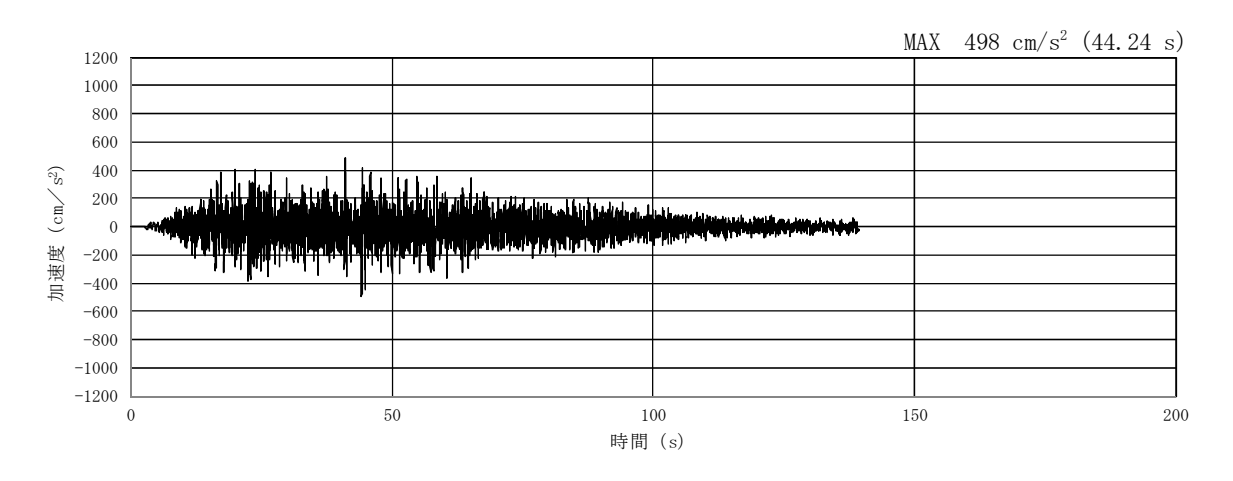
(b) 加速度応答スペクトル

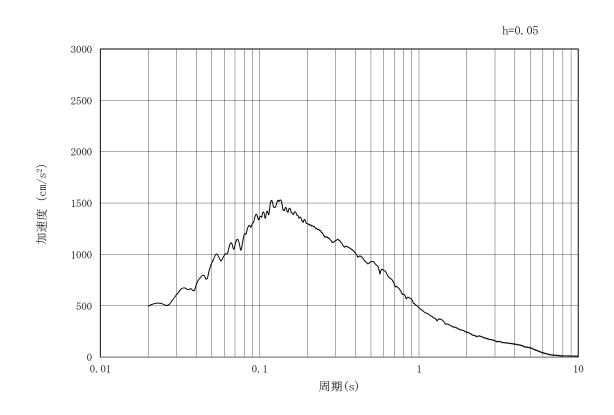
第 3-4 図(16) 防潮壁横断方向の入力地震動の加速度時刻歴波形及び加速度応答スペクトル (鉛直方向: S_s-31)





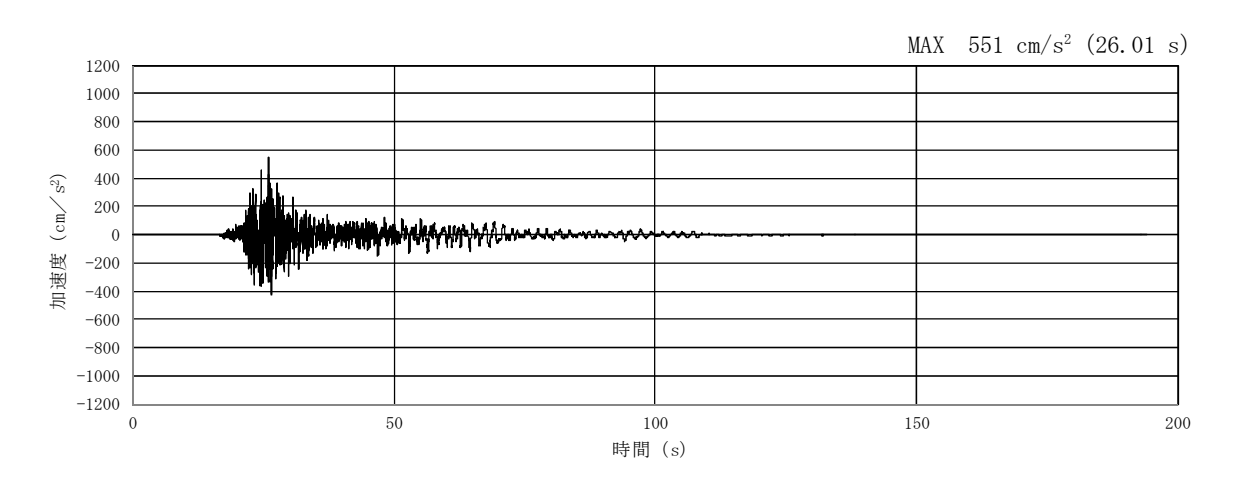
(b) 加速度応答スペクトル

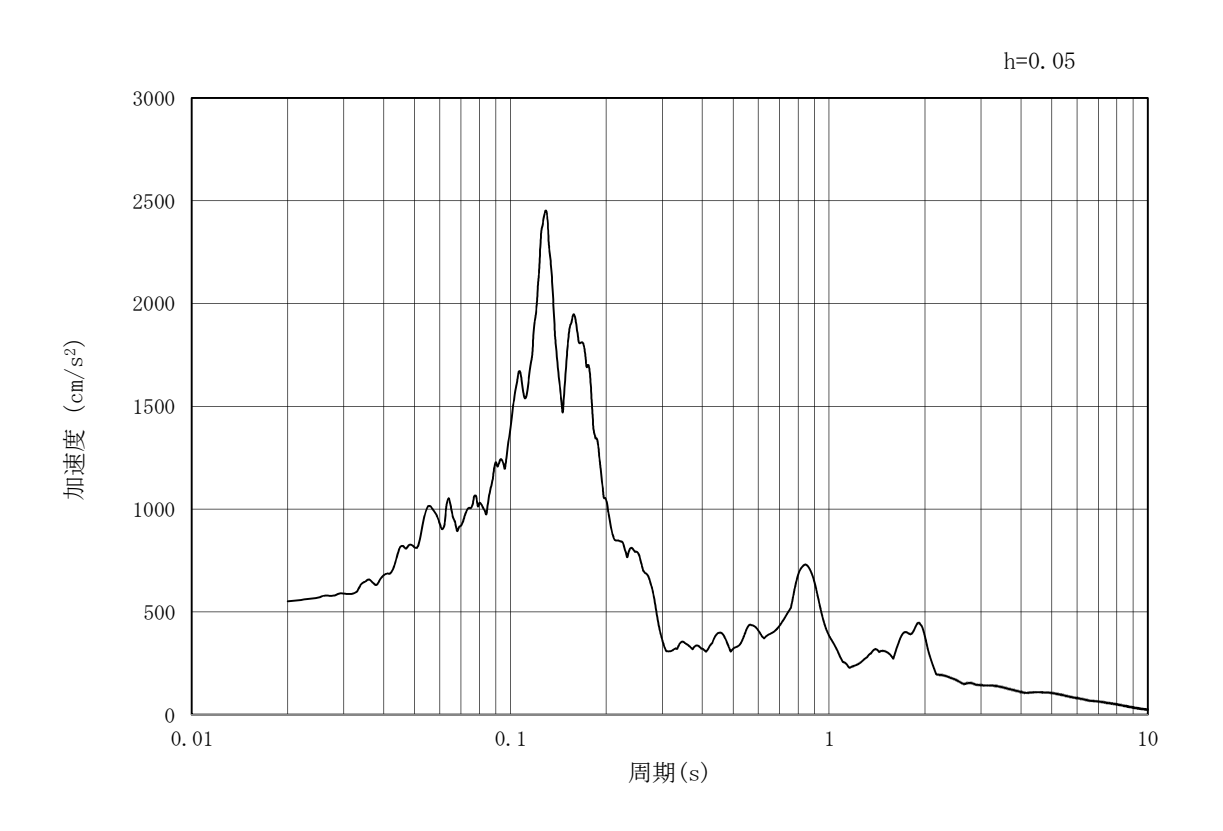




(b) 加速度応答スペクトル

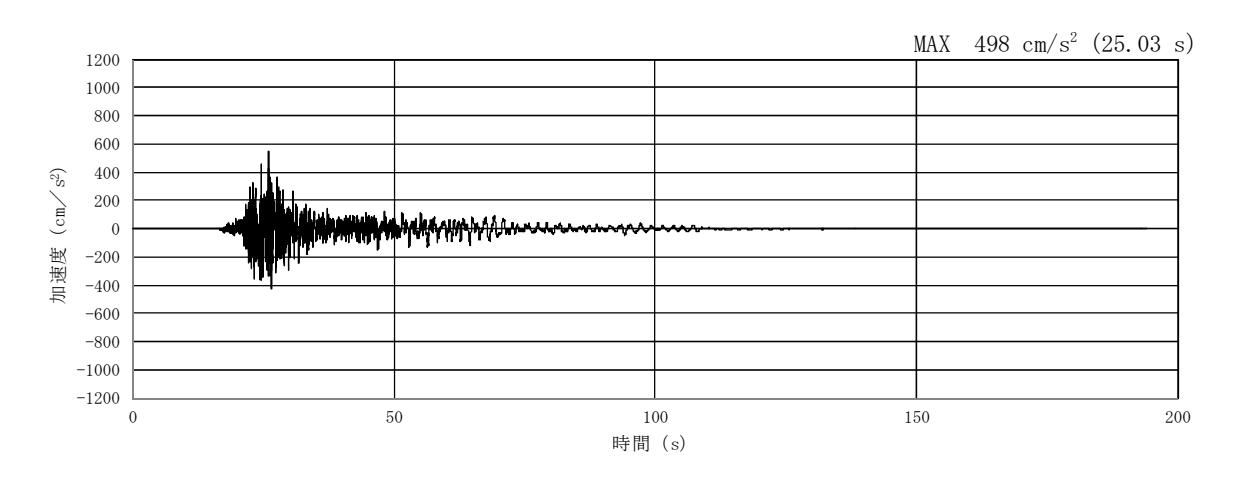
第 3-4 図(18) 防潮壁縦断方向の入力地震動の加速度時刻歴波形及び加速度応答スペクトル (鉛直方向: S_s-D1)

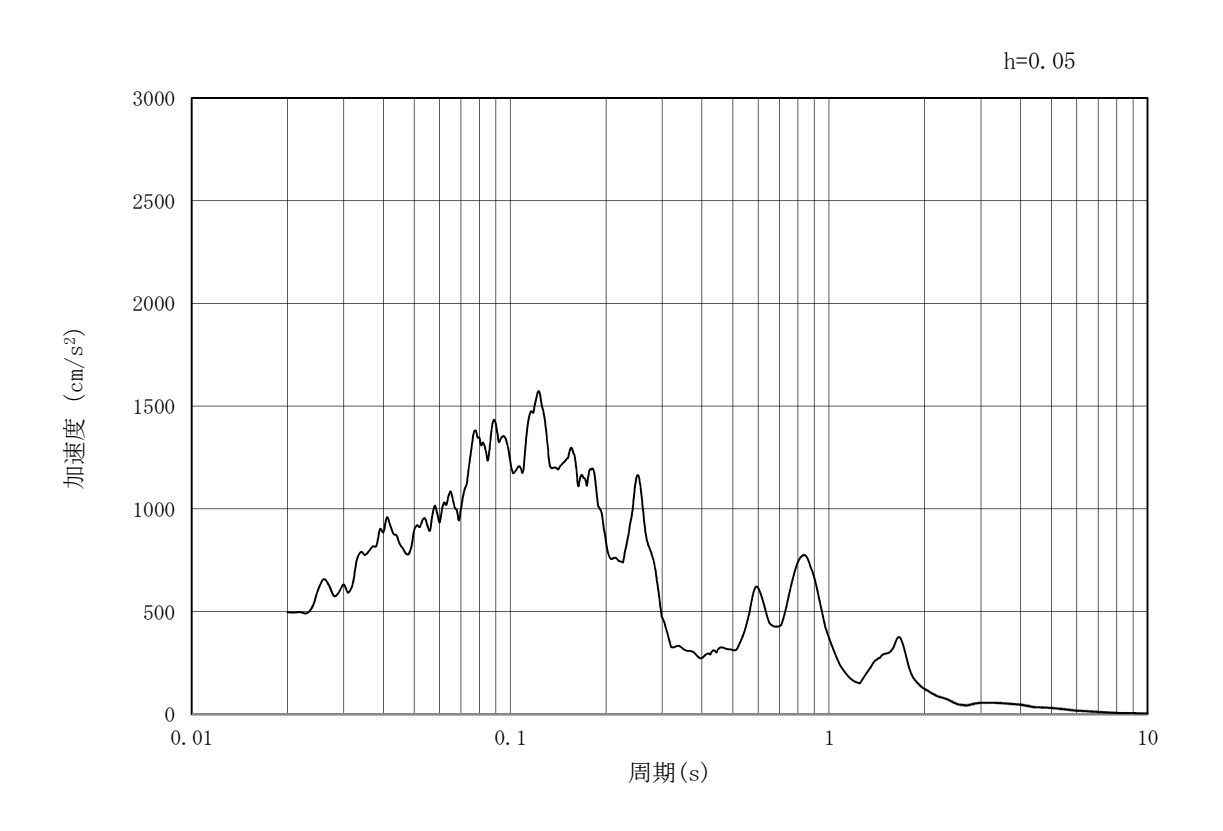




(b) 加速度応答スペクトル

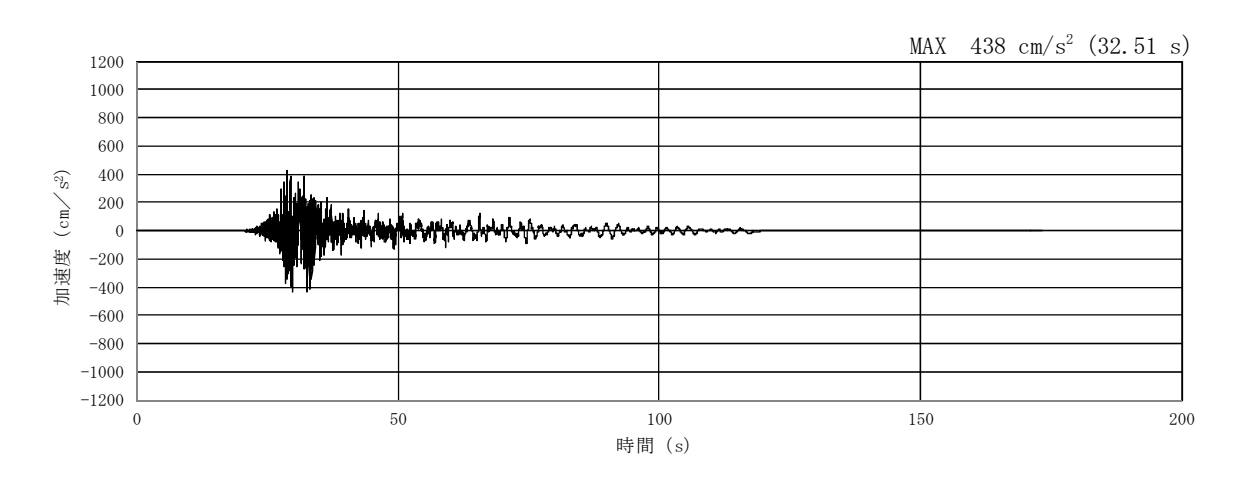
第 3-4 図(19) 防潮壁縦断方向の入力地震動の加速度時刻歴波形及び加速度応答スペクトル $(水平方向: S_s-11)$

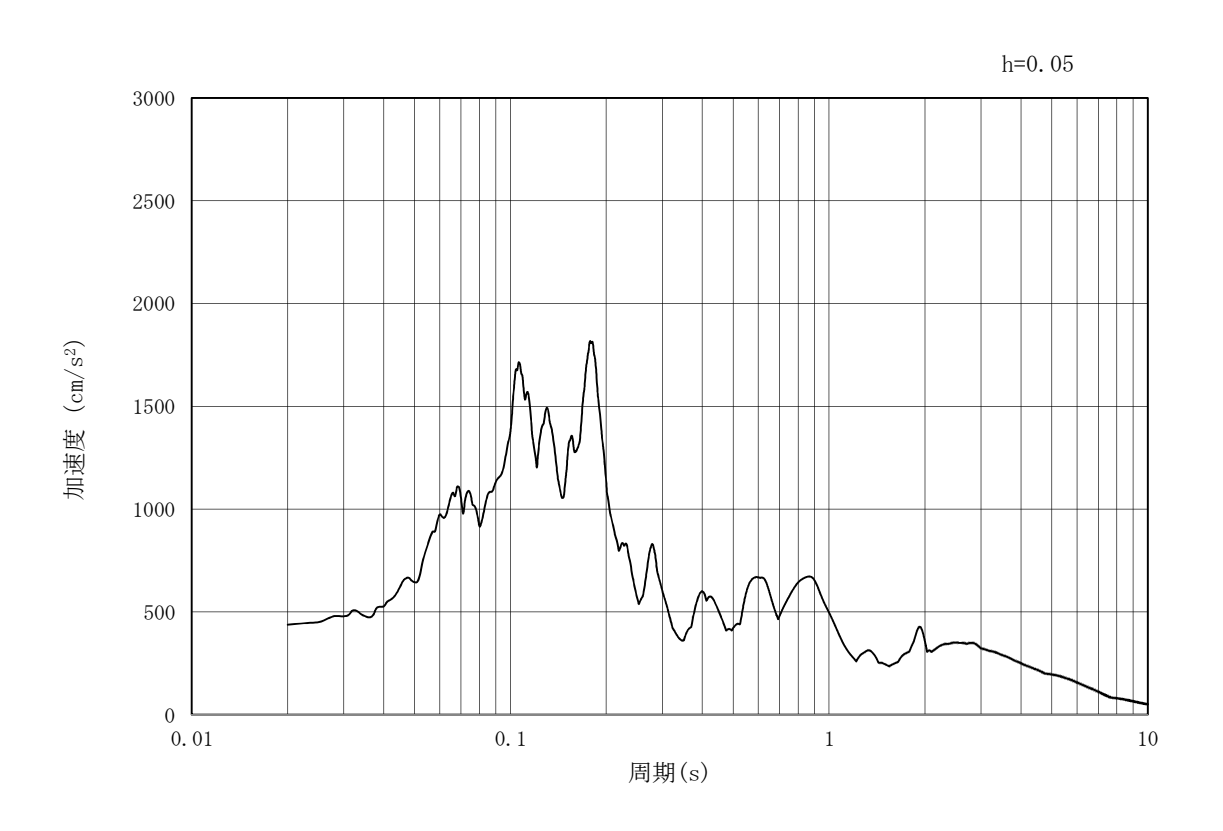




(b) 加速度応答スペクトル

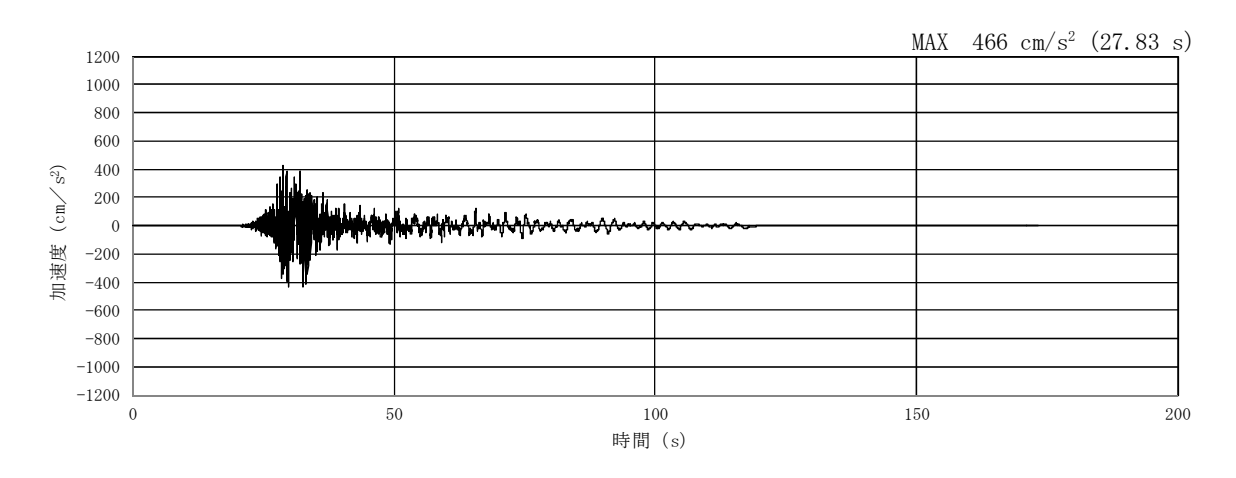
第 3-4 図(20) 防潮壁縦断方向の入力地震動の加速度時刻歴波形及び加速度応答スペクトル (鉛直方向: S_s-11)

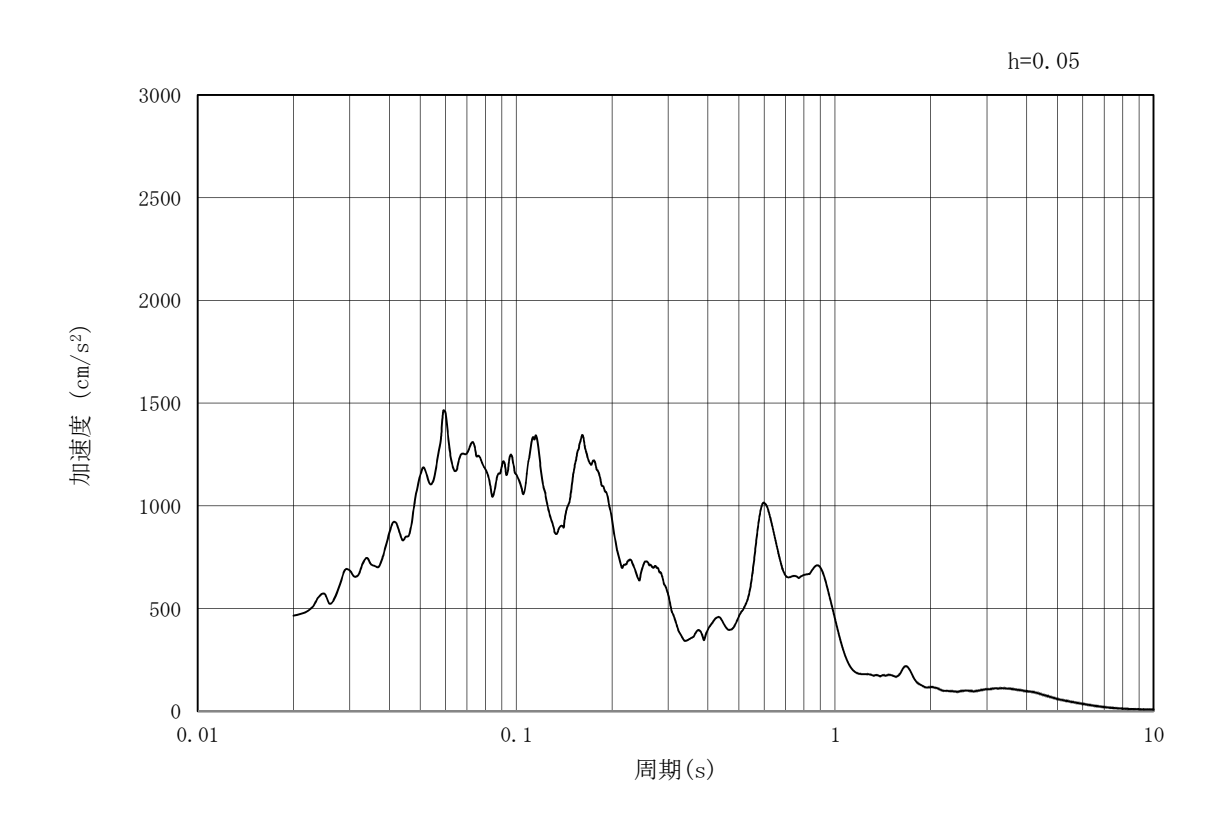




(b) 加速度応答スペクトル

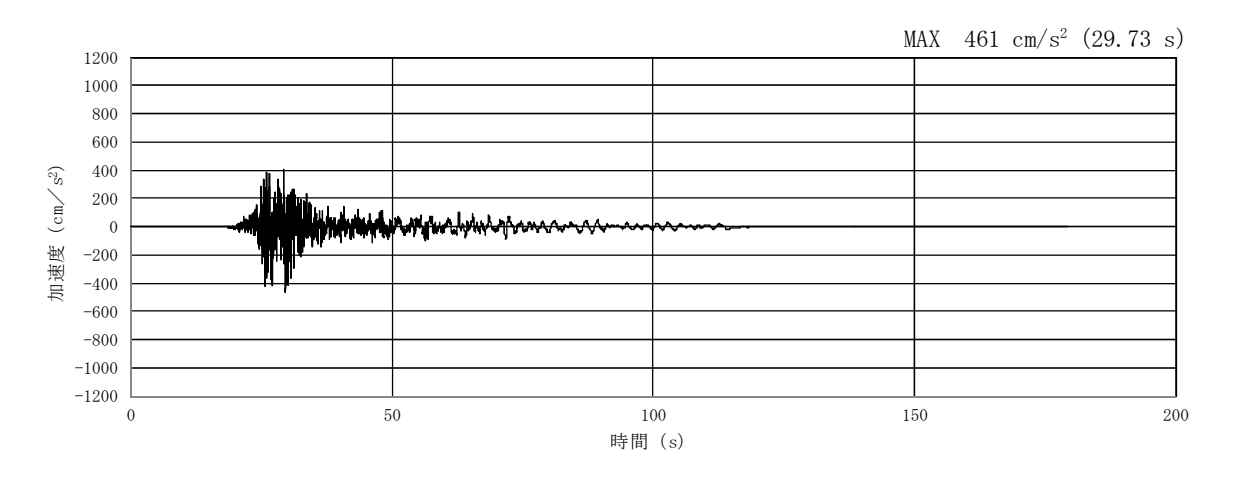
第 3-4 図(21) 防潮壁縦断方向の入力地震動の加速度時刻歴波形及び加速度応答スペクトル (水平方向: S $_{\rm s}-1$ 2)

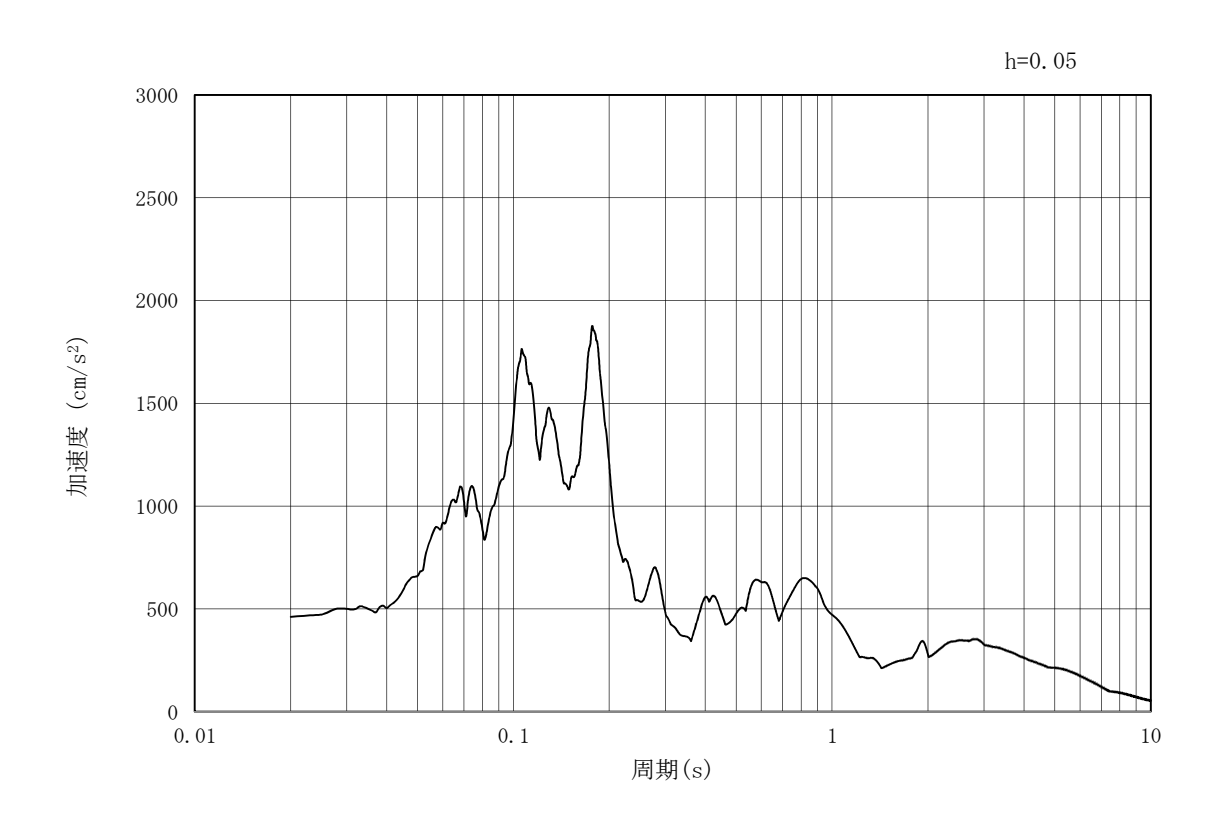




(b) 加速度応答スペクトル

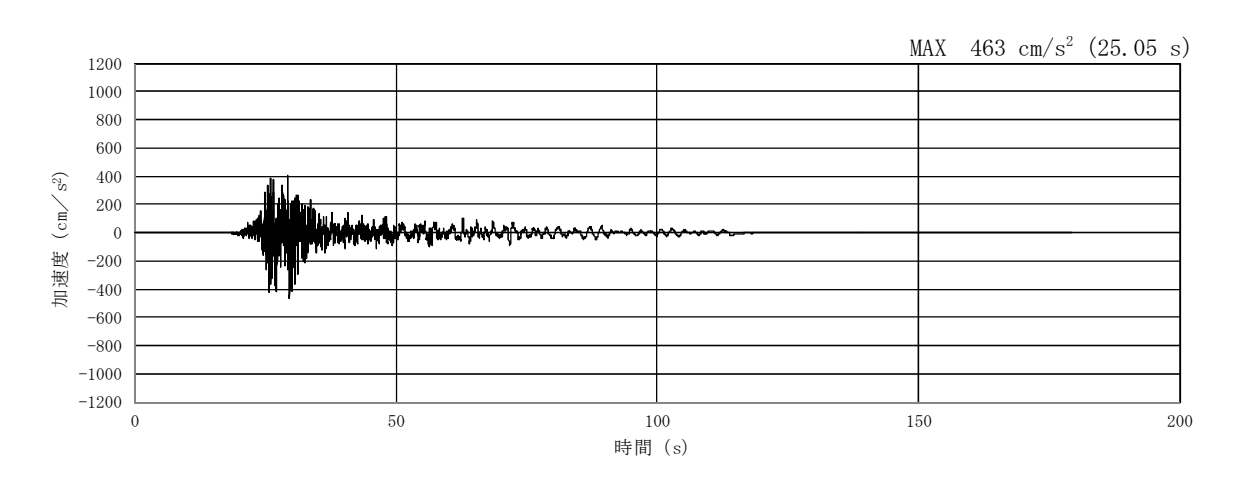
第 3-4 図(22) 防潮壁縦断方向の入力地震動の加速度時刻歴波形及び加速度応答スペクトル (鉛直方向: S_s-1 2)

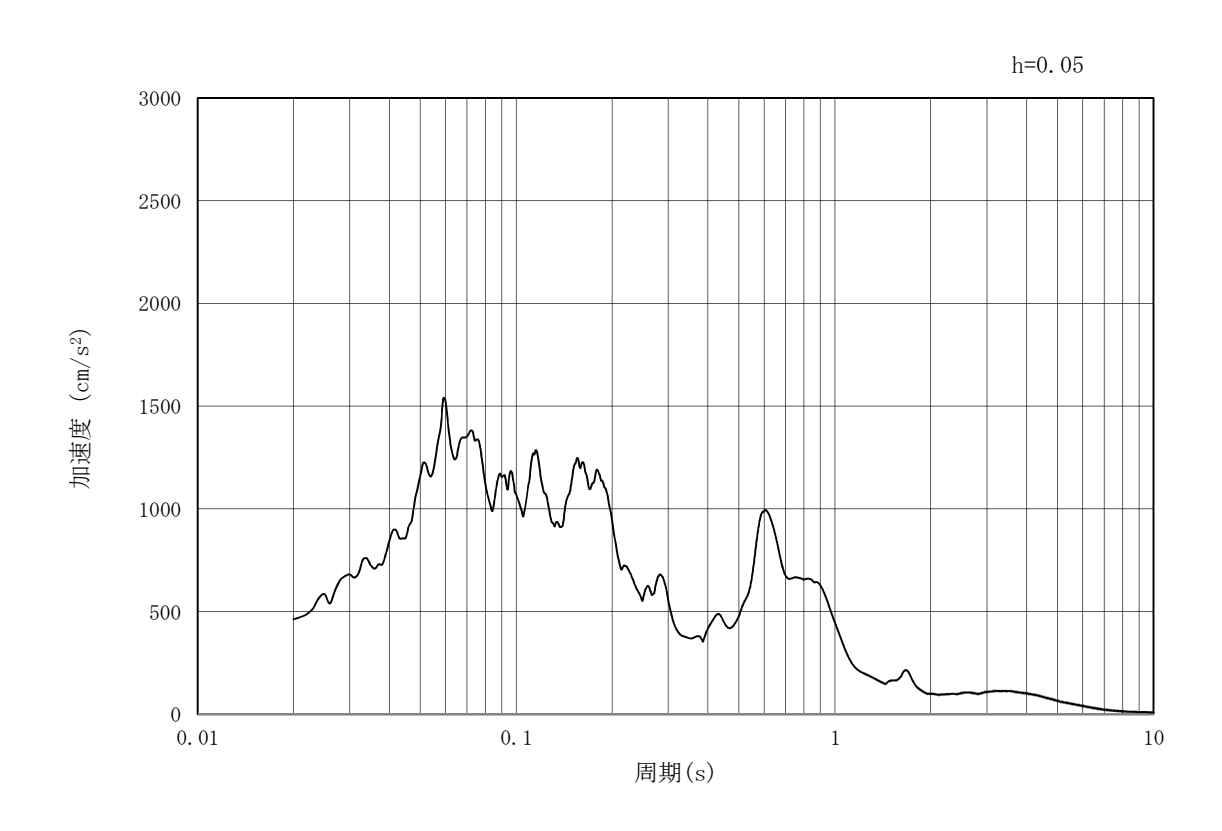




(b) 加速度応答スペクトル

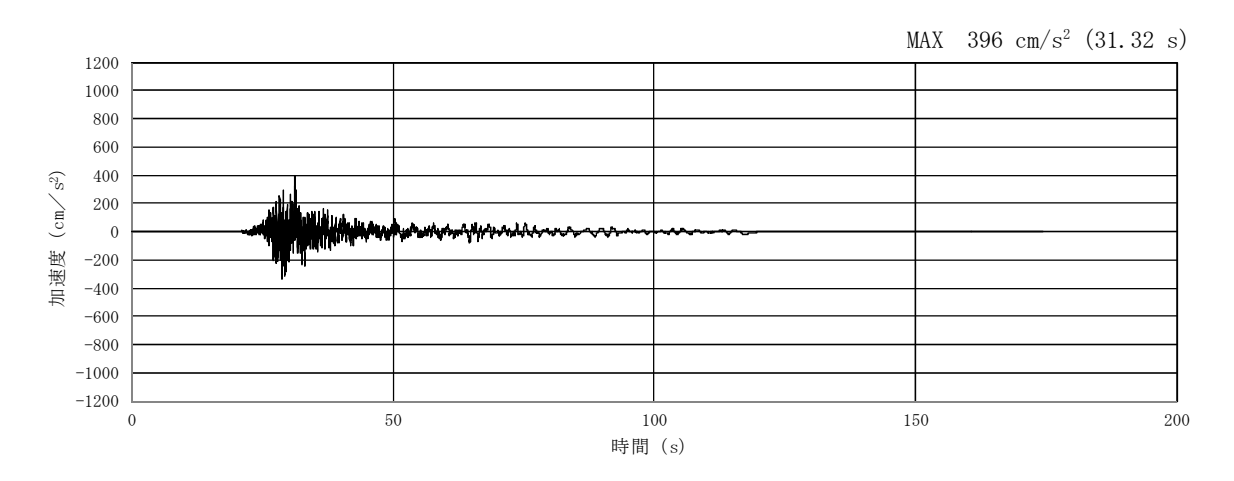
第 3-4 図(23) 防潮壁縦断方向の入力地震動の加速度時刻歴波形及び加速度応答スペクトル (水平方向: S $_{\rm s}-1$ 3)

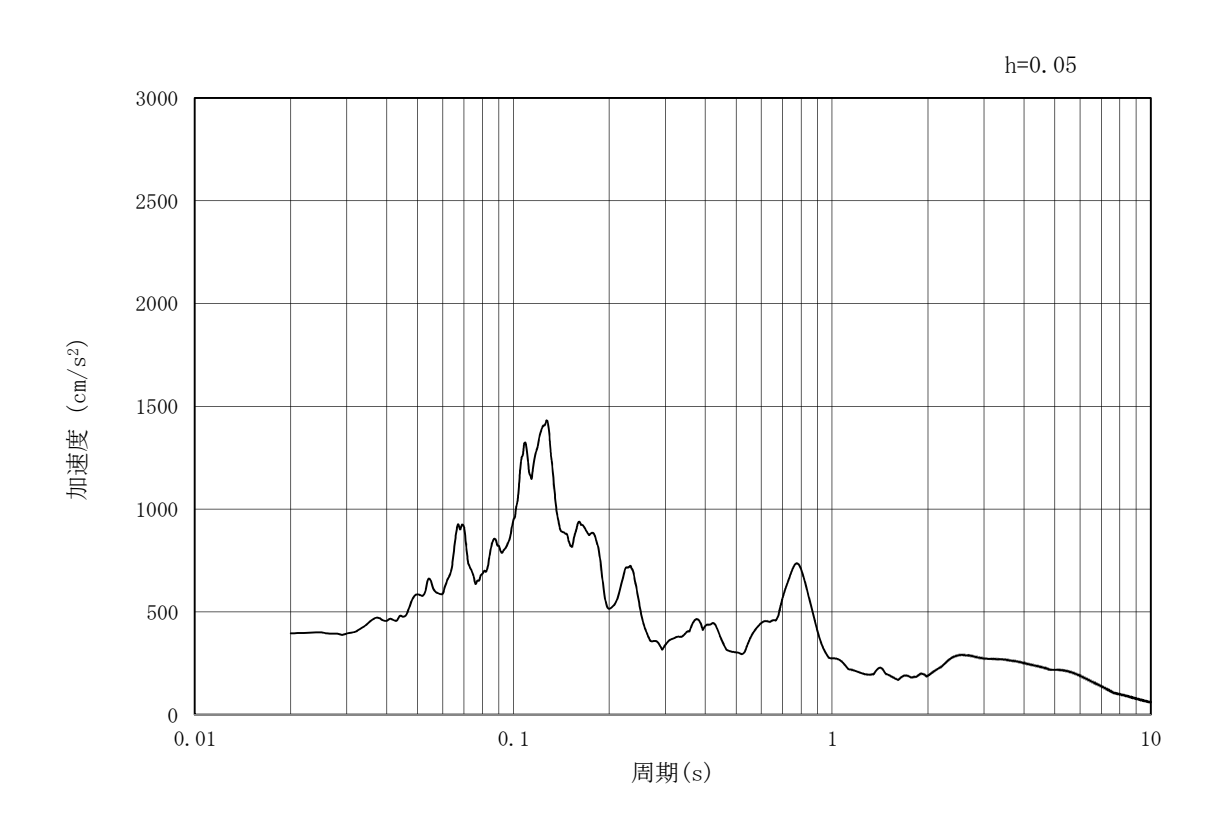




(b) 加速度応答スペクトル

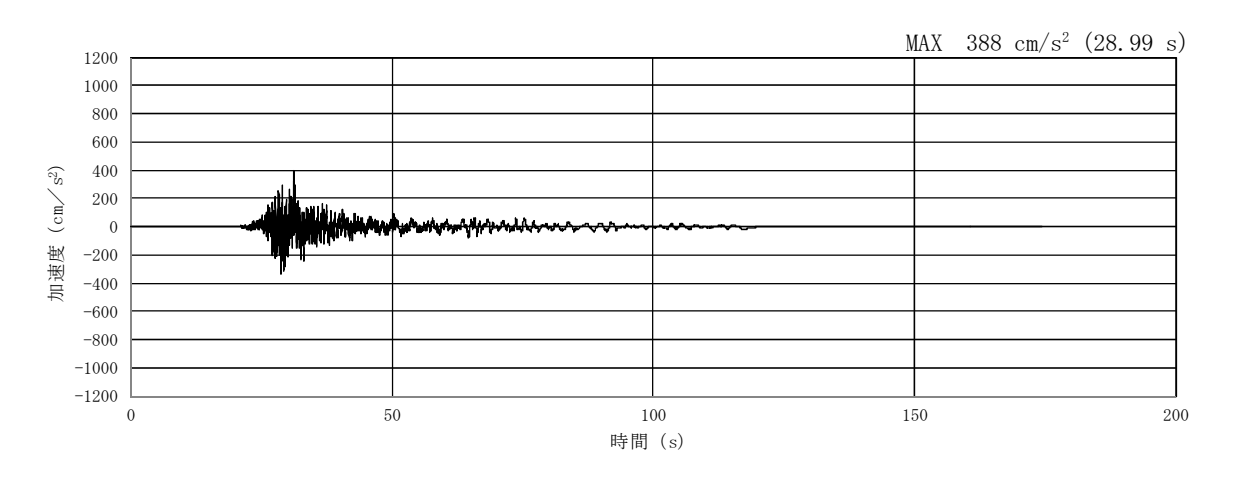
第 3-4 図(24) 防潮壁縦断方向の入力地震動の加速度時刻歴波形及び加速度応答スペクトル (鉛直方向: S_s-13)

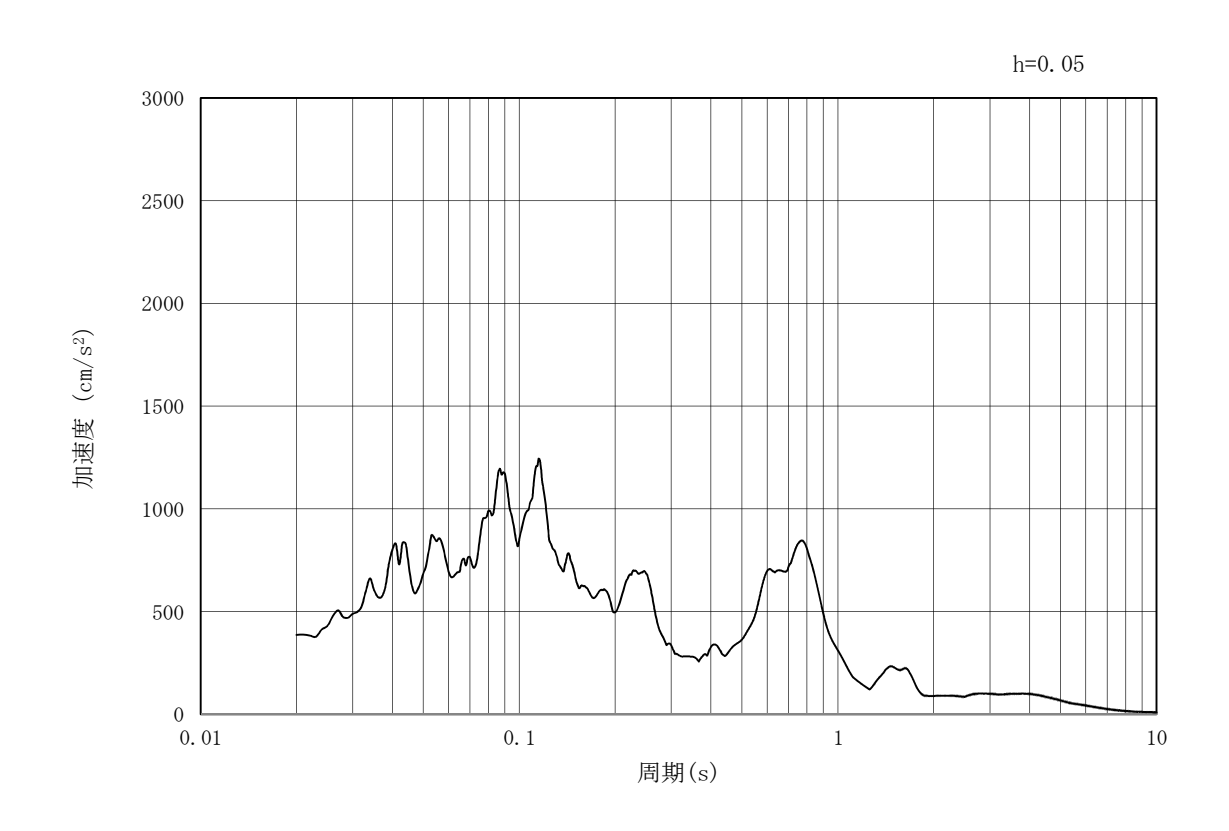




(b) 加速度応答スペクトル

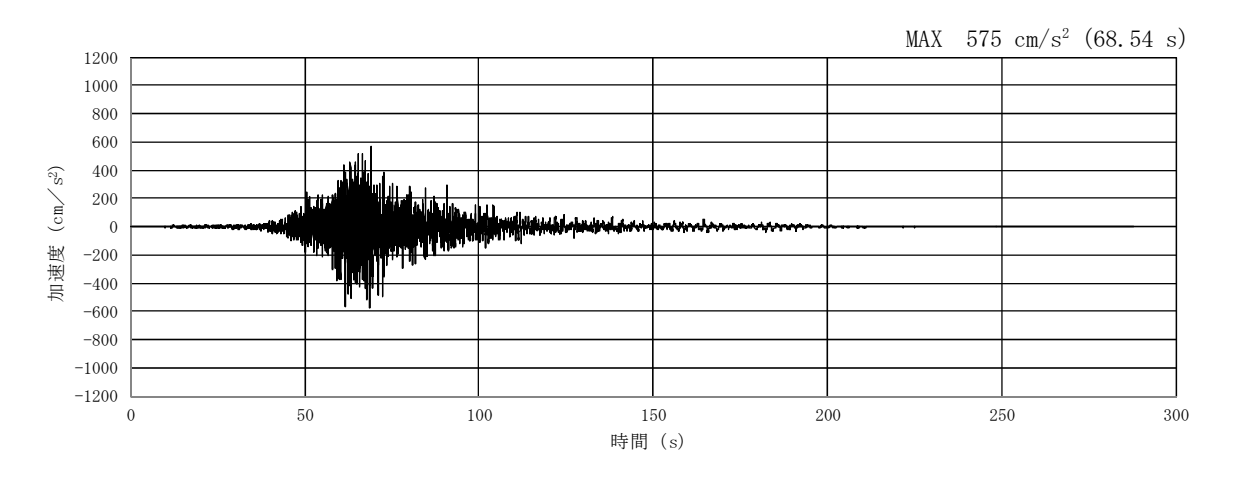
第 3-4 図(25) 防潮壁縦断方向の入力地震動の加速度時刻歴波形及び加速度応答スペクトル (水平方向: S $_{\rm s}-1$ 4)

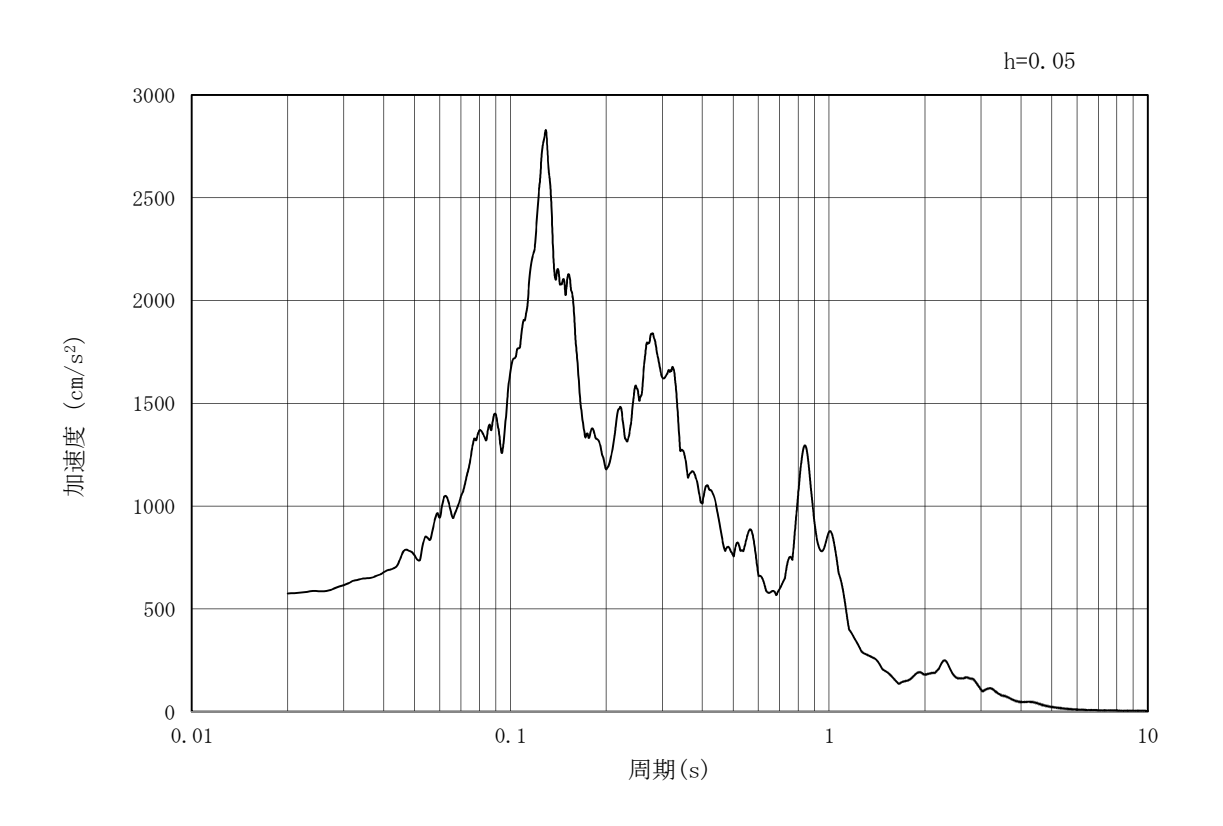




(b) 加速度応答スペクトル

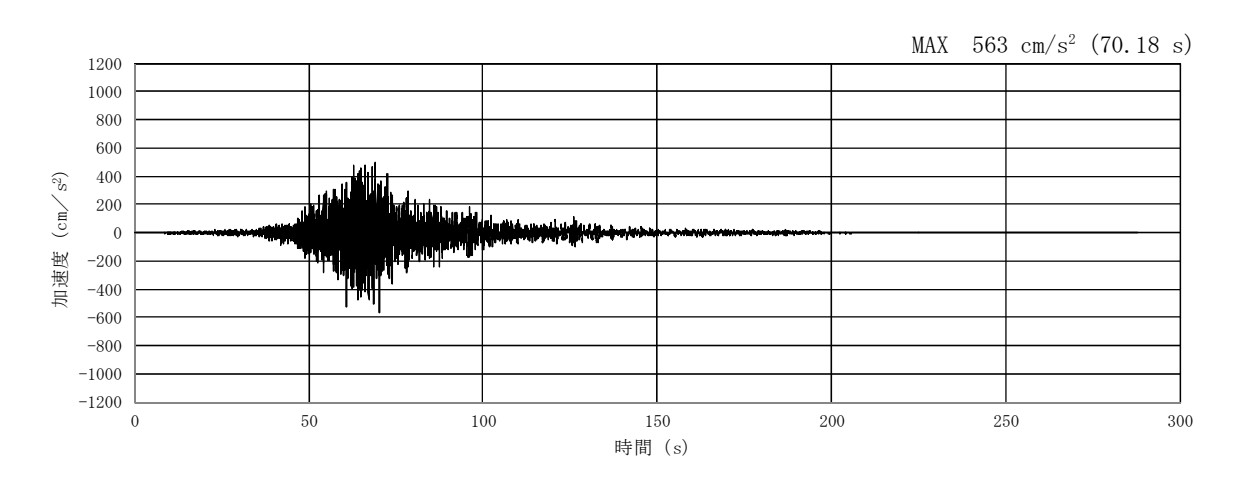
第 3-4 図(26) 防潮壁縦断方向の入力地震動の加速度時刻歴波形及び加速度応答スペクトル (鉛直方向: S_s-14)

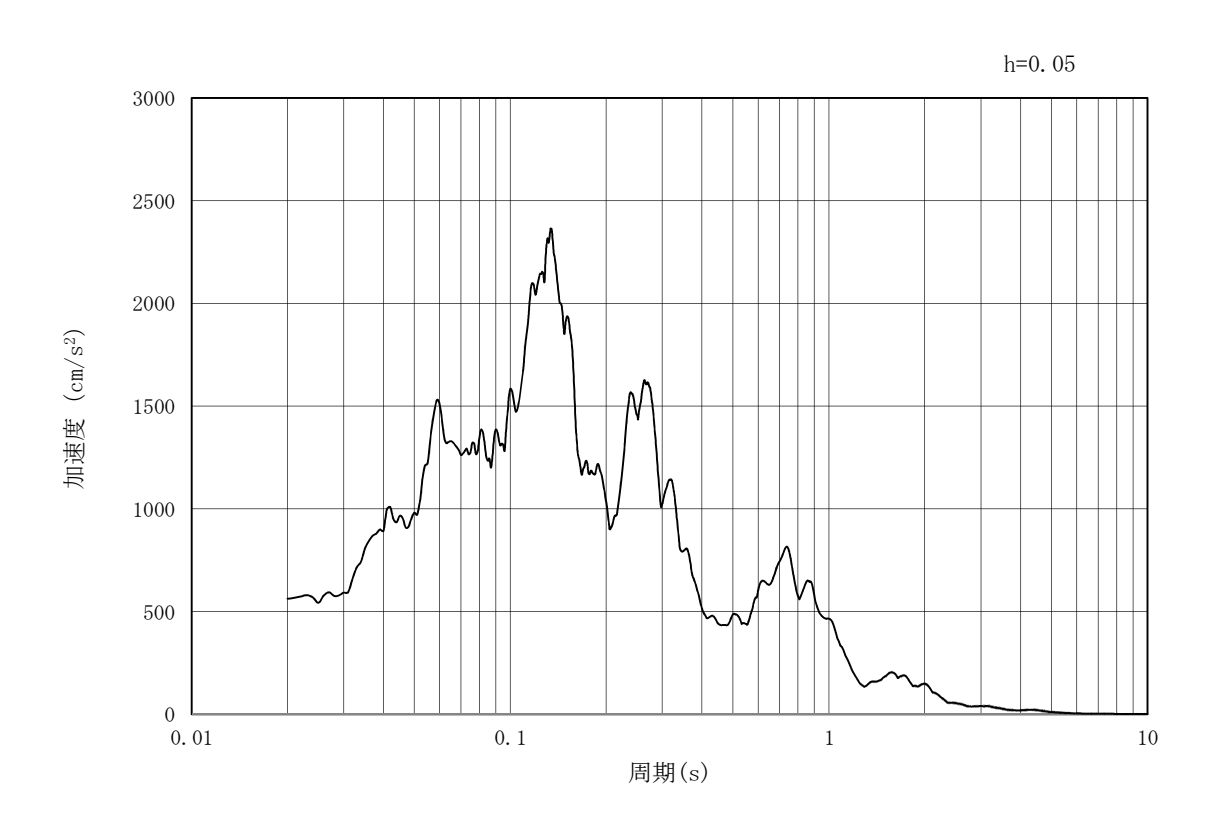




(b) 加速度応答スペクトル

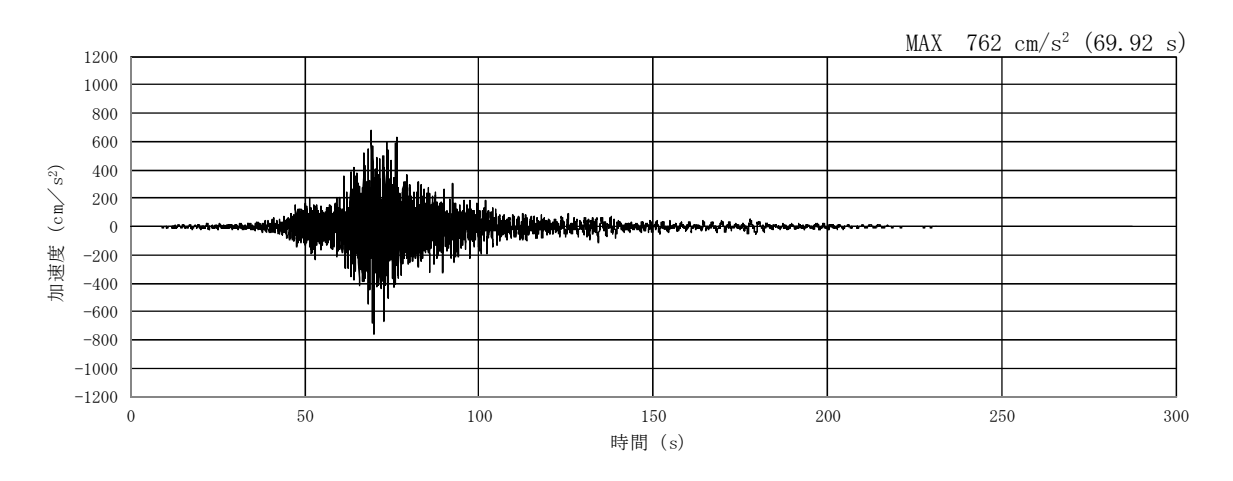
第 3-4 図(27) 防潮壁縦断方向の入力地震動の加速度時刻歴波形及び加速度応答スペクトル (水平方向: S $_{\rm s}-2$ 1)

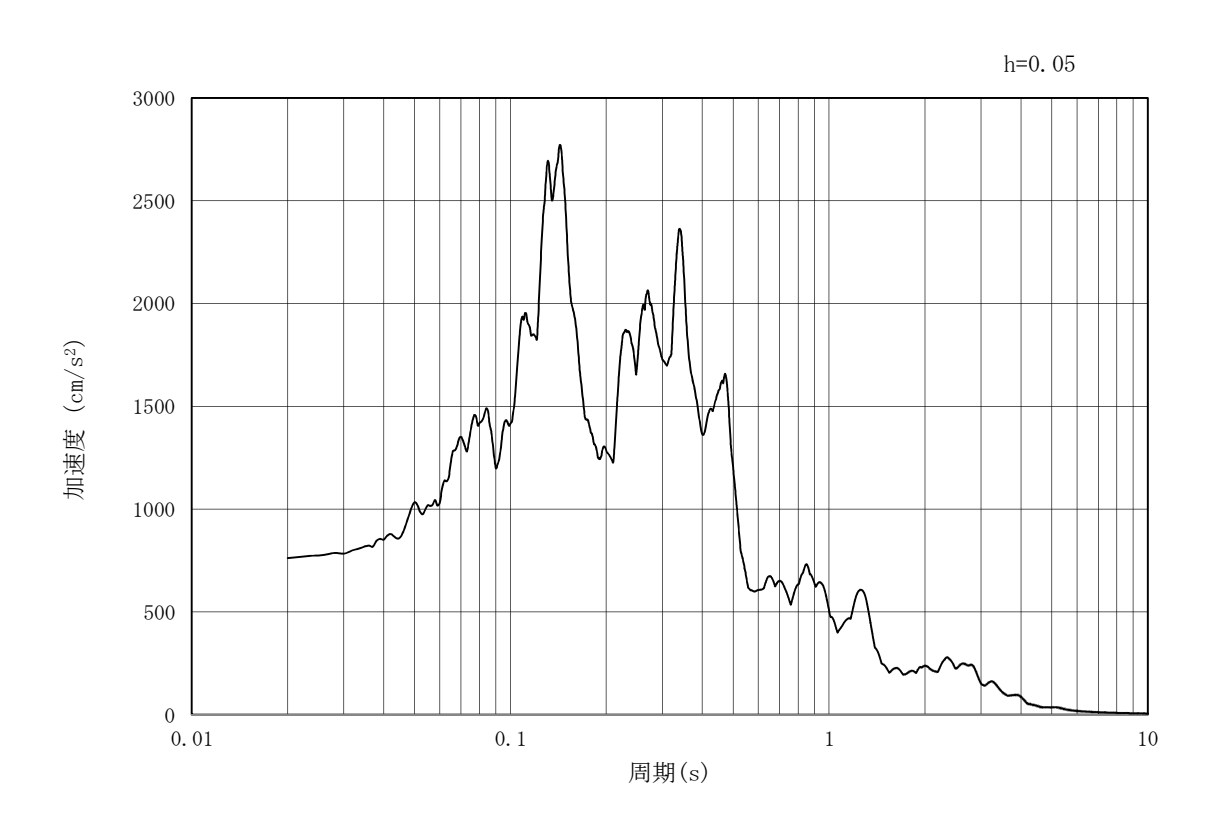




(b) 加速度応答スペクトル

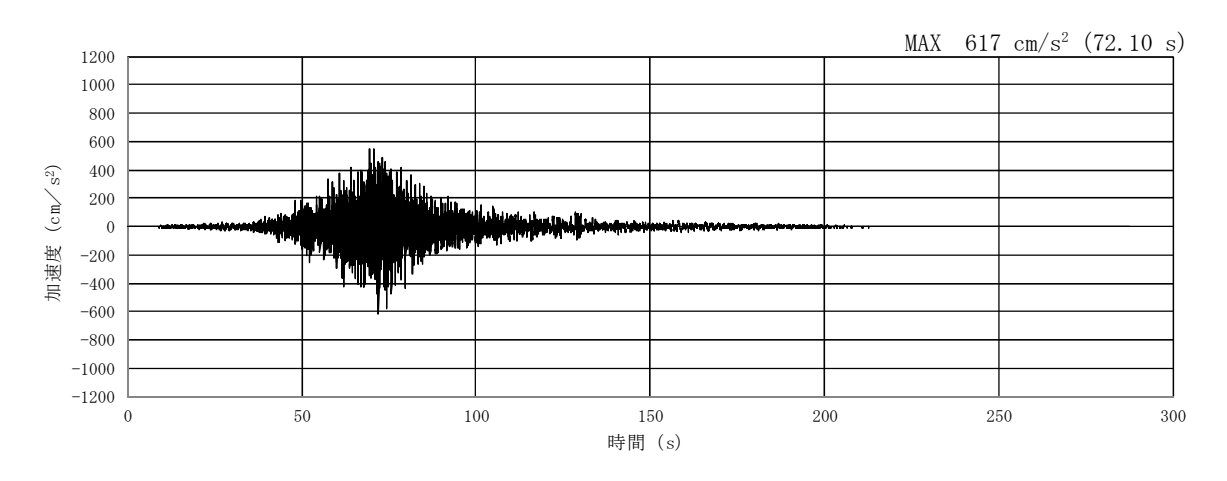
第 3-4 図(28) 防潮壁縦断方向の入力地震動の加速度時刻歴波形及び加速度応答スペクトル (鉛直方向: S $_{\rm s}-2$ 1)

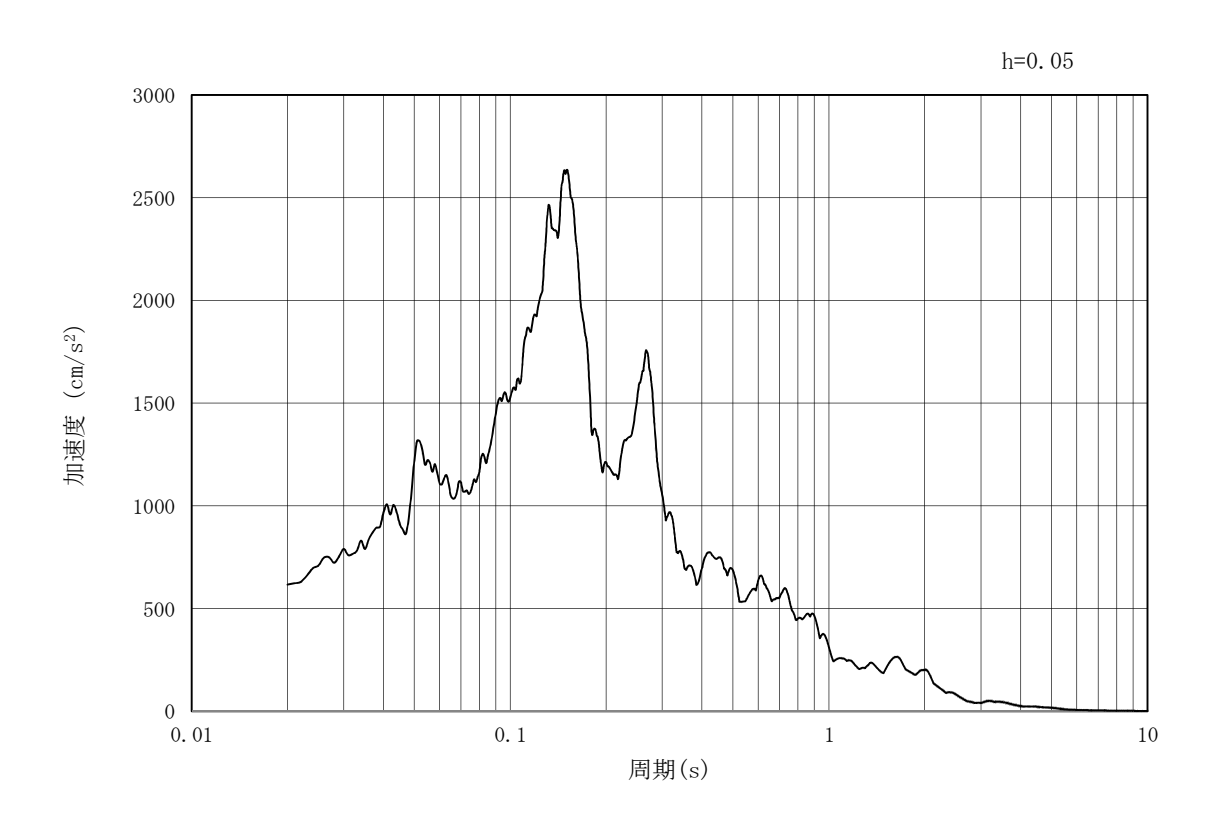




(b) 加速度応答スペクトル

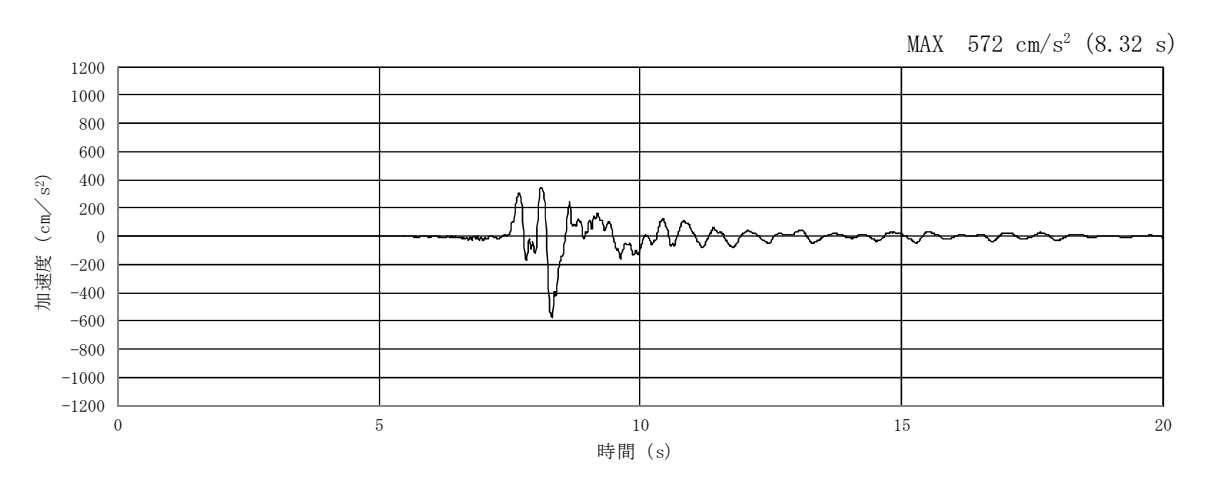
第 3-4 図(29) 防潮壁縦断方向の入力地震動の加速度時刻歴波形及び加速度応答スペクトル (水平方向: S $_{\rm s}-2$ 2)

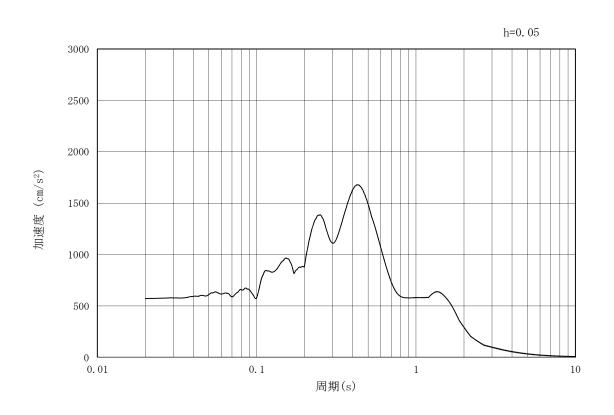




(b) 加速度応答スペクトル

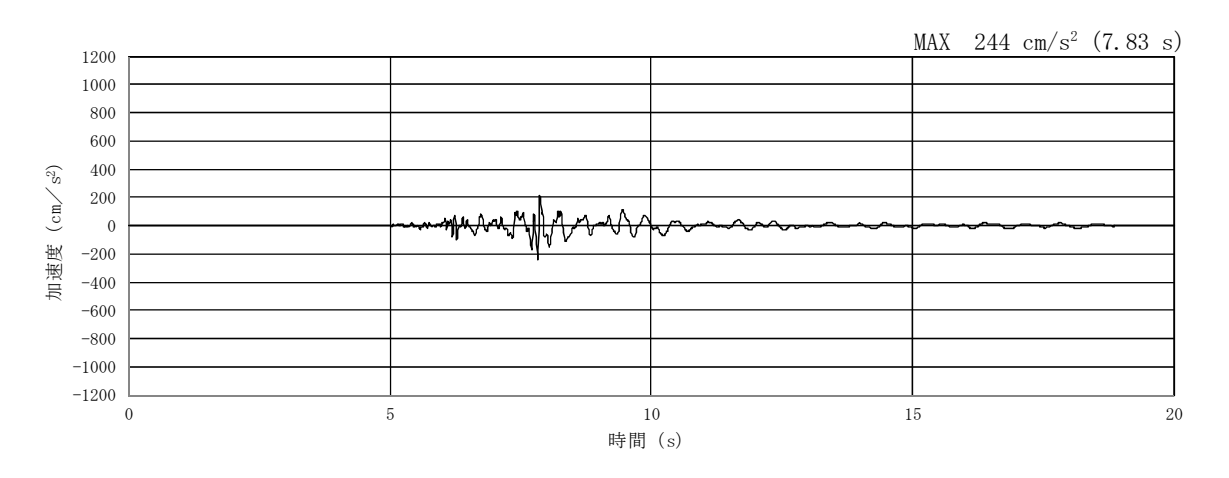
第 3-4 図(30) 防潮壁縦断方向の入力地震動の加速度時刻歴波形及び加速度応答スペクトル (鉛直方向: S_s-22)

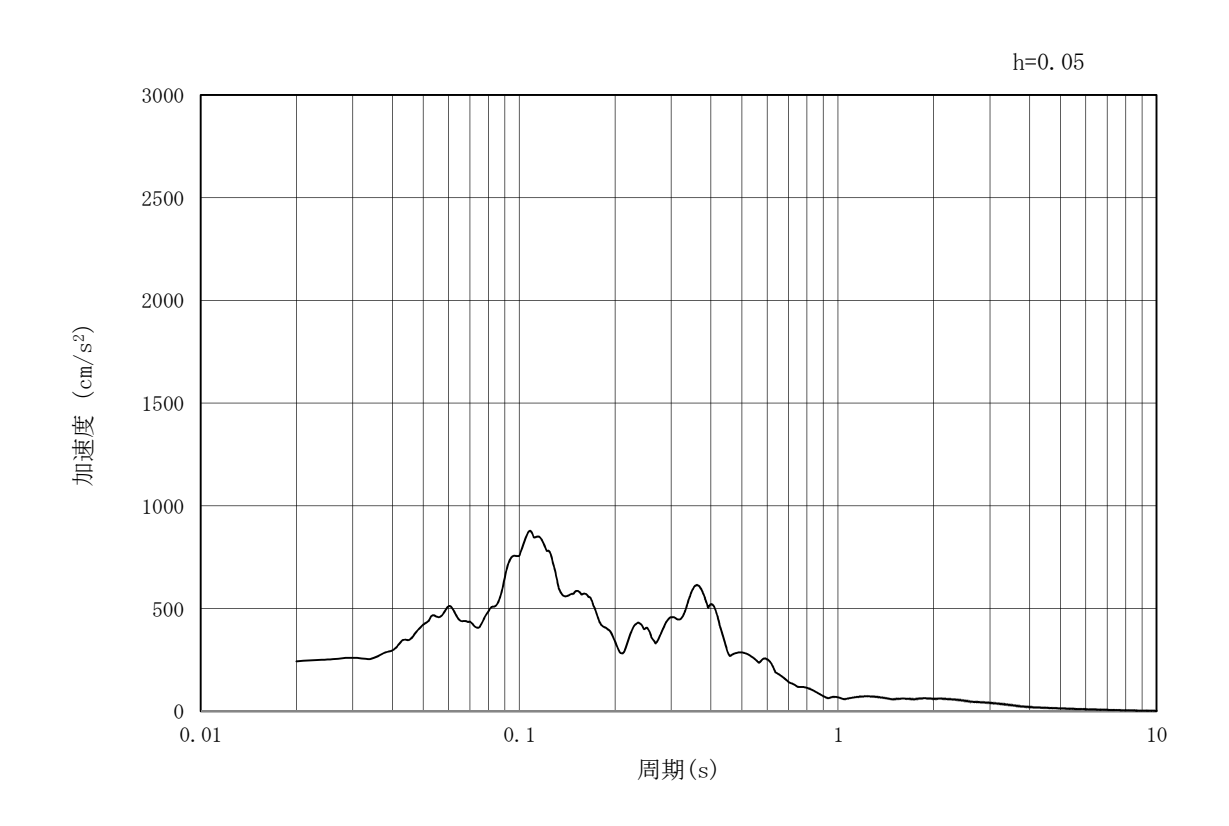




(b) 加速度応答スペクトル

第 3-4 図(31) 防潮壁縦断方向の入力地震動の加速度時刻歴波形及び加速度応答スペクトル (水平方向: S_s-3 1)





(b) 加速度応答スペクトル

第 3-4 図(32) 防潮壁縦断方向の入力地震動の加速度時刻歴波形及び加速度応答スペクトル (鉛直方向: S_s-31)

3.5 解析モデル及び諸元

3.5.1 解析モデル

鉄筋コンクリート防潮壁(放水路エリア)の地震応答解析モデルを第3-5図に示す。

(1) 解析領域

地震応答解析モデルは,境界条件の影響が地盤及び構造物の応力状態に影響を及ぼさないよう,十分広い領域とする。

(2) 境界条件

地震応答解析時の境界条件については,有限要素解析における半無限地盤を模擬するため,粘性境界を設ける。

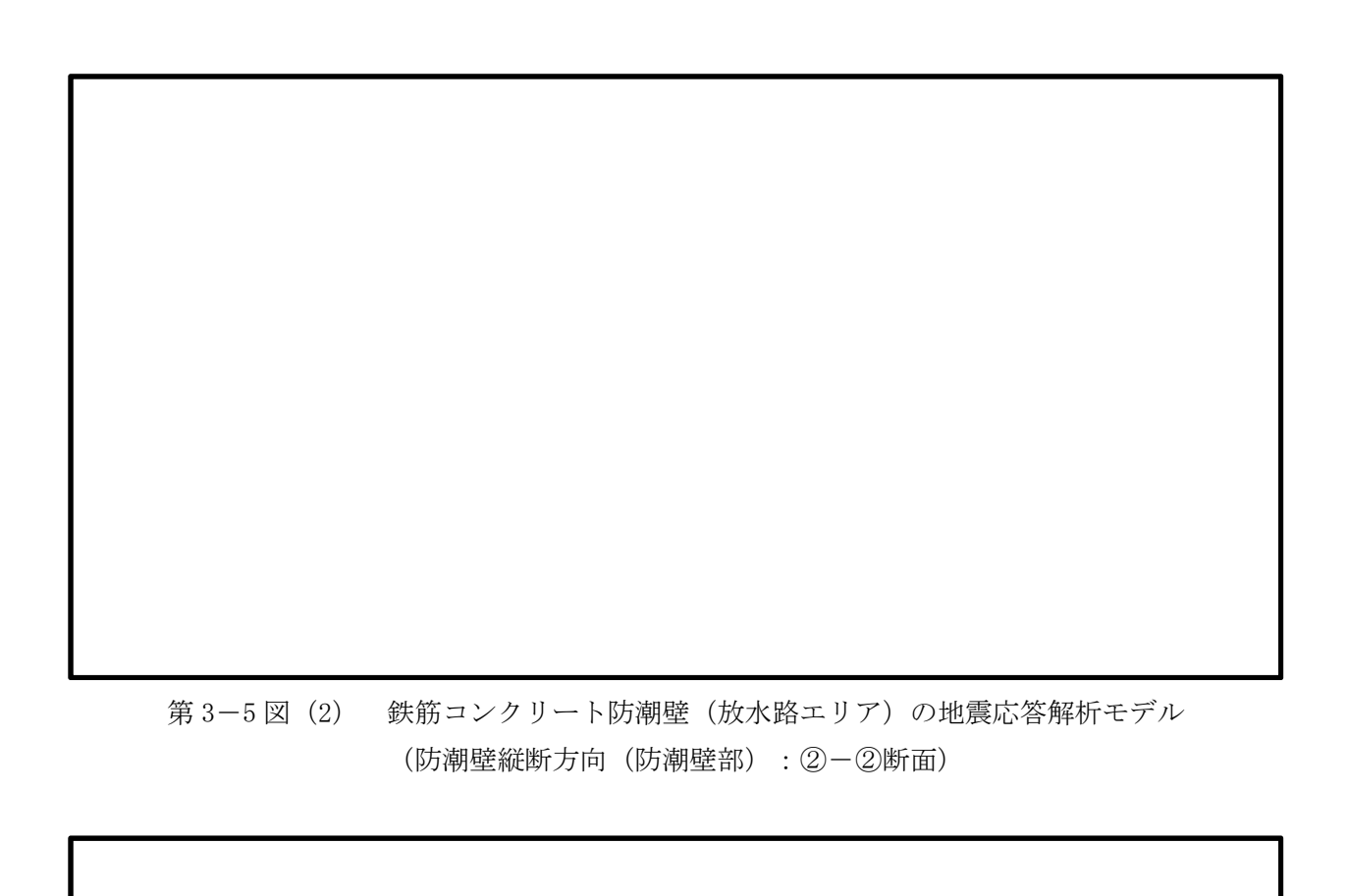
(3) 構造物のモデル化

防潮壁(放水路エリア)の構造部材は、線形はり要素及び平面要素によりモデル化する。

(4) 地盤のモデル化

地盤は、マルチスプリング要素及び間隙水要素にてモデル化し、地震時の有効応力の変化に応じた非線形せん断応力~せん断ひずみ関係を考慮する。

第 3-5 図 (1) 鉄筋コンクリート防潮壁 (放水路エリア) の地震応答解析モデル (防潮壁横断方向:①-①断面)



第3-5図(3) 鉄筋コンクリート防潮壁(放水路エリア)の地震応答解析モデル (防潮壁縦断方向(ゲート部): ③-③断面)

3.5.2 使用材料及び材料の物性値

使用材料を第3-4表に、材料の物性値を第3-5表に示す。

第3-4表 使用材料

使用箇所	材料	諸元				
防潮壁	鉄筋	SD345, SD490				
例例至	コンクリート	設計基準強度 40 N/mm²				
放水路	鉄筋	SD345				
/ / / / / / / / / / / / / / / / / / /	コンクリート	設計基準強度 40 N/mm²				
地中連続壁基礎	鉄筋	SD390, SD490				
地中连航堡基礎	コンクリート	設計基準強度 40 N/mm²				

第3-5表 材料の物性値

使用箇所	材料	単位体積重量	ヤング係数	ポアソン比	減衰定数
使用固別	1/1 1/1	(kN/m^3) *1	(N/mm^2) *1	*1	(%) *2
防潮壁	 鉄筋コンクリート 	24. 5	3.1×10^4	0. 2	5
放水路	鉄筋コンクリート	24. 5	3.1×10^4	0. 2	5
地中連続壁基礎	鉄筋コンクリート	24. 5	3.1×10^4	0. 2	5

注記 *1: 道路橋示方書 (I 共通編・IV下部構造編)・同解説 ((社)日本道路協会,平成 24 年 3 月)

*2:原子力発電所耐震設計技術指針 JEAG4601-1987 ((社)日本電気協会)

3.5.3 地盤の物性値

地盤の物性値は、添付書類「V-2-1-3 地盤の支持性能に係る基本方針」にて設定している物性値を用いる。

地盤の物性値を第3-6表~第3-8表に示す。

3.5.4 地下水位

地下水位は地表面として設定する。

第3-6表 地盤の解析用物性値一覧(液状化検討対象層)

				原地盤									
	パラメータ			埋戻土	埋戻土 第四系(液状化検討対象層)								
				fl	du Ag2 As Ag1 D2s-3 D2g-3 D1g-1					D1g-1			
物理特	密度 () は地下水位以浅	ρ	g/cm ³	1. 98 (1. 82)	1. 98 (1. 82)	2. 01 (1. 89)	1.74	2. 01 (1. 89)	1. 92	2. 15 (2. 11)	2. 01 (1. 89)	1. 958	
性	間隙比	е	_	0. 75	0.75	0.67	1. 2	0.67	0. 79	0. 43	0.67	0. 702	
	ポアソン比	ν _{CD}	_	0. 26	0. 26	0. 25	0. 26	0. 25	0. 19	0. 26	0. 25	0. 333	
変形	基準平均有効主応力 () は地下水位以浅		kN/m²	358 (312)	358 (312)	497 (299)	378	814 (814)	966	1167 (1167)	1695 (1710)	12. 6	
特性	基準初期せん断剛性 () は地下水位以浅	G_{ma}	kN/m²	253529 (220739)	253529 (220739)	278087 (167137)	143284	392073 (392073)	650611	1362035 (1362035)	947946 (956776)	18975	
	最大履歴減衰率	h _{max}	_	0. 220	0. 220	0. 233	0. 216	0. 221	0. 192	0. 130	0. 233	0. 287	
強度特	粘着力	C_{CD}	$\mathrm{N/mm}^2$	0	0	0	0.012	0	0.01	0	0	0	
特性	内部摩擦角	φ _{CD}	度	37. 3	37. 3	37. 4	41	37. 4	35. 8	44. 4	37. 4	30	
	液状化パラメータ	ф р	_	34. 8	34. 8	34. 9	38. 3	34. 9	33. 4	41. 4	34. 9	28	
) when	液状化パラメータ S ₁		_	0.047	0.047	0. 028	0.046	0. 029	0.048	0. 030	0.020	0.005	
液状化特性	液状化パラメータ	\mathbf{W}_1	_	6. 5	6. 5	56. 5	6. 9	51. 6	17. 6	45. 2	10. 5	5. 06	
	液状化パラメータ	パラメータ P ₁		1. 26	1. 26	9. 00	1.00	12.00	4. 80	8. 00	7. 00	0. 57	
生	液状化パラメータ	P_2	-	0.80	0.80	0.60	0.75	0.60	0.96	0.60	0.50	0.80	
	液状化パラメータ	C_1	_	2. 00	2.00	3. 40	2. 27	3. 35	3. 15	3. 82	2. 83	1.44	

第3-7表 地盤の解析用物性値一覧(非液状化層)

				原地盤									
	パラメータ			第四系(非	液状化層)	新第三系	捨石						
				Ac D2c-3 1m D1c-1*1		D1c-1*1			Km				
物理特	理 () は地下水位以浅		g/cm ³	1. 65	1. 77	1. 47 (1. 43)	_	1.72-1.03×10 ⁻⁴ · z	2. 04 (1. 84)				
性	間隙比	е	_	1. 59	1. 09	2.8	_	1. 16	0.82				
	ポアソン比	u CD	_	0. 10	0. 22	0. 14	_	0.16+0.00025 · z	0. 33				
変形特性	基準平均有効主応力 () は地下水位以浅	σ' _{ma}	kN/m²	480	696	249 (223)	_	51 LL	98				
	基準初期せん断剛性 () は地下水位以浅	G_{ma}	kN/m²	121829	285223	38926 (35783)	_	動的変形特性に基づき z (標高) 毎に物性値を 設定	180000				
	最大履歴減衰率	h_{\max}	_	0. 200	0. 186	0. 151	_		0. 24				
強度	粘着力	C_{CD}	$\mathrm{N/mm}^2$	0.025	0. 026	0.042	-	0.358-0.00603·z	0.02				
特 性	内部摩擦角	φ _{CD}	度	29. 1	35. 6	27. 3	_	23. 2+0. 0990· z	35				

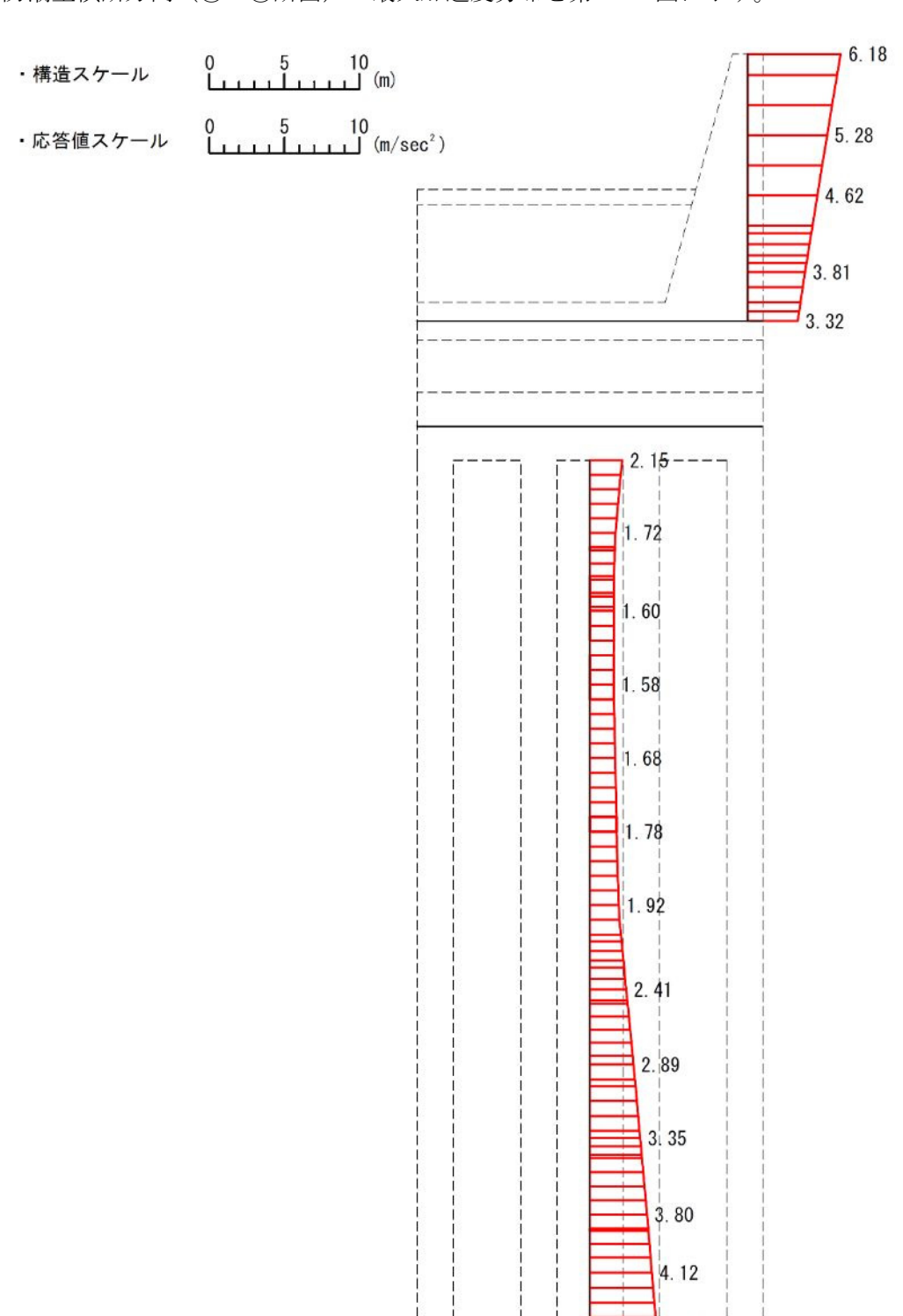
注記 *1:施設の耐震評価に影響を与えるものではないことから、解析用物性値として本表には 記載しない。

第3-8表 地盤の解析用物性値一覧(新第三系 Km 層)

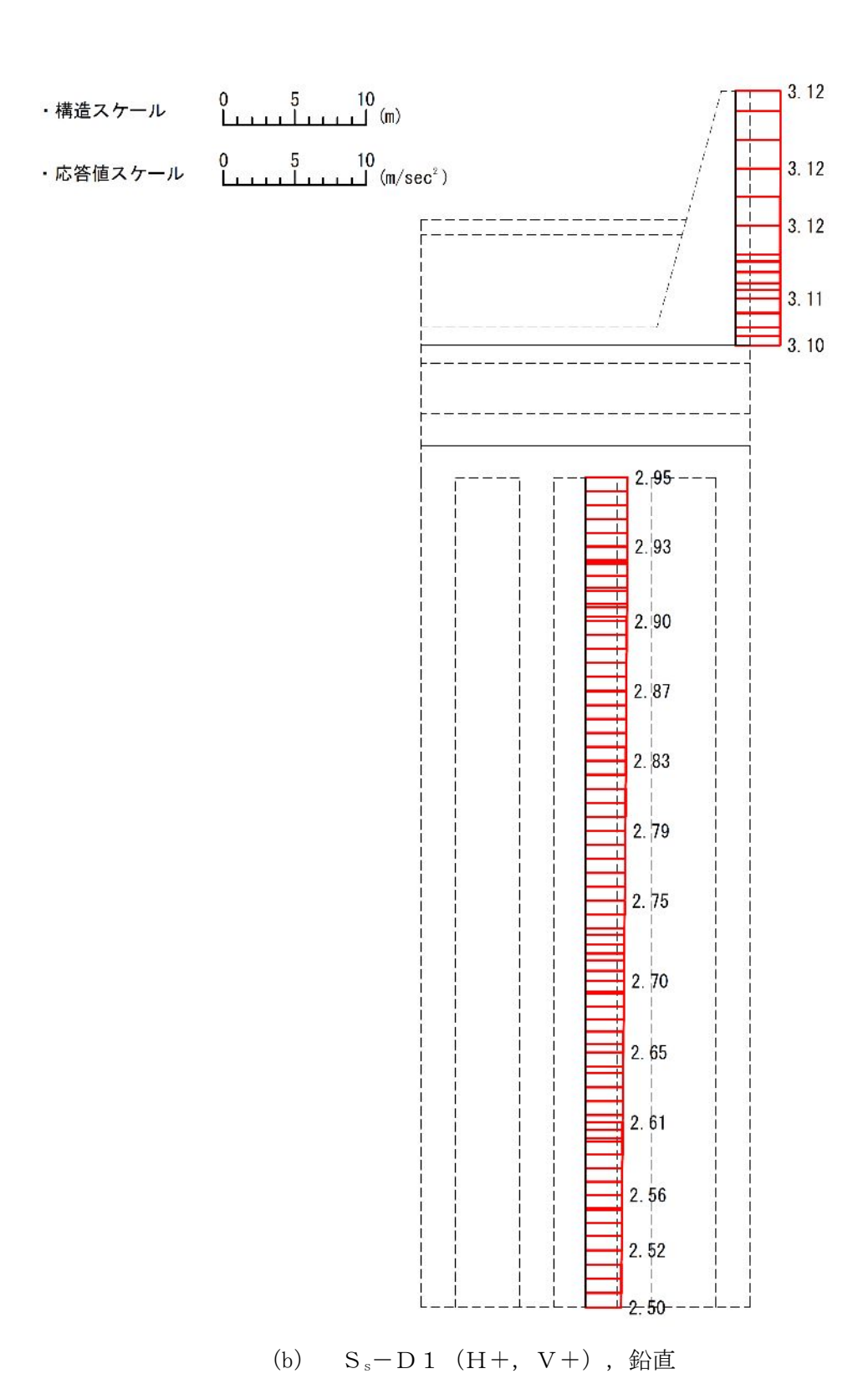
			×1.	3-8	1		14. NIVI	物性	75 (A) A)	二余 Km /	日 /			
区分	設定深度		密度	静ポアソン比	粘着力	内部摩擦角	せん断波	基準初期	基準体積	基準平均有効	拘束圧	最大履歴	動ポアソン比	疎密波
番号	T. P. (m)	適用深度	ρ	ν _{CD}	C _{CD}	Ф св	速度Vs	せん断剛性 Gma	弾性係数 Kma	主応力 σ'ma	依存係数	減衰率	ν _d	速度Vp
ш.у	Z	T. P. (m)	(g/cm ³)	▶ CD	(kN/m²)	(°)	(m/s)	(kN/m²)	(kN/m²)	(kN/m²)	mG, mK	hmax (-)	₽ d	(m/s)
1	10	9.5 ~ 10.5	1.72	0. 16	298	24. 2	425	310, 675	353, 317	504	0.0	0. 105	0. 464	1,640
2	9	8.5 ~ 9.5	1. 72	0.16	304	24. 1	426	312, 139	354, 982	504	0. 0	0. 105	0. 464	1,644
3	8	7.5 ~ 8.5	1. 72	0.16	310	24. 0	427	313, 606	356, 650	504	0. 0	0. 105	0. 464	1,648
4	7	6.5 ~ 7.5	1. 72	0.16	316	23. 9	428	315, 076	358, 322	504	0. 0	0. 105	0. 464	1,651
5	6	5.5 ~ 6.5	1.72	0. 16	322	23. 8	428	315, 076	358, 322	504	0.0	0. 105	0.464	1,651
6	5	4.5 ~ 5.5	1. 72	0.16	328	23. 7	429	316, 551	359, 999	504	0.0	0.106	0.464	1,655
7	4	3.5 ~ 4.5	1. 72	0. 16	334	23. 6	430	318, 028	361, 679	504	0.0	0. 106	0.463	1,638
8	3	2.5 ~ 3.5	1. 72	0. 16	340	23. 5	431	319, 509	363, 363	504	0.0	0. 106	0. 463	1,642
9	2			0. 16				319, 509	363, 363		0.0			
10	1	$1.5 \sim 2.5$ $0.5 \sim 1.5$	1.72	0. 16	346	23. 4	431	320, 993		504 504		0. 107	0.463	1,642
					352	23. 3	432	,	365, 051		0.0	0. 107	0. 463	1,646
11	0		1. 72	0.16	358	23. 2	433	322, 481	366, 743	504	0.0	0. 107	0.463	1,650
12	-1	-1.5 ~ -0.5	1.72	0.16	364	23. 1	434	323, 972	368, 439	504	0.0	0.108	0.463	1,653
13	-2	-2.5 ~ -1.5	1.72	0.16	370	23. 0	435	325, 467	370, 139	504	0.0	0.108	0.463	1,657
14	-3	-3.5 ~ -2.5	1.72	0.16	376	22. 9	435	325, 467	370, 139	504	0.0	0.108	0. 463	1,657
15	-4	-4.5 ~ -3.5	1.72	0.16	382	22. 8	436	326, 965	371, 843	504	0.0	0.108	0.463	1,661
16	-5	-5.5 ~ -4.5	1.72	0.16	388	22.7	437	328, 467	373, 551	504	0.0	0.109	0.462	1,644
17	-6	-6.5 ~ -5.5	1.72	0.16	394	22.6	438	329, 972	375, 262	504	0.0	0.109	0.462	1,648
18	-7	-7.5 ~ -6.5	1.72	0.16	400	22. 5	438	329, 972	375, 262	504	0.0	0.109	0.462	1,648
19	-8	-8.5 ~ -7.5	1.72	0.16	406	22. 4	439	331, 480	376, 977	504	0.0	0.109	0.462	1,652
20	-9	-9.5 ~ -8.5	1.72	0.16	412	22. 3	440	332, 992	378, 697	504	0.0	0.110	0.462	1,656
21	-10	-11 ~ -9.5	1.72	0.16	418	22. 2	441	334, 507	380, 420	504	0.0	0.110	0.462	1,659
22	-12	-13 ~ -11	1.72	0.16	430	22.0	442	336, 026	382, 147	504	0.0	0.110	0.462	1,663
23	-14	-15 ∼ -13	1.72	0.16	442	21.8	444	339, 074	385, 614	504	0.0	0.111	0.462	1,671
24	-16	-17 ∼ -15	1.72	0.16	454	21.6	445	340, 603	387, 352	504	0.0	0.111	0.461	1,654
25	-18	-19 ∼ -17	1.72	0.16	467	21.4	447	343, 671	390, 842	504	0.0	0.112	0.461	1,662
26	-20	-21 ∼ -19	1.72	0.16	479	21. 2	448	345, 211	392, 593	504	0.0	0.112	0.461	1,665
27	-22	-23 ∼ -21	1.72	0.15	491	21.0	450	348, 300	381, 471	498	0.0	0.112	0.461	1,673
28	-24	-25 ∼ -23	1.72	0.15	503	20.8	452	351, 403	384, 870	498	0.0	0.113	0.461	1,680
29	-26	-27 ∼ -25	1.72	0.15	515	20.6	453	352, 959	386, 574	498	0.0	0.113	0.460	1,664
30	-28	-29 ∼ -27	1.72	0.15	527	20.4	455	356, 083	389, 996	498	0.0	0.114	0.460	1,672
31	-30	-31 ∼ -29	1.72	0.15	539	20. 2	456	357, 650	391, 712	498	0.0	0.114	0.460	1,675
32	-32	-33 ∼ -31	1.72	0.15	551	20.0	458	360, 794	395, 155	498	0.0	0.115	0.460	1,683
33	-34	-35 ∼ -33	1.72	0.15	563	19.8	459	362, 371	396, 883	498	0.0	0.115	0.459	1,667
34	-36	-37 ∼ -35	1.72	0.15	575	19.6	461	365, 536	400, 349	498	0.0	0.115	0.459	1,675
35	-38	-39 ∼ -37	1.72	0.15	587	19. 4	462	367, 124	402, 088	498	0.0	0.116	0.459	1,678
36	-40	-41 ∼ -39	1.72	0.15	599	19. 2	464	370, 309	405, 577	498	0.0	0.116	0.459	1,685
37	-42	-43 ∼ -41	1.72	0.15	611	19.0	465	371, 907	407, 327	498	0.0	0.117	0.459	1,689
38	-44	-45 ∼ -43	1.72	0.15	623	18.8	467	375, 113	410, 838	498	0.0	0.117	0.458	1,678
39	-46	-47 ∼ -45	1.72	0.15	635	18.6	468	376, 721	412, 599	498	0.0	0.117	0.458	1,681
40	-48	-49 ∼ -47	1.72	0.15	647	18. 4	470	379, 948	416, 134	498	0.0	0.118	0.458	1,688
41	-50	-51 ∼ -49	1.73	0.15	660	18.3	472	385, 416	422, 122	498	0.0	0.118	0. 458	1,696
42	-52	-53 ∼ -51	1.73	0.15	672	18. 1	473	387, 051	423, 913	498	0.0	0.118	0.458	1,699
43	-54	-55 ∼ -53	1.73	0.15	684	17. 9	475	390, 331	427, 505	498	0.0	0.118	0. 457	1,688
44	-56	-57 ∼ -55	1.73	0.15	696	17. 7	476	391, 976	429, 307	498	0.0	0.119	0. 457	1,692
45	-58	-59 ∼ -57	1.73	0.15	708	17. 5	478	395, 277	432, 922	498	0.0	0.119	0. 457	1,699
46	-60	-61 ∼ -59	1.73	0.15	720	17. 3	479	396, 933	434, 736	498	0.0	0.120	0. 457	1,702
47	-62	-63 ∼ -61	1.73	0.14	732	17. 1	481	400, 255	422, 491	492	0.0	0.120	0. 457	1,709
48	-64	-65 ∼ -63	1.73	0.14	744	16. 9	482	401, 921	424, 250	492	0.0	0.120	0. 456	1,695
49	-66	-67 ∼ -65	1.73	0.14	756	16.7	484	405, 263	427, 778	492	0.0	0.120	0.456	1,702
50	-68	-69 ∼ -67	1.73	0.14	768	16. 5	485	406, 939	429, 547	492	0.0	0. 121	0.456	1,705
51	-70	-71 ∼ -69	1.73	0.14	780	16.3	487	410, 302	433, 097	492	0.0	0.121	0. 456	1,712
52	-72	-73 ∼ -71	1.73	0.14	792	16.1	489	413, 679	436, 661	492	0.0	0.121	0. 456	1,719
53	-74	-75 ∼ -73	1.73	0.14	804	15. 9	490	415, 373	438, 449	492	0.0	0.122	0. 455	1,705
54	-76	-77 ∼ -75	1.73	0.14	816	15. 7	492	418, 771	442, 036	492	0.0	0.122	0. 455	1,712
55	-78	−79 ~ −77	1.73	0.14	828	15. 5	493	420, 475	443, 835	492	0.0	0.122	0. 455	1,716
56	-80	-81 ∼ -79	1.73	0.14	840	15. 3	495	423, 893	447, 443	492	0.0	0.122	0. 455	1,723
57	-82	-85 ∼ -81	1.73	0.14	852	15. 1	496	425, 608	449, 253	492	0.0	0. 123	0. 455	1,726
58	-88	-90 ∼ -85	1.73	0.14	889	14.5	501	434, 232	458, 356	492	0.0	0.124	0. 454	1,726
59	-92	-95 ∼ -90	1.73	0.14	913	14.1	504	439, 448	463, 862	492	0.0	0.124	0. 454	1,736
60	-98	-101 ∼ -95	1.73	0.14	949	13.5	509	448, 210	473, 111	492	0.0	0.125	0.453	1,736
61	-104	-108 ~ -101	1.73	0.13	985	12.9	513	455, 282	463, 485	486	0.0	0.126	0.452	1,733
62	-112	-115 ~ -108	1.73	0.13	1,033	12.1	519	465, 995	474, 391	486	0.0	0.127	0.451	1,737
63	-118	-122 ~ -115	1.73	0.13	1,070	11.5	524	475, 016	483, 575	486	0.0	0.127	0.451	1,754
64	-126	-130 ~ -122	1.73	0.13	1, 118	10.7	530	485, 957	494, 713	486	0.0	0.128	0.450	1,758

4. 解析結果

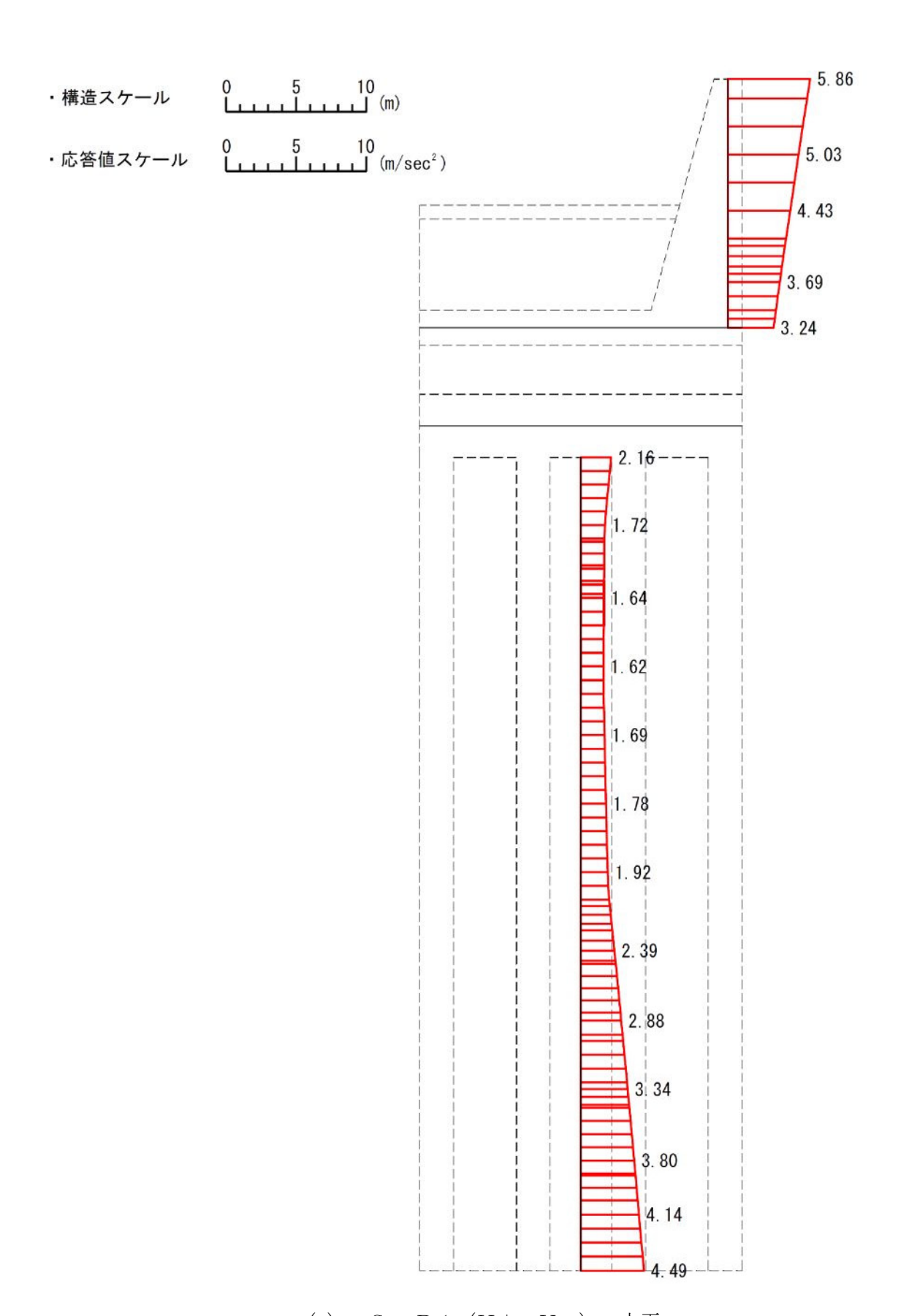
4.1 防潮壁横断方向 (①-①断面) の解析結果 防潮壁横断方向 (①-①断面) の最大加速度分布を第 4-1 図に示す。

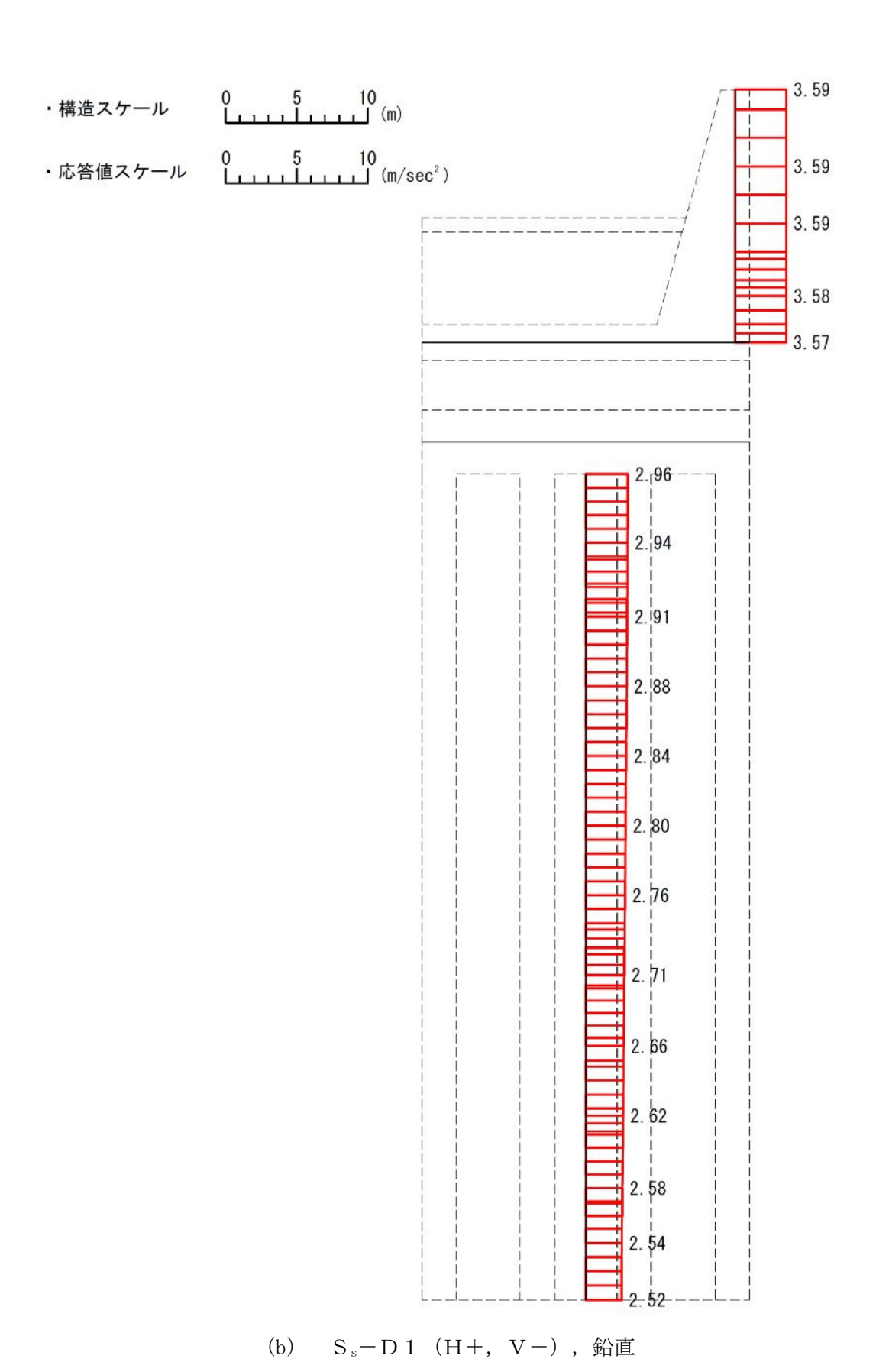


(a) S_s-D1 (H+, V+) , 水平

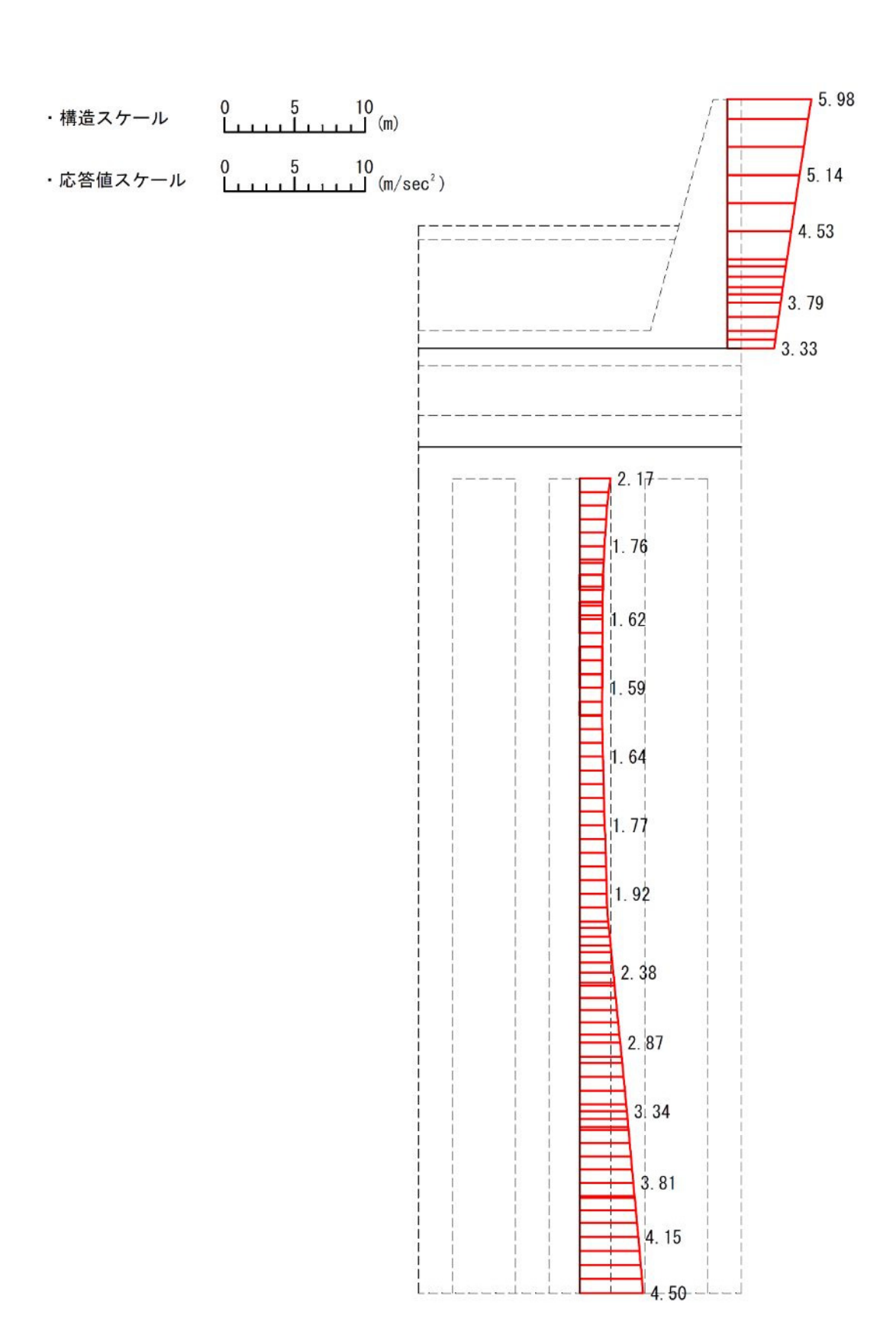


第4-1図(1) 防潮壁横断方向(①-①断面)の最大加速度分布図 (①原地盤に基づく液状化強度特性を用いた解析ケース)

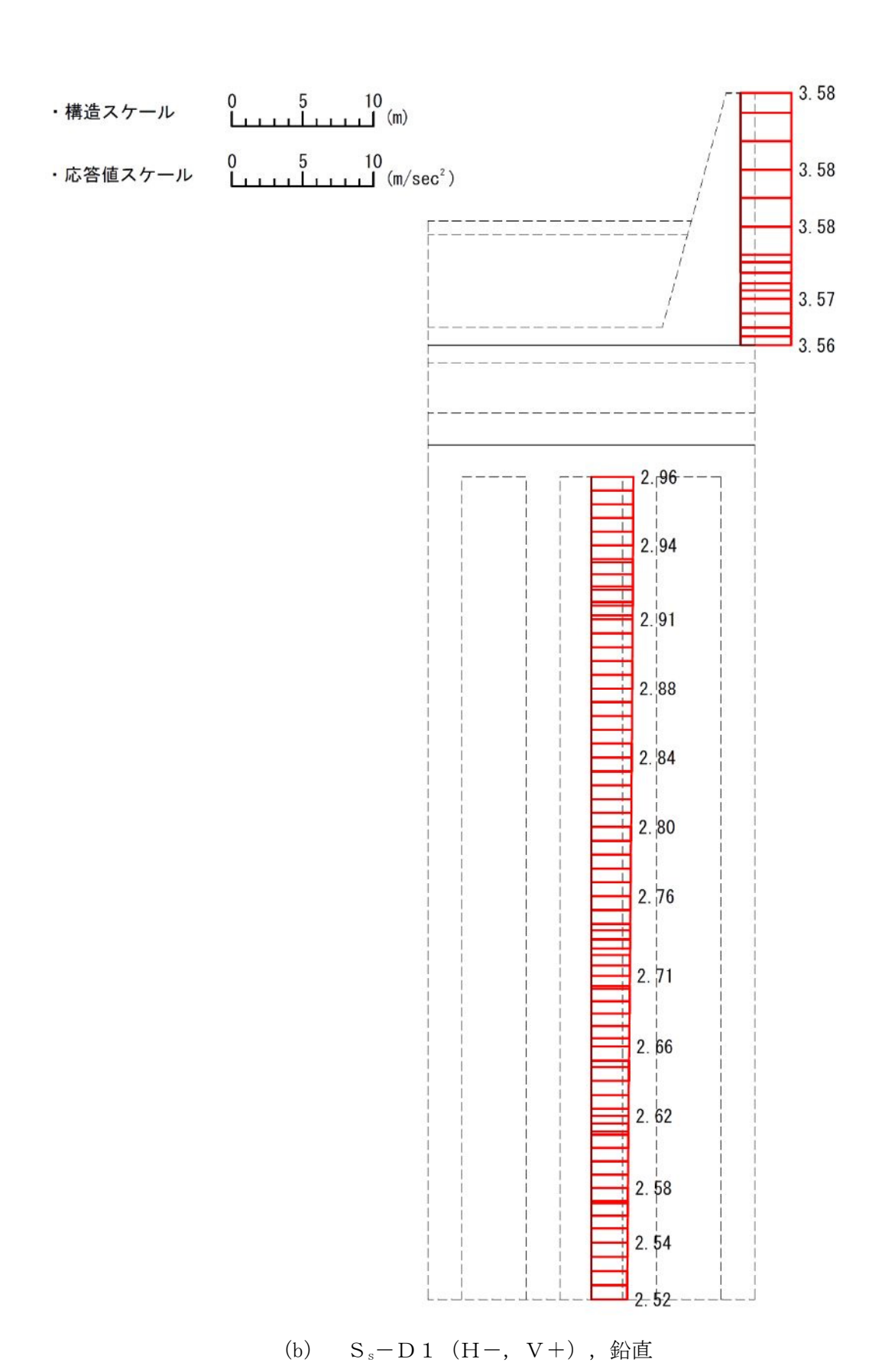




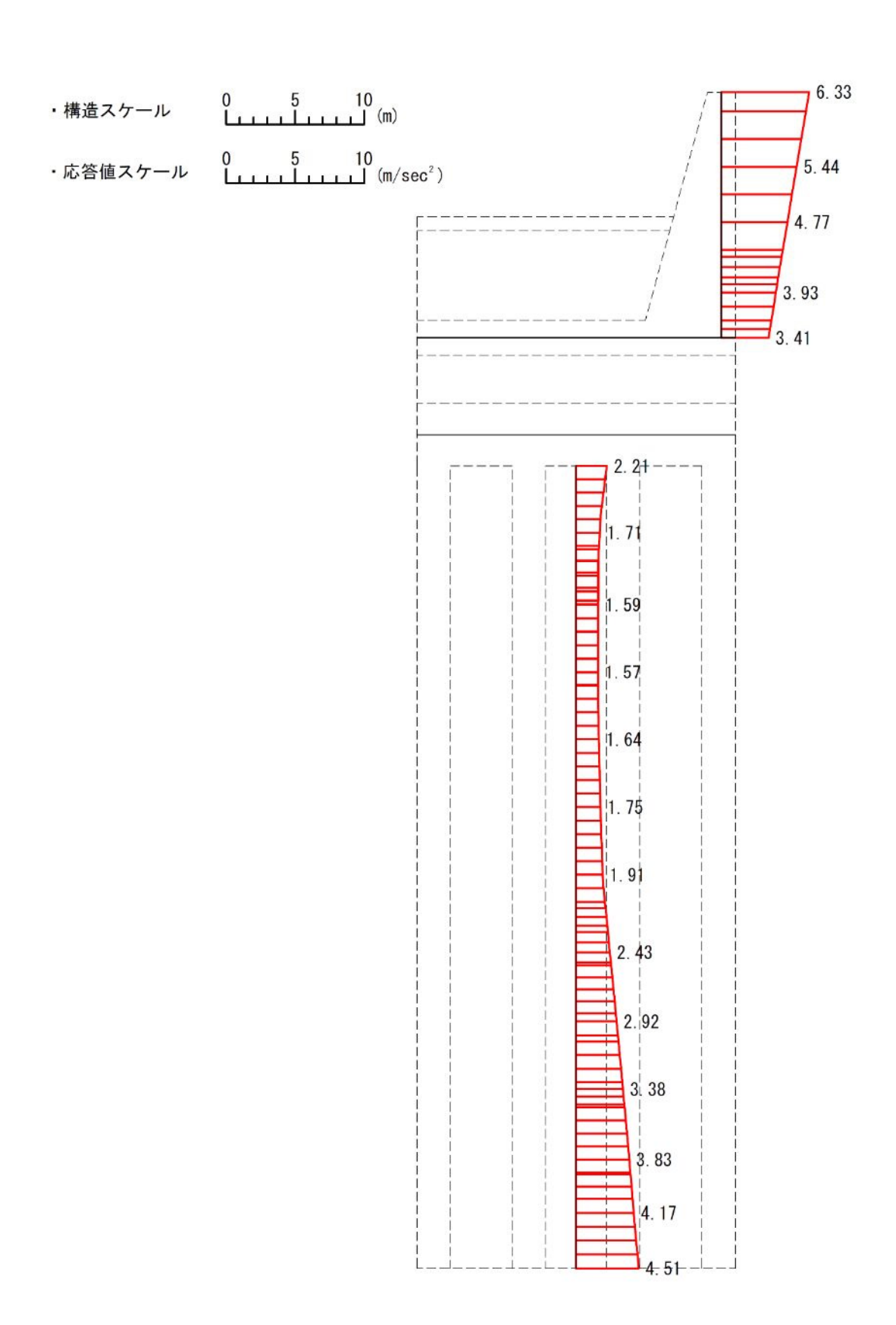
第 4-1 図 (2) 防潮壁横断方向(①-①断面)の最大加速度分布図 (①原地盤に基づく液状化強度特性を用いた解析ケース)



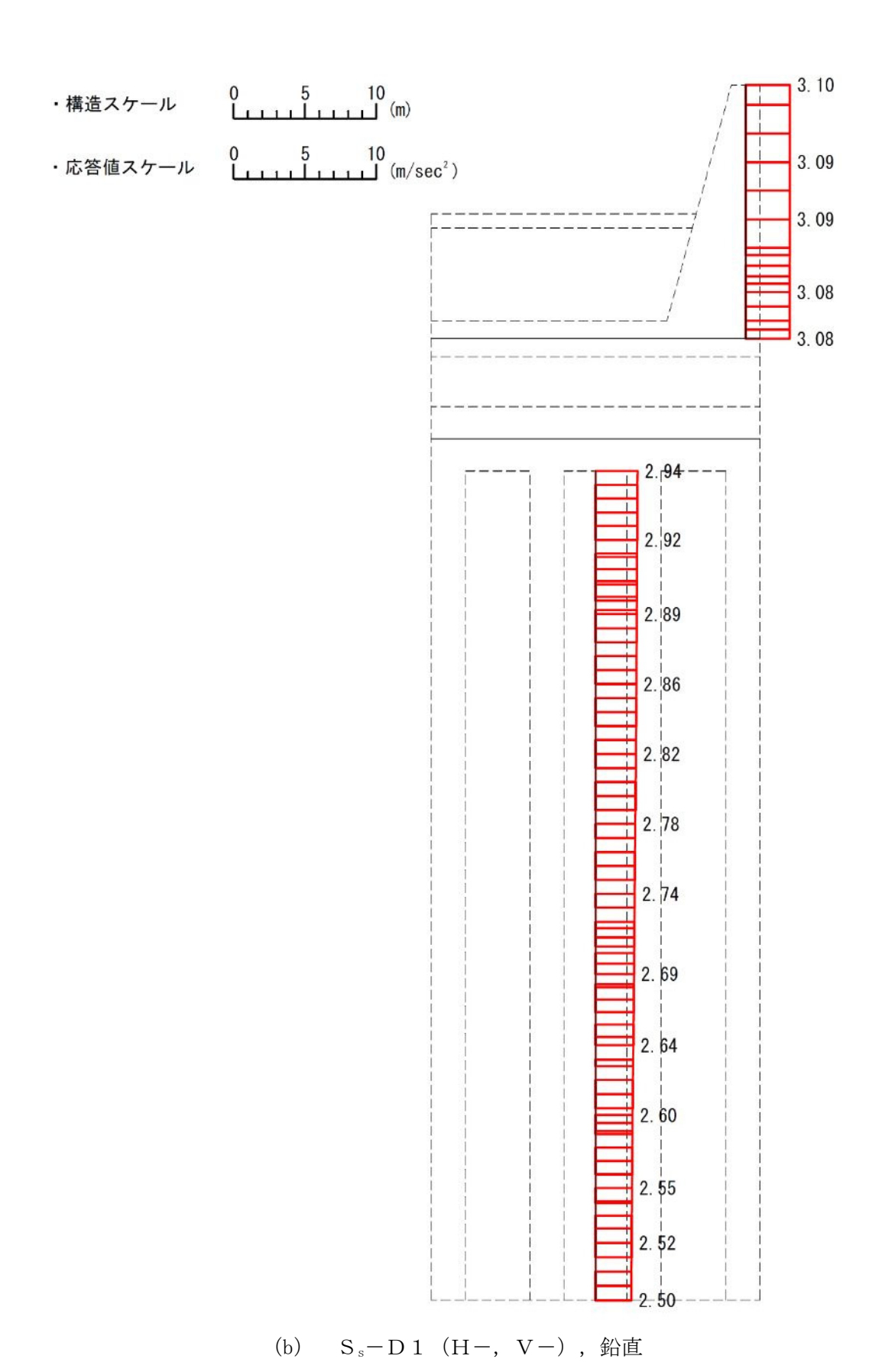
(a) $S_s\!-\!D\,1$ (H-, V+) , 水平



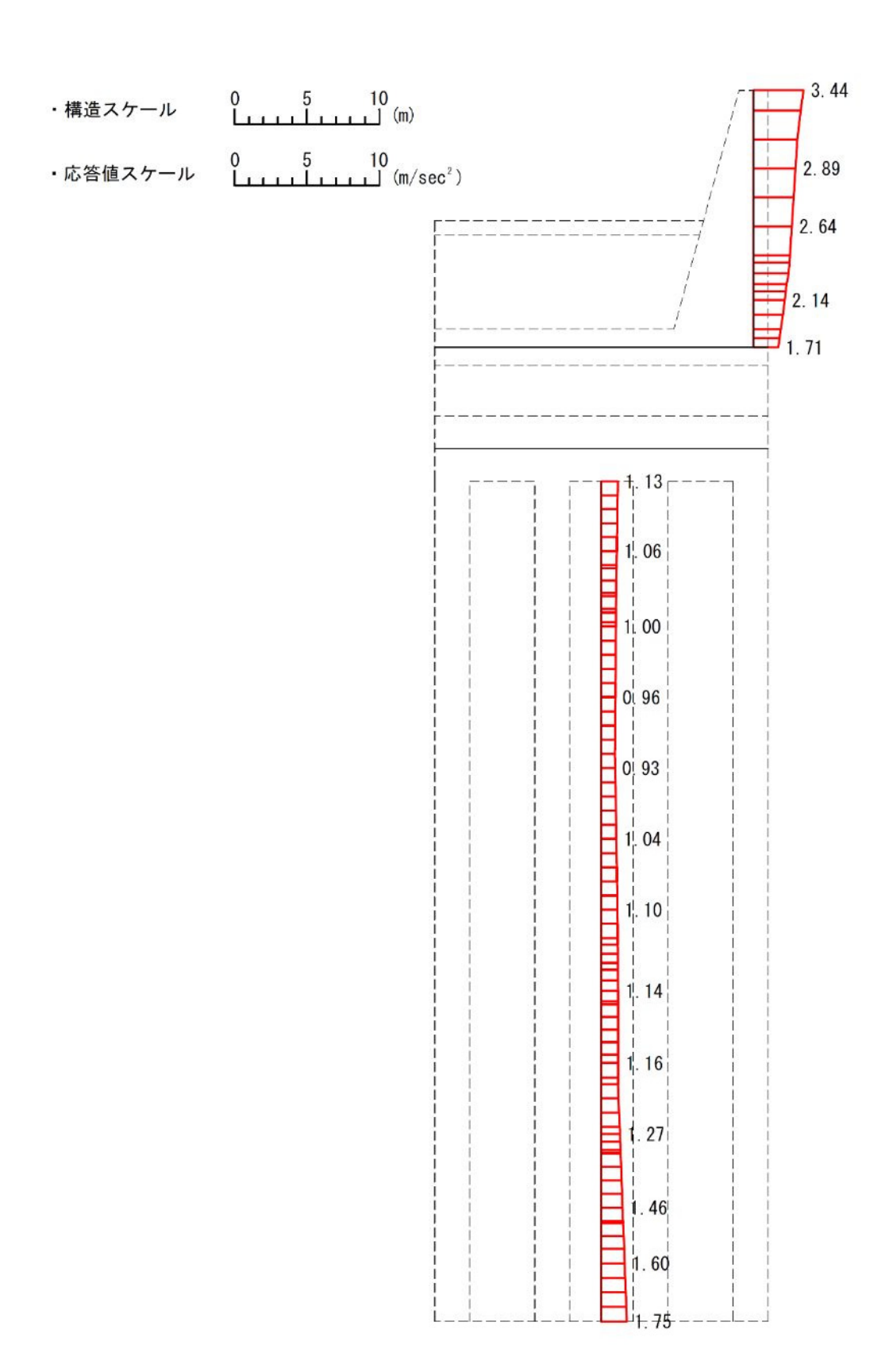
第 4-1 図 (3) 防潮壁横断方向(①-①断面)の最大加速度分布図 (①原地盤に基づく液状化強度特性を用いた解析ケース)



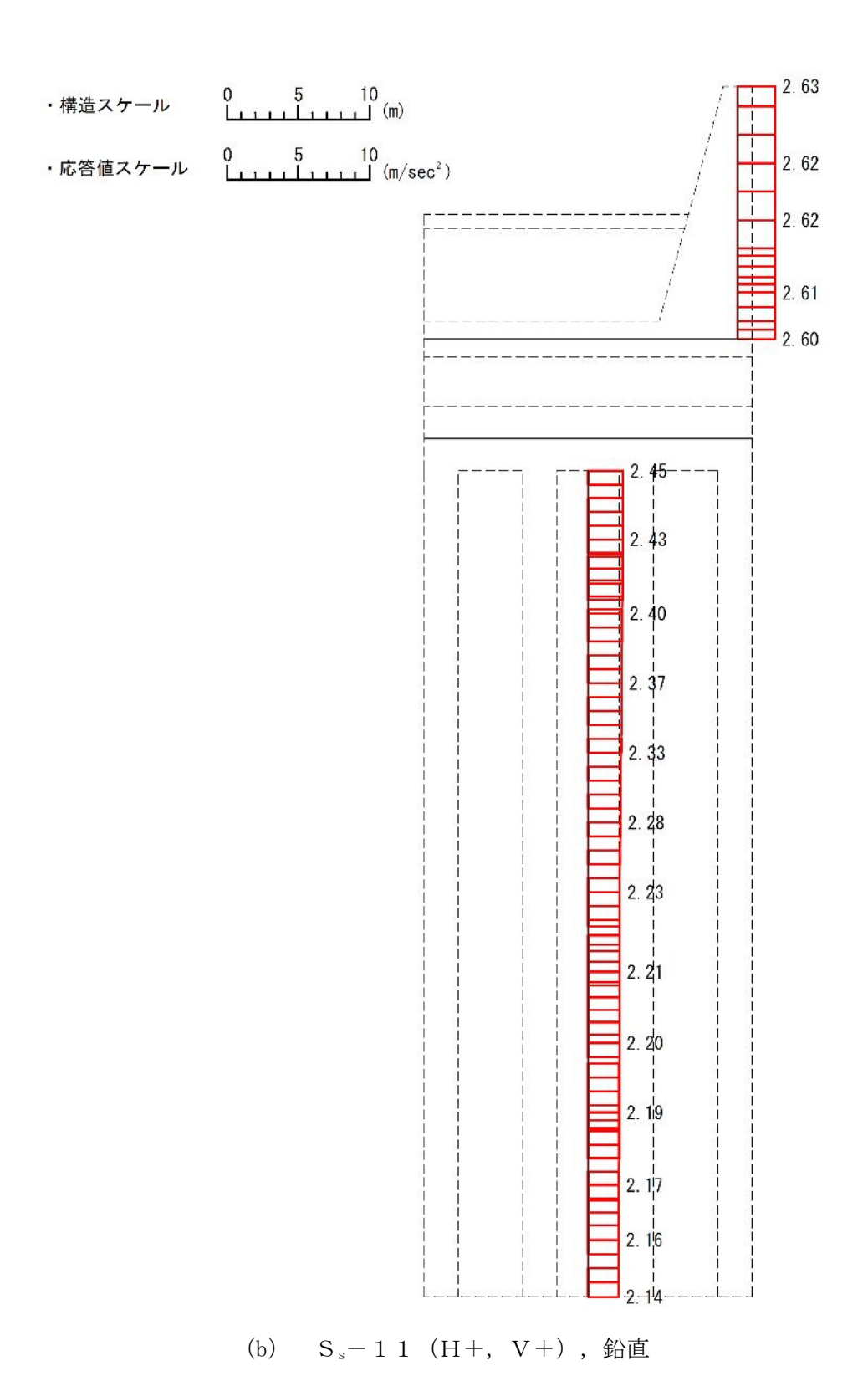
(a) $S_{\,\text{\tiny S}}\!-\!D\,\mathbf{1}$ (H-, V-) , $\,\,\mbox{\hskip-.1em}\,\hskip-.1em \,\,$



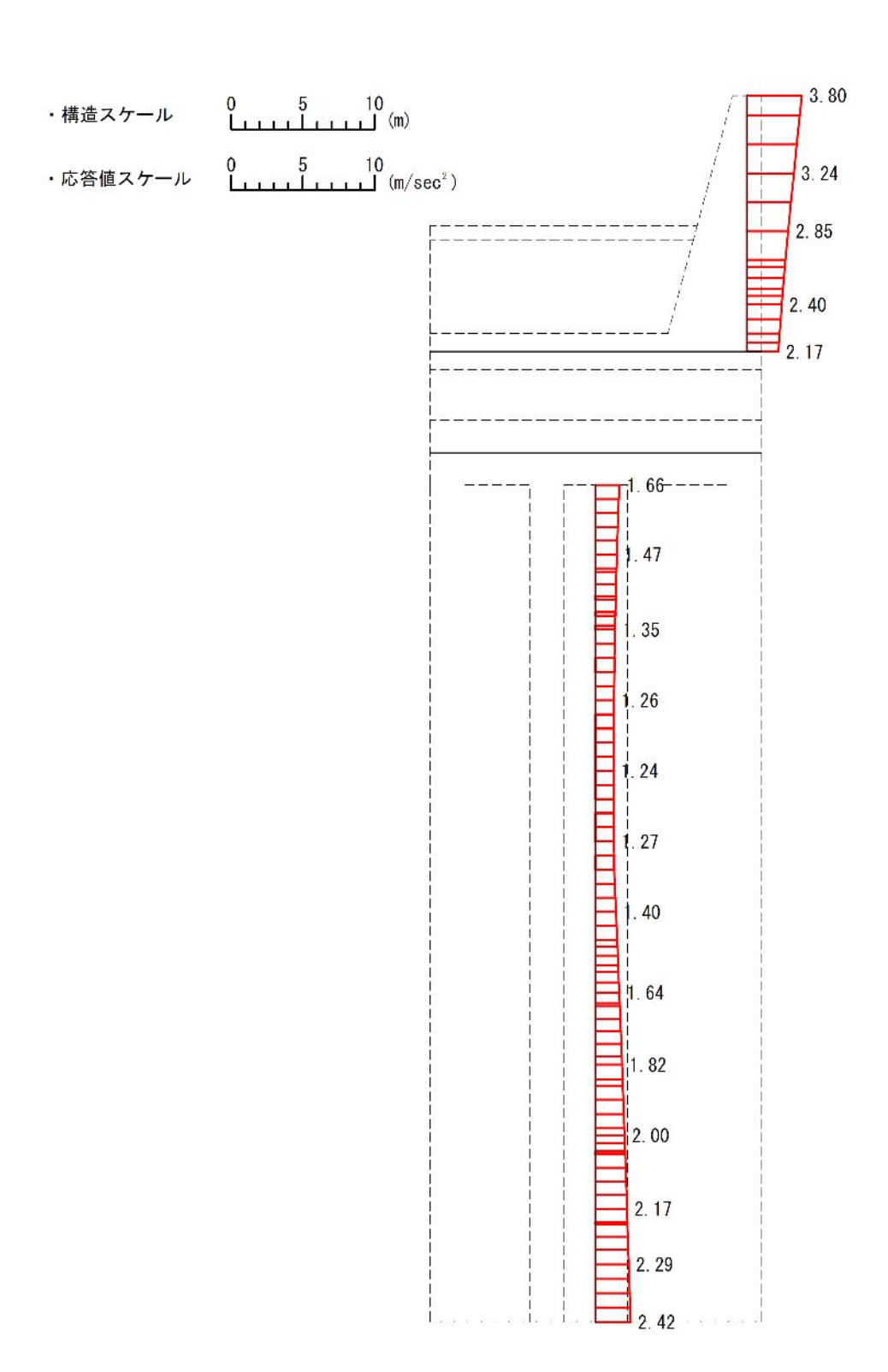
第 4-1 図 (4) 防潮壁横断方向(①-①断面)の最大加速度分布図 (①原地盤に基づく液状化強度特性を用いた解析ケース)



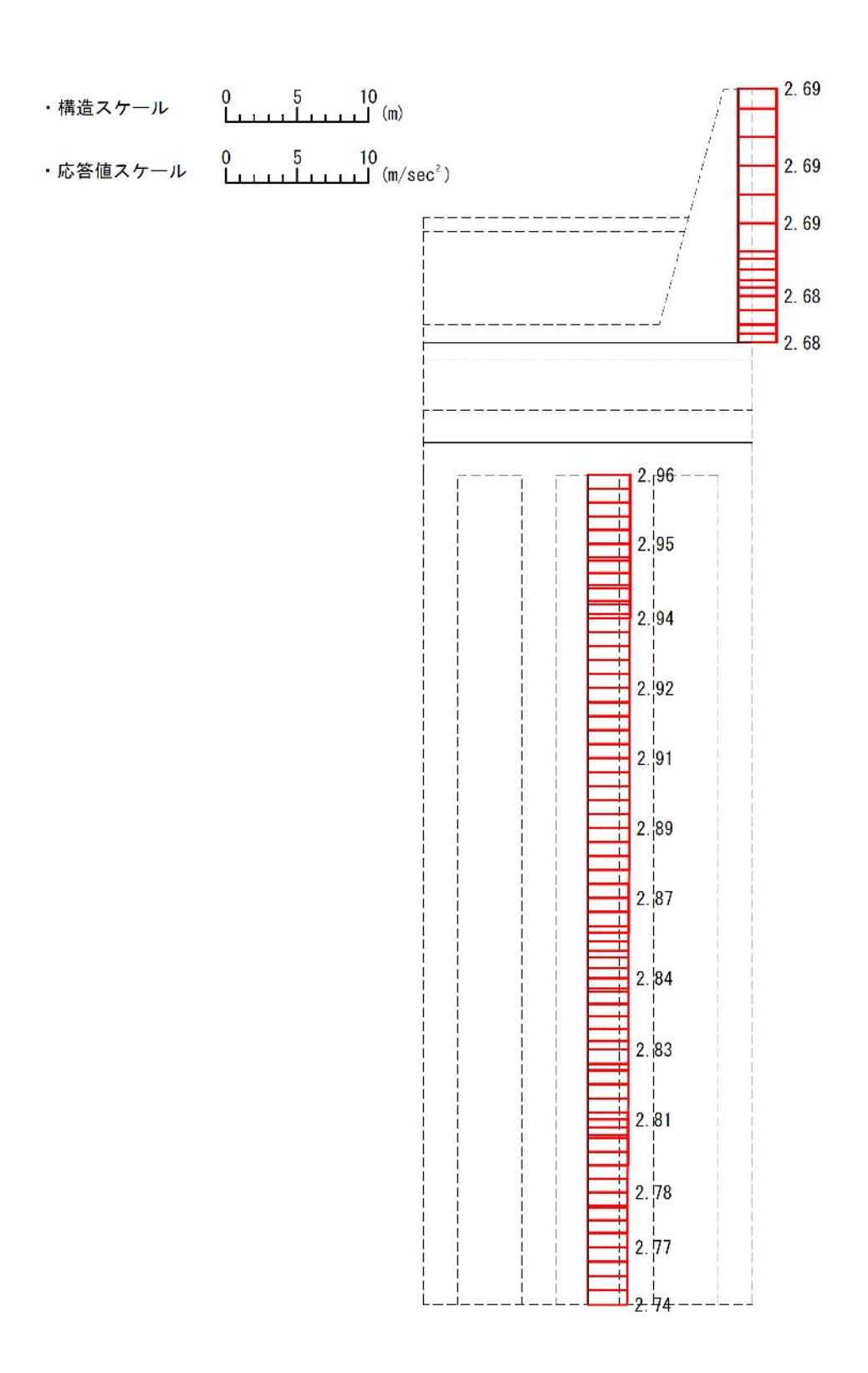
(a) $S_{\,\text{\tiny S}}\!-1\,\,1$ (H+, V+) , $\,\,\mbox{\hskip-.1em}\,\hskip1pt\,\hskip1pt\,\hskip1pt\,$



第 4-1 図 (5) 防潮壁横断方向 (①-①断面) の最大加速度分布図 (①原地盤に基づく液状化強度特性を用いた解析ケース)

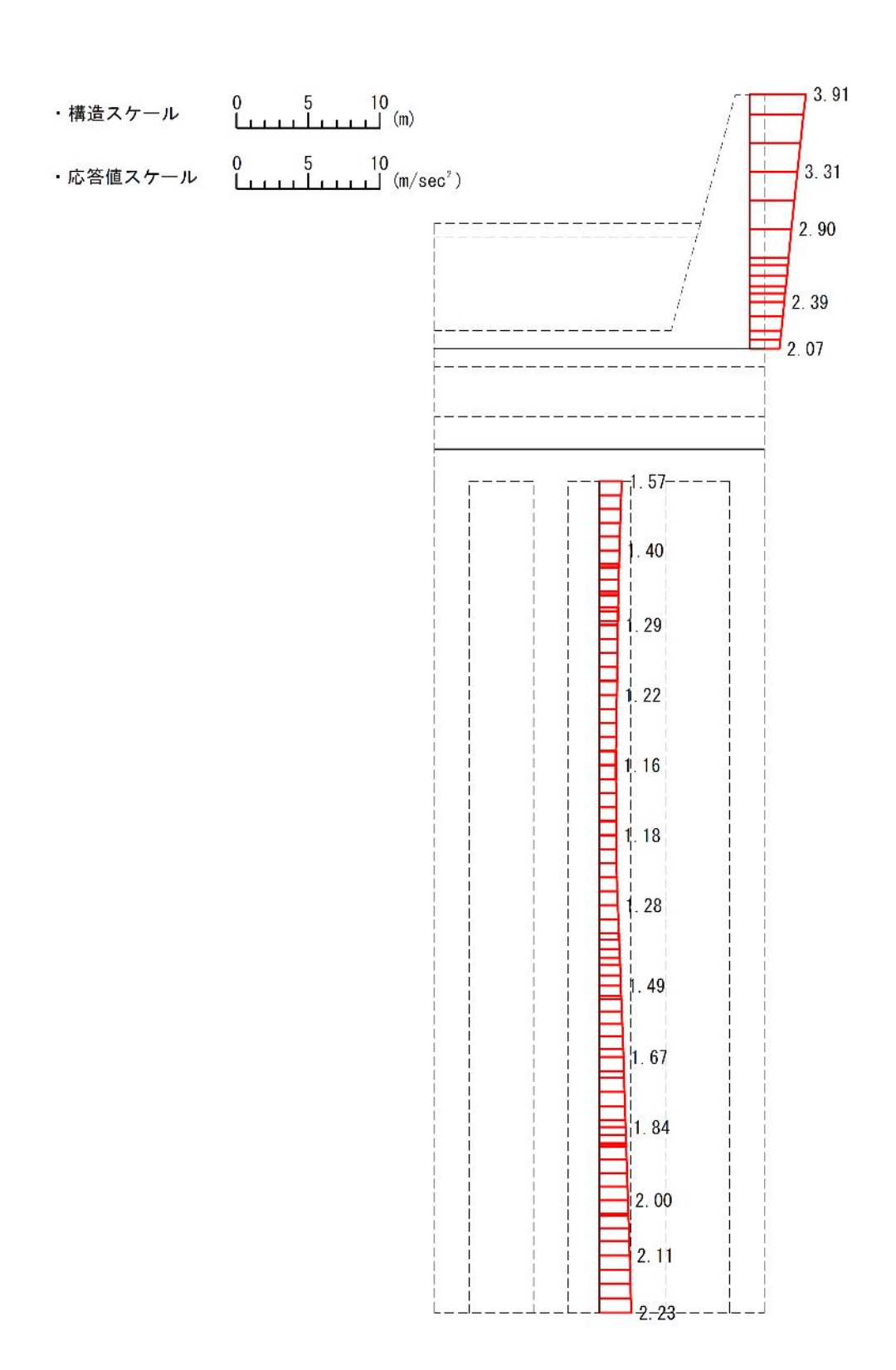


(a) S_s-12 , 水平

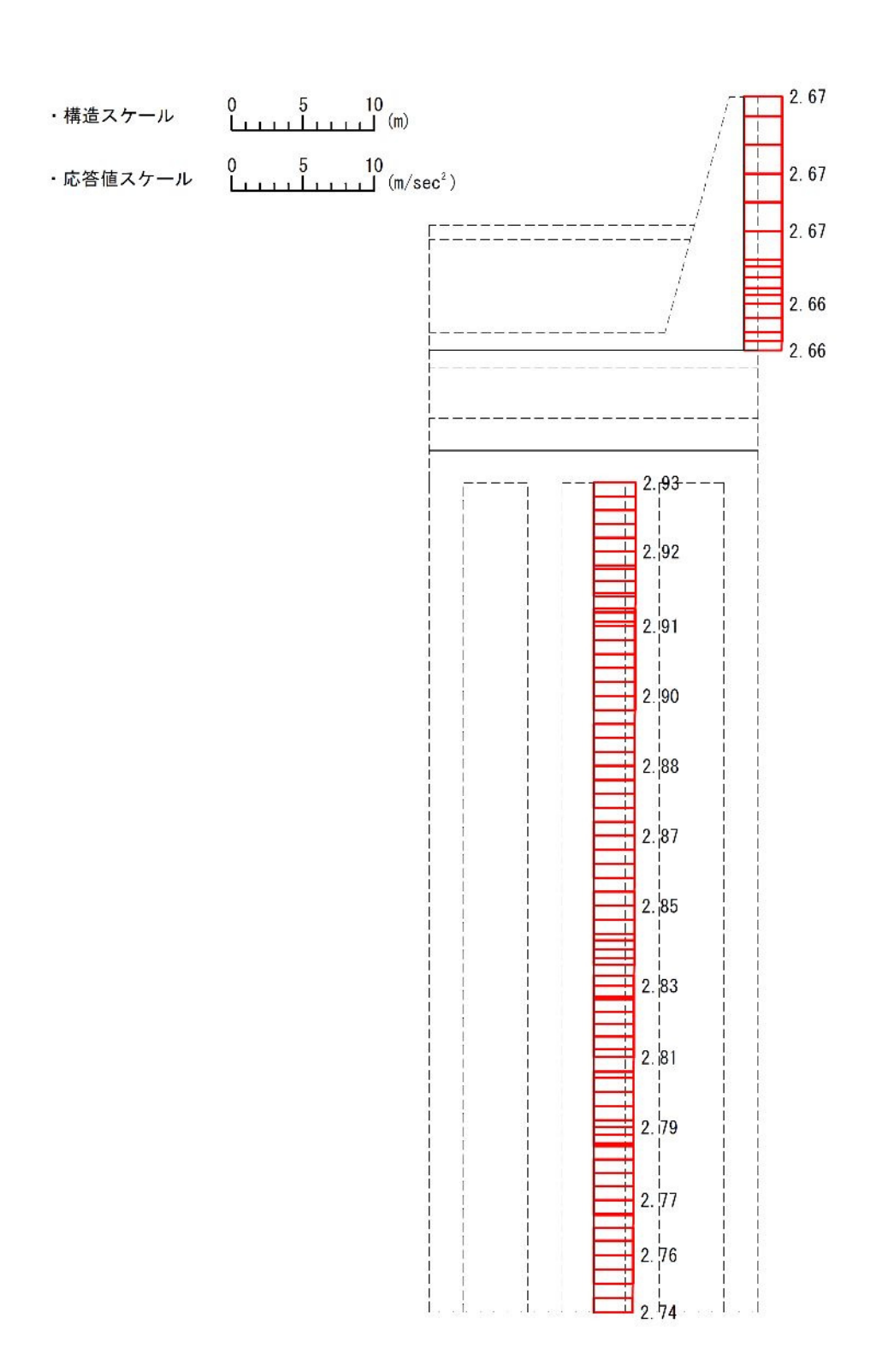


(b) S_s−12, 鉛直

第 4-1 図 (6) 防潮壁横断方向(①-①断面)の最大加速度分布図 (①原地盤に基づく液状化強度特性を用いた解析ケース)

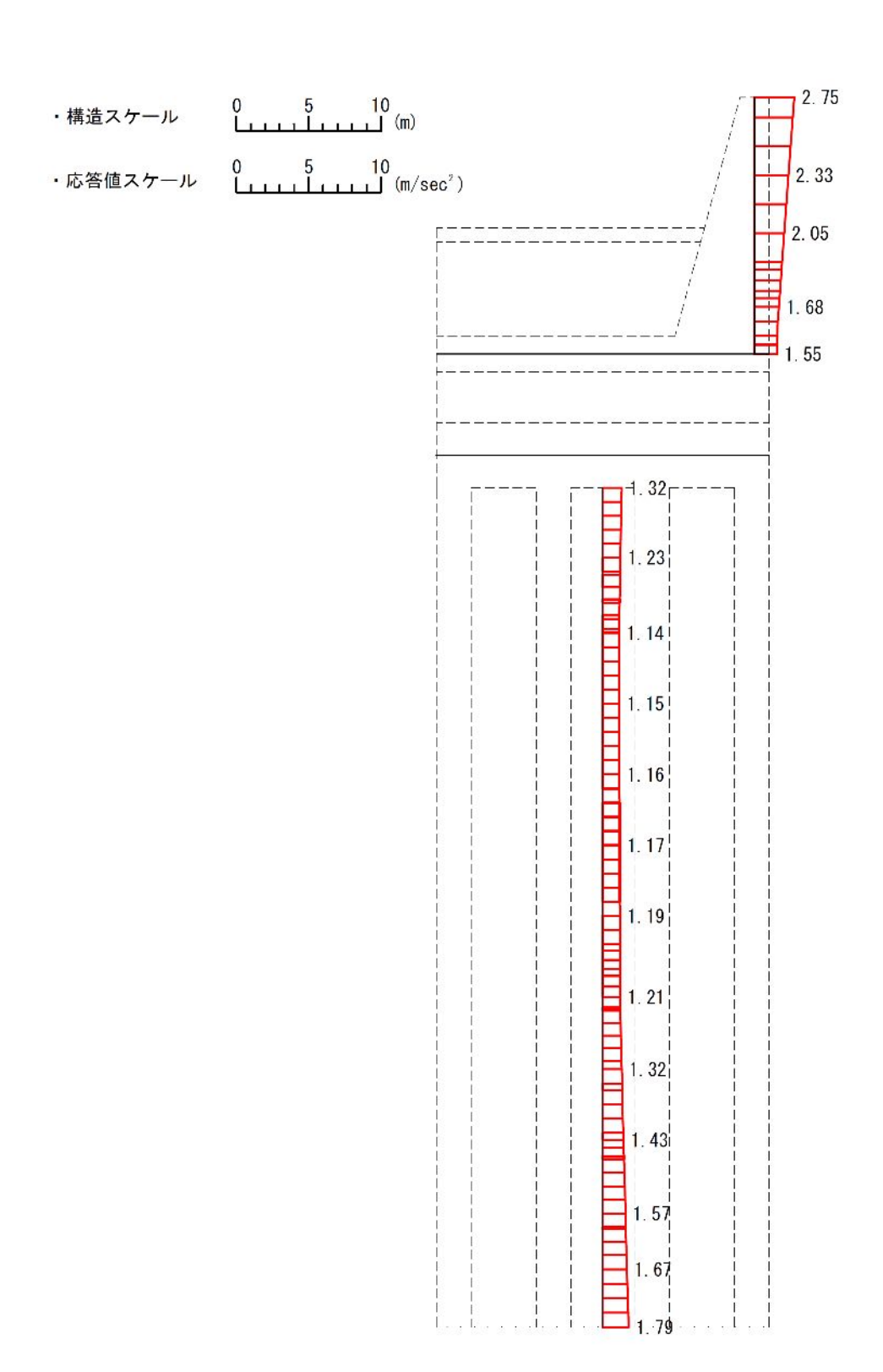


(a) S_s-13 , 水平

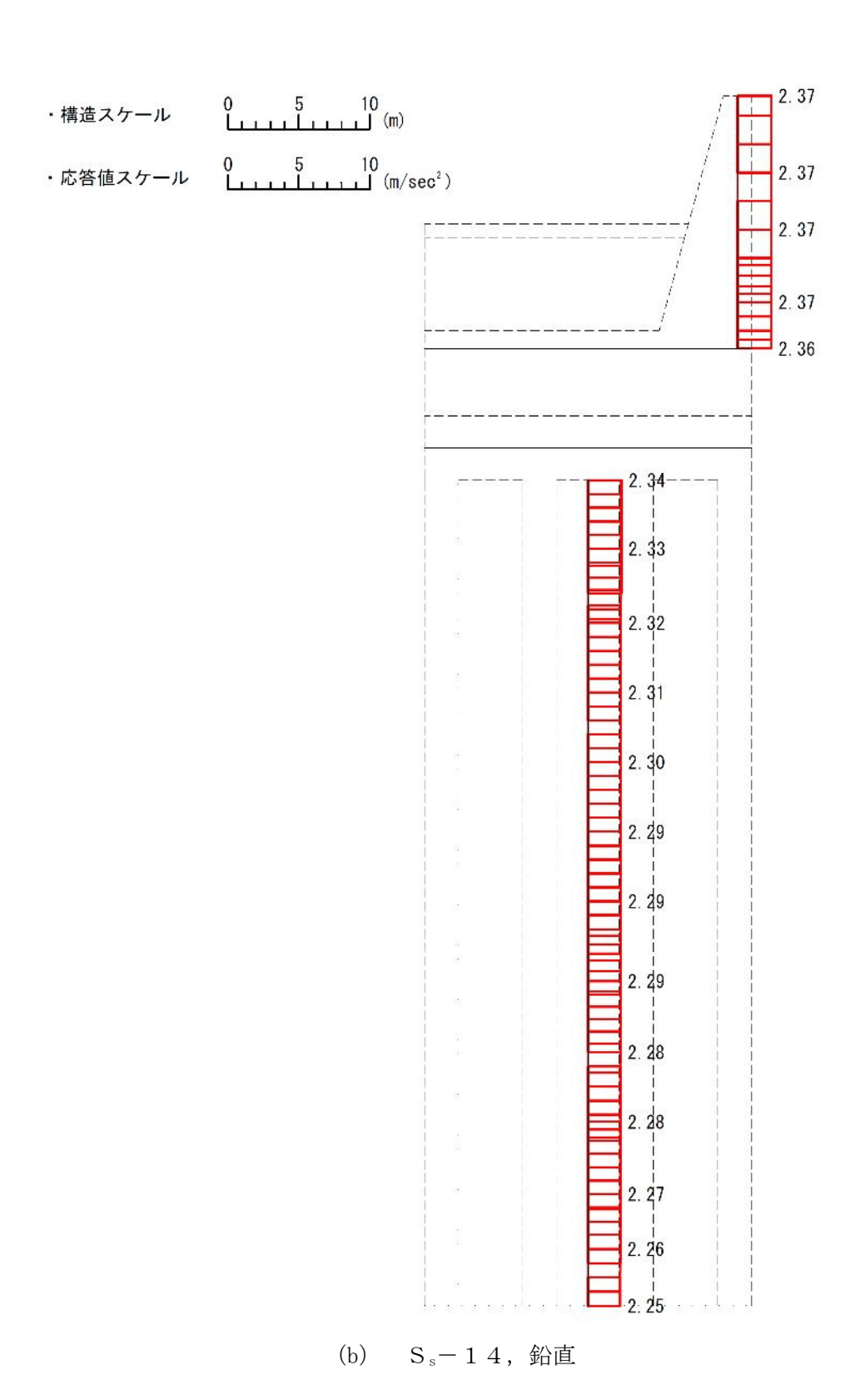


(b) $S_s - 13$, 鉛直

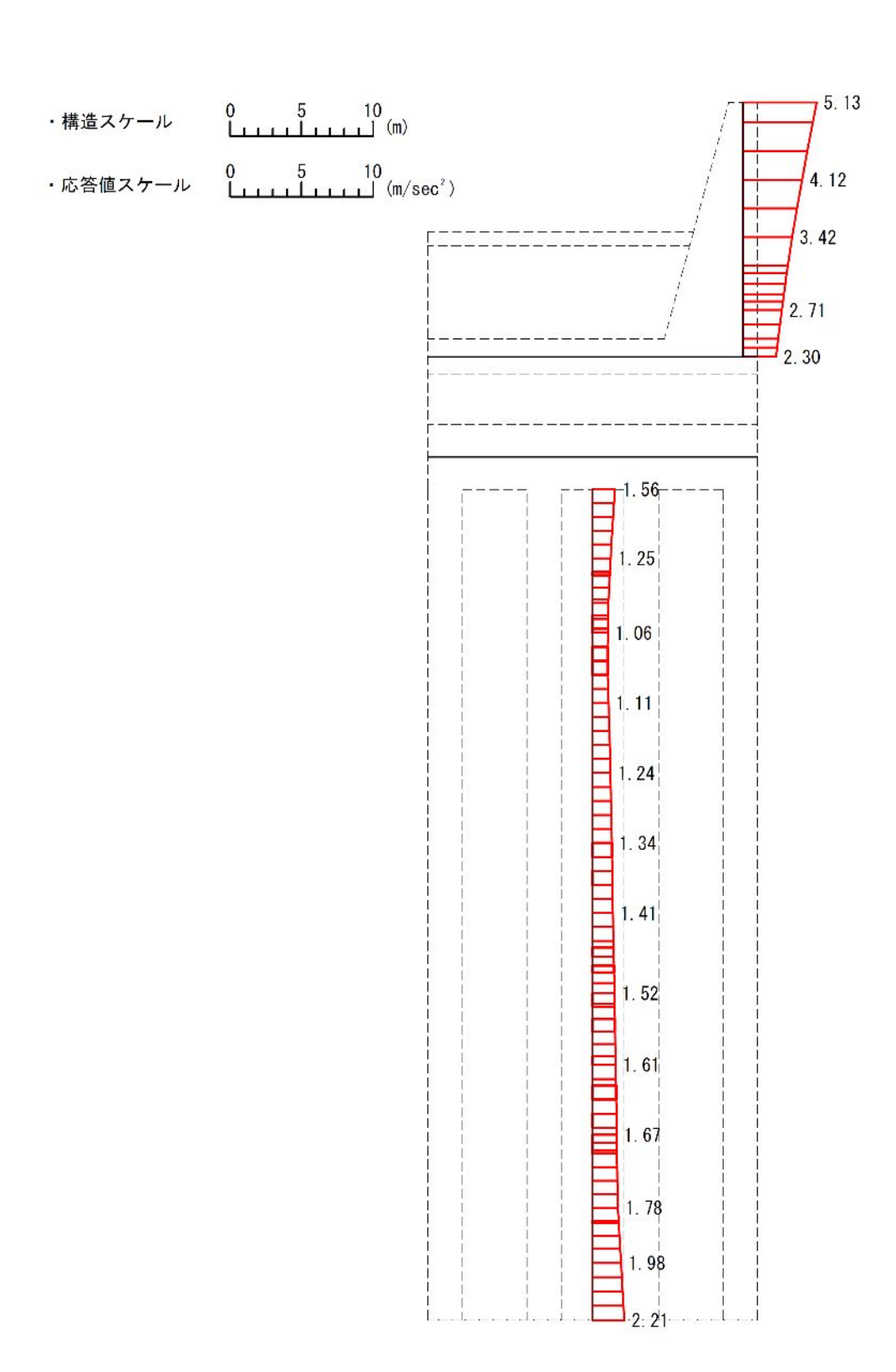
第 4-1 図 (7) 防潮壁横断方向 (①-①断面) の最大加速度分布図 (①原地盤に基づく液状化強度特性を用いた解析ケース)



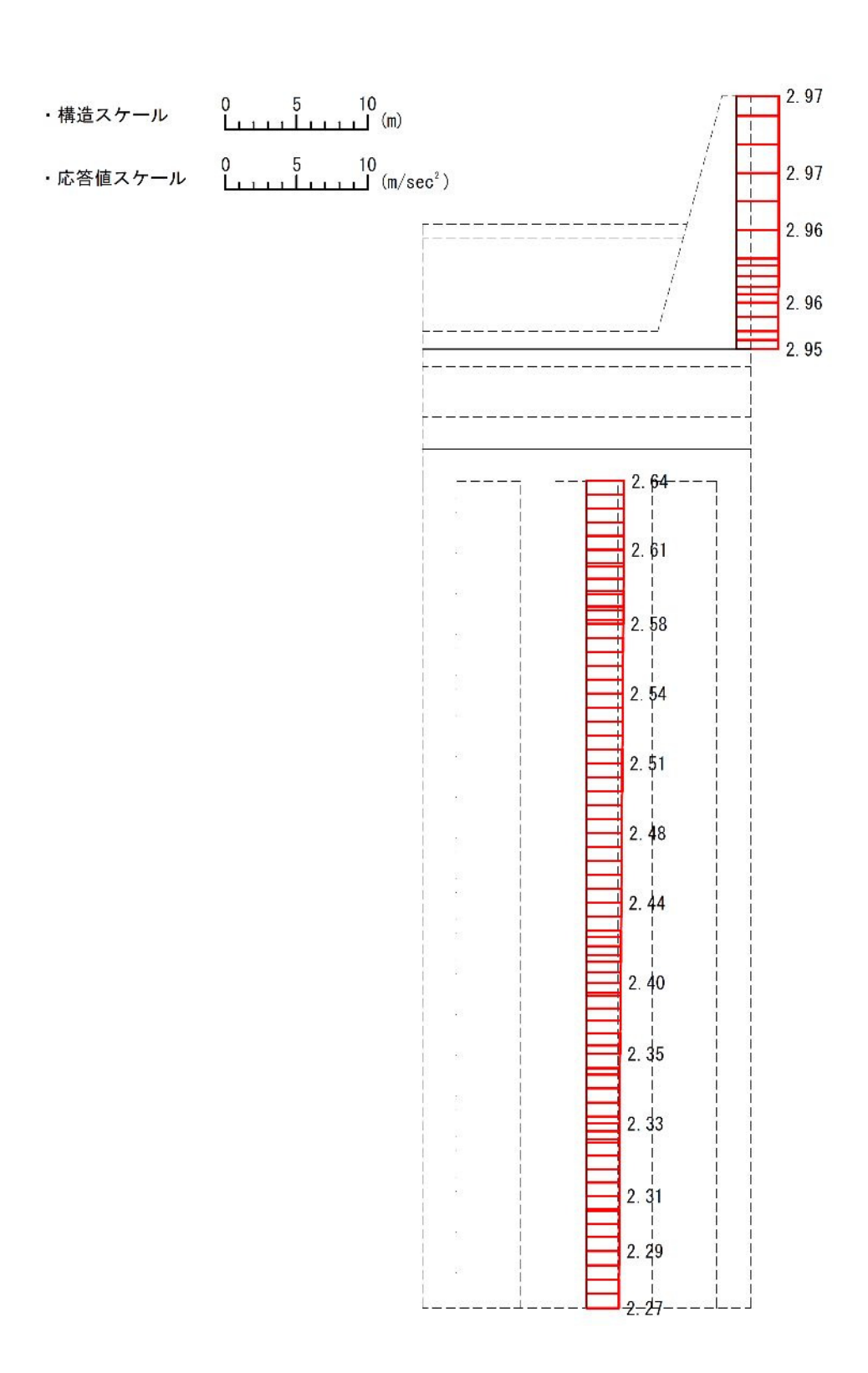
(a) S_s-14, 水平



第 4-1 図 (8) 防潮壁横断方向(①-①断面)の最大加速度分布図 (①原地盤に基づく液状化強度特性を用いた解析ケース)

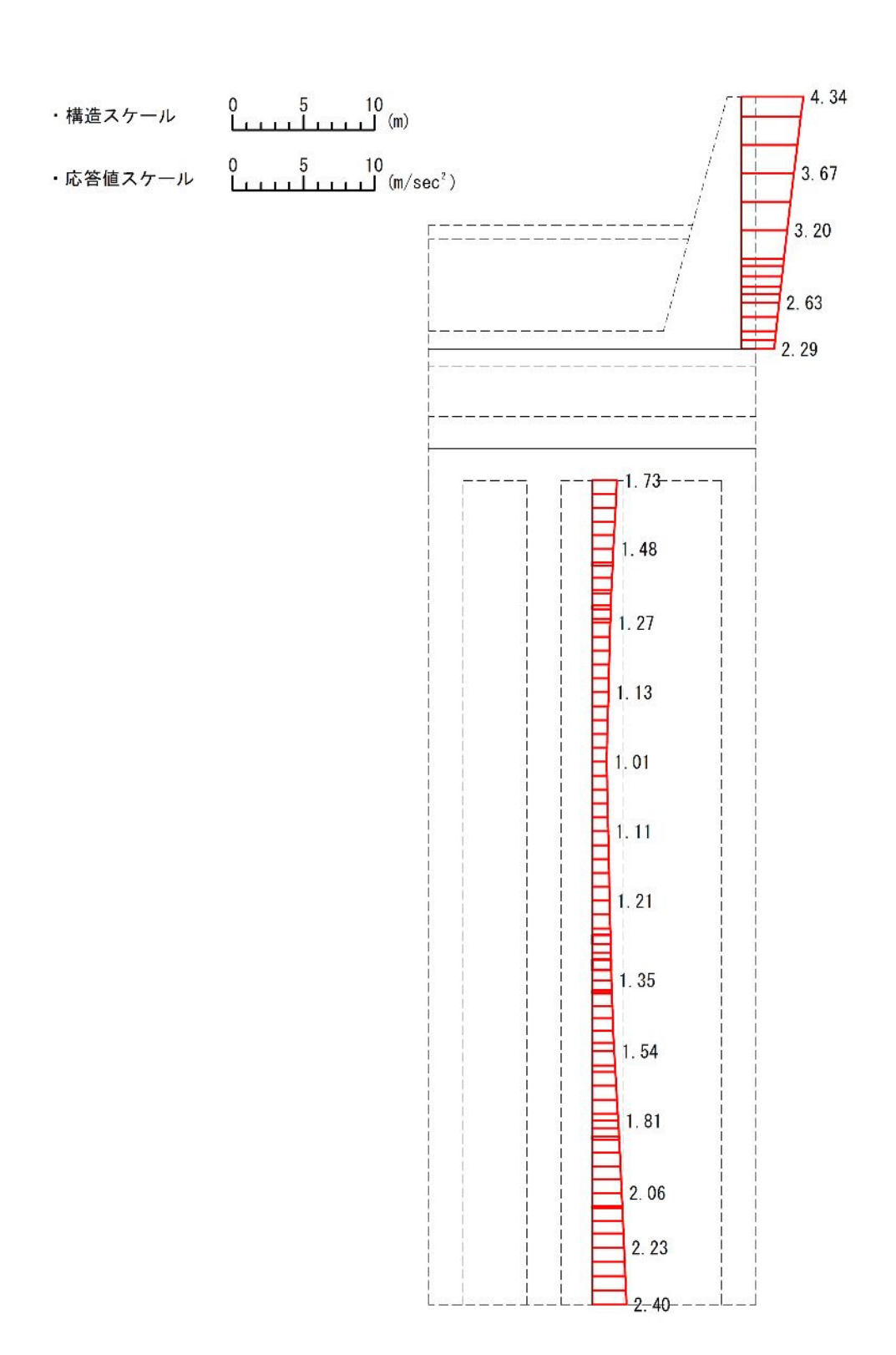


(a) S_s-21 , 水平

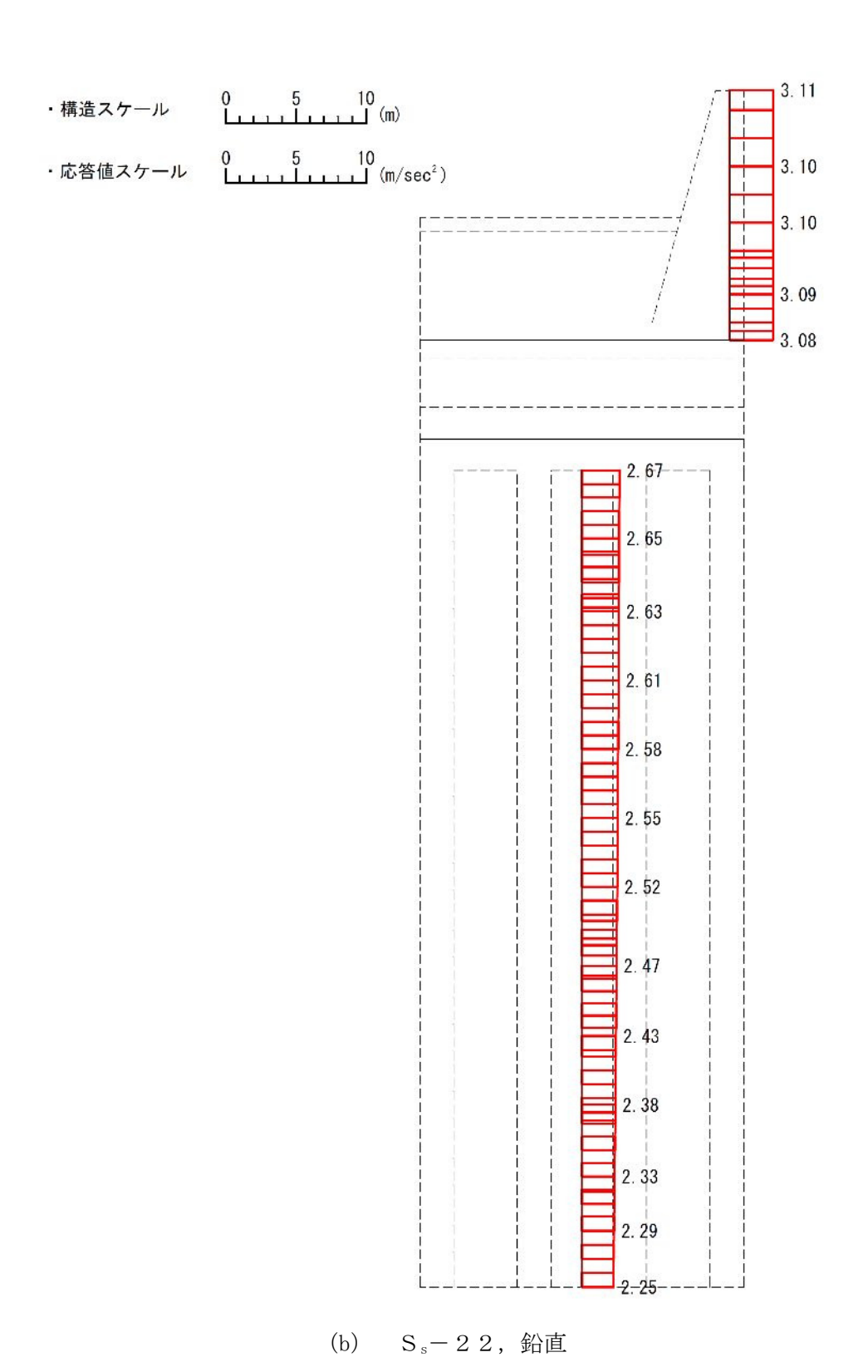


(b) $S_s - 21$, 鉛直

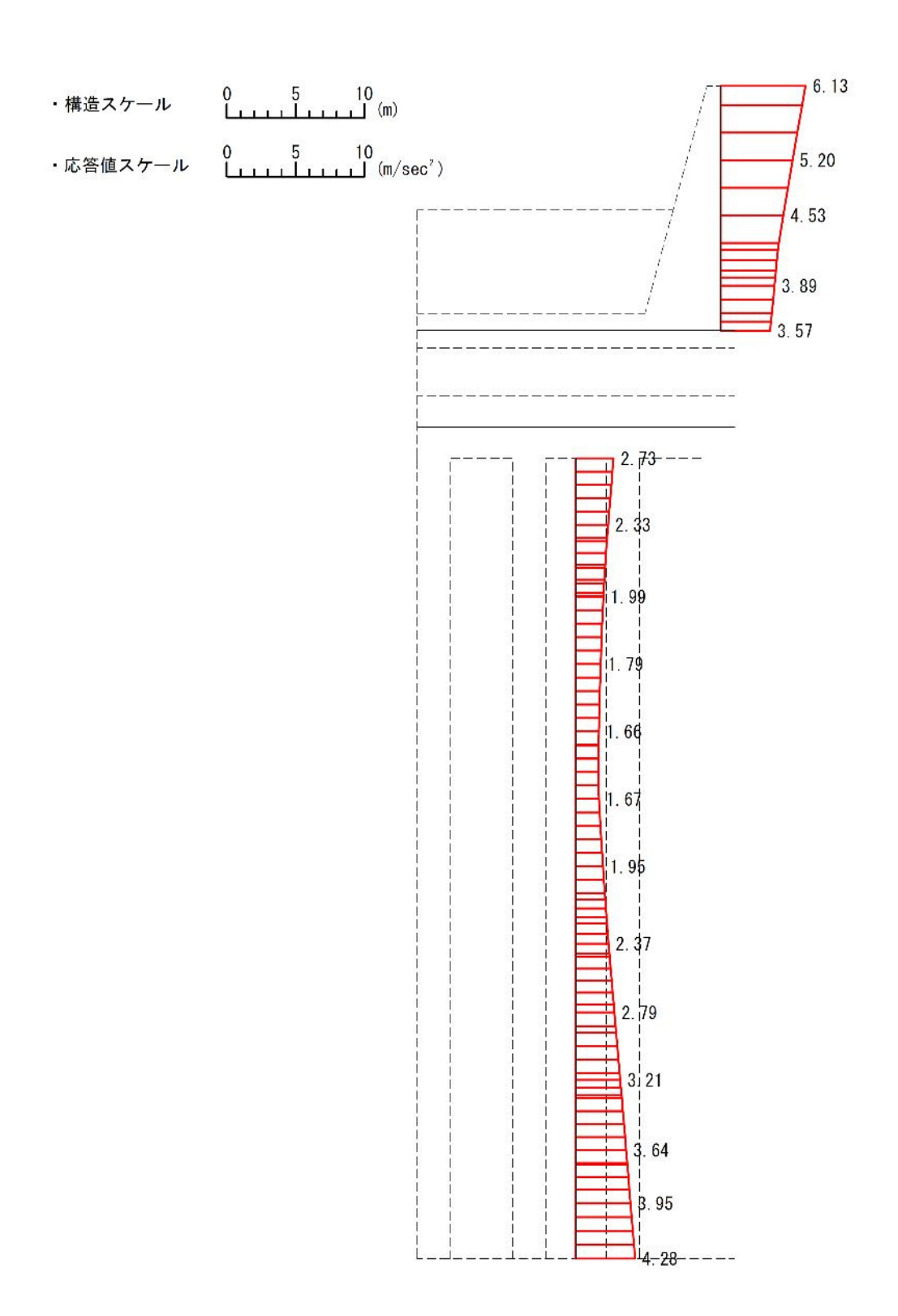
第 4-1 図 (9) 防潮壁横断方向 (①-①断面) の最大加速度分布図 (①原地盤に基づく液状化強度特性を用いた解析ケース)



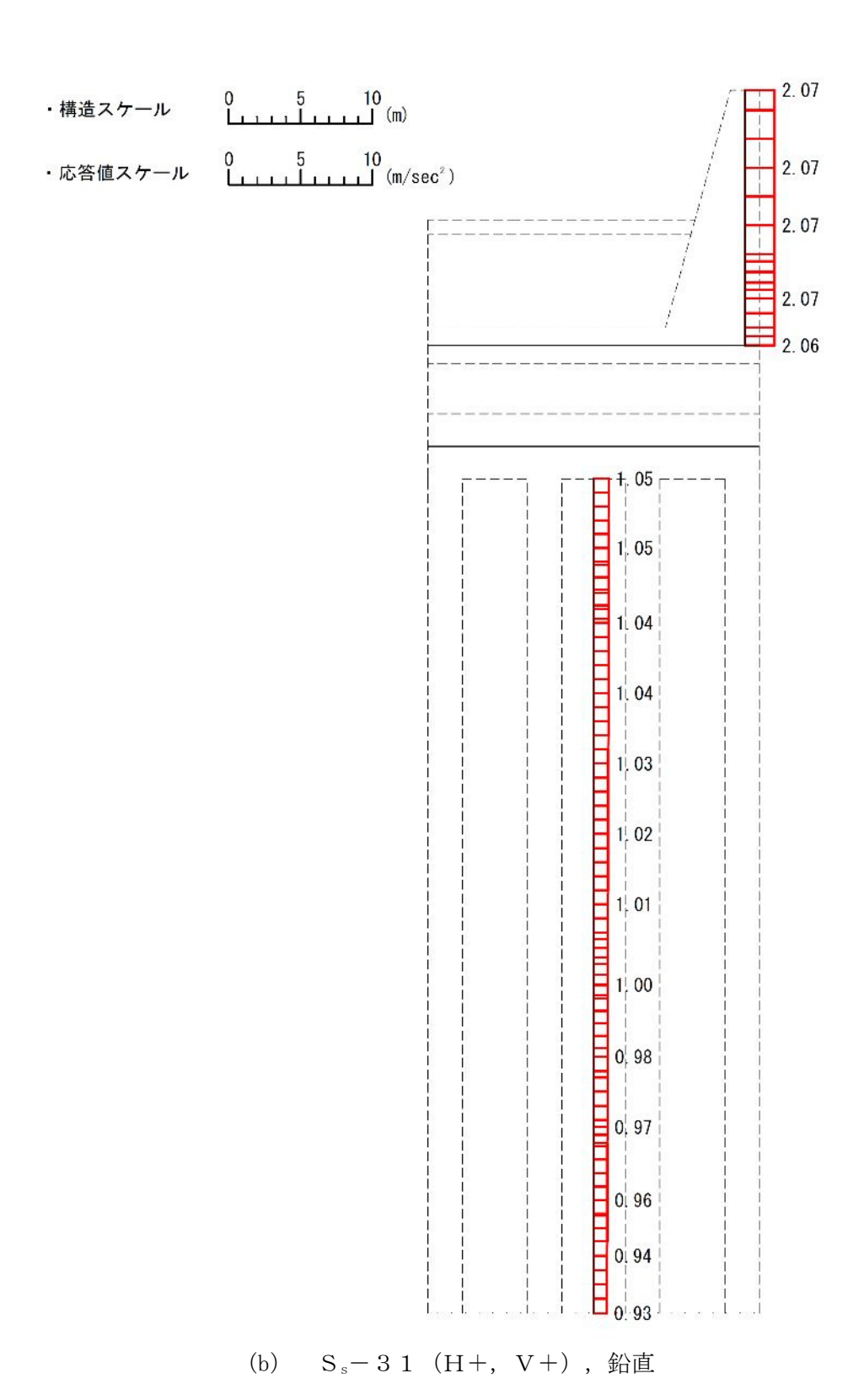
(a) S_s-22 , 水平



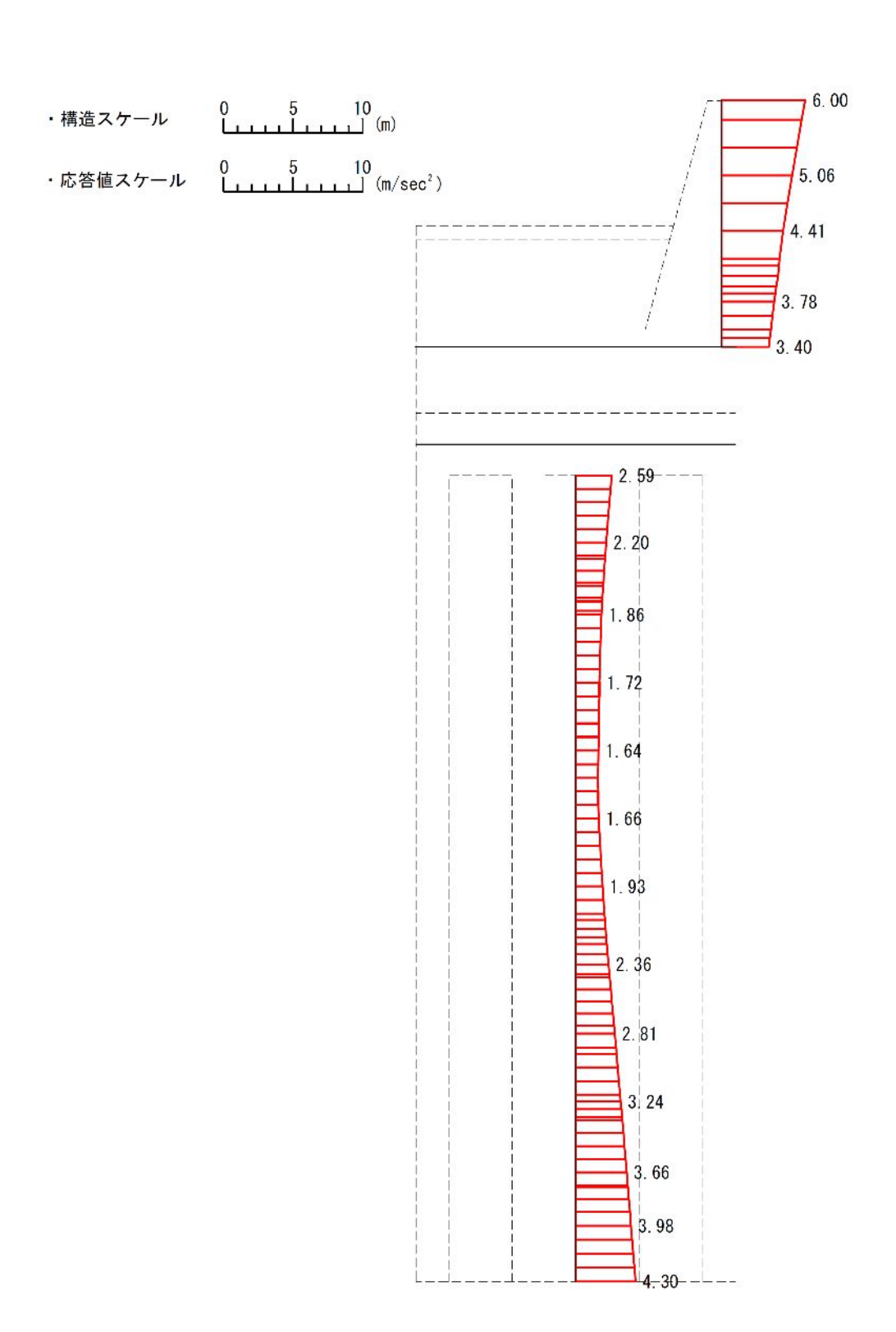
第 4-1 図 (10) 防潮壁横断方向 (①-①断面) の最大加速度分布図 (①原地盤に基づく液状化強度特性を用いた解析ケース)

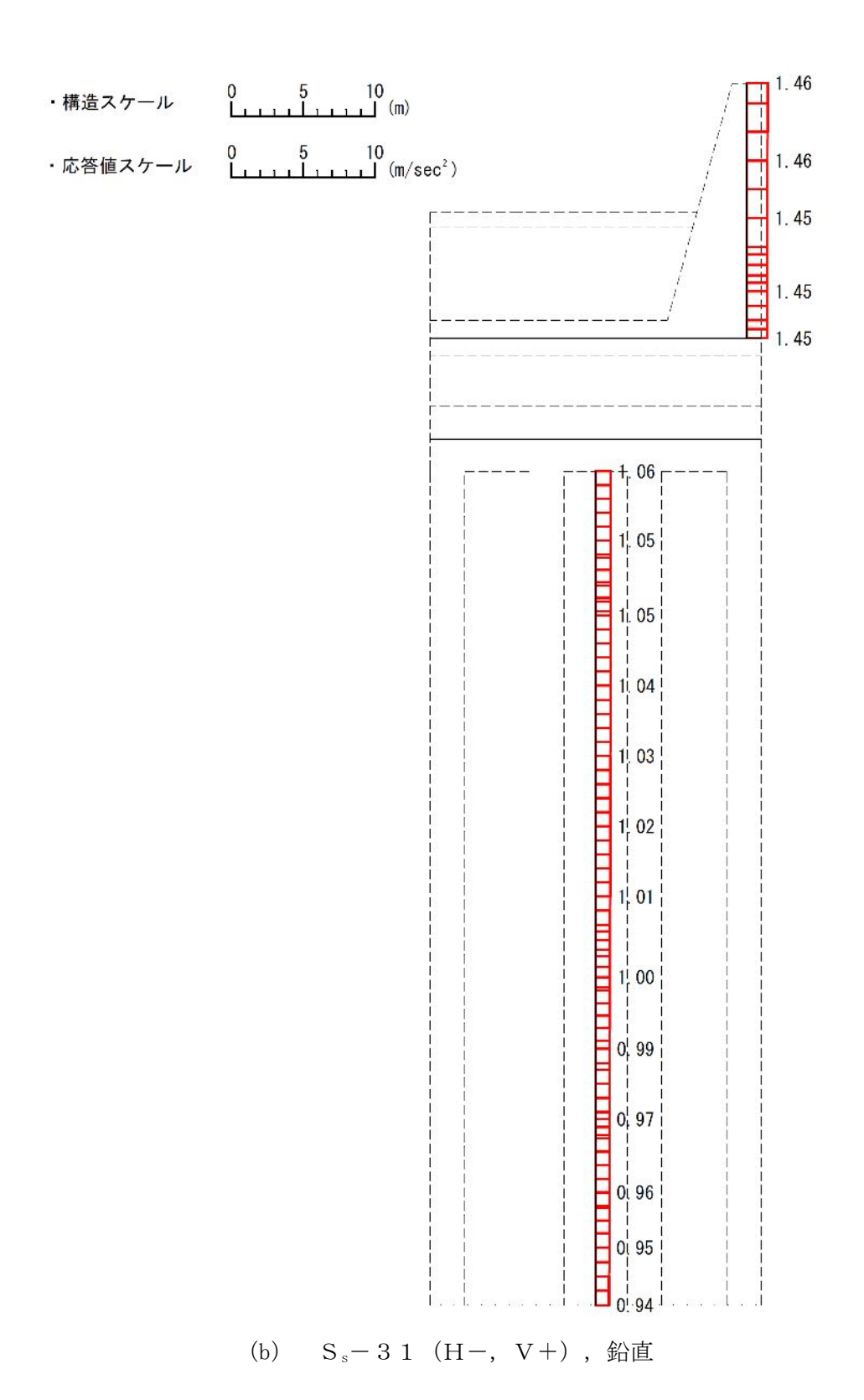


(a) $S_s - 31$ (H+, V+) , 水平

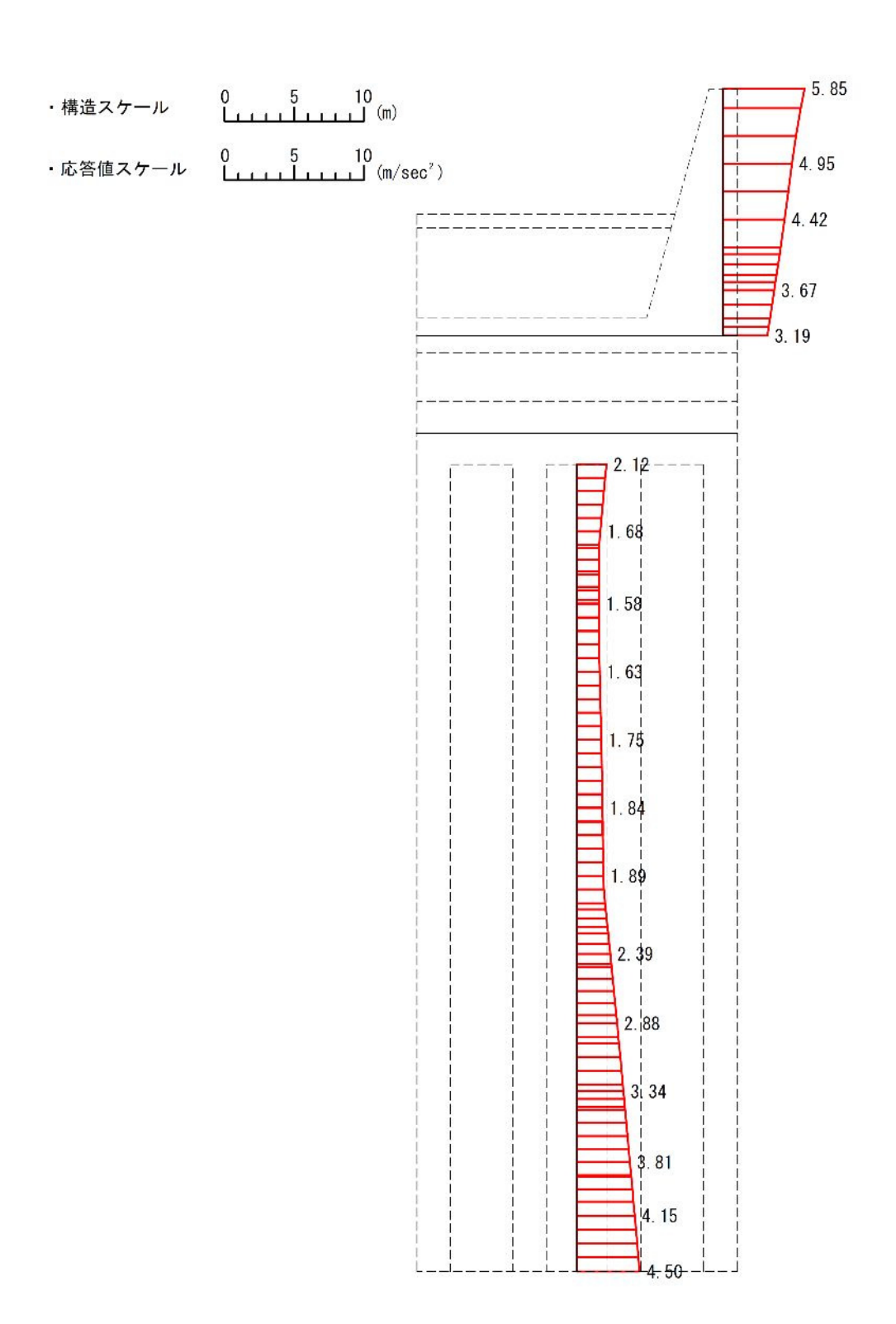


第 4-1 図 (11) 防潮壁横断方向 (①-①断面) の最大加速度分布図 (①原地盤に基づく液状化強度特性を用いた解析ケース)

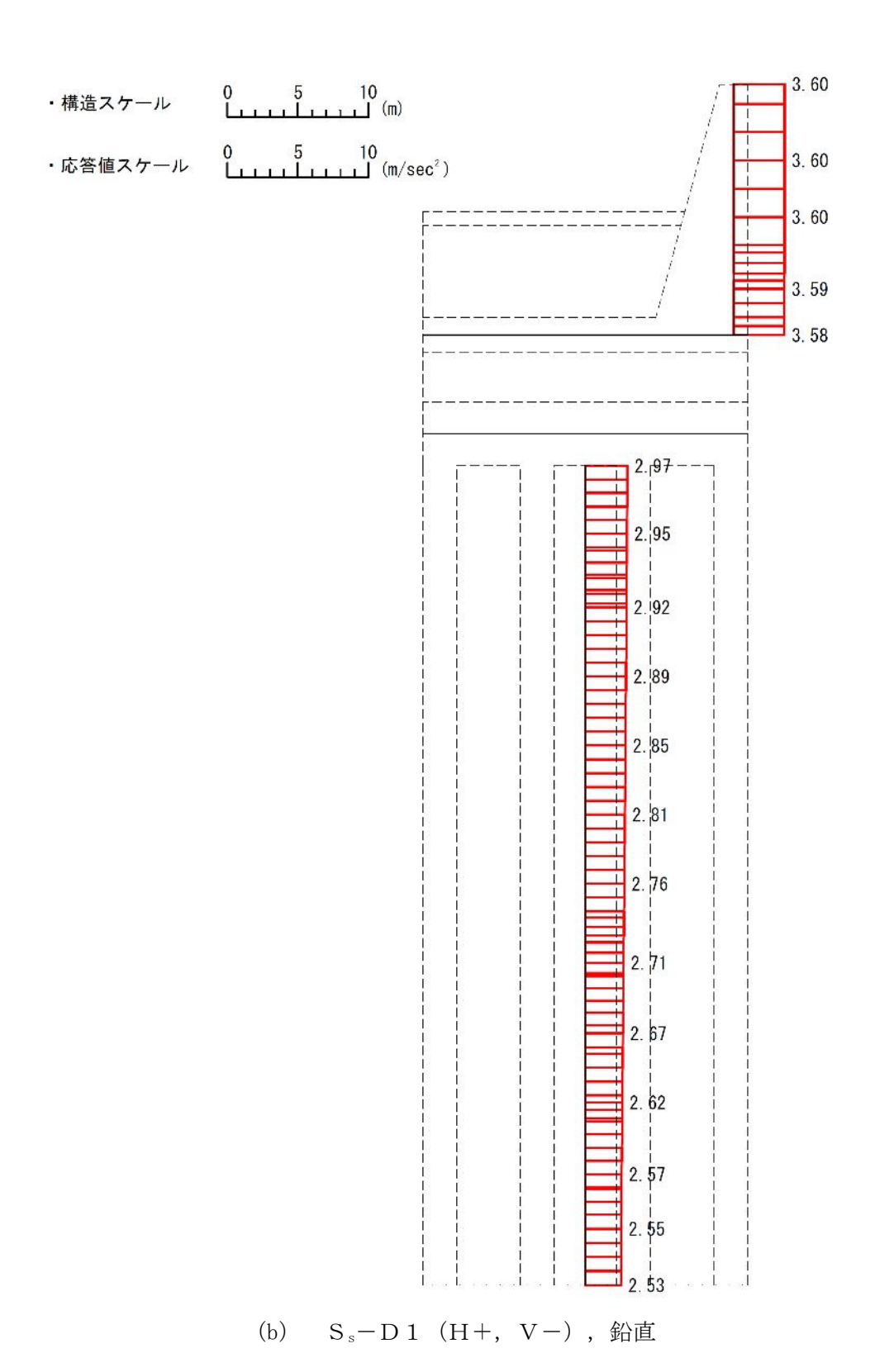




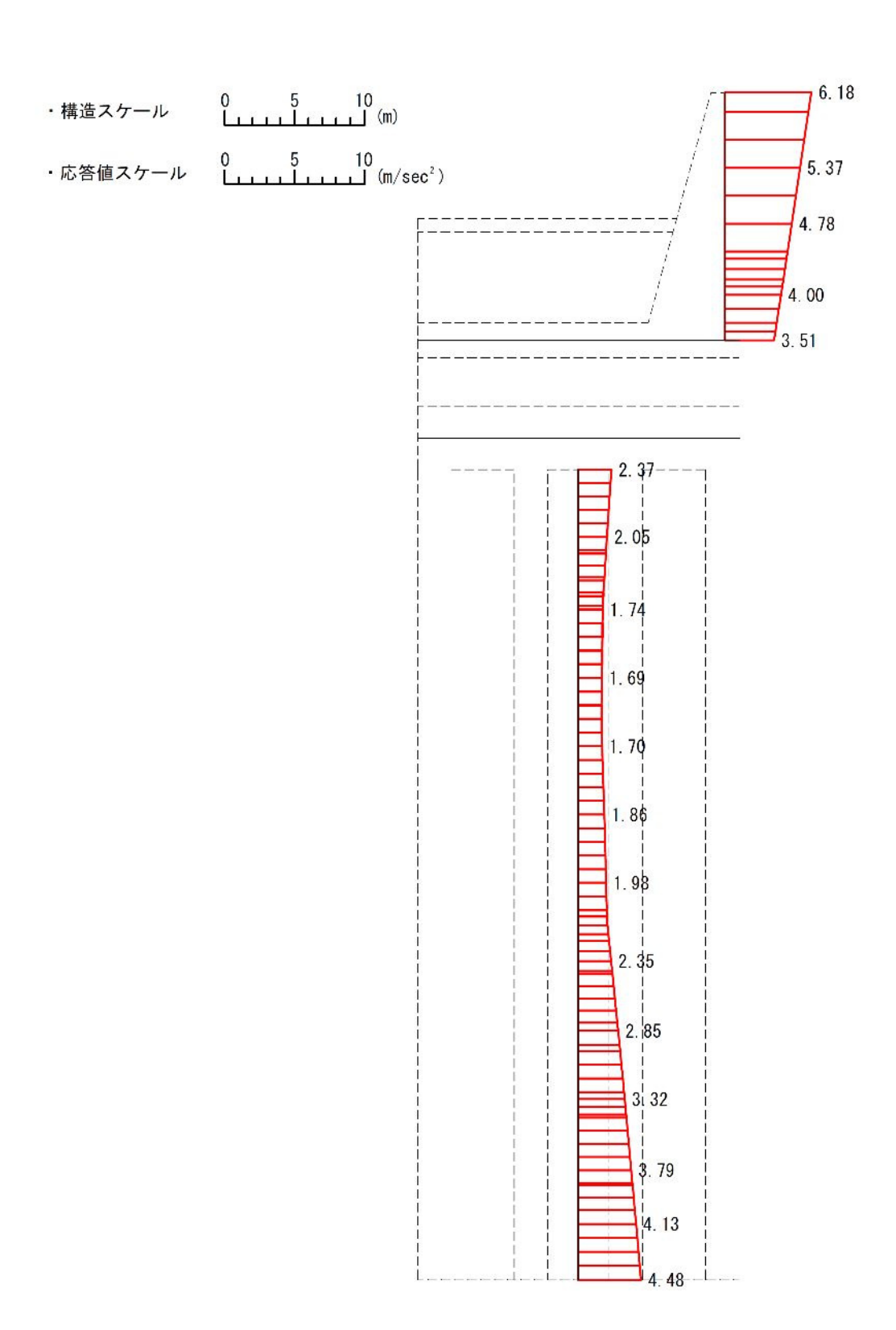
第 4-1 図 (12) 防潮壁横断方向 (①-①断面) の最大加速度分布図 (①原地盤に基づく液状化強度特性を用いた解析ケース)



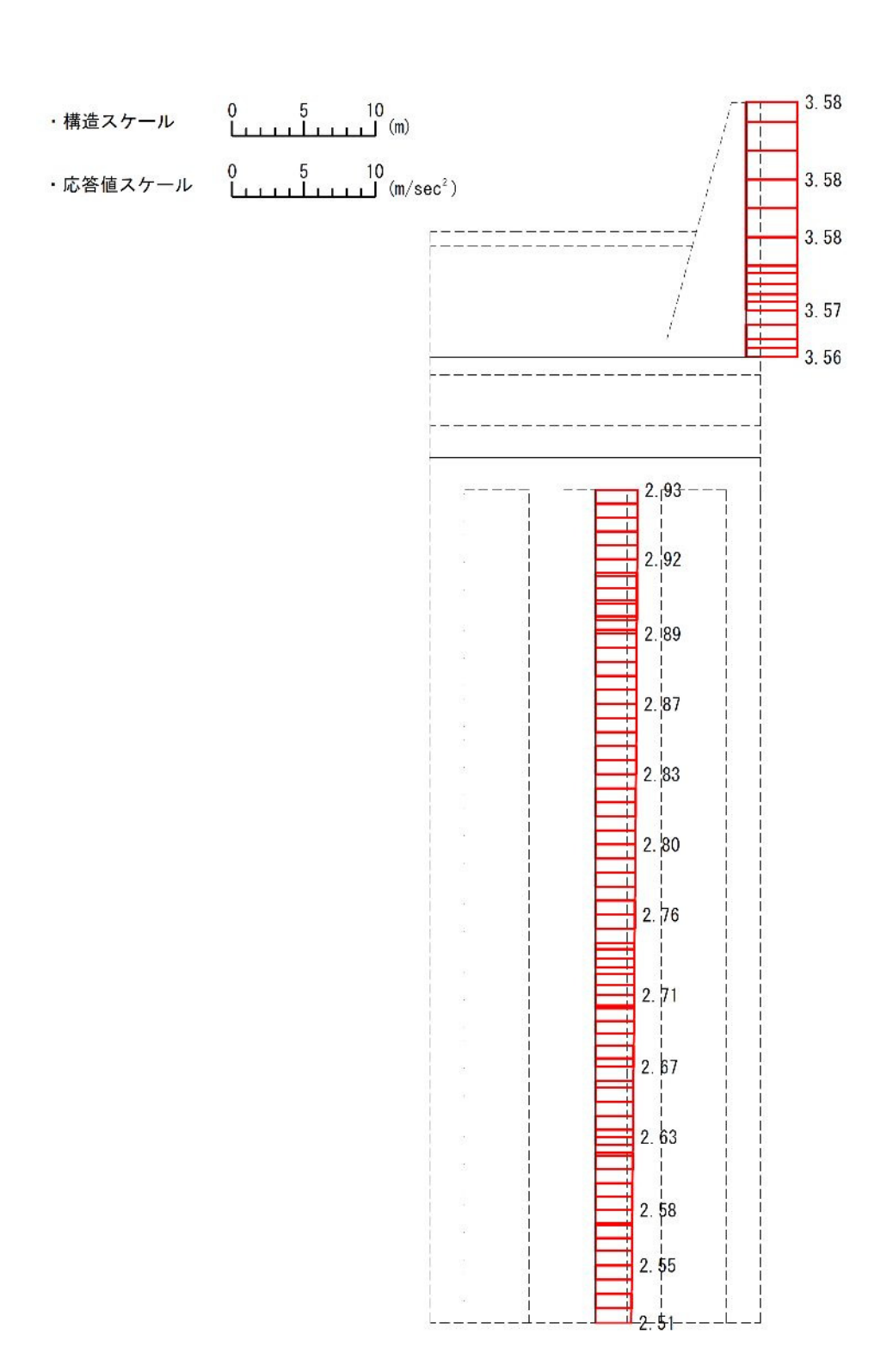
(a) $S_{\,\text{\tiny S}}\!-\!D\,\mathbf{1}$ (H+, V-) , $\,\,\mbox{\hskip-.1em}\,\hskip-.1em \,\,$



第 4-1 図(13) 防潮壁横断方向(①-①断面)の最大加速度分布図(②地盤物性のばらつきを考慮(+1 σ)した解析ケース)

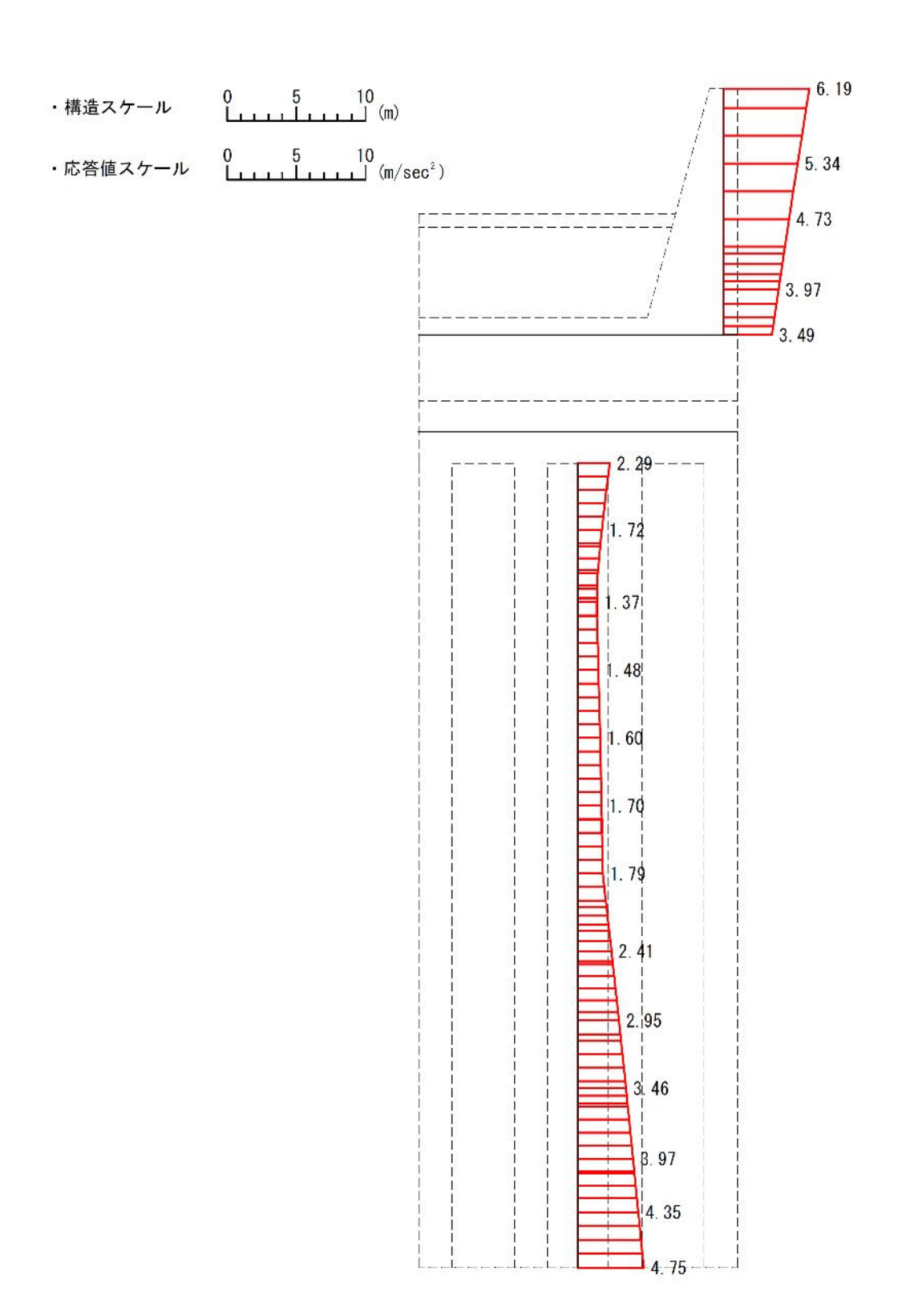


(a) $S_{\,\text{\tiny S}}\!-\!D\,\mathbf{1}$ (H+, V-) , $\,\,\mbox{\hskip-.1em}\,\hskip-.1em \,\,$

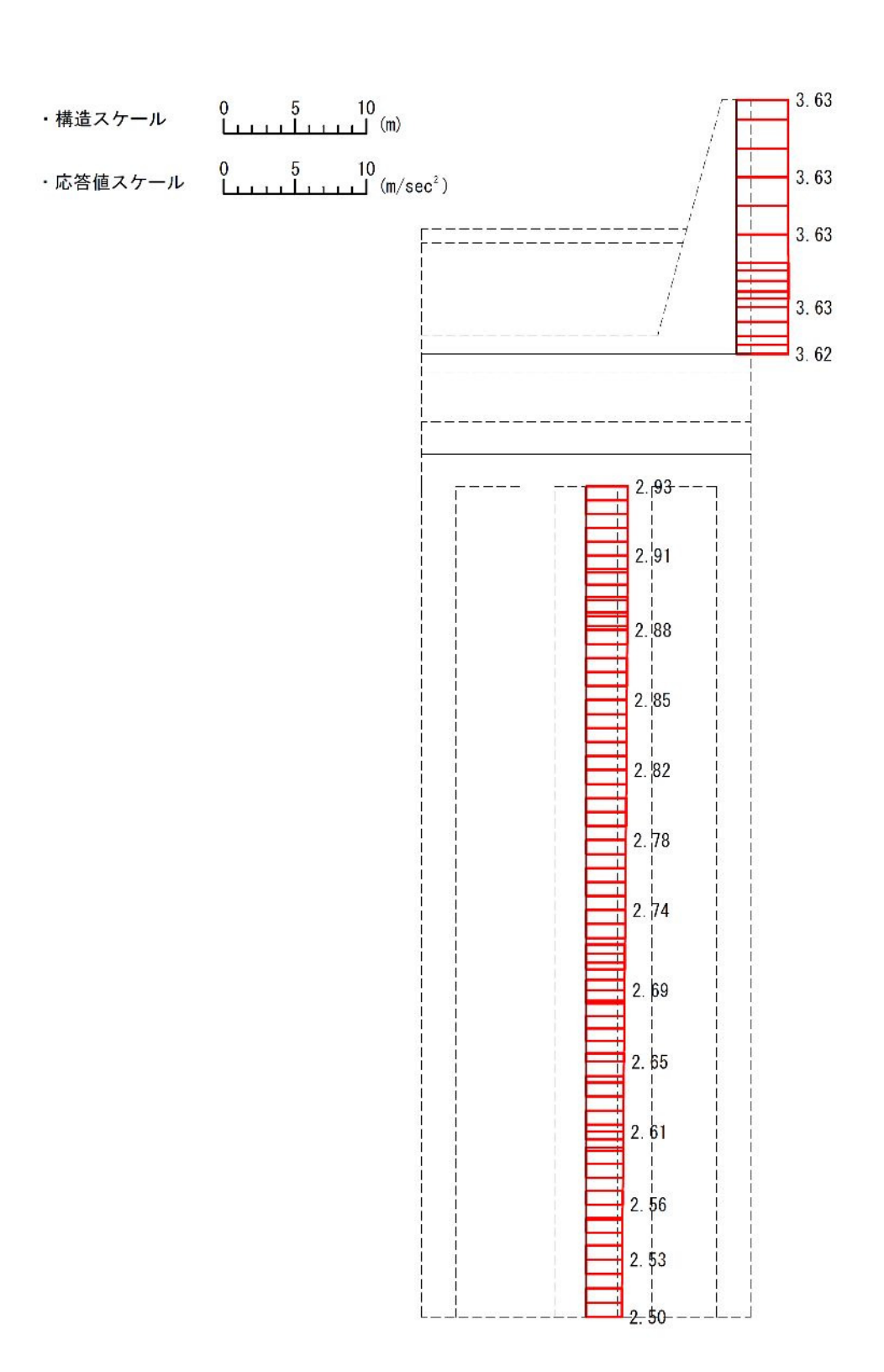


(b) S_s-D1 (H+, V-), 鉛直

第 4-1 図(14) 防潮壁横断方向($\hat{\mathbb{U}}-\hat{\mathbb{U}}$ 断面)の最大加速度分布図 (③地盤物性のばらつきを考慮(-1 σ)した解析ケース)

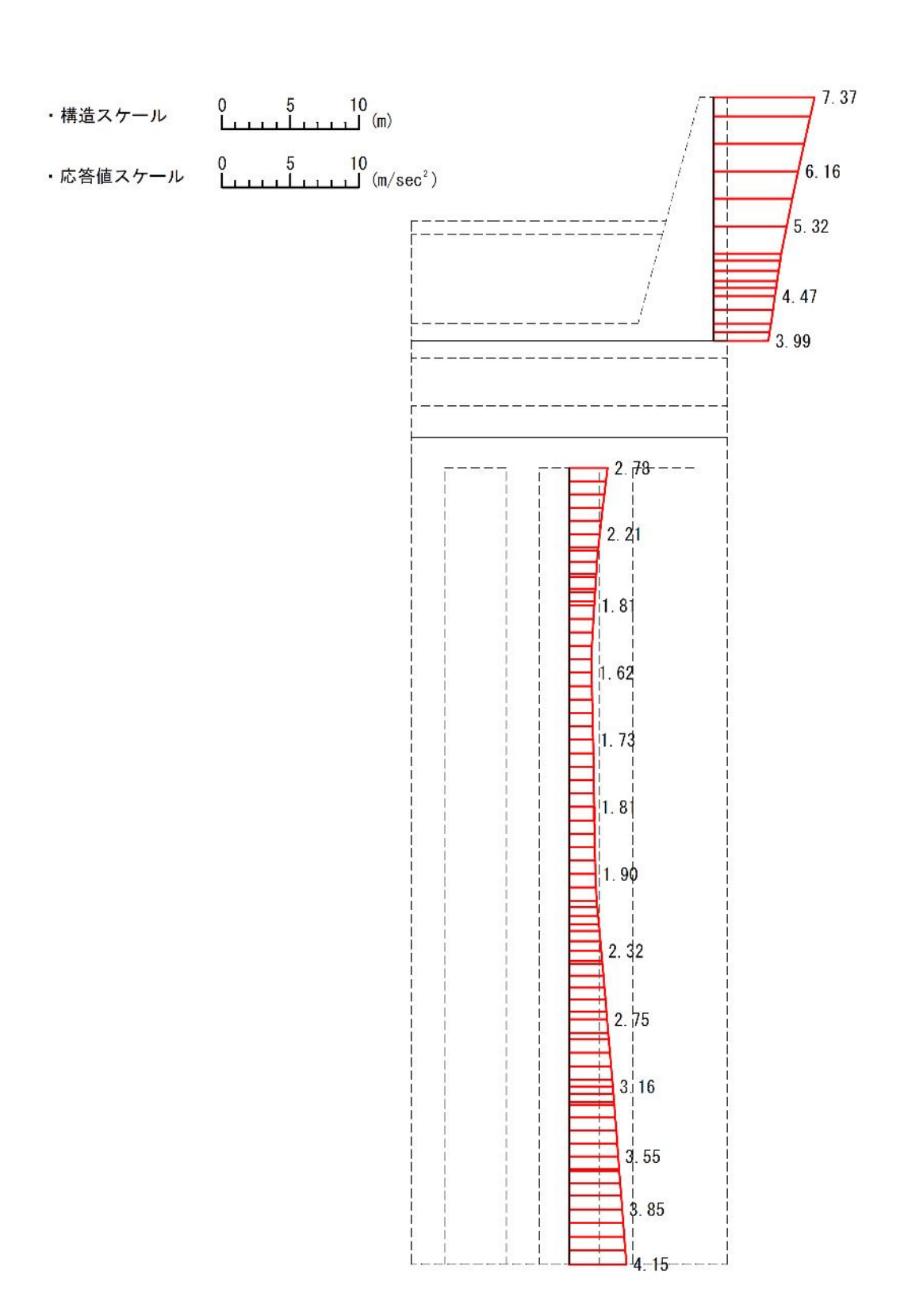


(a) S_s-D1 (H+, V-),水平

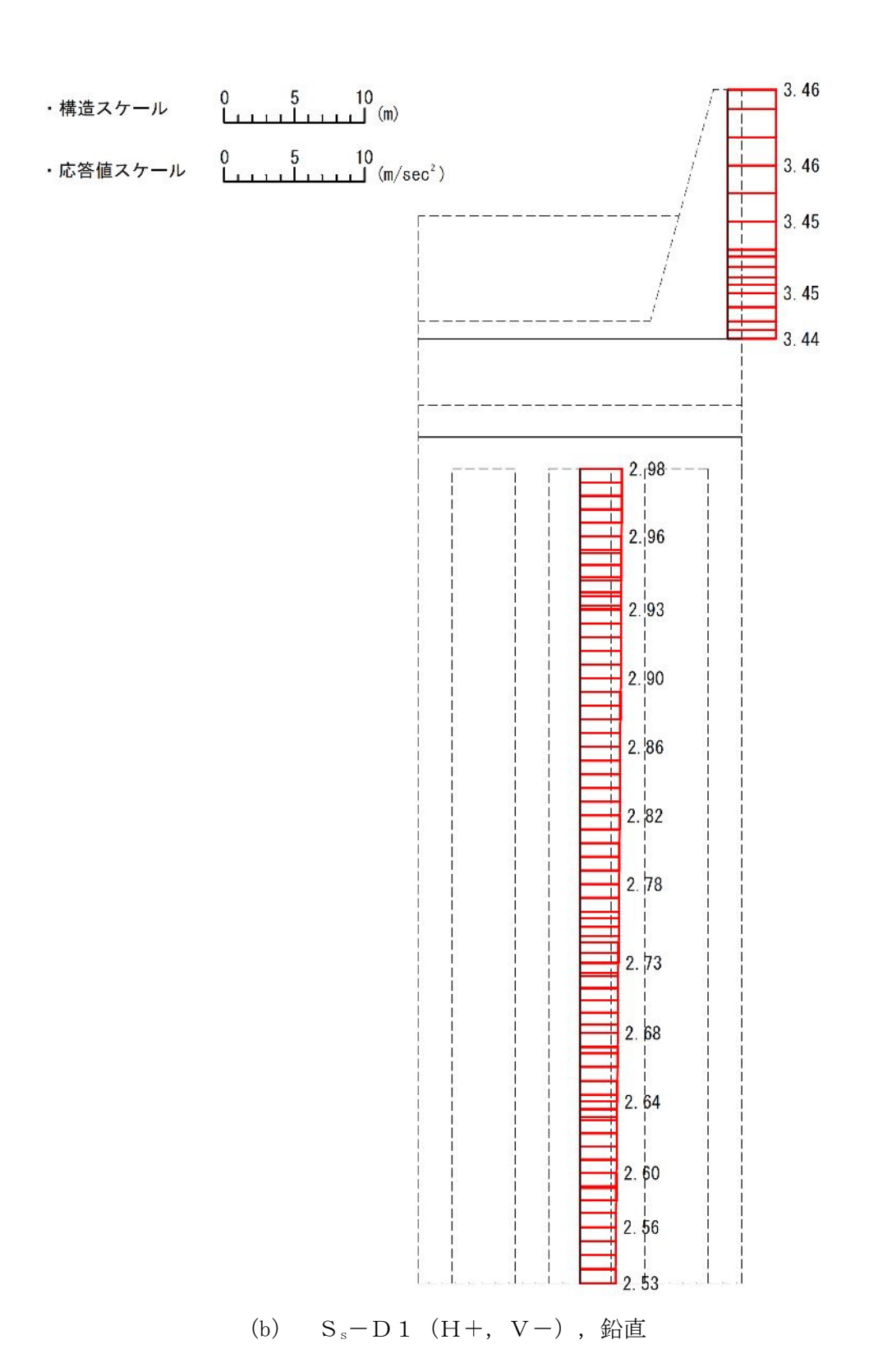


(b) S_s-D1 (H+, V-), 鉛直

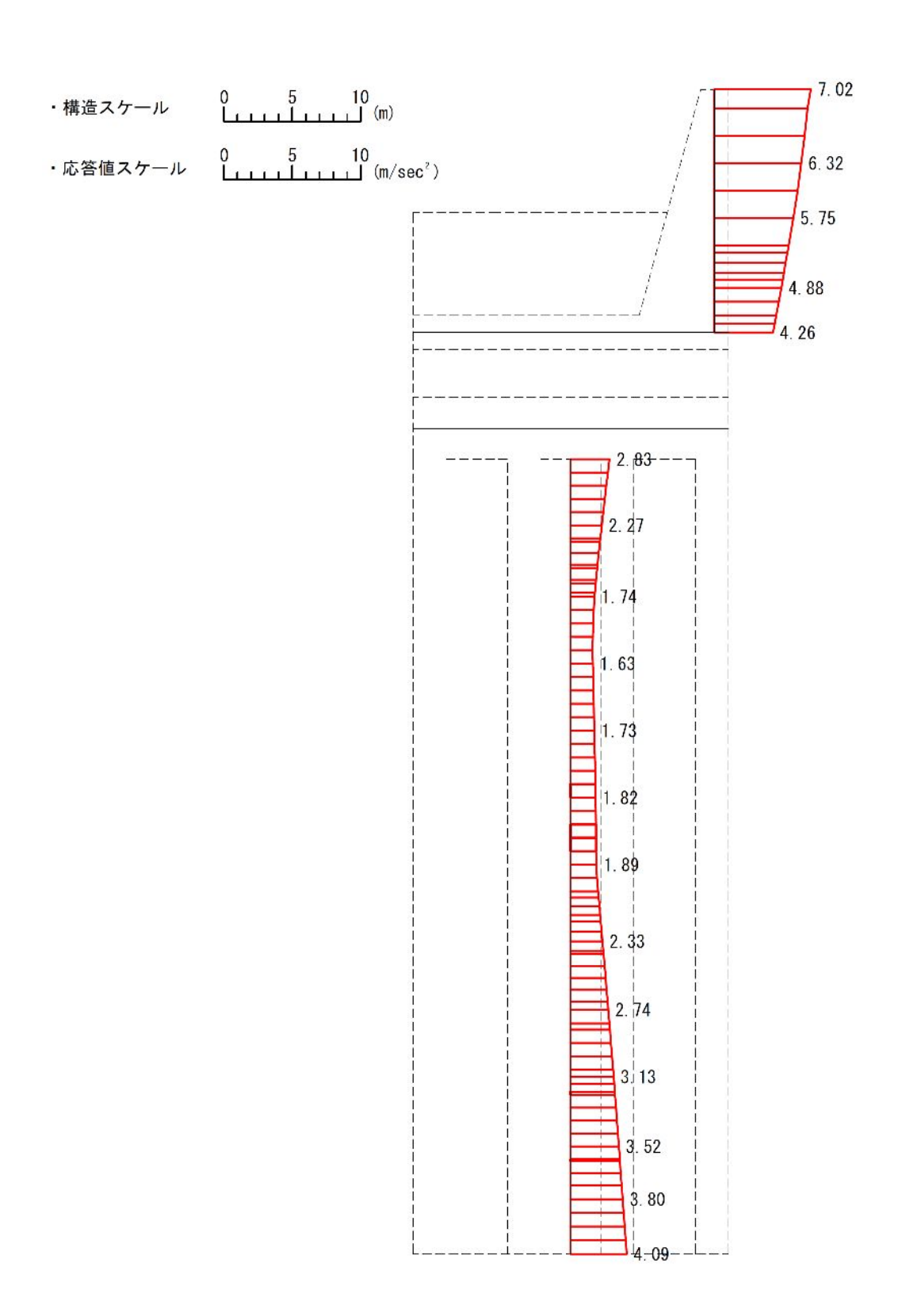
第4-1図(15) 防潮壁横断方向(①-①断面)の最大加速度分布図 (④敷地に存在しない豊浦標準砂の液状化強度特性により 地盤を強制的に液状化させることを仮定した解析ケース)



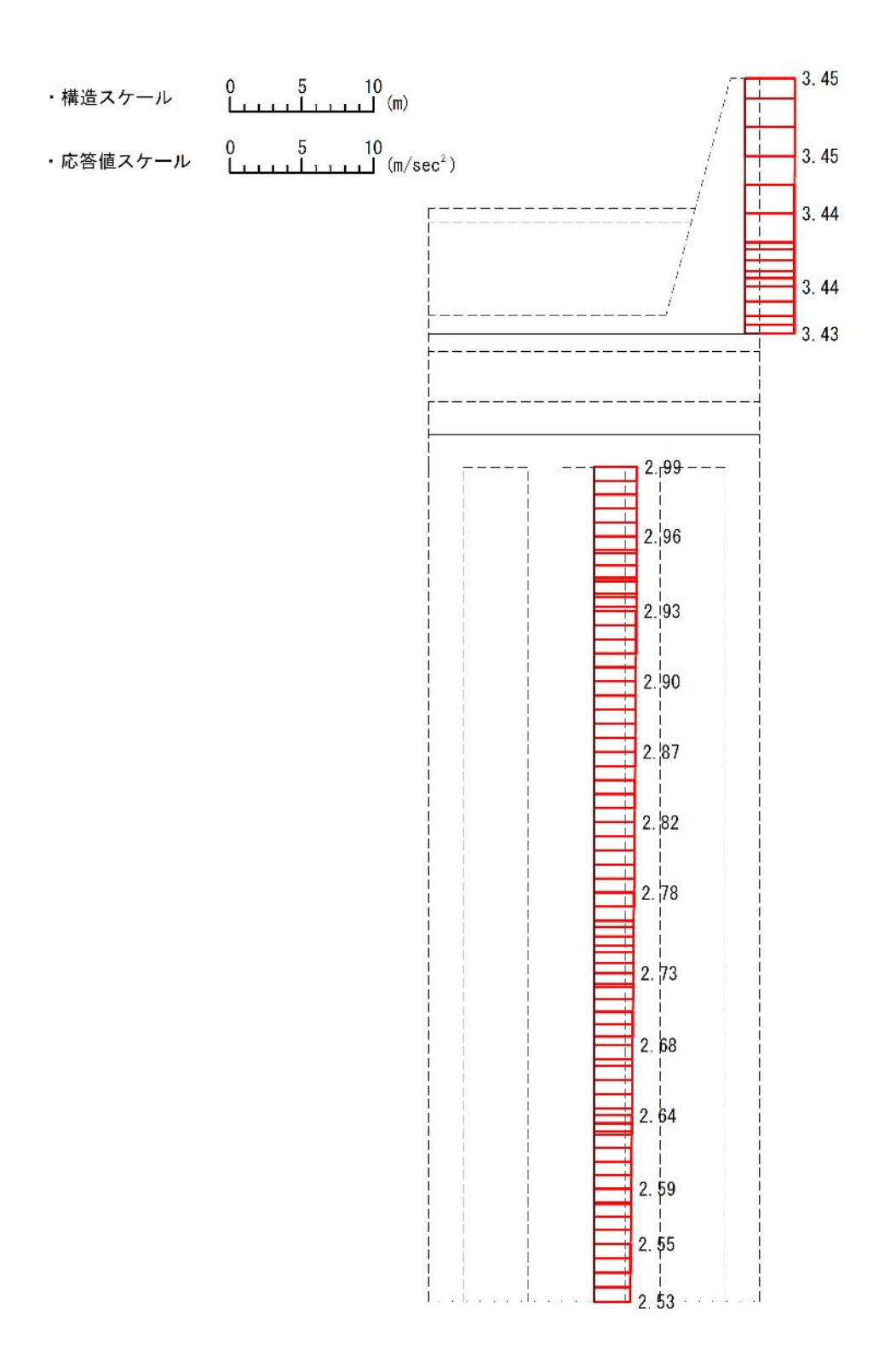
(a) $S_{\,\text{\tiny S}}\!-\!D\,\mathbf{1}$ (H+, V-) , $\,\,\mbox{\hskip-.1em}\,\hskip-.1em \,\,$



第4-1図(16) 防潮壁横断方向(①-①断面)の最大加速度分布図 (⑤原地盤において非液状化の条件を仮定した解析ケース)



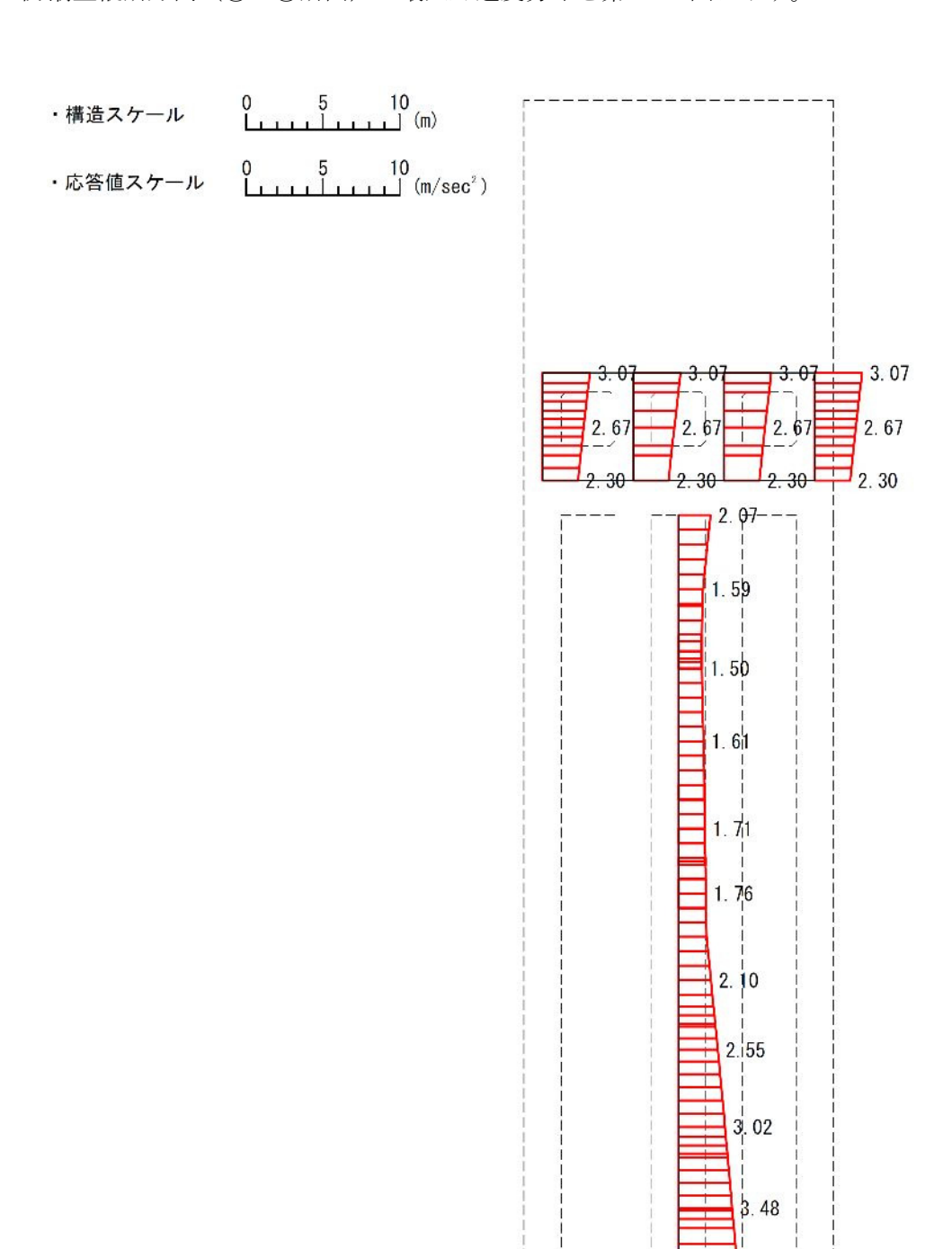
(a) $S_{\,\text{\tiny S}}\!-\!D\,\mathbf{1}$ (H+, V-) , $\,\,\mbox{\hskip-.1em}\,\hskip-.1em \,\,$



(b) S_s-D1 (H+, V-), 鉛直

第 4-1 図(17) 防潮壁横断方向(①-①断面)の最大加速度分布図 (⑥地盤物性のばらつきを考慮(+1 σ)して非液状化の条件を仮定した解析ケース)

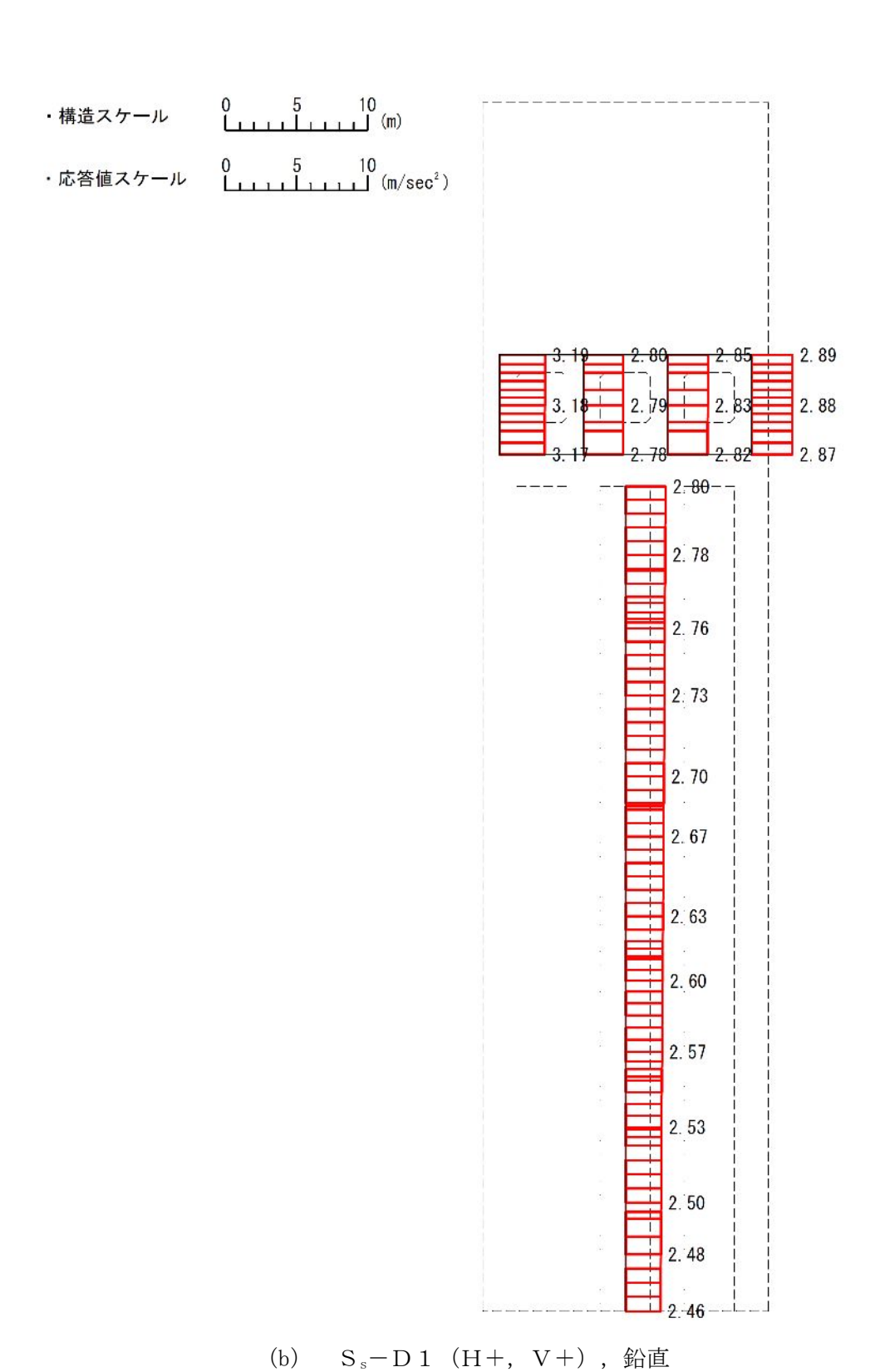
4.2 防潮壁縦断方向(②-②断面)の解析結果防潮壁縦断方向(②-②断面)の最大加速度分布を第4-2図に示す。



(a) S_s-D1 (H+, V+) , 水平

3.92

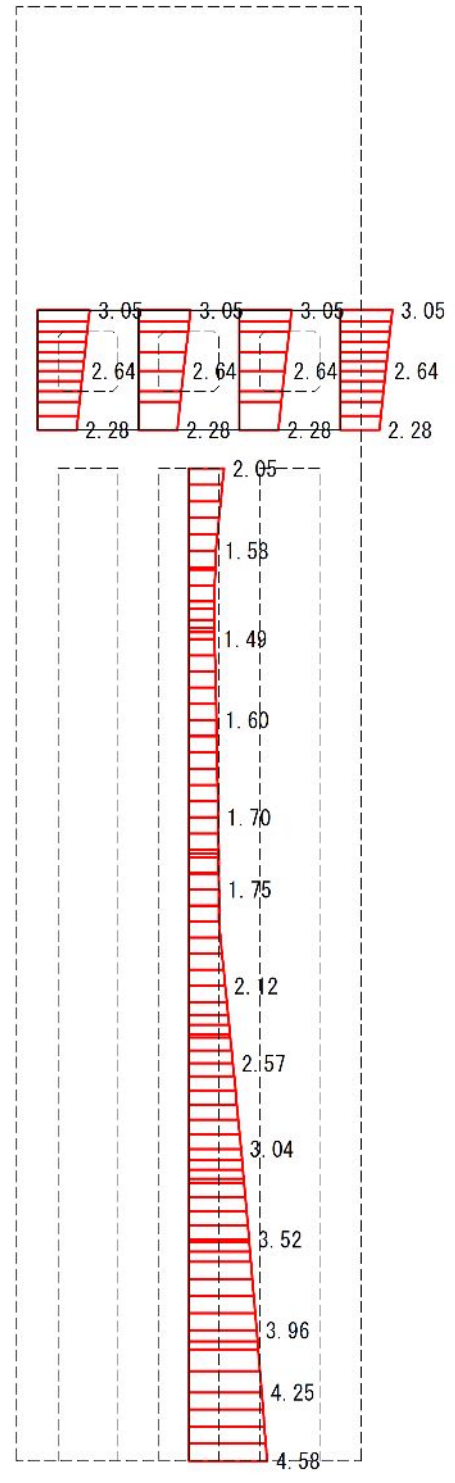
4. 21



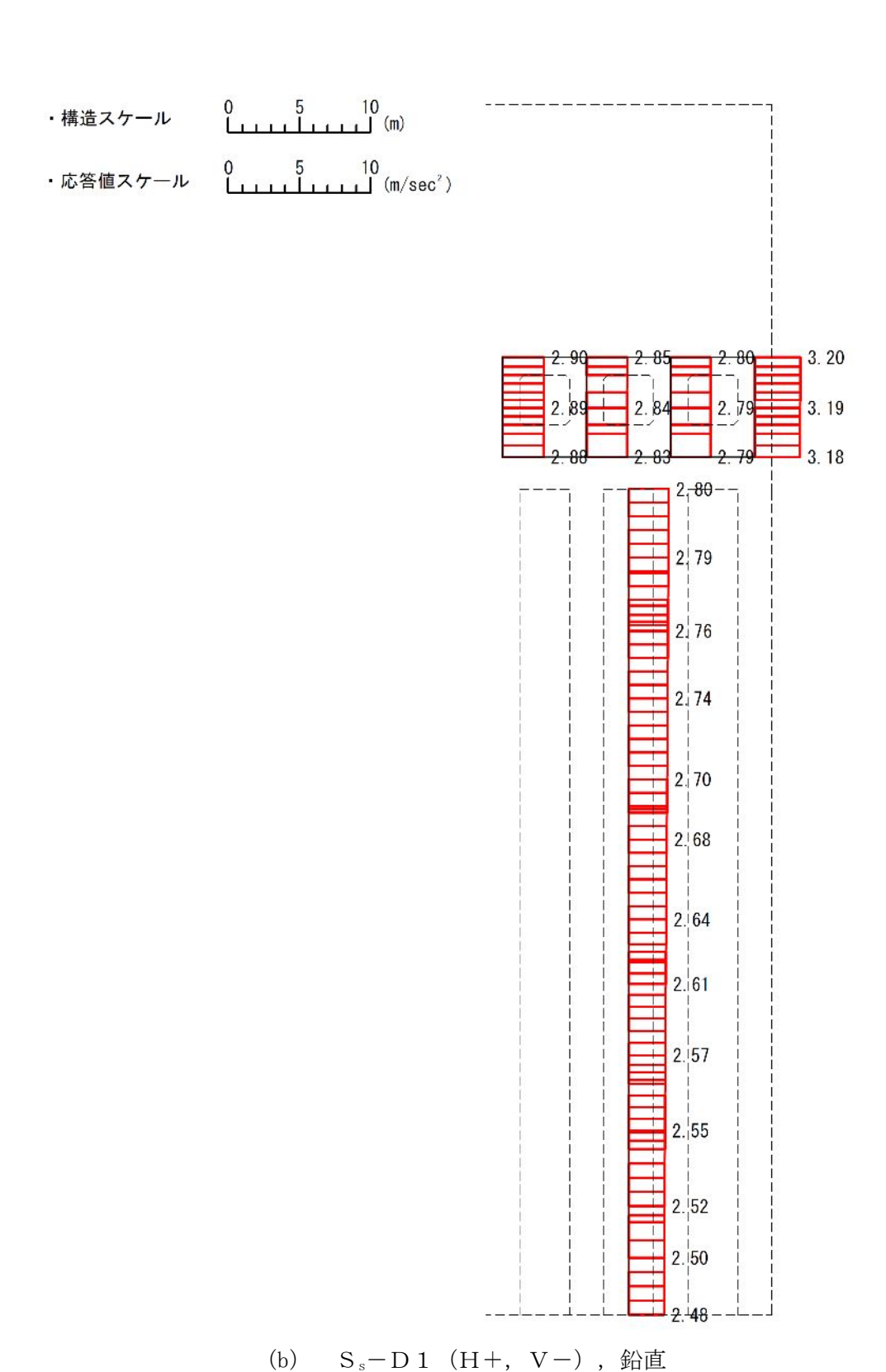
第4-2図(1) 防潮壁縦断方向(②-②断面)の最大加速度分布図

月4-2 図(1) - 奶棚壁樅断万向(②一②断面)の最大加速度分布区 (①原地盤に基づく液状化強度特性を用いた解析ケース)

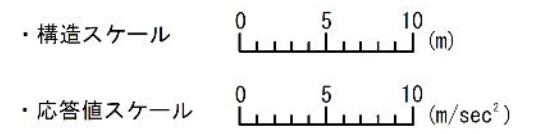


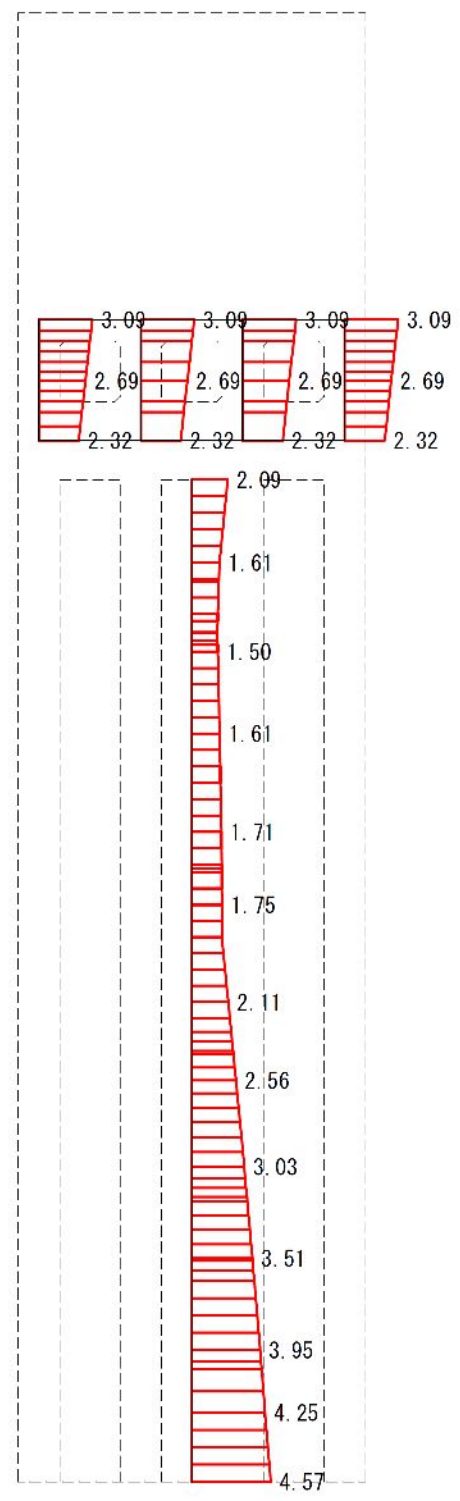


(a)
$$S_s-D1$$
 (H+, V-), 水平

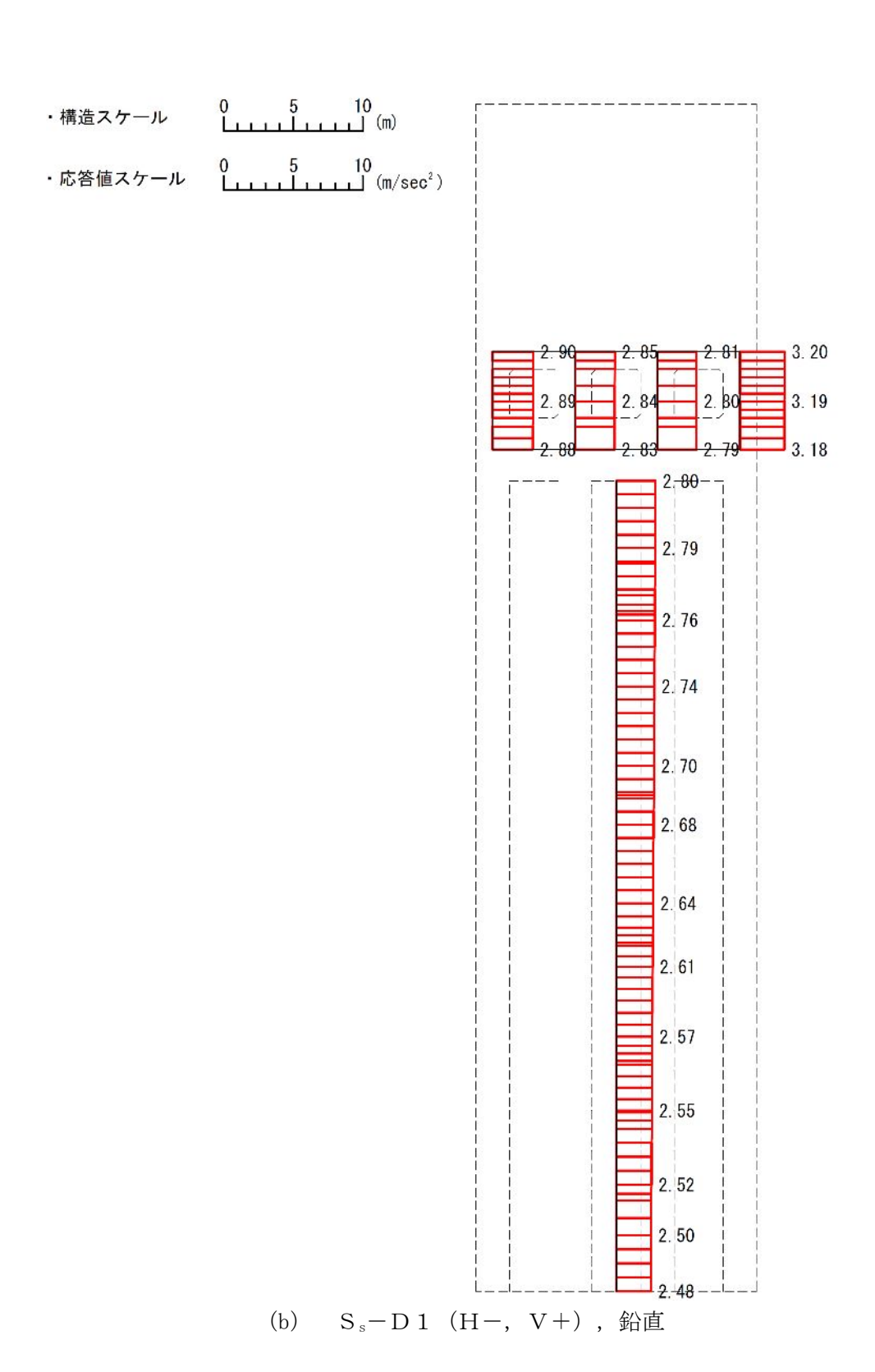


第4-2図(2) 防潮壁縦断方向(②-②断面)の最大加速度分布図 (①原地盤に基づく液状化強度特性を用いた解析ケース)



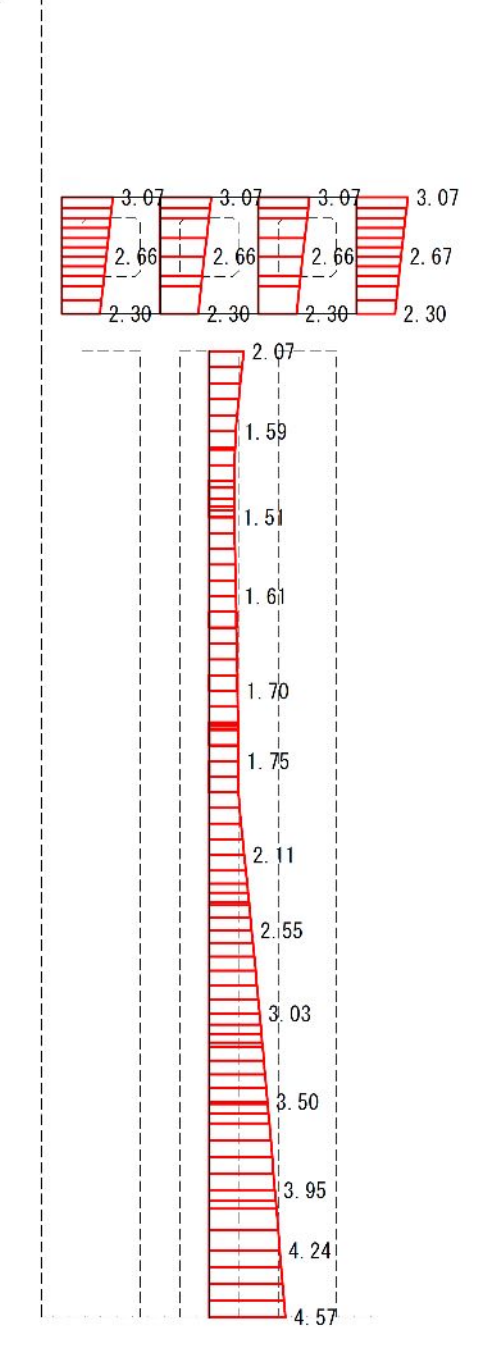


(a) S_s-D1 (H-, V+) , 水平

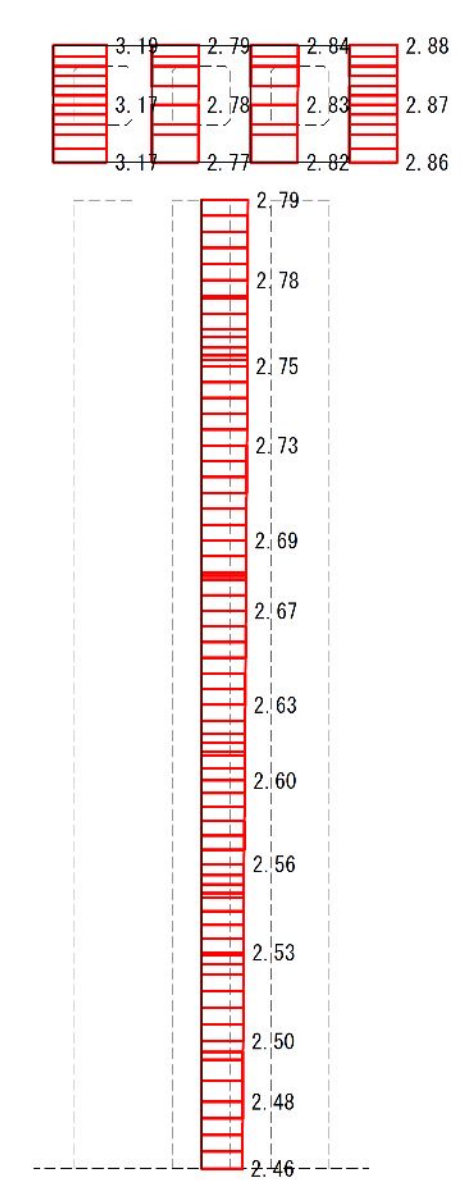


第4-2図(3) 防潮壁縦断方向(②-②断面)の最大加速度分布図 (①原地盤に基づく液状化強度特性を用いた解析ケース)

・構造スケール 0 5 10 (m)
 ・応答値スケール 0 5 10 (m/sec²)

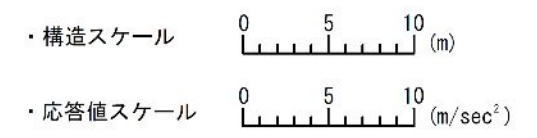


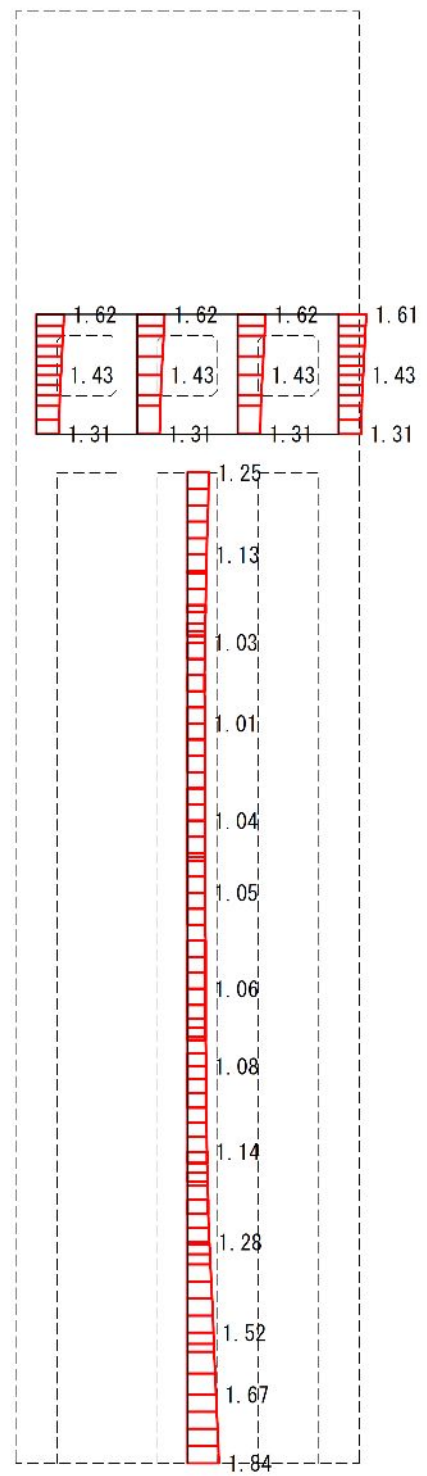
(a) S_s-D1 (H-, V-) , 水平



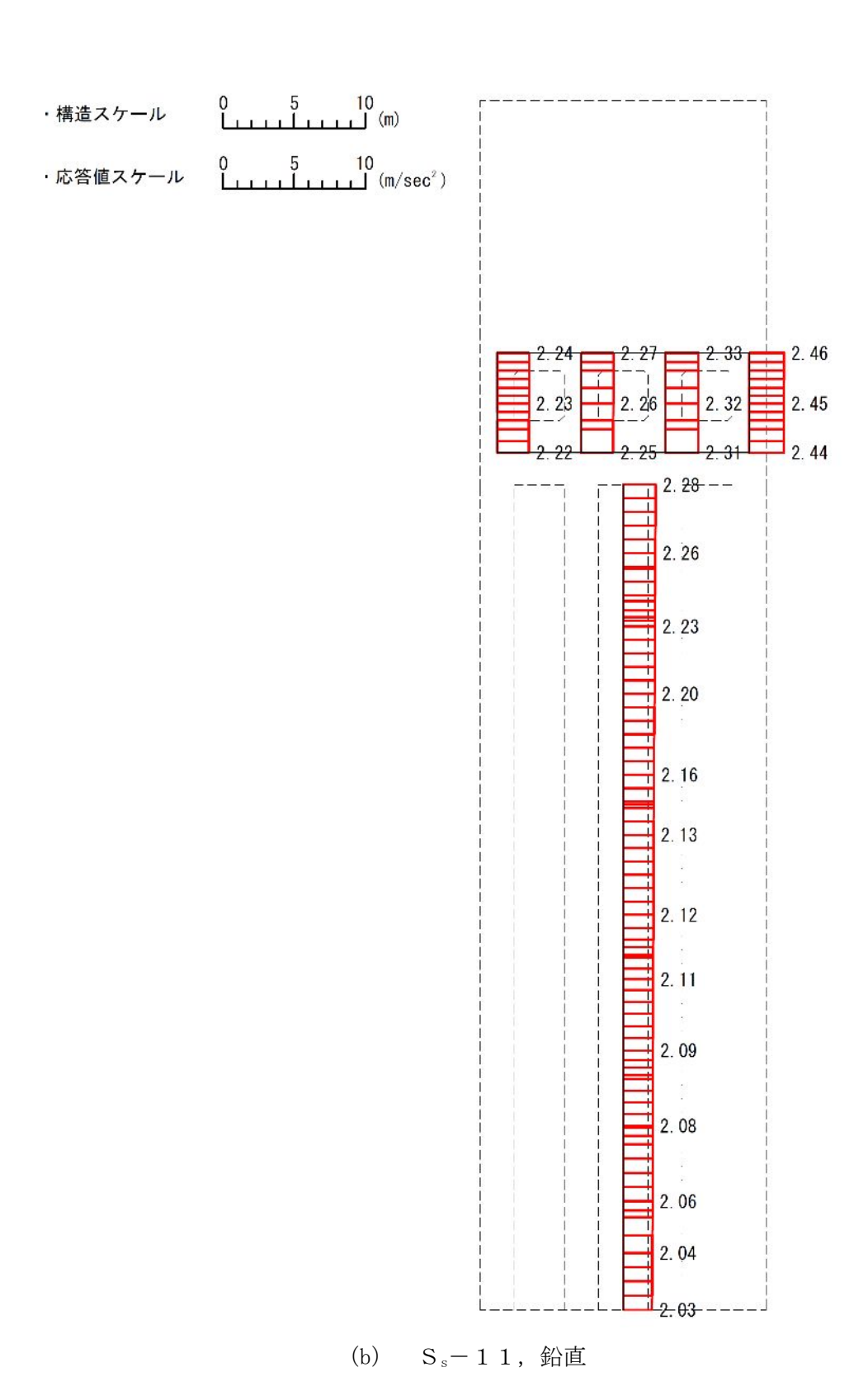
(b) S_s-D1 (H-, V-), 鉛直

第4-2図(4) 防潮壁縦断方向(②-②断面)の最大加速度分布図 (①原地盤に基づく液状化強度特性を用いた解析ケース)



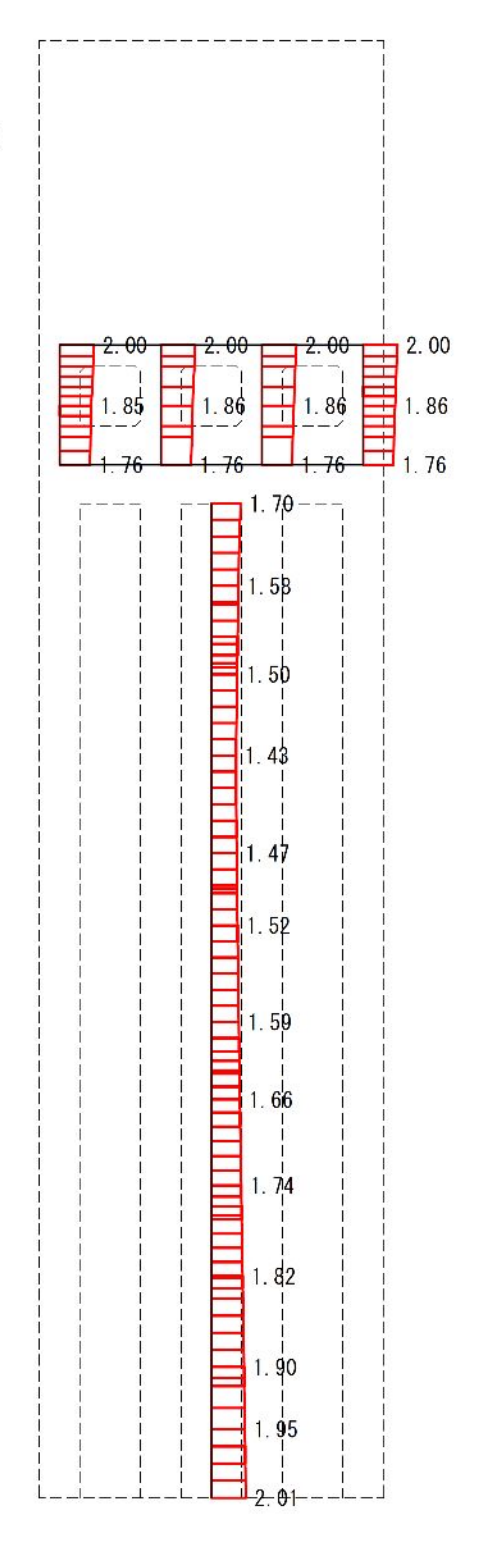


(a) S_s-11 , 水平

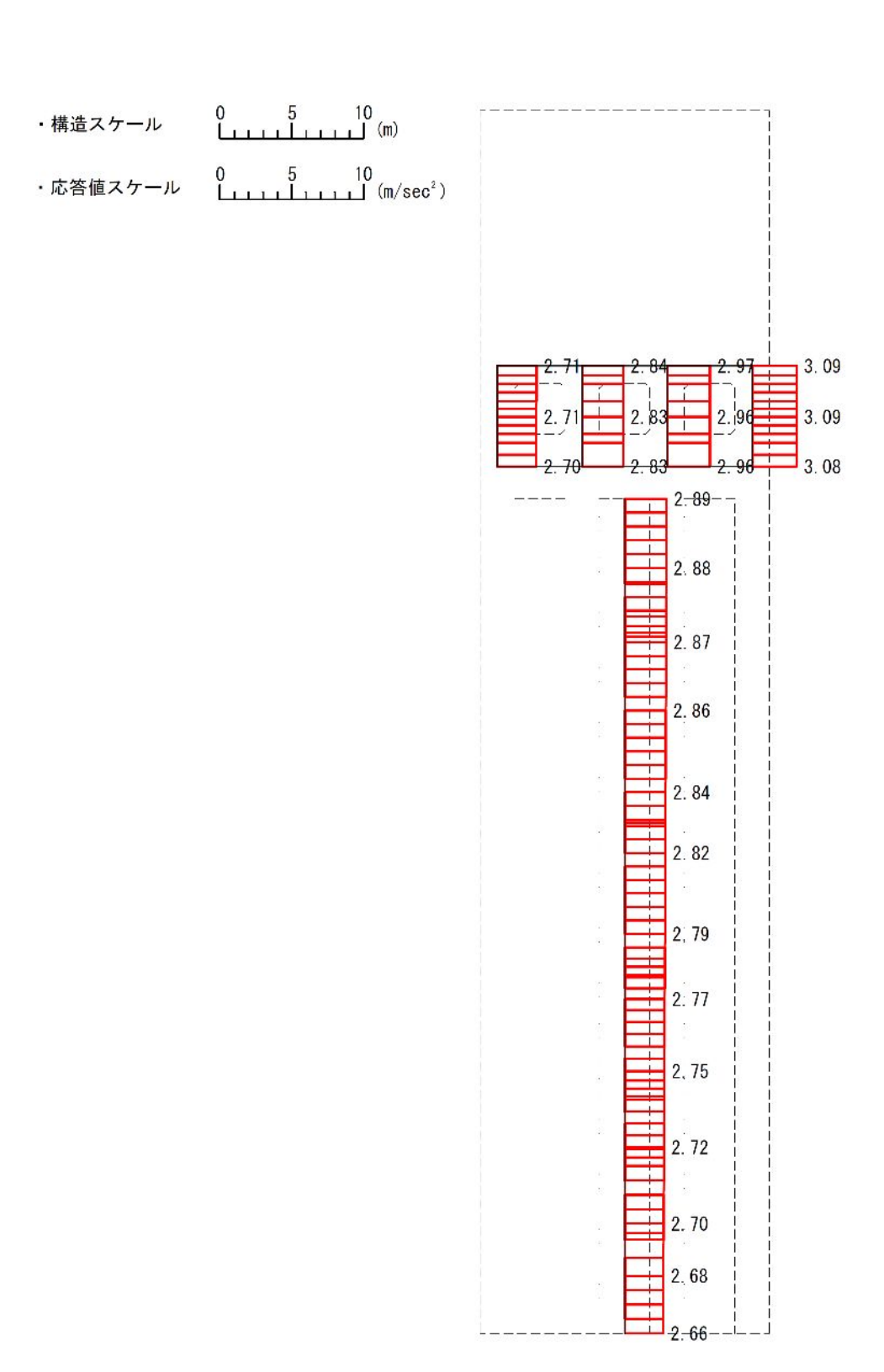


第4-2図(5) 防潮壁縦断方向(②-②断面)の最大加速度分布図 (①原地盤に基づく液状化強度特性を用いた解析ケース)

・構造スケール 0 5 10 (m)
 ・応答値スケール 0 5 10 (m/sec²)

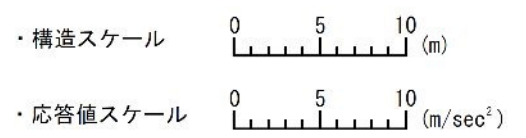


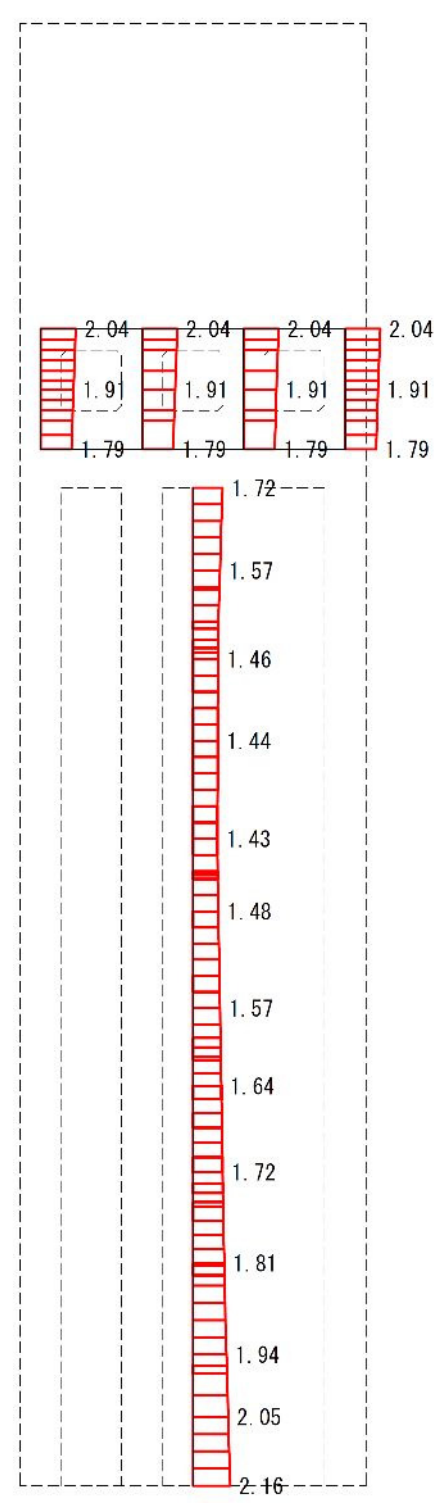
(a) S_s-12 , 水平



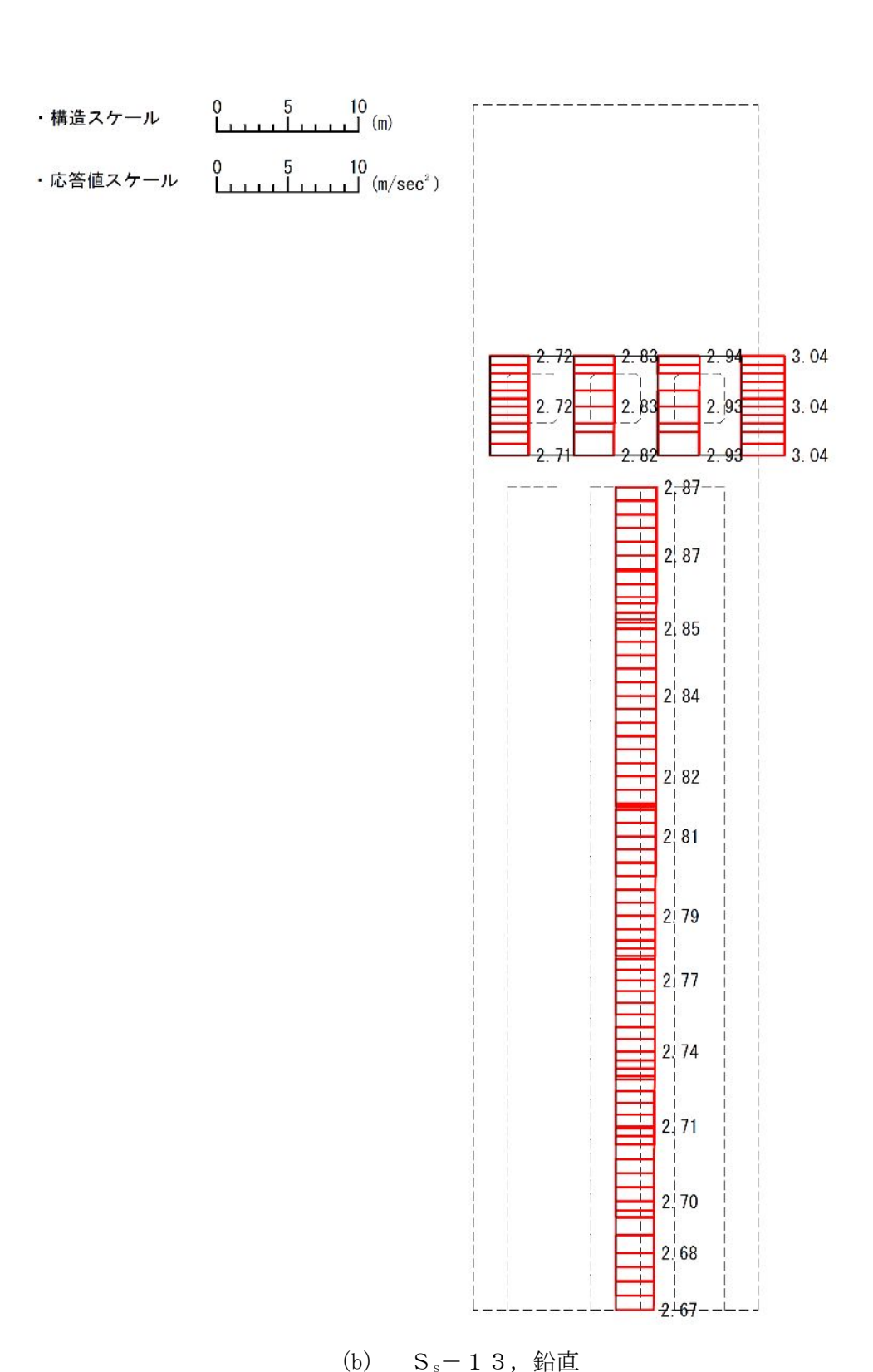
(b) $S_s - 12$, 鉛直

第 4-2 図 (6) 防潮壁縦断方向(②-②断面)の最大加速度分布図 (①原地盤に基づく液状化強度特性を用いた解析ケース)

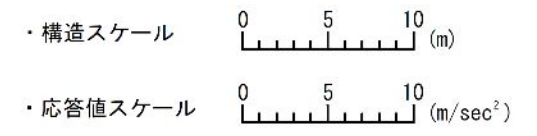


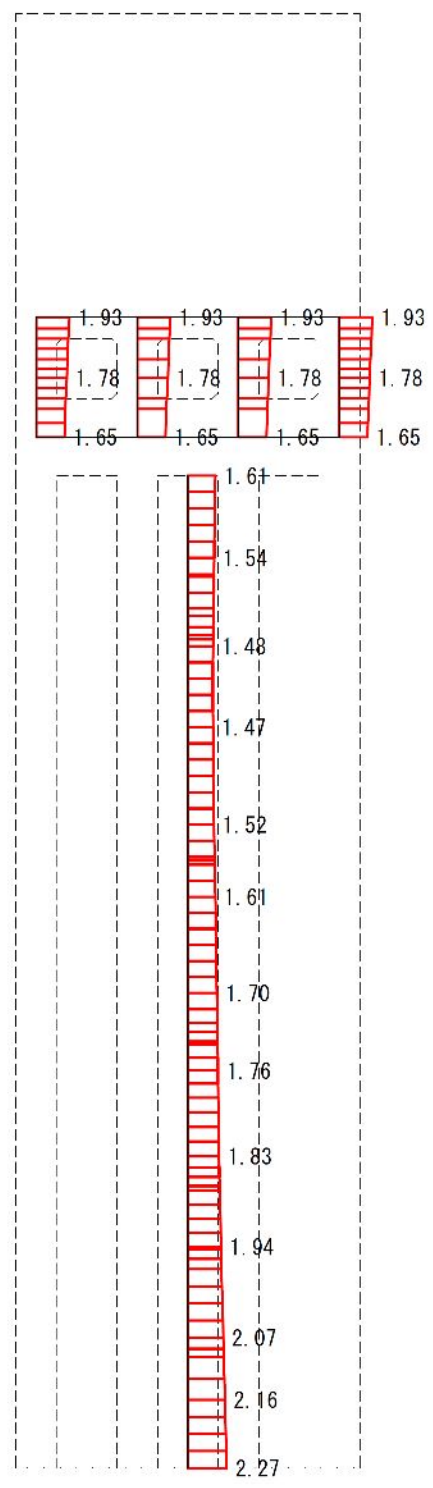


(a) S_s-13 , 水平

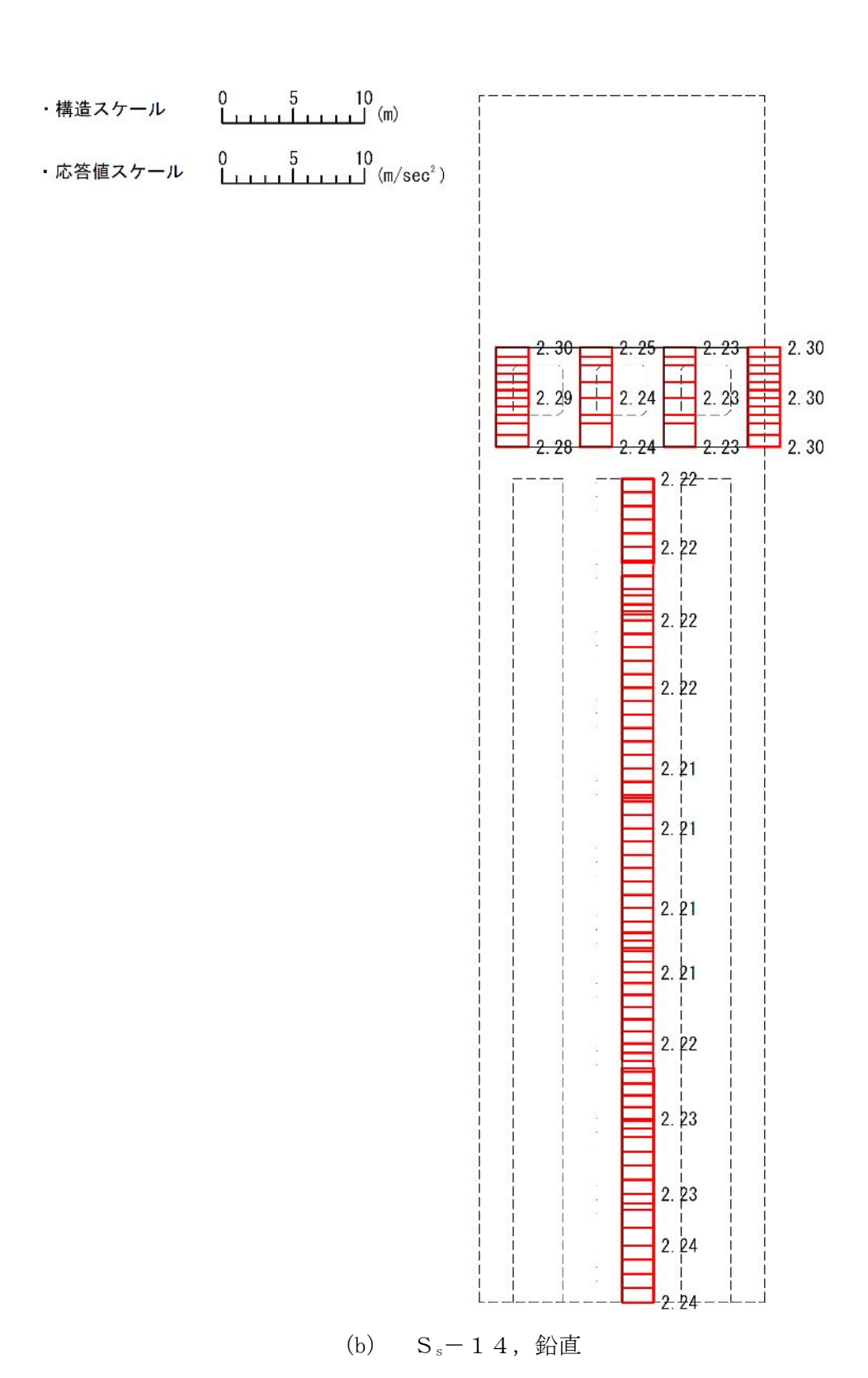


第4-2図(7) 防潮壁縦断方向(②-②断面)の最大加速度分布図 (①原地盤に基づく液状化強度特性を用いた解析ケース)



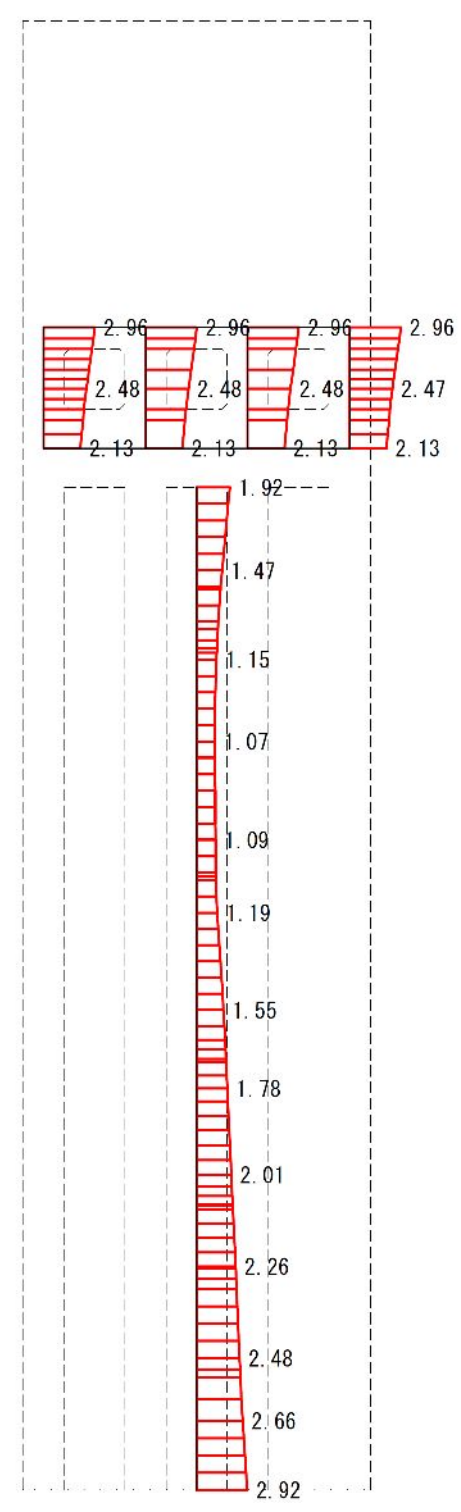


(a) S_s-14 , 水平

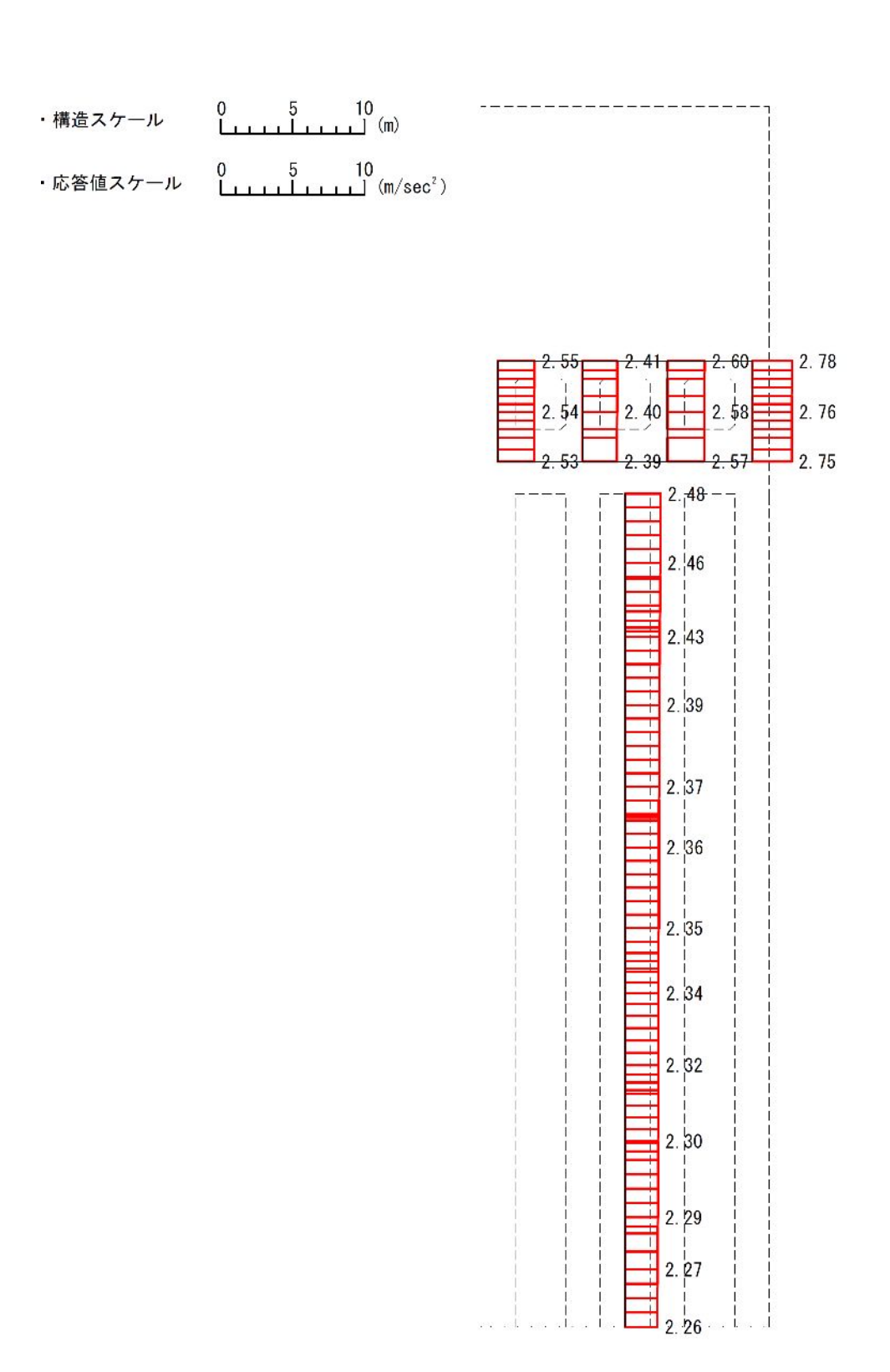


第 4-2 図 (8) 防潮壁縦断方向 (②-②断面) の最大加速度分布図 (①原地盤に基づく液状化強度特性を用いた解析ケース)





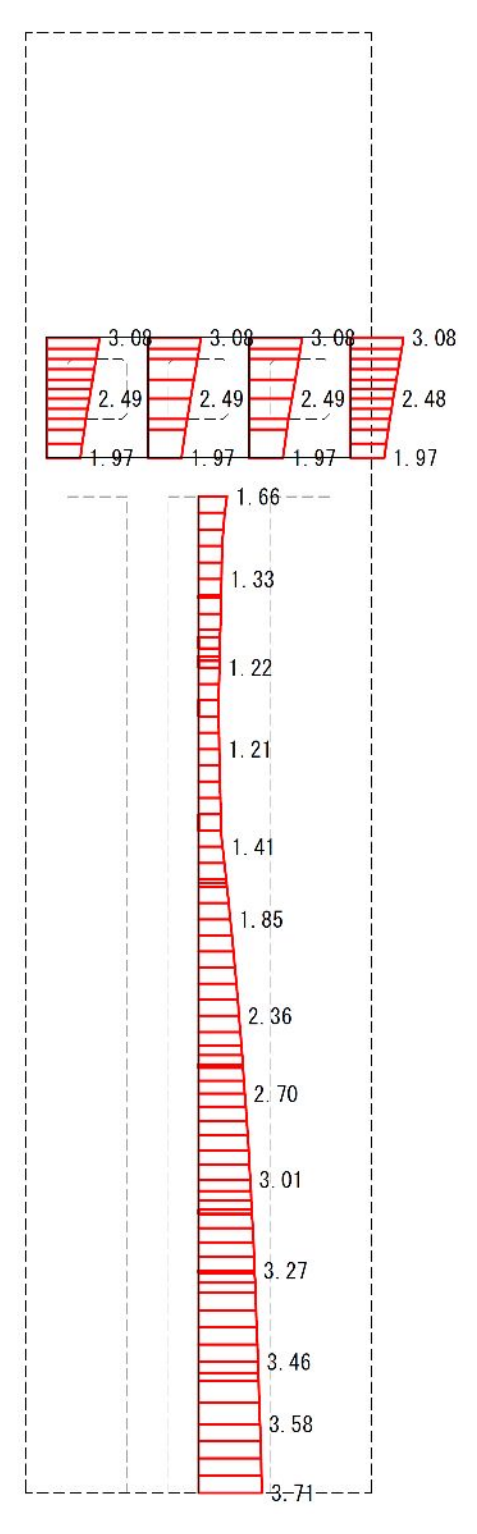
(a) S_s-21 , 水平



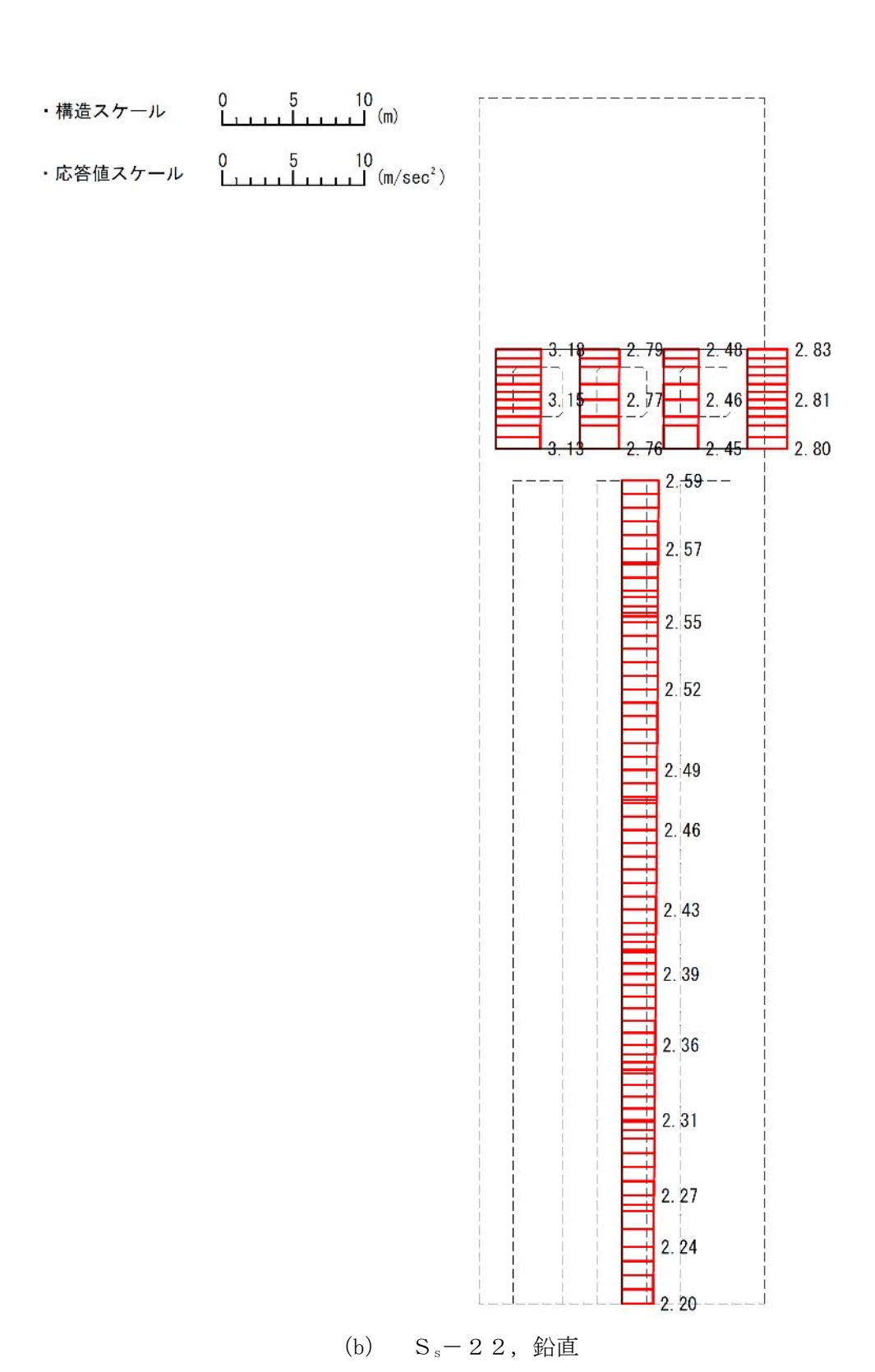
(b) S_s-21, 鉛直

第4-2図(9) 防潮壁縦断方向(②-②断面)の最大加速度分布図 (①原地盤に基づく液状化強度特性を用いた解析ケース)



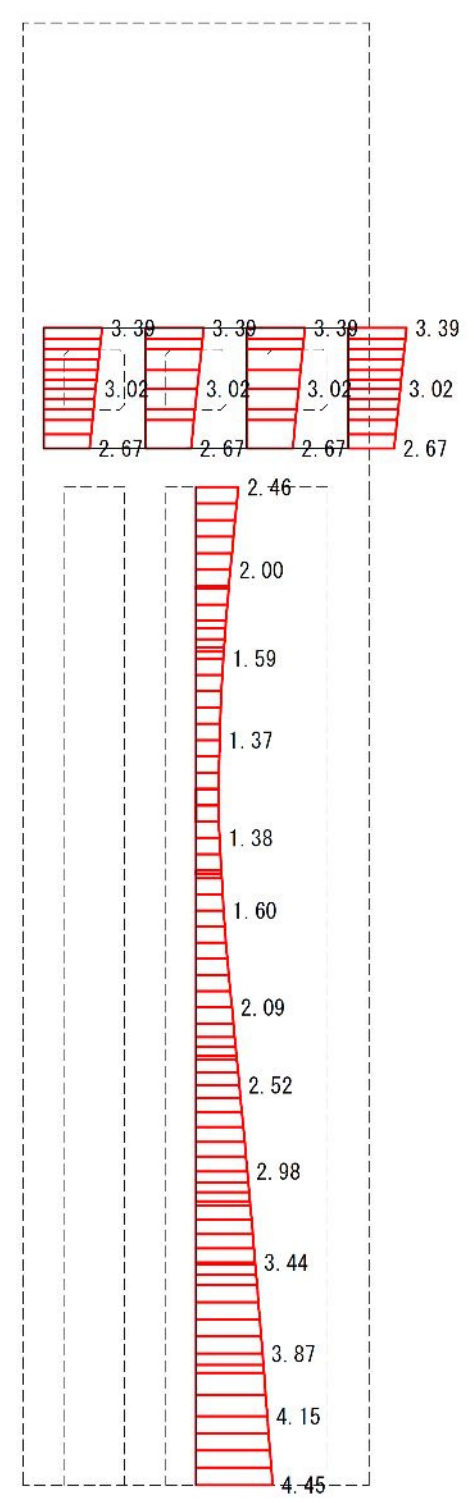


(a) S_s-22 , 水平

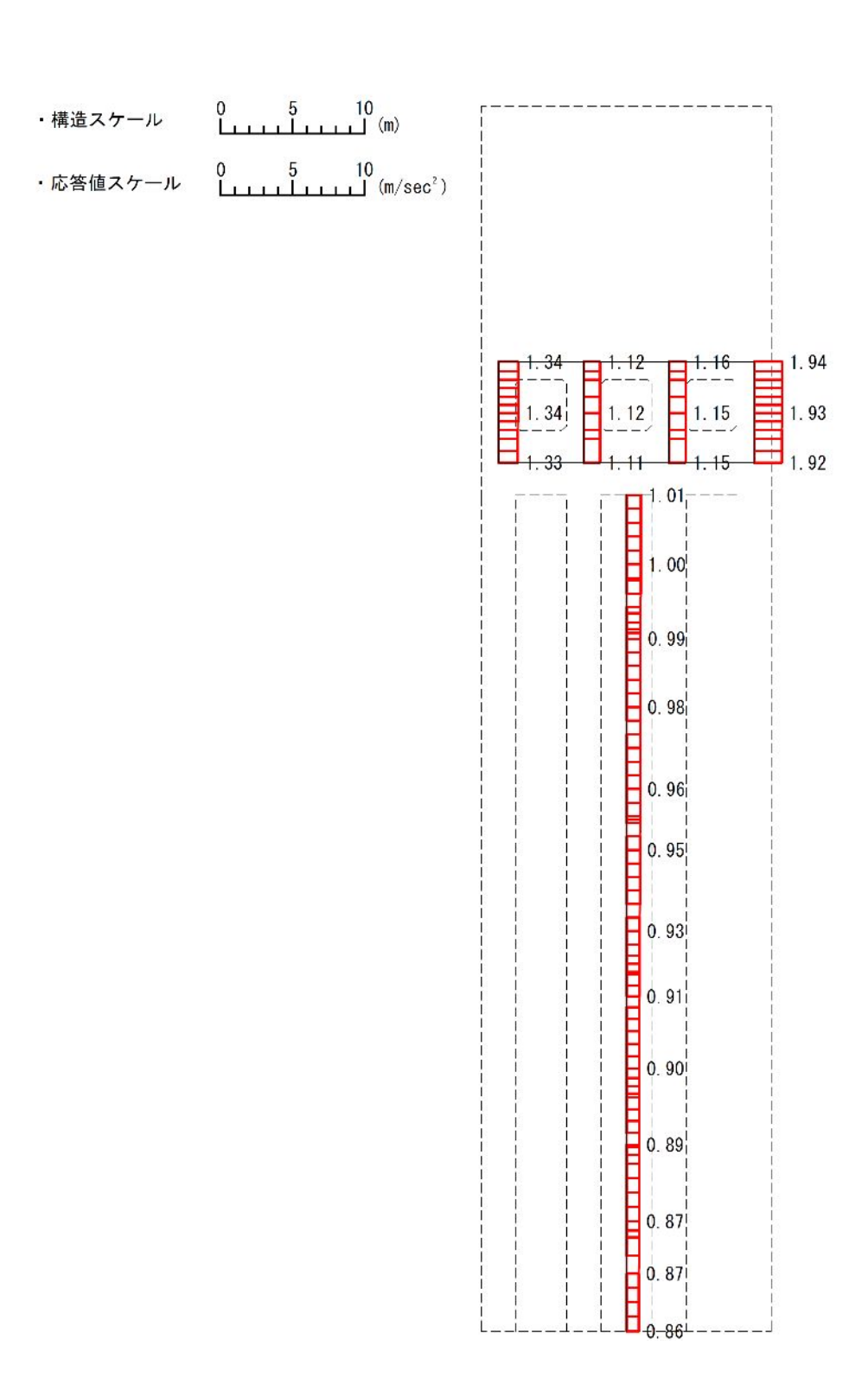


第4-2図 (10) 防潮壁縦断方向 (②-②断面) の最大加速度分布図 (①原地盤に基づく液状化強度特性を用いた解析ケース)





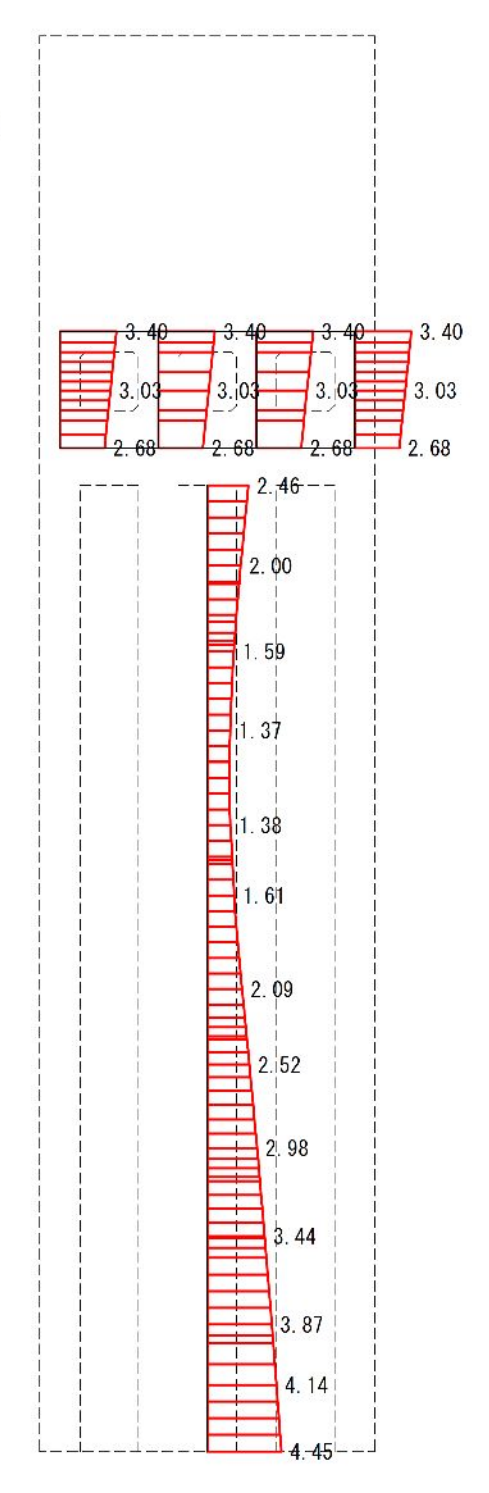
(a)
$$S_s-31$$
 (H+, V+), 水平



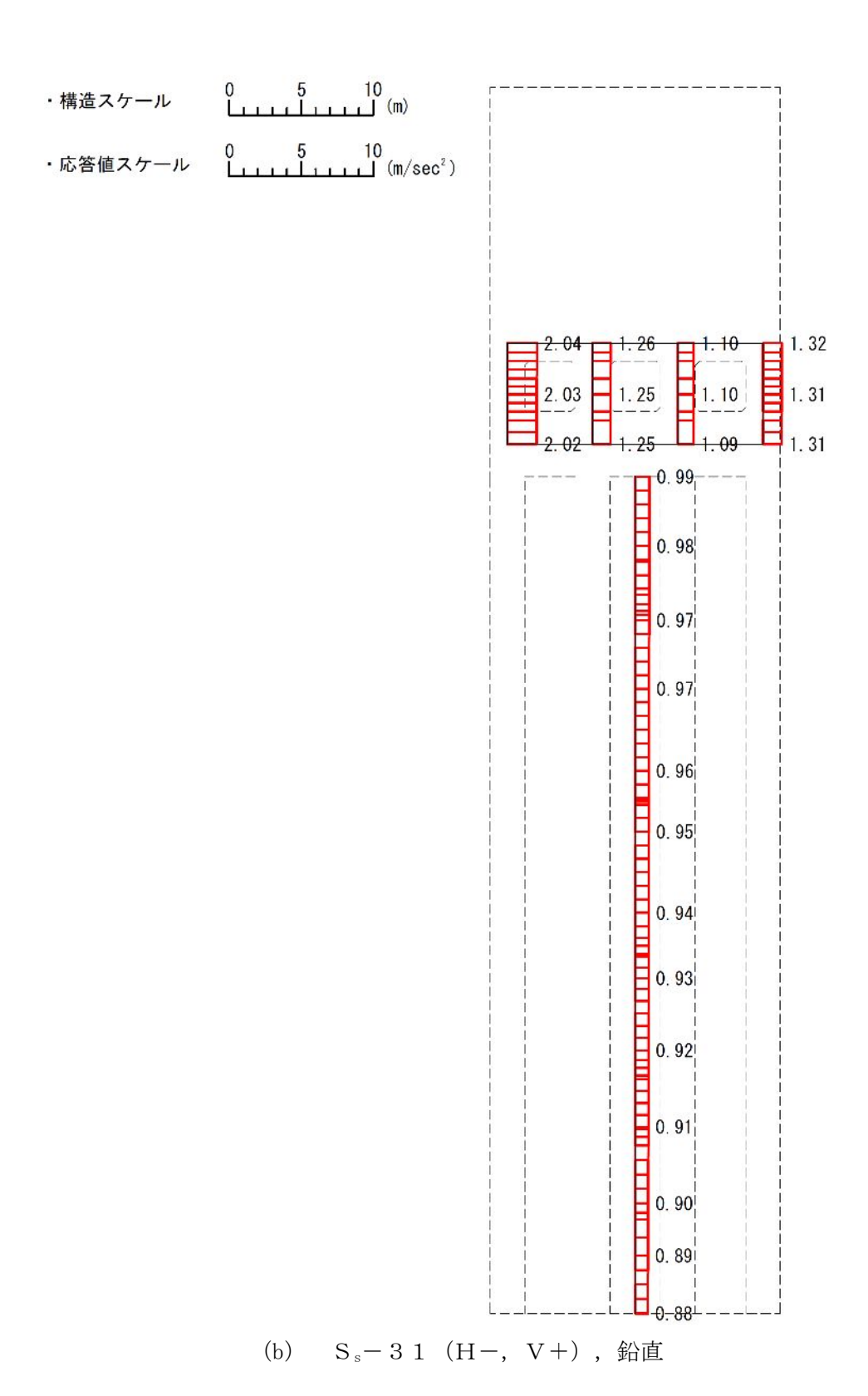
(b) $S_s - 31$ (H+, V+), 鉛直

第 4-2 図 (11) 防潮壁縦断方向 (②-②断面) の最大加速度分布図 (①原地盤に基づく液状化強度特性を用いた解析ケース)

・構造スケール 0 5 10 (m)
・応答値スケール 0 5 10 (m/sec²)

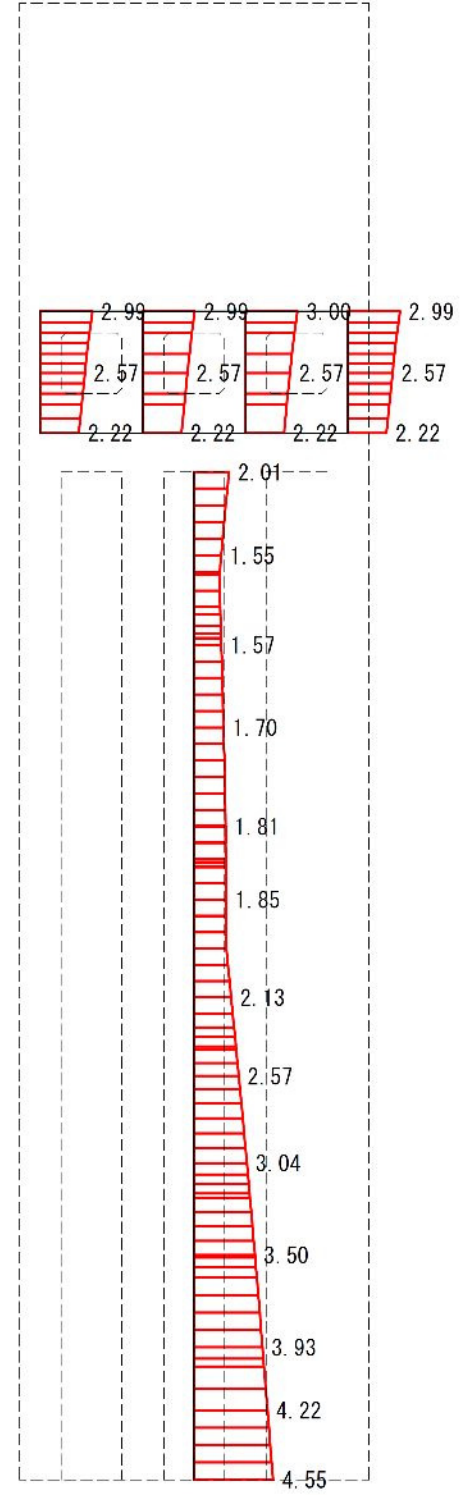


(a) S_s-31 (H-, V+), 水平

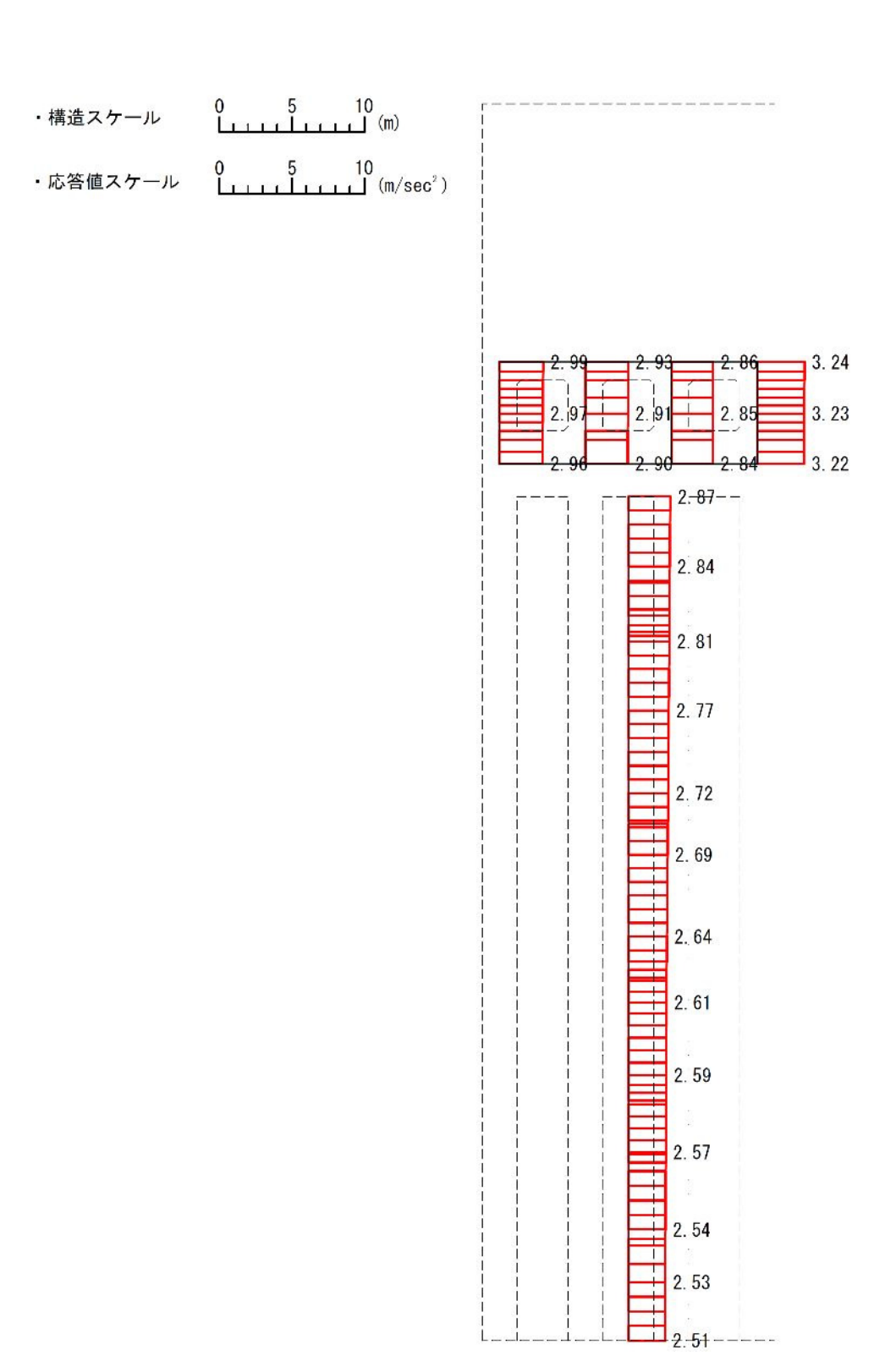


第4-2図(12) 防潮壁縦断方向(②-②断面)の最大加速度分布図 (①原地盤に基づく液状化強度特性を用いた解析ケース)



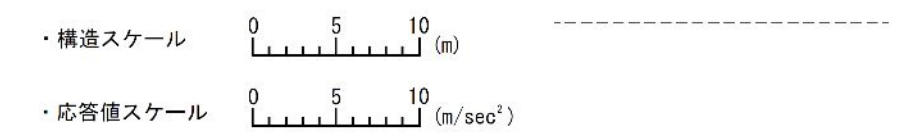


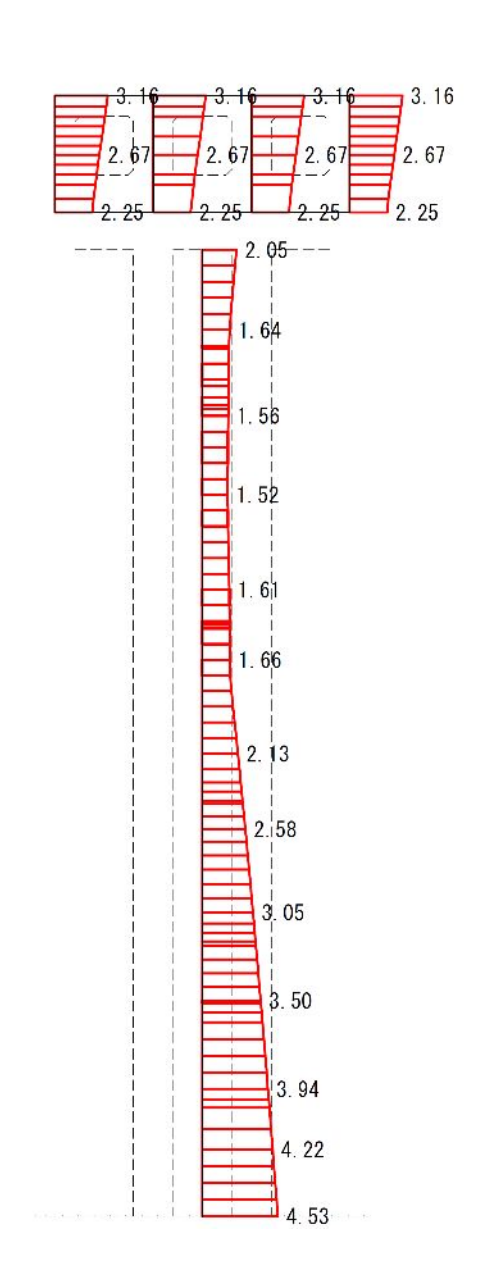
(a)
$$S_{\,\text{\tiny S}}\!-\!D\,\mathbf{1}$$
 (H+, V-) , $\,\,\mbox{\hskip-.1em}\,\hskip-.1em \,\,$



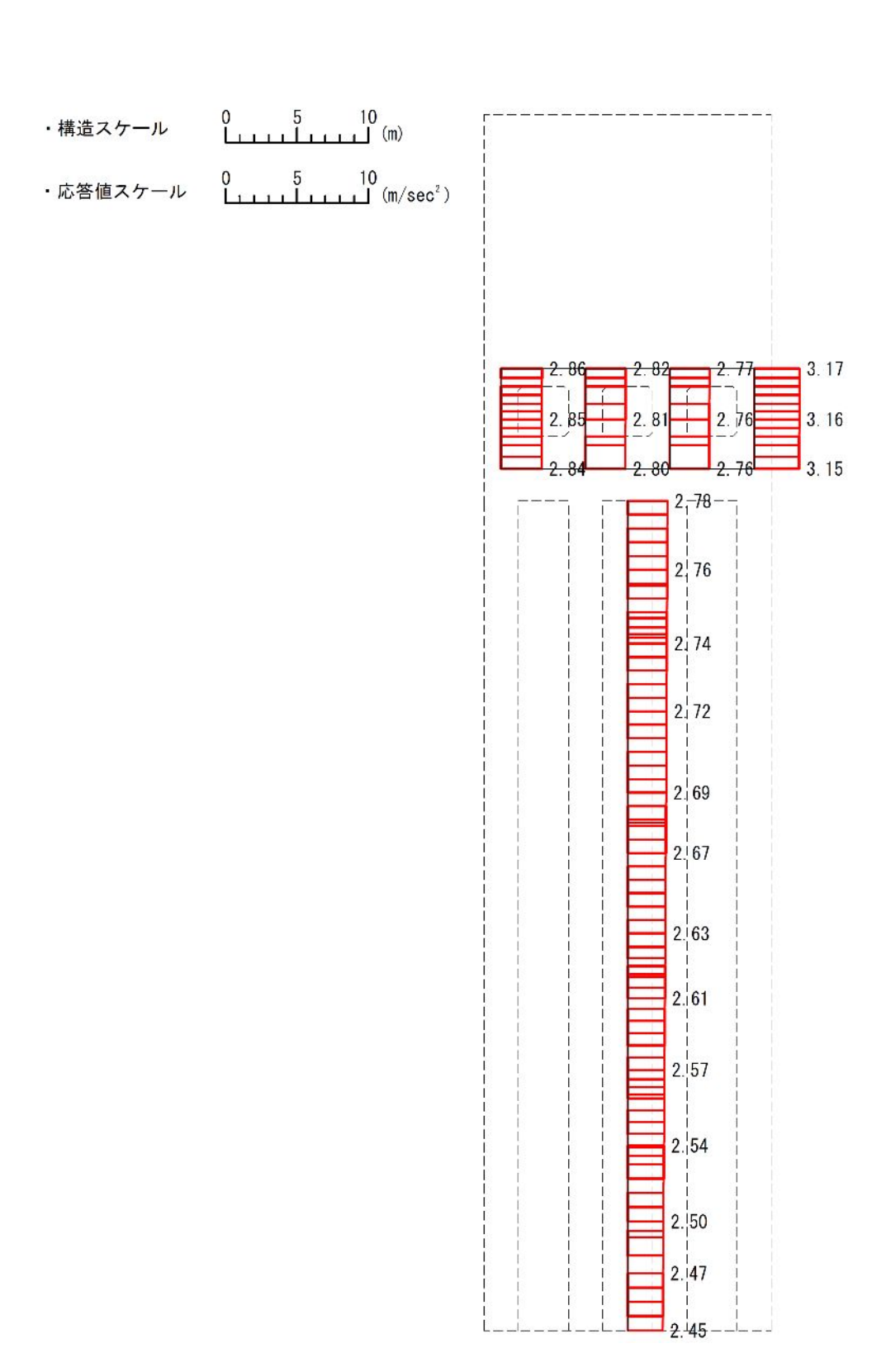
(a) S_s-D1 (H+, V-), 鉛直

第 4-2 図(13) 防潮壁縦断方向(2-2断面)の最大加速度分布図(2地盤物性のばらつきを考慮(+1 σ)した解析ケース)



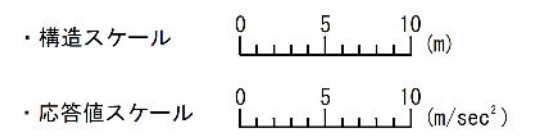


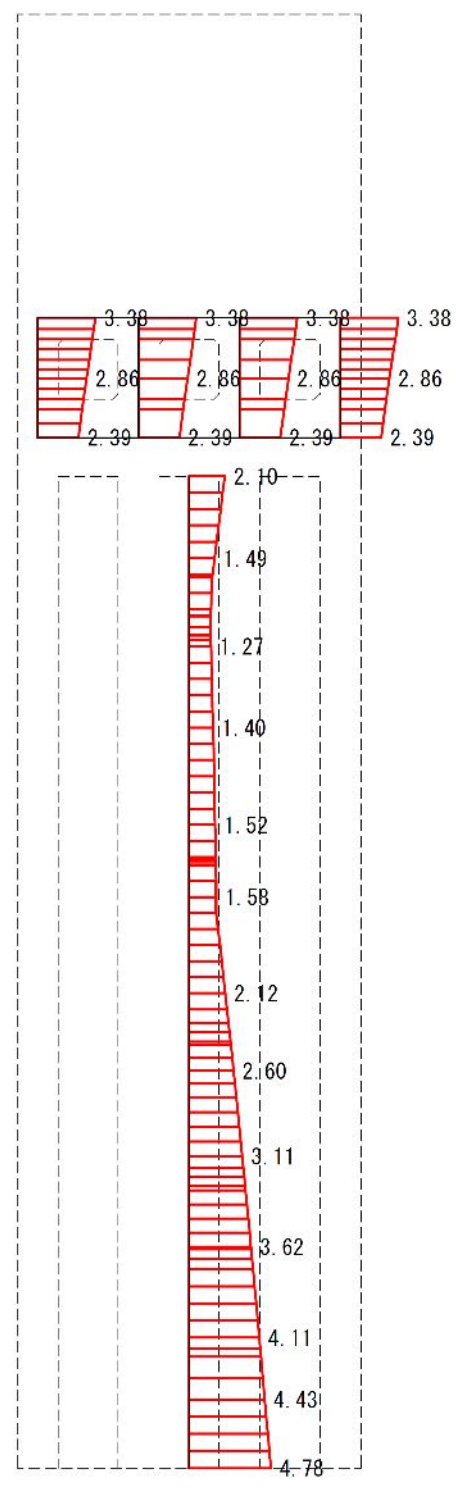
(a) S_s-D1 (H+, V-), 水平



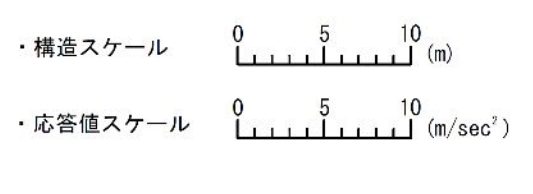
(b) S_s-D1 (H+, V-), 鉛直

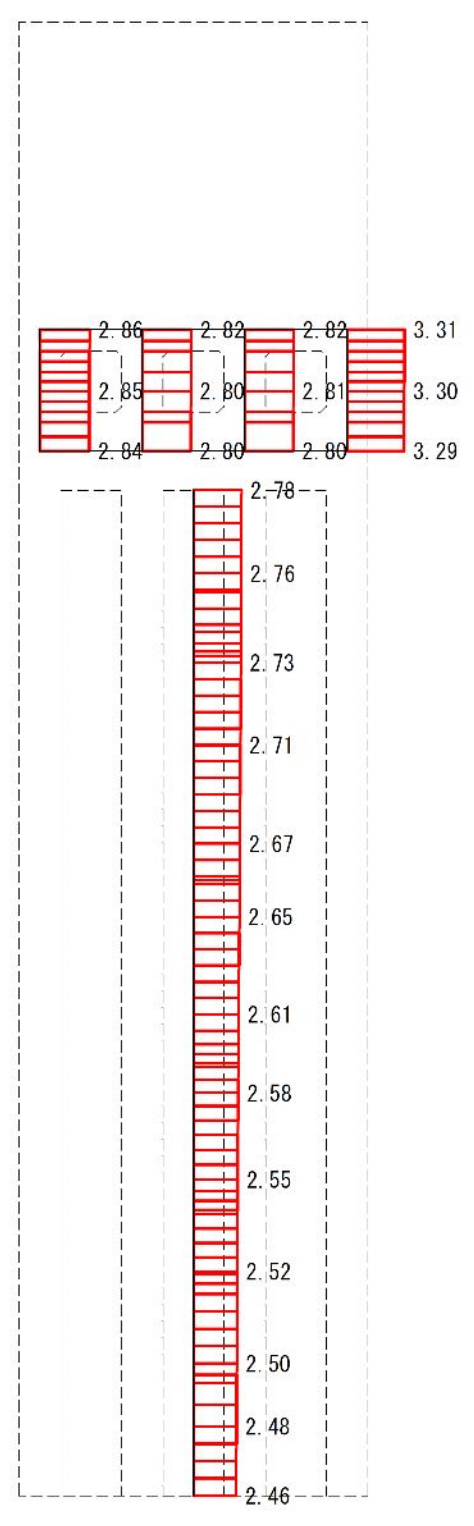
第 4-2 図(14) 防潮壁縦断方向(2-2断面)の最大加速度分布図(3地盤物性のばらつきを考慮(-1 σ)した解析ケース)





(a)
$$S_{\,\text{\tiny S}}\!-\!D\,\mathbf{1}$$
 (H+, V-) , $\,\,\mbox{\hskip-.1em}\,\hskip-.1em \,\,$

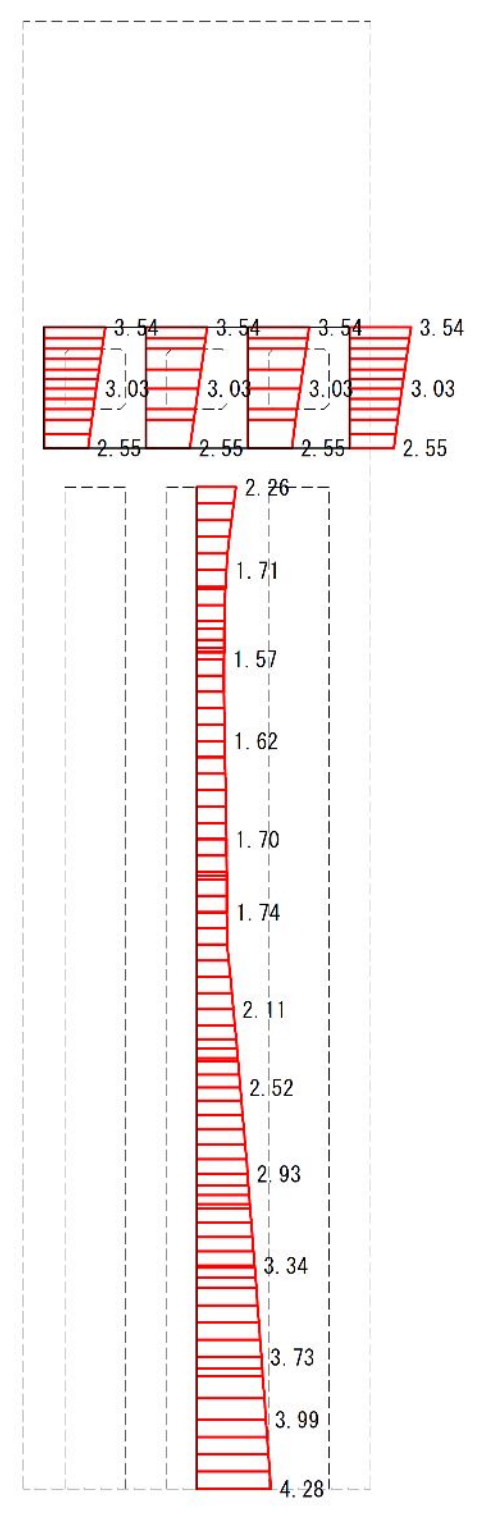




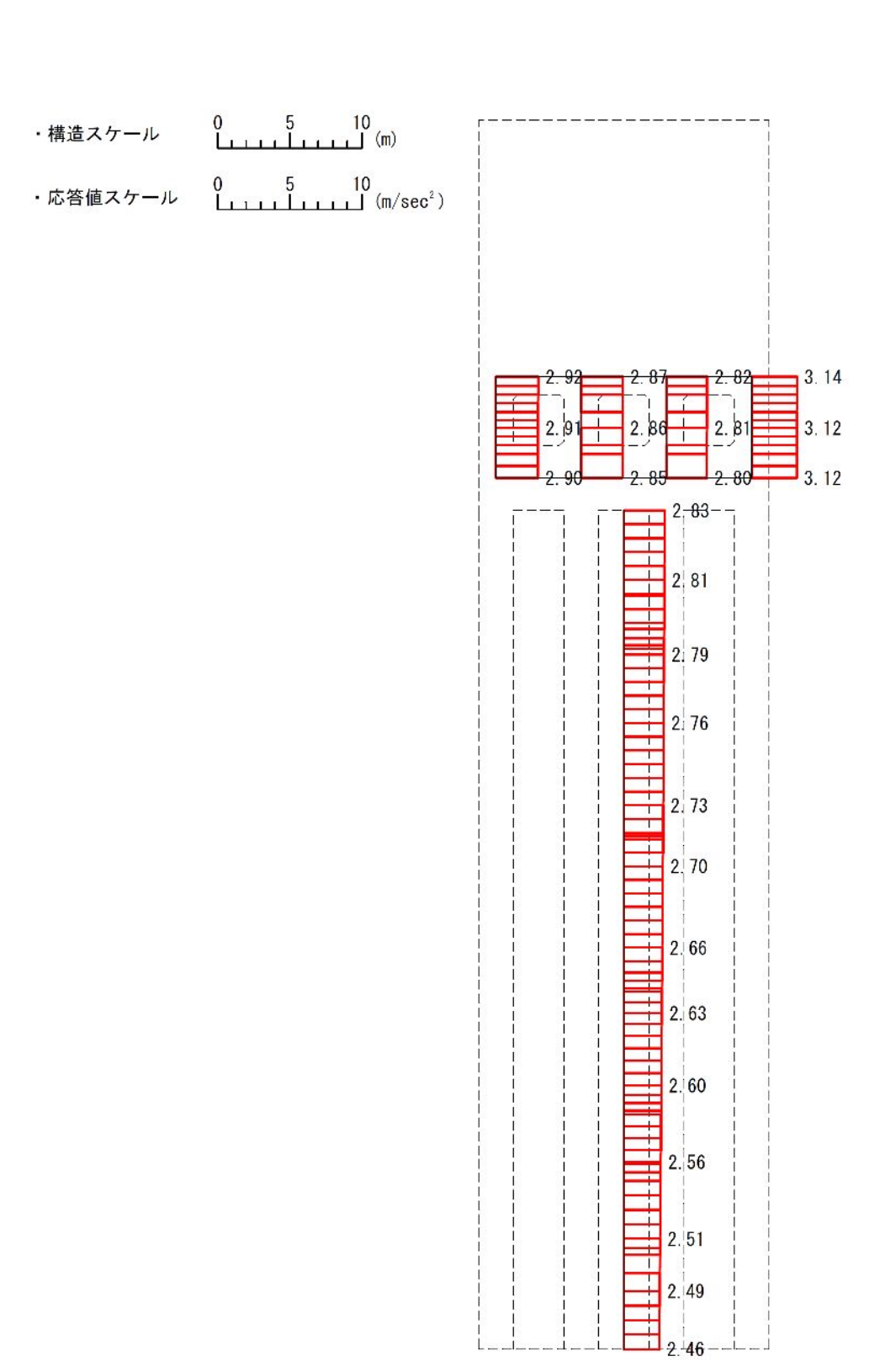
(b) S_s-D1 (H+, V-), 鉛直

第4-2図(15) 防潮壁縦断方向(②-②断面)の最大加速度分布図 (④敷地に存在しない豊浦標準砂の液状化強度特性により 地盤を強制的に液状化させることを仮定した解析ケース)





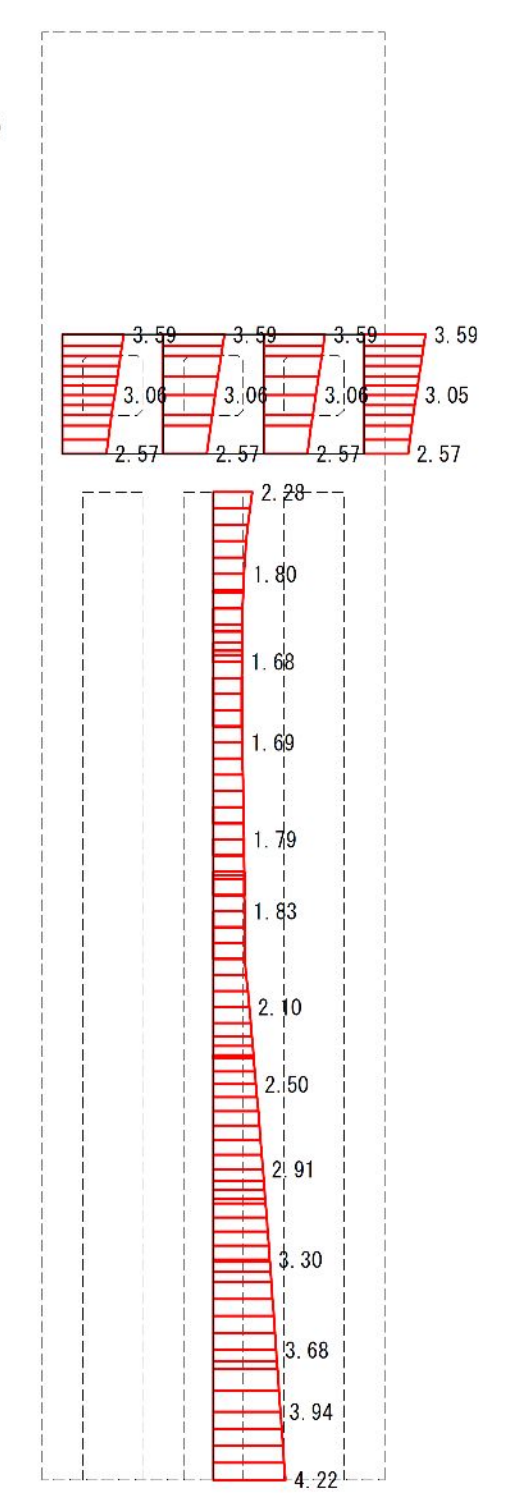
(a) $S_{\,\text{\tiny S}}\!-\!D\,\mathbf{1}$ (H+, V-) , $\,\,\mbox{\hskip-.1em}\,\hskip-.1em \,\,$



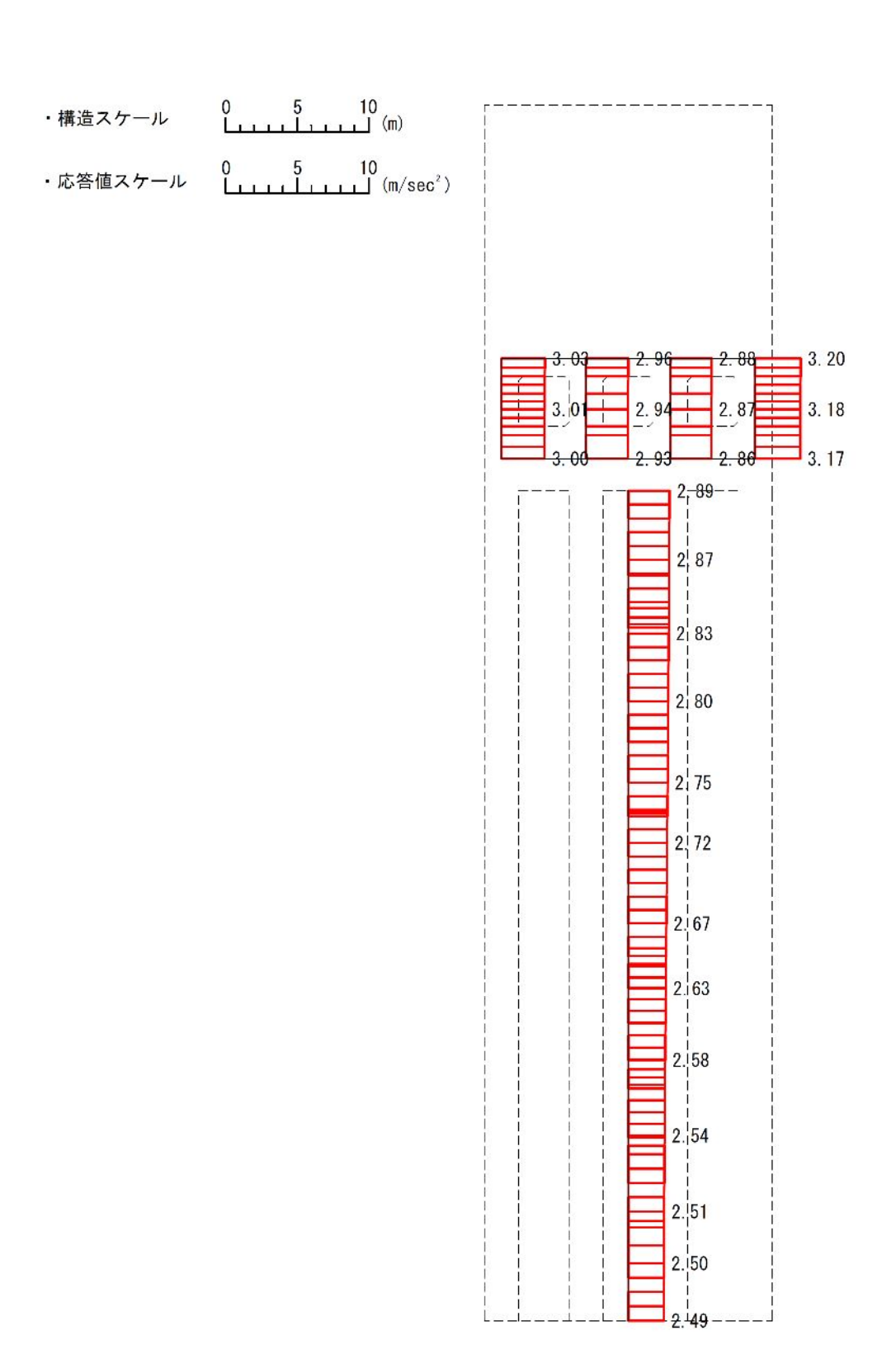
(b) S_s-D1 (H+, V-), 鉛直

第4-2図(16) 防潮壁縦断方向(②-②断面)の最大加速度分布図 (⑤原地盤において非液状化の条件を仮定した解析ケース)

・構造スケール 0 5 10 (m)
 ・応答値スケール 0 5 10 (m/sec²)

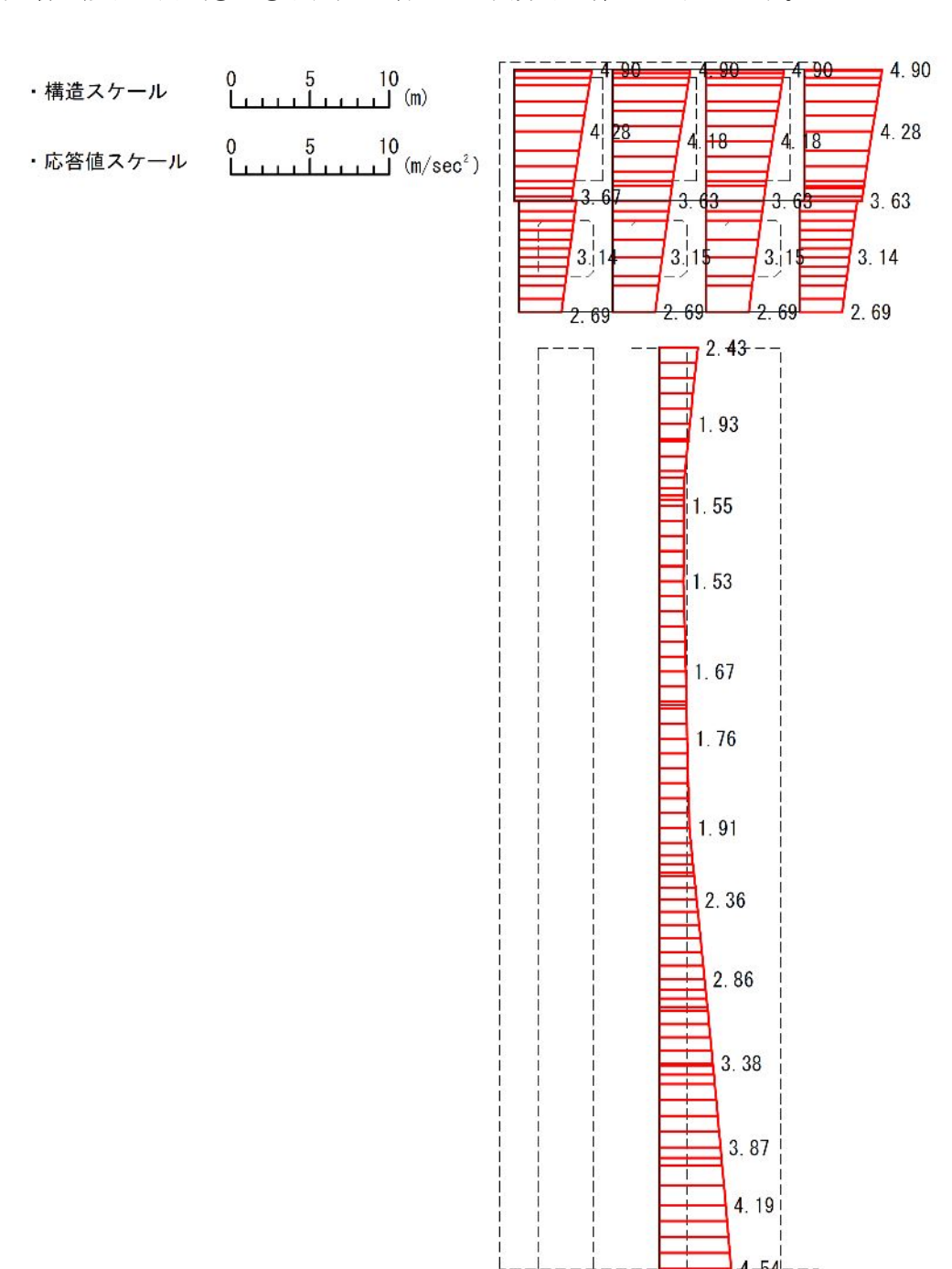


(a) $S_{\,\text{\tiny S}}\!-\!D\,\mathbf{1}$ (H+, V-) , $\,\,\mbox{\hskip-.1em}\,\hskip-.1em \,\,$



(b) S_s-D1 (H+, V-), 鉛直

第 4-2 図(17) 防潮壁縦断方向(2-2断面)の最大加速度分布図 (⑥地盤物性のばらつきを考慮(+1 σ)して非液状化の条件を仮定した解析ケース) 4.3 防潮壁縦断方向(③-③断面)の解析結果 防潮壁縦断方向(③-③断面)の最大加速度分布を第4-3図に示す。



(a) S_s-D1 (H+, V+), 水平